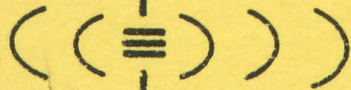


UNIVERSITÉ LAVAL

FACULTÉ DES SCIENCES ET DE GÉNIE  
DÉPARTEMENT DE GÉNIE ÉLECTRIQUE



---

Laboratoire de Radiocommunications  
et de Traitement du Signal

ÉTUDES DES DÉFAUTS SYSTÉMATIQUES ET NATURELS  
DANS LES RÉSEAUX DE COMMUNICATION

PHASE II

ANALYSE DE LA PERFORMANCE DES RÉCEPTEURS QAM  
EN PRÉSENCE D'UN SIGNAL D'INTERFÉRENCE FM

par

H.T. Huynh, R. Gagnon et D. Angers

pour

Gouvernement du Canada  
Ministère des Communications, Ottawa

sous

Contrat OST84-00259  
du Ministère des approvisionnements et services

Avril 1985

TK  
78  
H8  
198

Industry Canada  
LIBRARY

SEP 14 1998

BIBLIOTHEQUE  
Industrie Canada

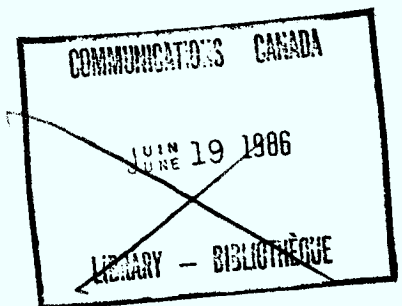
2 T ÉTUDES DES DÉFAUTS SYSTÉMATIQUES ET NATURELS  
DANS LES RÉSEAUX DE COMMUNICATIONS

PHASE II,

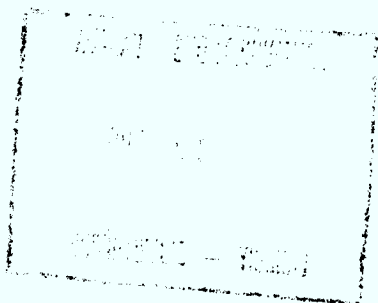
ANALYSE DE LA PERFORMANCE DES RÉCEPTEURS OAM  
EN PRÉSENCE D'UN SIGNAL D'INTERFÉRENCE FM

par

· Chercheur principal : Dr <sup>H. T. Huynh</sup> H. T. Huynh, Ing.  
Ingénieur de recherche : R. Gagnon, M.Sc., Ing.  
Collaborateur : Dr D. Angers, Ing.



Avril 1985



TK  
1876  
H894F  
1985

DD 644 7230  
DL 6453114

## TABLE DES MATIÈRES

	page
CHAPITRE I : INTRODUCTION.....	1
CHAPITRE II : PASSAGE D'UN SIGNAL FM À TRAVERS UN SYSTÈME QAM.....	3
II.1 Introduction.....	3
II.2 Modulation en quadrature.....	3
II.3 Structure du modulateur QAM.....	5
II.4 Formulation du problème.....	7
II.4.1 Schéma de la chaîne de transmission.....	7
II.4.2 Modélisation.....	7
II.4.3 Le passage d'un signal FM dans un récepteur QAM.....	12
II.5 Calcul de la probabilité d'erreur.....	14
II.5.1 Forme générale.....	14
II.5.2 Calcul d'intégrale par la méthode de Ho et Yeh.....	17
II.5.3 Méthode directe de calcul des moments [2]:.....	20
II.6 Conclusion.....	24
CHAPITRE III : PRÉSENTATION DES RÉSULTATS ET DISCUSSION.....	25
III.1 Méthode des moments.....	25
III.1.1 Introduction.....	25
III.1.2 Calculs des moments de l'IIS.....	26
III.1.2.1 Méthode de calcul.....	26
III.1.2.2 Description de QAM.....	27
III.1.3 Calcul des moments d'une interférence sinusoïdale.....	31
III.1.3.1 Méthode de calcul.....	31
III.1.3.2 Description de OAMBS.....	31
III.2 Moments d'une interférence FM.....	33
III.2.1 Introduction.....	33

	page
III.2.2 Hypothèse quasi-stationnaire.....	34
III.2.2.1 Méthode de calcul.....	34
III.2.2.2 Difficultés numériques.....	36
III.2.2.3 Difficultés théoriques.....	39
III.2.2.4 Résultats.....	39
III.2.3 Hypothèse gaussienne.....	44
III.2.3.1 Introduction.....	44
III.2.3.2 Méthode de calcul.....	44
III.2.3.3 Description de QFMRG.....	47
III.3 Discussion.....	47
III.3.1 Présentation générale.....	47
III.3.2 Comparaisons.....	50
III.3.3 Borne supérieure.....	51
<b>CHAPITRE IV : CONCLUSION.....</b>	<b>53</b>
<b>BIBLIOGRAPHIE.....</b>	<b>55</b>
<b>ANNEXE 1 : EXPRESSION DE LA PROBABILITÉ D'ERREUR</b>	
<b>ANNEXE 2 : RÉSULTATS NUMÉRIQUES (hypothèse quasi-stationnaire)</b>	
<b>ANNEXE 3 : RÉSULTATS NUMÉRIQUES (hypothèse gaussienne)</b>	
<b>ANNEXE 4 : LISTING DES PROGRAMMES DÉVELOPPÉS</b>	

## CHAPITRE I

### INTRODUCTION

Le monde de télécommunication se développe à un rythme bousculant. En un siècle, le réseau de communication devient un des produits de l'humanité le plus complexe; il possède des ramifications partout à travers le monde. Jusqu'aux années 60, plus que 90% des systèmes opèrent suivant les vieux principes de communication analogique; particulièrement, les systèmes à micro-onde ils sont souvent de type FDM/FM. Depuis lors, la nouvelle technologie numérique commence à s'imposer très fortement de jour en jour.

La victoire des systèmes numériques est la combinaison de plusieurs facteurs, parmi lesquels les plus importants sont sans doute le faible coût de fabrication et la bonne performance contre les interférences. D'après la projection de BNR, vers les années 90, ces systèmes devraient occuper 90% des réseaux de télécommunications.

Étant donné ce développement fulgurant, la quantité d'information à faire circuler sur les réseaux augmente à une vitesse vertigineuse. Pour pouvoir répondre à ces demandes, il faut construire des systèmes à très grand débit; comme la plupart des bandes de fréquences sont relativement congestionnées, il faut donc introduire des systèmes numériques ayant une efficacité spectrale élevée. Cette nécessité amène des compagnies de l'industrie de communication à proposer des systèmes qui puissent opérer presque dans les mêmes bandes de fréquence que les vieux systèmes analogiques; le dernier né de ce domaine est le système RD-4A de la compagnie "Northern Telecom Limited", disponible sur le marché international depuis 1984. Ce système utilise une modulation en quadrature à 64 niveaux opérant à un rythme de 20 Mbauds à la seconde.

Étant donné la très grande vitesse de ces nouveaux systèmes, leur performance deviendra relativement sensible par rapport à des défauts naturels et systématiques. Pour leur assurer un bon fonctionnement, il faudra alors prendre des précautions sur plusieurs aspects: soigner la conception des composantes électroniques, rendre très directives les antennes émettrices et réceptrices, séparer convenablement les fréquences porteuses. Ce dernier aspect se trouve sous l'autorité du Ministère des communications. À la demande du groupe "Techniques des Systèmes", dirigé alors par M. G. De Couvreur et remplacé par la suite par M. M. Gaudreau, nous avons commencé à examiner l'influence des systèmes FM sur la performance des systèmes de modulation en quadrature (QAM). Cette influence dépend naturellement de l'écart entre les deux porteuses, de leur puissance relative et de leur largeur de bande.

Dans ce rapport, nous présenterons au chapitre II, les points fondamentaux concernant notre problème: modélisation des systèmes QAM, le passage des signaux FM à très grande largeur de bande à travers un récepteur QAM, méthode de calcul de probabilité d'erreur par les moments, analyse de précision; l'ensemble des résultats numériques sera présenté au chapitre III; le rapport sera conclu par le chapitre IV, dans lequel une discussion de l'ensemble des travaux effectués sera présentée.



## CHAPITRE II

### PASSAGE D'UN SIGNAL FM À TRAVERS UN SYSTÈME QAM

#### II.1 Introduction

Nous allons présenter dans ce chapitre la méthodologie pour résoudre le problème d'interférence que provoque le passage d'un signal FM à travers un récepteur QAM. Dans cette méthodologie, nous avons besoin d'un modèle précis décrivant le fonctionnement du récepteur dont le comportement face à une interférence FM sera examiné. Ce signal d'interférence étant à très grande largeur de bande, on pourra alors justifier l'hypothèse de quasi-stationnarité pour simplifier l'analyse.

#### II.2 Modulation en quadrature

La modulation en quadrature est réalisée par la combinaison de deux porteuses en quadrature modulée chacune en amplitude. Soient  $m$  et  $n$  le nombre de niveaux sur chaque porteuse; on aura donc  $M = m \times n$  états possibles pour le signal bidimensionnel résultant. Nous limiterons ce rapport au cas où  $m=n=4$ , qui est celui de la modulation à 16 états. Sur chaque porteuse, les niveaux sont équidistants, ce qui donne la fig. 2.1.

Les seize points de la constellation correspondent à 16 mots de quatre bits. Ceux-ci sont formés à l'aide de 4 trains binaires groupés deux par deux. Soient  $A_1$ ,  $B_1$ ,  $A_2$  et  $B_2$  ces trains. Dans un premier temps, nous avons la formation des mots de deux bits  $A_1B_1$  et  $A_2B_2$  qui serviront à moduler les deux porteuses en faisant correspondre à chaque valeur du mot un niveau de signal avec la correspondance suivante:

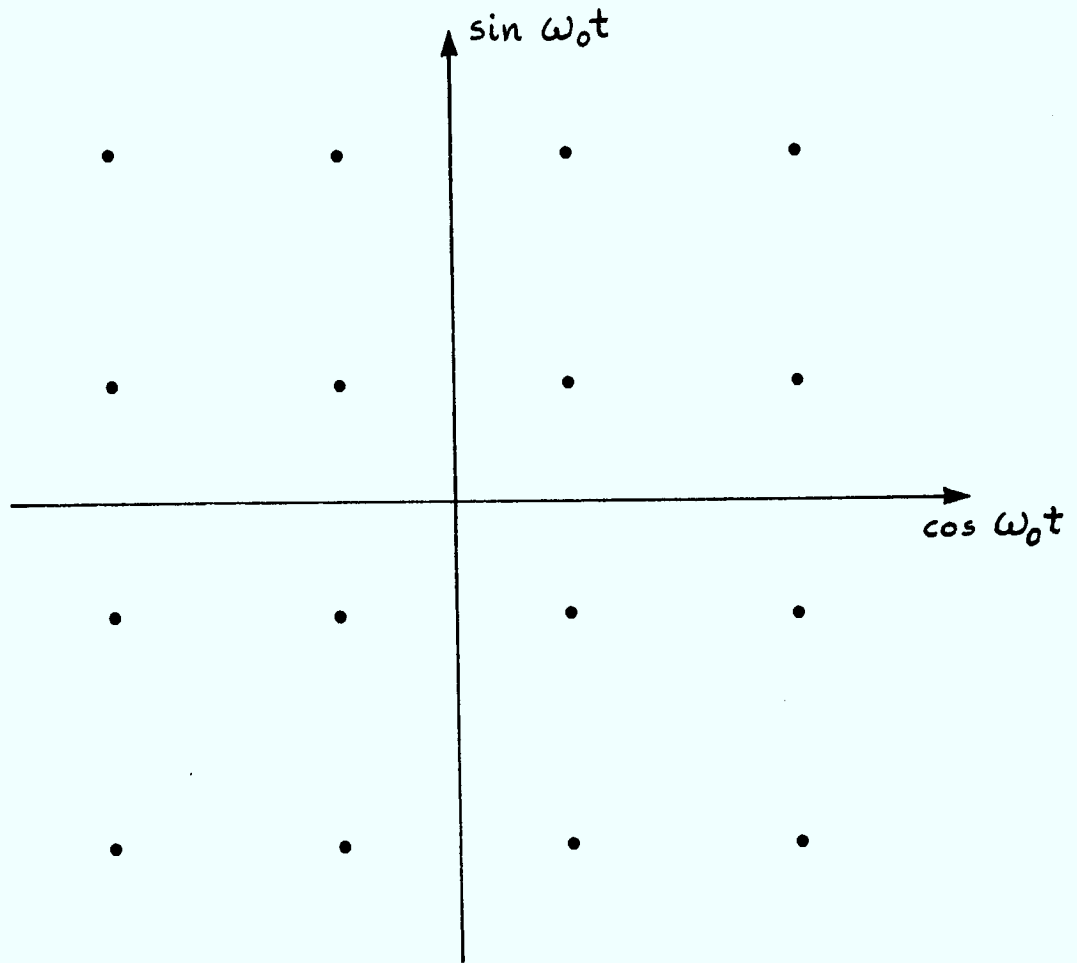


Fig. 2.1 - Constellation QAM-16

$A_i$	$B_i$	Niveau du signal
1	1	3
0	1	1
0	0	-1
1	0	-3

La correspondance est faite de telle sorte que les mots  $A_i B_i$  suivent un code de Gray, i.e. un code tel que deux mots voisins se diffèrent par un seul bit. L'addition des deux porteuses détermine donc 16 états pour les mots  $A_1 B_1$ ,  $A_2 B_2$ . Pratiquement, ce type de modulation a été retenu pour deux raisons: premièrement, la performance est très acceptable par rapport à l'optimum (perte de 0.2 dB pour une contrainte de puissance moyenne); deuxièmement, sa mise en oeuvre est à priori simplifiée du fait qu'elle n'exige pas de technologie particulière.

### II.3 Structure du modulateur QAM

La première composante du modulateur est un codeur transformant les quatre trains binaires en deux trains quaternaires et associe à chacun d'eux un signal à quatre niveaux d'amplitude. Ces signaux attaquent le modulateur en fréquence intermédiaire après un filtrage à large bande servant à limiter le spectre. Les deux porteuses modulées sont additionnées pour donner un signal à 16 états. On notera que les deux porteuses en quadrature sont obtenues d'un même oscillateur dans le but de conserver la cohérence entre les phases des deux voies. L'ensemble de ces opérations est montré à la fig. 2.2.

À la sortie du codeur, on trouve sur les voies x et y, des signaux à quatre états d'amplitude déterminés par les combinaisons  $A_i B_i$  ( $i = 1, 2$ ). Cette correspondance est effectuée en suivant un code de Gray montré à la fig. 2.3. Les régions de décisions sont limitées par les droites d'abscisses et d'ordonnées -2,0 et 0,2. Du fait du codage, le franchissement d'un seuil n'occasionne qu'une seule erreur.

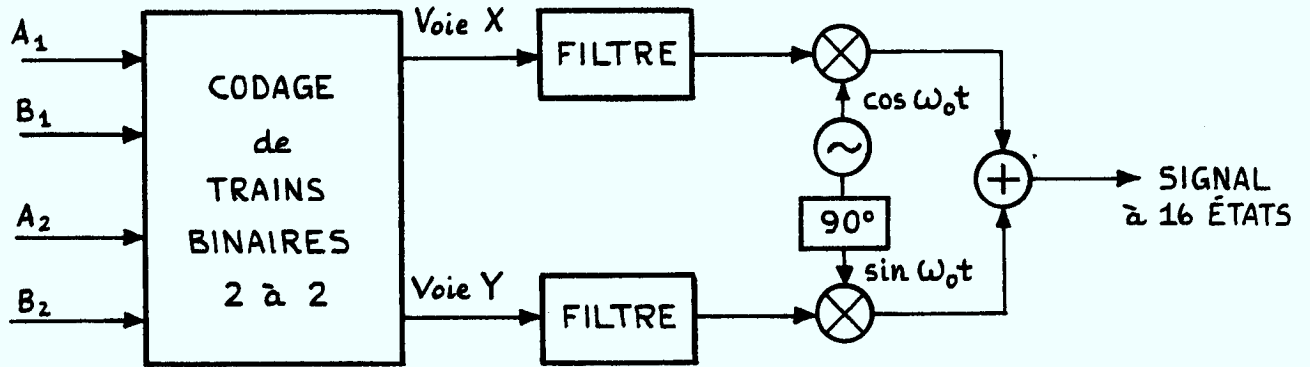


Fig. 2.2 - Structure du modulateur OAM

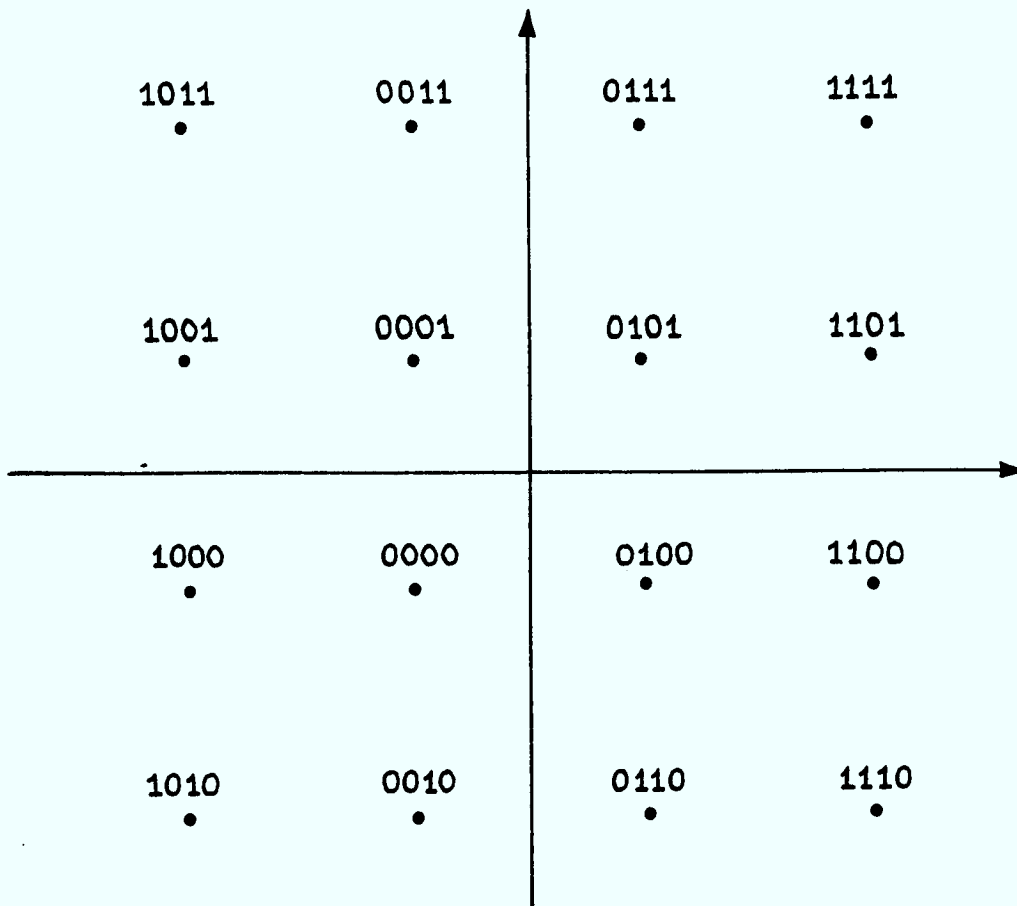


Fig. 2.3 - Code de Gray en OAM

## II.4 Formulation du problème

### II.4.1 Schéma de la chaîne de transmission

La fig. 2.4 montre l'aspect global des éléments constituant le système de transmission et des différents défauts rencontrés. Le signal à 16 états à la sortie du modulateur attaque un oscillateur micro-onde qui va le transposer en hyperfréquences. La nécessité de placer plusieurs canaux côte à côte conduit à effectuer un filtrage pour limiter leur spectre individuel et pour fixer leur place dans la bande de fréquence de transmission. Cette opération est réalisée par un multiplexage fréquentiel. Après son passage dans le milieu de propagation qui est ici l'espace libre, le signal en hyperfréquence est filtré pour séparer les canaux, puis transposé en fréquence intermédiaire afin d'être démodulé. Le démodulateur suivi du décodeur donne une estimation des trains binaires d'origine et sert à obtenir les références de phase de la porteuse et l'horloge, nécessaire pour une démodulation cohérente et pour le fonctionnement des circuits de décision. Idéalement, l'ensemble de ces opérations nous permettront de reconstituer correctement le signal d'information transmis. Malheureusement, il n'en est rien en pratique, car le signal à fréquence intermédiaire à la réception subit plusieurs effets destructifs suivants:

- a) bruit thermique (donc gaussien et blanc),
- b) brouillage par les signaux des canaux voisins dans le multiplexeur (donc, le signal FM interférant),
- c) "Interférence intersymbole" provoquée par les filtrages,
- d) défauts de propagation (fadings lents ou rapides).

L'étude présentée dans ce rapport ne considère que la présence simultanée du bruit thermique, le signal d'interférence FM et les filtres.

### II.4.2 Modélisation

Compte tenu des hypothèses précédentes, la chaîne de transmission, définie comme la succession des composantes diverses que rencontre le signal, peut être représentée par la fig. 2.4. Toute la modélisation est effectuée à l'aide de la notion de filtre passe-bas équivalent [10].

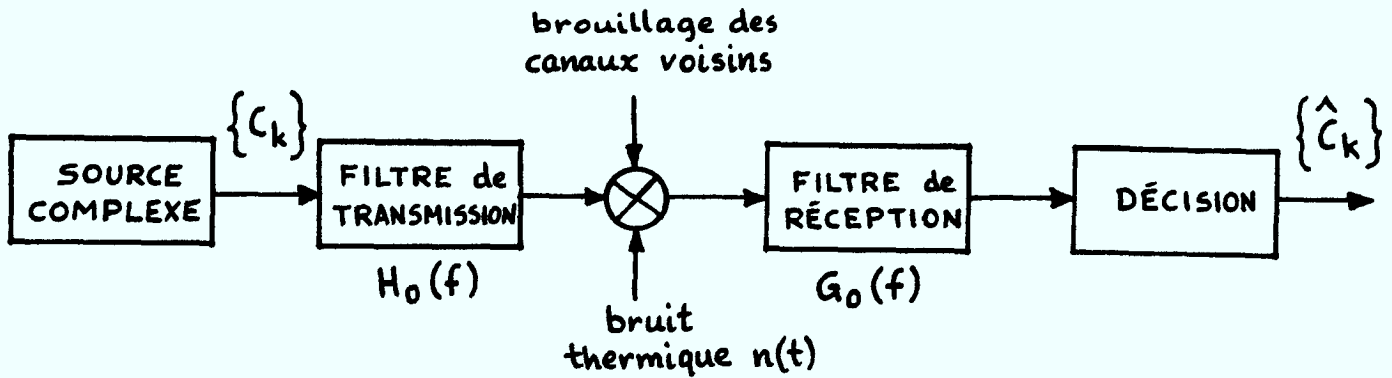


Fig. 2.4 - Système équivalent passe-bas

### Source complexe:

Soient  $\{a_k\}$  et  $\{b_k\}$  les messages quaternaires à l'entrée du modulateur. Il s'agit des trains binaires à la sortie du codeur. Soient  $\chi(t)$  et  $s(t)$  respectivement l'enveloppe passe-bas et le signal de sortie du modulateur. En général, on a:

$$\chi(t) = \begin{cases} 1 & \text{pour } 0 < t < T \\ 0 & \text{ailleurs} \end{cases} \quad (1)$$

où  $T$  est la durée d'un baud.

$$s(t) = A \sum_{k=-\infty}^{\infty} \{a_k \chi(t-kT) \cos \omega_0 t + b_k \chi(t-kT) \sin \omega_0 t\} \quad (2)$$

L'équation (2) peut être mise sous une forme complexe beaucoup plus compacte:

$$s(t) = \text{Re} \{ s_e(t) e^{j\omega_c t} \} \quad (3)$$

où

$$s_e(t) = \sum_{k=-\infty}^{\infty} (a_k + j b_k) \chi(t-kT) \quad (4)$$

$s_e(t)$  est appelé l'enveloppe complexe de  $s(t)$ . On est donc amené à définir une source équivalente de messages complexes à 16 états:

$$C_k = a_k + j b_k$$

### Les filtres:

Le filtre de transmission  $H_0(f)$  rassemble les filtres en hyperfréquences, les filtres vidéo et le milieu de transmission. Le filtre vidéo, de largeur de bande très grande devant les autres, peut être négligé, sa présence n'étant pas nécessaire d'un point de vue théorique. Le filtre de réception, placé à l'entrée du démodulateur a pour fonction de transfert  $G_0(f)$ . Sa fonction essentielle est de limiter les interférences et le bruit à la réception. Il agit en fréquence intermédiaire, après un préamplificateur de réception.

Le signal voit donc un filtre global de gain complexe  $H_0(f)G_0(f)$ . Soit  $P(t) + jQ(t)$  la réponse de ce filtre au signal  $\chi(t)$ . En absence de toute interférence et du bruit additif, le signal à l'entrée du démodulateur s'écrit sous la forme complexe suivante:

$$x(t) = A \sum_{k=-\infty}^{\infty} (a_k + jb_k) [P(t-kT) + jQ(t-kT)] \quad (5)$$

Pour alléger l'écriture, posons:

$$P_k(t) = P(t-kT) \quad \text{et} \quad Q_k(t) = Q(t-kT)$$

il vient:

$$\begin{aligned} x(t) &= \sum_{k=-\infty}^{\infty} (a_k + jb_k) [P_k(t) + jQ_k(t)] \\ x(t) &= \sum_{k=-\infty}^{\infty} [a_k P_k(t) - b_k Q_k(t)] + j [a_k Q_k(t) + b_k P_k(t)] \end{aligned} \quad (6)$$

Si le filtre global  $H_0G_0$  possède une parité de l'affaiblissement et du temps de propagation de groupe, i.e., sa fonction de transfert  $H_0(f)G_0(f)$  représente une symétrie hermitienne autour de 0, soit:

$$H_0(f)G_0(f) = H_0^*(-f)G_0^*(-f)$$

alors le terme  $Q_k(t)$  sera identiquement nul. Dans ce cas, la diaphonie devient nulle et le signal à l'entrée du démodulateur se simplifie comme:

$$x(t) = \sum_{k=-\infty}^{\infty} (a_k + jb_k)P_k(t) \quad (7)$$

### Le bruit thermique:

Le bruit thermique apparaît dans le préamplificateur de réception. Il est additif, centré et à spectre plat dans une bande de fréquences large devant celle du récepteur.

On appellera  $N_0/2$  la densité spectrale bilatérale de puissance du bruit. La puissance du bruit  $\sigma^2$  qui affecte la probabilité d'erreur est donnée par:

$$\sigma^2 = N_0 T \int_{-\infty}^{\infty} |G_0(f)|^2 df \quad (8)$$

où  $G_0(f)$  est la fonction de transfert du filtre de fréquence intermédiaire en réception. Il est donc clair qu'un bon choix de  $G_0(f)$  peut limiter la puissance du bruit additif dans le récepteur.

### Rapport porteuse à bruit

Ce rapport, également appelé le rapport signal-à-bruit, est le paramètre qui affecte le plus la probabilité d'erreur de réception. Il est défini comme le rapport de l'énergie d'un baud sur la densité spectrale de bruit. Étant donné les hypothèses du problème posé par les délégués scientifiques (G. De Couvreur et M. Gaudreau), on adopte tout de suite:

$$H_0(f) = 1$$

Le signal modulé est alors:

$$s(t) = A \sum_{k=-\infty}^{\infty} (a_k \cos \omega_0 t + b_k \sin \omega_0 t) \chi(t-kT)$$



où  $A$  est l'écart entre deux amplitudes voisines de la même voie. L'énergie moyenne par baud (ou par mot transmis) est alors:

$$E_m = \frac{A^2}{16} \left( \sum_{k=1}^4 \frac{a_k^2 + b_k^2}{2} \right)$$

avec

$$a_k = \pm 1, \pm 3 \quad \text{et} \quad b_k = \pm 1, \pm 3$$

où

$$E_m = 5 A^2$$

Si l'on s'intéresse à l'énergie crête, on peut adopter la définition:

$$E_c = A^2 \text{ Max}_{k=1,4} \left\{ \frac{a_k^2 + b_k^2}{2} \right\} = 9 A^2$$

À partir de ces valeurs, on peut définir les rapports:

$$\frac{E_m}{N_o} \quad \text{et} \quad \frac{E_c}{N_o}$$

qui se ramènent en termes de puissance à l'aide de la durée d'un baud  $T$ :

$$\frac{E_m}{N_o} = \frac{E_m/T}{N_o/T} \quad \text{et} \quad \frac{E_c}{N_o} = \frac{E_c/T}{N_o/T}$$

Il s'agit alors des rapports entre la puissance (moyenne ou crête) du signal sur la puissance du bruit dans la bande de Nyquist. Dans la suite du rapport, les résultats seront exprimés en fonction du rapport "Signal à bruit" donné par  $\frac{E_m/T}{N_o/T}$  qui repère  $S/N$  sur les abscisses des courbes de probabilité d'erreur.

### Contrôle automatique de gain

Le contrôle automatique de gain (CAG) a pour but de compenser les pertes d'énergie du signal due aux affaiblissements aléatoires qu'il peut subir à

travers la chaîne de transmission. Pratiquement parlant, ceci revient à réajuster le gain pour présenter un niveau constant à l'entrée du démodulateur. Dans les calculs analytiques, cette opération permet d'effectuer une normalisation de la réponse du canal par rapport à l'échantillon de niveau maximum. Cette normalisation vise à obtenir des résultats sous une forme universelle.

### II.4.3 Le passage d'un signal FM dans un récepteur QAM

Dans le modèle montré à la figure 2.4, le brouillage résulte de la présence d'un (ou de plusieurs) signal FM à très grande largeur de bande. Ce signal brouilleur passe à travers du filtre de réception  $G_o(f)$  avant d'être échantillonné au même instant  $t_o$  que le signal numérique QAM. Il est clair que son effet à l'entrée du dispositif de décision est de type additif au même titre que le bruit thermique. Pour le cas où ce signal brouilleur possède un indice de modulation élevé, on peut utiliser l'hypothèse "quasi-stationnaire" [6] pour étudier l'effet du filtrage. Il en est connu que dans de telles conditions [5,7], sur un intervalle de temps très court, il se comporte comme un signal sinusoïdal dont la fréquence correspond à la fréquence instantanée du signal FM. Si le signal de bande de base est un processus gaussien, le spectre du signal FM à très grande largeur de bande possède des formes gaussiennes. Ce résultat est connu sous le nom de théorème de Woodward [4]. D'après ces arguments, la distribution  $p_B(f)$  de la fréquence instantanée du signal FM admet la forme statistique du signal de modulation. Ainsi:

$$p_B(f) = \frac{1}{\sqrt{2\pi} \Delta f_B} \exp \left[ -\frac{(f-f_B)^2}{2\Delta f_B^2} \right] \quad (9)$$

où  $\Delta f_B$  est la déviation efficace (i.e. la valeur rms) de la fréquence instantanée par rapport à la porteuse FM. La sortie du filtre, sous hypothèse quasi-stationnaire est donc un signal sinusoïdal dont l'amplitude est amplifiée par le gain  $|G_o(f)|$  et sa phase est quelconque sans référence à l'égard de l'instant d'échantillonnage. De cette manière, la composante due au brouilleur FM, à l'entrée du dispositif de décision est finalement de la forme:

$$I = B \cos \theta \quad (10)$$

où  $B$  est l'amplitude du signal FM, amplifiée par le gain  $G(f)$  et  $\theta$  une variable aléatoire uniformément répartie entre 0 et  $2\pi$ . Comme on vient de le constater, l'hypothèse "quasi-stationnaire" permet de simplifier sérieusement le problème.

En plus de tenir compte de cette simplification, nous considérons également une autre hypothèse un peu plus complexe: pour une interférence à très grande largeur de bande, son influence est équivalente à une autre interférence de même densité spectrale de puissance. À prime abord, cette hypothèse semble présenter une faiblesse remarquable: l'effet de corrélation entre les phases des composantes spectrales est négligé. Toutefois, on se rend compte, physiquement parlant, que ces phases ne pourraient jamais être très cohérentes car leur puissance totale est imposée par la densité spectrale globale. Tenant compte de cette contrainte sur la puissance totale, cette équivalence représente donc une avenue remarquable. En effet, on pourra construire un ensemble de signaux harmoniques situés à des fréquences quelconques tels que montrés à la fig. 2.5.

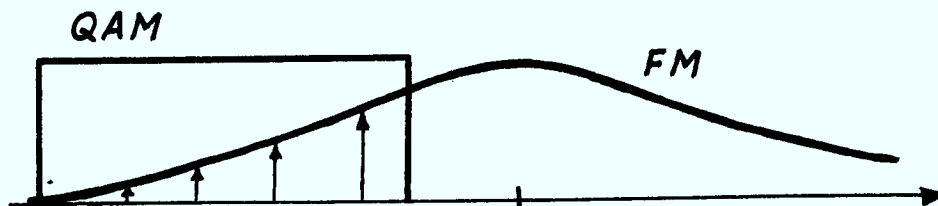


Fig. 2.5 - Considérations spectrales du signal FM par rapport au système QAM

L'ensemble de ces signaux sinusoïdaux possède des amplitudes déterminées par la densité spectrale du signal FM, sous contrainte que leur puissance totale soit égale à la puissance partielle du signal d'interférence, passant à travers le filtre  $G_0(f)$ . Les résultats obtenus par ces deux approches "quasi-stationnarité" et "équivalence de puissance" représenteraient les deux

limites possibles pour la performance globale de la probabilité d'erreur. À cause du théorème de la limite centrale, l'hypothèse de l'équivalence de puissance sera parfois appelée l'hypothèse gaussienne.

## II.5 Calcul de la probabilité d'erreur

### II.5.1 Forme générale

Nous allons nous placer dans la dernière partie de la chaîne de transmission, à la sortie du filtre  $G_o(f)$ ; le signal observé s'écrit:

$$x(t) = \sum_{k=-\infty}^{\infty} \{a_k P_k(t) - b_k Q_k(t)\} + j\{b_k P_k(t) + a_k Q_k(t)\} \\ + B_x(t) + jB_y(t) + U(t) + jV(t) \quad (11)$$

Le démodulateur suivi de l'échantillonneur examine, aux instants  $t_k = t + kT$ , les parties réelle et imaginaire de  $x(t)$ . À l'instant  $\tau$ , on a:

$$\text{Re}\{x(t)\} = \sum a_k P_k(\tau) - b_k Q_k(\tau) + I_x(\tau) + U(\tau) \\ \text{Im}\{x(t)\} = \sum \{b_k P_k(\tau) + a_k Q_k(\tau)\} + I_y(\tau) + V(\tau)$$

Nous pouvons, d'autre part, séparer  $x(\tau)$  en cinq termes:

$$x(\tau) = (a_o + jb_o)P_o(\tau) - (b_o - ja_o)Q_o(\tau) \\ + \sum_{k \neq 0} \{a_k P_k(\tau) - b_k Q_k(\tau)\} + j\{a_k Q_k(\tau) + b_k P_k(\tau)\} \\ + B_x(\tau) + jB_y(\tau) + U(\tau) + jV(\tau) \quad (12)$$

Ces différents termes représentent respectivement:

- le signal utile
- le signal de diaphonie qui traduit le couplage entre les deux voies  $x$  et  $y$

- l'interférence intersymbole  $II(\tau)$
- le brouilleur  $B(\tau)$
- le bruit additif.

La somme de  $II(\tau)$  et  $B(\tau)$  peut être mise sous la forme:

$$I(\tau) = II(\tau) + B(\tau) = X(\tau) + jY(\tau)$$

$X$  et  $Y$  sont des variables aléatoires centrées de même loi de distribution  $F(I)$  symétrique autour de 0.  $P_k(\tau)$  et  $Q_k(\tau)$  sont des termes déterministes,  $a_k$  et  $b_k$  des variables aléatoires indépendantes et prenant quatre états équiprobables.

À chaque point  $(i)$ , représentatif d'un des 16 états, est associée une région de décision  $D_i$ , au sens de critère du maximum de vraisemblance. La probabilité d'erreur sur les états s'écrit:

$$P_e = \sum_{i=1}^{16} P_i P\{r \in D_i \mid i \text{ soit émis}\}$$

où  $P_i$  est la probabilité à priori de l'état  $(i)$  et  $r$  l'observation (le signal à la sortie du récepteur). Les 16 états étant supposés équiprobables, on a  $P_i = 1/16$  et  $P_e$  se simplifie:

$$P_e = \frac{1}{16} \sum P\{r \in D_i \mid i \text{ soit émis}\}$$

En présence de l'interférence  $I$ ,  $P_e$  devient:

$$P_e = \int_{II} \sum P_i P\{r \in D_i \mid i \text{ soit émis et } I = b\} dF(b)$$

où  $II$  est l'ensemble de toutes les valeurs possibles que peut prendre  $I(\tau)$ . Le problème consiste donc à évaluer la probabilité d'erreur conditionnelle à l'émission de  $(i)$  et pour une valeur donnée de  $I = X + jY$ . Nous allons en fait évaluer directement les probabilités d'erreur sur chaque train binaire et non pas sur le signal global. Ce sont, en effet, des mesures sur les trains

estimés qui sont réalisées dans la pratique. Nous verrons néanmoins comment relier les probabilités sur les trains élémentaires à la probabilité globale. Normalisons d'abord le signal reçu par rapport à  $P_0(\tau)$ :

$$x_N(\tau) = (a_0 + jb_0) - (b_0 - ja_0) \frac{Q_0(\tau)}{P_0(\tau)} + \frac{X+jY}{P_0(\tau)} + \frac{U+jV}{P_0(\tau)}$$

Pour ne pas alourdir les notations, nous réutiliserons  $x(\tau)$  à la place de  $x_N(\tau)$ , ce qui revient à imposer  $P_0(\tau) = 1$ . Soit:

$$x(\tau) = (a_0 + jb_0) - (b_0 - ja_0)Q_0(\tau) + (X + jY) + (U + jV)$$

Posons  $\alpha = -b_0Q_0(\tau) + X$  et  $\beta = a_0Q_0(\tau) + Y$ .

Nous appellerons  $P_e^{A_1}$  (respectivement  $P_e^{B_1}$ ) la probabilité d'erreur sur le train  $A_1$  (respectivement  $B_1$ ). On peut démontrer (voir Appendice 1) que:

$$P_e^{A_1} = \frac{1}{4} \sum_{b_0 = \pm 1, \pm 3} \frac{1}{2} \int_{-\infty}^{\infty} \operatorname{erfc}\left(\frac{A+\alpha}{\sigma\sqrt{2}}\right) dF(x)$$

$$P_e^{B_1} = \frac{1}{2} P_e^{A_1}$$

Comme nous avons discuté précédemment, l'interférence intersymbole et la diaphonie ne sont pas les éléments importants dans notre travail, on peut donc choisir le cas optimum pour notre analyse, i.e., le cas des filtres à symétrie hermitienne. Il vient:

$$Q(t) \equiv 0$$

et alors:

$$P_e^{A_1} = \frac{1}{2} \int_{-\infty}^{\infty} \operatorname{erfc}\left(\frac{A+X}{\sigma\sqrt{2}}\right) dF(x) \quad (13)$$

$$P_e^{B_1} = \frac{1}{2} P_e^{A_1}$$

En absence de toute forme d'interférence, les résultats se simplifient pour donner:

$$p_e^{A_1} = \frac{1}{2} \operatorname{erfc}\left(\frac{A}{\sigma\sqrt{2}}\right)$$

$$p_e^{B_1} = \frac{1}{2} p_e^{A_1}$$

Cela revient à supposer que le canal est idéal (canal de Nyquist). Ces dernières expressions de la probabilité d'erreur servent alors à calculer les performances en présence du bruit gaussien additif seul. Toutefois, pour ce canal idéal qui élimine complètement l'interférence intersymbole, le problème de calcul du brouilleur deviendrait nettement plus complexe; c'est pourquoi nous tiendrons compte dans la suite de l'interférence intersymbole que provoque un filtre de Butterworth à phase linéairement égalisée.

### II.5.2 Calcul d'intégrale par la méthode de Ho et Yeh

Dans l'expression (12), nous avons à calculer l'intégrale:

$$J = \int_{-\infty}^{\infty} \operatorname{erfc}\left(\frac{A+X}{\sigma\sqrt{2}}\right) dF(X) \quad (14)$$

La méthode de Ho et Yeh consiste à développer la fonction erfc en série de Taylor au voisinage du point  $A/\sigma\sqrt{2}$ :

$$\operatorname{erfc}\left(\frac{A+x}{\sigma\sqrt{2}}\right) = \operatorname{erfc}\left(\frac{A}{\sigma\sqrt{2}}\right) + \sum_{k=1}^{\infty} \left(\frac{x}{\sigma\sqrt{2}}\right)^k \frac{1}{k!} D_k$$

avec

$$D_k = \left. \frac{d^k \operatorname{erfc}(x)}{dx^k} \right|_{x = \frac{A}{\sigma\sqrt{2}}} \quad (15)$$

D'où:

$$J = \int_{-\infty}^{\infty} \operatorname{erfc}\left(\frac{A}{\sigma\sqrt{2}}\right) dF(x) + \sum_{k=1}^{\infty} \frac{1}{k!} D_k \int_{-\infty}^{\infty} \left(\frac{x}{\sigma\sqrt{2}}\right)^k dF(x)$$

Cette expression se simplifie en remarquant que  $\int_{-\infty}^{\infty} dF(x) = 1$  et en posant

$$M_k = \int_{-\infty}^{\infty} x^k dF(x):$$

$$J = \operatorname{erfc}\left(\frac{A}{\sigma\sqrt{2}}\right) + \sum_{k=1}^{\infty} \frac{1}{k!} D_k M_k \frac{1}{(\sigma\sqrt{2})^k}$$

Notons tout de suite que  $D_k$  est lié aux polynômes de Hermite  $H_n(x)$  [8]:

$$\frac{d^k}{dx^k} \operatorname{erfc}(x) = (-1)^k \frac{2}{\sqrt{\pi}} H_{k-1}(x) \exp(-x^2)$$

Finalement:

$$J = \operatorname{erfc}\left(\frac{A}{\sigma\sqrt{2}}\right) + \frac{2}{\pi} \exp\left(-\frac{A^2}{2\sigma^2}\right) \sum_{k=1}^{\infty} \frac{1}{k! (\sigma\sqrt{2})^k} H_{k-1}\left(\frac{A}{\sigma\sqrt{2}}\right) M_k \quad (16)$$

Les paramètres  $M_k$  dans (16) s'appellent les moments d'ordre  $k$  de la variable aléatoire  $X$ .

### Calcul des moments $M_k$

Soient  $X$  et  $F(x)$  respectivement une variable aléatoire et sa fonction de distribution de probabilité. Par définition, son moment d'ordre  $k$  est donné par:

$$M_k = \int_{-\infty}^{\infty} x^k dF(x)$$

Ces moments peuvent être obtenus à partir de sa fonction caractéristique  $\phi_X(\omega)$  qui est la transformée de Fourier de sa densité de probabilité:

$$\phi_X(\omega) = E\{e^{j\omega X}\} = \int_{-\infty}^{\infty} e^{j\omega x} dF(x)$$



Dérivant successivement  $\phi_X(\omega)$ , on obtient:

$$\phi_X(\omega) = 1 + j\omega M_1 + \dots + (j\omega)^k \frac{M_k}{k!} + \dots$$

Ainsi, si l'on arrive à calculer la fonction caractéristique  $\phi_X(\omega)$  de la variable aléatoire  $X$ , la somme de toutes les interférences présentes sur la voie  $X$ , i.e.:

$$X = \sum_{k \neq 0} a_k P(\tau - kT) + B_X(\tau) \quad (17)$$

Comme  $B_X(\tau)$  et toutes les variables  $a_k$  sont statistiquement indépendantes, la fonction caractéristique est tout simplement le produit de toutes les fonctions caractéristiques correspondant à chacun des termes de l'équation (17). Dans leur travail, Ho et Yeh ont proposé une méthode récursive permettant de calculer les moments d'ordre successif. Malheureusement, cette récursivité est très sensible par rapport à l'accumulation des erreurs d'arrondissement; c'est ainsi qu'elle aboutit très souvent à des moments négatifs d'ordre pair, ce qui entre en contradiction avec la définition mathématique [9]. Ce phénomène nous exige à calculer les moments par la méthode directe; comme il s'agit d'une méthode "exhaustive", elle consommera évidemment plus de temps d'ordinateur. Avant de présenter cette méthode de calcul, observons que les variables aléatoires présentes dans (17) sont toutes statistiquement indépendantes; il est alors connu que les moments de leur somme sont des combinaisons de leurs moments. En effet, il suffit de considérer  $X$  comme la somme de deux variables aléatoires  $X_1$  et  $X_2$  statistiquement indépendantes et ayant les densités de probabilité paires; il vient immédiatement:

$$X = X_1 + X_2$$

$$\begin{aligned} E\{X^k\} &= E\{(X_1 + X_2)^k\} \\ &= \sum_{\ell=0}^k C_{\ell}^k E\{X_1^{\ell}\} E\{X_2^{k-\ell}\} \end{aligned}$$

$X_1$  et  $X_2$  étant symétriquement distribuées, on a :

$$E\{X_1^{2\ell+1}\} = E\{X_2^{2\ell+1}\} = 0$$

ce qui implique immédiatement que les moments d'ordre impair  $E\{X^{2\ell+1}\}$  sont identiquement nuls. Seuls les moments d'ordre pair  $M_{2k} = E\{X^{2k}\}$  existent et sont donnés par :

$$M_{2k} = \sum_{p=0}^{2k} C_{2p}^{2k} M_{2p}^1 M_{2k-2p}^2 \quad (18)$$

où  $M_{2p}^1$  et  $M_{2k-2p}^2$  sont respectivement les moments d'ordre  $2p$  et les moments d'ordre  $2k-2p$  des variables aléatoires  $X_1$  et  $X_2$ . L'équation (18) est donc la clef de la méthode directe de calcul des moments d'une somme des variables aléatoires indépendantes.

Ainsi, pour appliquer la méthode directe à l'étude de l'influence d'un signal FM à très grande largeur de bande, on n'a qu'à calculer séparément les moments de l'interférence intersymbole et ceux du signal FM. Ces derniers se calculent de manière très simple grâce au modèle proposé par l'équation (10). Quant aux moments de l'interférence intersymbole, ils font l'objet du paragraphe suivant.

### II.5.3 Méthode directe de calcul des moments [2]:

Soit  $U$  le nombre d'échantillons de la réponse du canal à un créneau  $\chi(t)$ , l'enveloppe passe-bas d'un baud, telle que décrite par (1). Il y a donc  $U-1$  termes d'interférence intersymbole; le signal émis pouvant prendre l'une des quatre valeurs ( $\pm 1, \pm 3$ ), le nombre  $N$  de configurations possibles est:

$$N = 4^{U-1}$$

La variable aléatoire "Interférence intersymbole"  $X$  s'écrit:

$$X = \sum_{k \neq 0} a_k P_k$$

où

$$P_k = P(\tau+kT)$$

Les moments  $M_{2p}$  de X deviennent:

$$M_{2p} = \sum_{a_k} P[X_k = X] X^{2p}$$

$$M_{2p} = \frac{1}{N} \sum_{a_k} \left( \sum_{k \neq 0} a_k P_k \right)^{2p}$$

Le calcul des  $M_{2p}$  étant ici indépendant pour chaque élément, la précision peut être choisie arbitrairement.

Il nous reste maintenant à prouver la convergence de la méthode et à déduire les critères permettant de vérifier celle-ci. Du fait de l'utilisation des ordinateurs, nous sommes amenés à effectuer des troncations à divers niveaux pour le calcul des séries numériques. Tenant compte de la parité de  $dF(x)$ , l'intégrale J s'écrit:

$$J = \operatorname{erfc}\left(\frac{A}{\sigma\sqrt{2}}\right) + \frac{2}{\sqrt{\pi}} \exp\left(-\frac{A^2}{2\sigma^2}\right) \sum_{k=1}^{\infty} \frac{M_{2k}}{(2k)!} \times \frac{H_{2k-1}\left(\frac{A}{\sigma\sqrt{2}}\right)}{(\sigma\sqrt{e})^{2k}}$$

Soit  $U_k$  le terme général de cette série. Il vient:

$$\frac{U_{k+1}}{U_k} = \frac{M_{2k+2}}{M_{2k}} \times \frac{H_{2k+1}\left(\frac{A}{\sigma\sqrt{2}}\right)}{H_{2k-1}\left(\frac{A}{\sigma\sqrt{2}}\right)} \times \frac{1}{(\sigma\sqrt{2})^2} \times \frac{1}{(2k+1)(2k+2)} \quad (19)$$

Pour k très grand, on a [8]:

$$\left| H_{2k-1}(x) \right| < \frac{2^k}{\sqrt{2}} (2k-3)!! \sqrt{2k-1} \exp\left(\frac{x^2}{2}\right)$$

où

$$(2k-3)!! = (2k-3)(2k-1)\dots 3.1$$

Alors, l'équation (19) se simplifie pour donner:

$$\left| \frac{U_{k+1}}{U_k} \right| \approx \frac{M_{2k+2}}{M_{2k}} \frac{(2k-1)!!}{(2k-3)!!} \frac{1}{(\sigma\sqrt{2})^2} \frac{1}{(2k+1)(2k+2)} \sqrt{\frac{2k+1}{2k-1}} \quad (20)$$

D'autre part, on a

$$M_{2k} = \int_{-\infty}^{\infty} x^{2k} dF(x) < \int_{-\infty}^{\infty} [\text{Sup}(x)]^{2k} dF(x)$$

ou

$$x = \sum_{\ell \neq 0} a_{\ell} P(\tau - \ell T)$$

d'où

$$\text{Sup}(x) = 3 \sum_{\ell \neq 0} |P(\tau - \ell T)|$$

alors

$$\frac{M_{2k+2}}{M_{2k}} < \left( 3 \sum_{\ell \neq 0} |P(\tau - \ell T)| \right)^2$$

L'équation (20) devient:

$$\left| \frac{U_{k+1}}{U_k} \right| < \left( \frac{3 \sum_{\ell \neq 0} |P(\tau - \ell T)|}{\sigma\sqrt{2}} \right)^2 \sqrt{\frac{2k-1}{2k+1}} \frac{1}{k+1}$$

Le critère d'Alembert nous assure la convergence pour:

$$3 \sum_{\ell \neq 0} |P(\tau - \ell T)| < \sigma\sqrt{2}$$

Cette condition n'est réalisée que si le canal présente des distorsions relativement faibles. De manière pratique, cette convergence est liée à la précision de la méthode, qui est représentée par l'erreur  $R_N$  due à la troncation de la série à partir du  $N^{\text{ième}}$  terme:

$$R_N = \sum_{k=N}^{\infty} \frac{M_{2k}}{(2k)!} \frac{H_{2k-1}\left(\frac{A}{\sigma\sqrt{2}}\right)}{(\sigma\sqrt{2})^{2k}} \frac{2}{\sqrt{\pi}} \exp\left(-\frac{A^2}{2\sigma^2}\right)$$

Pour étudier le comportement de  $R_N$ , nous allons utiliser des majorants de  $M_{2k}$  et  $H_{2k-1}(x)$  comme précédemment, et remplacer la factorielle pour l'approximation de Sterling:

$$k! \sim k^k e^{-k} \sqrt{2\pi k}$$

Il vient:

$$R_N < \sqrt{\frac{2}{\pi}} \exp\left(\frac{-A^2}{4\sigma^2}\right) \sum_{k=N}^{\infty} \left(\frac{3 \sum |P(\tau-kT)|}{\sigma\sqrt{2} \sqrt{k}}\right)^{2k} \times \frac{1}{\sqrt{2k-1}} \frac{1}{k^k e^{-k} \sqrt{2\pi k}} \quad (21)$$

Comme

$$\sqrt{2\pi N} < \sqrt{2\pi k}$$

(21) peut se réécrire:

$$R_N < \sqrt{\frac{2}{\pi}} \exp\left(\frac{-A^2}{4\sigma^2}\right) \sum_{k=N}^{\infty} \left(\frac{3 \sum_{\ell \neq 0} |P(\tau-\ell T)|}{\sigma\sqrt{2k}}\right)^{2k} \times \frac{1}{e^{-k}} \frac{1}{\sqrt{2N-1} \sqrt{2\pi N}} \quad (22)$$

En posant  $k = p + N$ , la série de (22) devient:

$$\frac{1}{e^{-N}} \left(\frac{3 \sum_{\ell \neq 0} |P(\tau-\ell T)|}{\sqrt{N} \sigma\sqrt{2}}\right)^{2N} \sum_{p=0}^{\infty} \left[\left(\frac{3 \sum_{\ell \neq 0} |P(\tau-\ell T)|}{\sqrt{N} \sigma\sqrt{2}}\right)^2 \frac{1}{e^{-1}}\right]^p \quad (22')$$

La forme de (22') est une série géométrique dont le résultat est bien connu; ainsi, la borne supérieure de  $R_N$  définie par (22) s'obtient comme:

$$R_N < \sqrt{\frac{2}{\pi}} \frac{\exp\left(\frac{-A^2}{4\sigma^2}\right)}{N! \sqrt{2N-1}} \frac{\overline{M}_N}{(\sigma\sqrt{2})^{2N}}$$

où

$$\overline{M}_N = \frac{\left( 3 \sum_{\ell \neq 0} |P(\tau - \ell T)| \right)^{2N}}{1 - e^{\left( \frac{3 \sum_{\ell \neq 0} |P(\tau - \ell T)|}{\sqrt{N} \sigma \sqrt{2}} \right)^2}} \quad (23)$$

Cette majoration de l'erreur de troncation, réalisée sur ordinateur, en même temps que le calcul des moments tronqués, servira donc de manière pratique comme critère d'arrêt dans le calcul de l'interférence intersymbole. Ainsi, la série est arrêtée quand l'erreur relative atteint  $10^{-5}$  dans notre programme.

## II.6 Conclusion

Nous avons présenté dans ce chapitre, et ce, de manière très complète, la méthodologie permettant d'analyser la performance d'un récepteur QAM en présence d'un signal d'interférence FM. Il consiste à considérer cette interférence comme tout simplement une composante additive à l'entrée du dispositif de décision. Ainsi, la méthode qu'avaient proposée Ho et Yeh pour étudier les systèmes BPSK peut être adaptée à la résolution de notre problème. Toutefois, la récursivité de leur méthode est très sensible vis-à-vis l'erreur de troncation; ce qui nous amène à calculer directement les moments de l'interférence globale. Cette interférence, qui est une somme de plusieurs variables aléatoires indépendantes, peut être analysée systématiquement. Il est intéressant de noter que la précision de cette méthode directe est contrôlable par un critère quantitatif préalablement défini.

Malgré un temps de calcul assez important, la flexibilité de la méthode nous permet de tenir compte des interférences de toute nature, ce qui représente un avantage remarquable par rapport à d'autres méthodes connues dans la littérature. L'exploitation de cette méthode, ainsi que sa programmation seront présentées dans le chapitre suivant.

## CHAPITRE III

### PRÉSENTATION DES RÉSULTATS ET DISCUSSION

#### III.1 Méthode des moments

##### III.1.1 Introduction

Les débuts de nos travaux ont porté d'abord sur la mise au point d'un programme en PASCAL réalisant le calcul de la probabilité d'erreur dans un récepteur QAM par la méthode de Ho et Yeh [1].

Cette méthode, que l'on appellera méthode des moments, a été développée par les auteurs en question pour le calcul de la probabilité d'erreur en présence d'IIS. Toutefois, il a été souligné [2] que cette méthode est suffisamment flexible pour permettre le calcul de  $P_e$  en présence d'une ou même de plusieurs interférences quelconques. Dans ce dernier cas, dans l'hypothèse que les différentes interférences sont indépendantes, il suffit de calculer les moments de chaque interférence séparément puis de les combiner par une formule appropriée.

Pour vérifier le bon fonctionnement des programmes développés, nous avons calculé  $P_e$  en présence d'IIS puis d'une interférence sinusoïdale et avons comparé nos résultats avec ceux publiés [3]. Ensuite, une fois cette étape réalisée, nous avons entrepris le calcul de  $P_e$  en présence d'une interférence FM comme nous nous proposons de le faire dans la phase préliminaire.

### III.1.2 Calculs des moments de l'IIS

#### III.1.2.1 Méthode de calcul

L'interférence intersymbole (IIS) apparaît à la réception lors de la transmission de plusieurs symboles consécutifs et résulte du fait que la réponse du canal n'est pas complètement nulle à des multiples de la période d'échantillonnage. C'est une variable aléatoire de la forme:

$$X(t_0) = \sum_{i \neq 0}^{\infty} a_i P(t_0 - iT) \quad (\text{voie en phase})$$

où  $p(t)$  est la partie réelle de la réponse passe-bas du canal à un créneau (ou à toute autre forme de "pulse"), et  $a_i$  est le symbole transmis à l'instant  $t_0 - iT$  dont les valeurs possibles dépendent du nombre de nouveaux du QAM et sont équiprobables. On désire calculer les moments d'ordre  $2k$  de  $X$ . Donc:

$$E\{X^{2k}\} = E\left[\sum_{i \neq 0}^{\infty} a_i P(t_0 - iT)\right]^{2k}$$

Nous avons réalisé ce calcul par la méthode directe qui consiste à moyenner sur toutes les valeurs possibles de  $X$ , bien qu'il existe d'autres méthodes disponibles. En pratique, la sommation infinie est tronquée à  $U$  termes de manière à minimiser les calculs. Toutefois, il faut être certain que la convergence des moments est atteinte. Ce calcul se réalise sans trop de mal si les différents échantillons de la réponse du canal décroissent rapidement. Si ce n'est pas le cas, la quantité énorme de calcul peut rendre la tâche impossible. Si on prend un filtre Butterworth d'ordre 5 et une "pulse" rectangulaire, 17 échantillons suffisent pour permettre la convergence des moments. Malgré cela, la quantité de calcul demeure considérable. Par exemple, si on prend le QAM-64 on aura  $8^{16} = 2.8 \times 10^{14}$  valeurs de  $X$  à moyenner. Ce nombre est encore trop élevé pour que les résultats sortent en un temps raisonnable. Heureusement, il est possible de diminuer les temps de calcul si on tient compte du fait que les différents symboles transmis sont indépendants. En effet, si on sépare la variable  $X$  en deux variables indépendantes



$X_1$  et  $X_2$  ayant chacune  $U-1/2$  termes, elles-mêmes pouvant être séparées en 2 autres variables, on aura pour le calcul des moments:

$$E\{X^{2k}\} = E\{(X_1 + X_2)^{2k}\} = \sum_{j=0}^k C_{2k}^{2j} E\{X_1^{2j} X_2^{2k-2j}\}$$

et

$$E\{X_1^{2j} X_2^{2k-2j}\} = E\{X_1^{2j}\} E\{X_2^{2k-2j}\}$$

car  $X_1$  et  $X_2$  sont indépendantes. On pourra donc utiliser cette formule pour combiner les moments de  $X_1$  et  $X_2$  ou pour combiner les moments de n'importe quelles interférences à la condition qu'elles soient indépendantes. Par exemple, on pourra, à l'aide de cette formule, combiner sans difficulté l'IIS avec une interférence sinusoïdale comme on le verra dans la section suivante.

### III.1.2.2 Description de QAM

Le calcul de l'IIS par la méthode directe et le calcul de  $P_e$  par la méthode des moments ont été réalisés par le programme QAM. L'organigramme simplifié de ce programme est présenté à la figure 3.1. Les résultats de ces premiers essais ont été comparés avec ceux présentés dans [3] pour le cas des QAM-4, 16, 36 et 64 avec un filtre Butterworth ordre 5 et une "pulse rectangulaire". La convergence des moments a été vérifiée pour le cas précis discuté. Toutefois, si on voulait changer l'allure du filtre ou de la "pulse", il faudrait vérifier à chaque fois que la convergence est atteinte. Si elle n'est pas atteinte, il faudra augmenter le nombre d'échantillons de la réponse du canal et par conséquent, les temps de calcul augmenteront proportionnellement. Toutefois, il faudra à chaque fois modifier les procédures de calcul des moments IIS. Le programme QAM imprime deux valeurs de  $P_e$ .  $P_{E1}$  est la probabilité d'erreur en présence de bruit gaussien seulement et  $P_{E2}$  est la probabilité d'erreur avec bruit gaussien et IIS. Ces résultats dépendent des trois paramètres: BT, N et SNR. BT est la largeur de bande du filtre normalisé à  $1/T$ . N est le paramètre qui sélectionne le type de QAM utilisé où  $M = (2N)^2$  et M est le nombre d'états. Finalement, SNR est le rapport de la puissance moyenne du signal QAM à la puissance du bruit en dB.

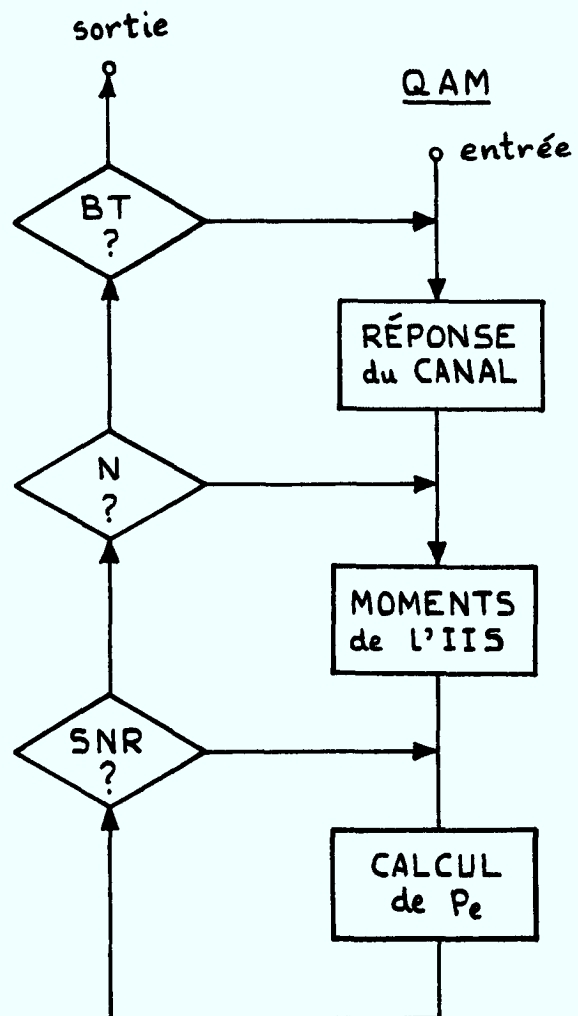


Fig. 3.1 - Organigramme de QAM

$$\text{SNR} = 10 \log_{10} \frac{P_m}{N_o/2T} \quad \text{où} \quad P_m = \frac{A^2}{T} \frac{((2N)^2-1)}{3}$$

Le calcul des moments IIS pour les types de modulation QAM-4, 16, 36 et 64 est réalisé par les procédures MOM4, MOM16, MOM36 et MOM64 en utilisant la méthode directe telle que mentionnée. On réalise numériquement le calcul de la réponse du canal par la méthode d'intégration de Romberg par les fonctions REP, ROM et FREQ. Ces fonctions réalisent l'intégrale suivante:

$$s(kT) = 2 \int_0^L \left( \frac{\sin \pi \Omega}{\pi \Omega} \right) \left( \frac{1}{(1+(2\Omega/BT)^2)^{\frac{1}{2}}} \right) \cos 2\pi k \Omega \, d\Omega$$

où L est choisi afin de limiter les erreurs et les temps de calcul. La précision du résultat est fixée dans ROM → à  $10^{-12}$  ou par le nombre d'itérations (15). On peut modifier cette précision si on veut gagner sur les temps de calcul. De plus, on peut modifier l'allure de la réponse du canal en modifiant la fonction à intégrer qui est dans FREQ. Dans cette fonction, la variable d'intégration est normalisée à  $1/T$  et  $B = 2f_c$ . Quant au calcul de  $P_e$  avec IIS (calcul de la série), il est réalisé dans HERMITE. Cette fonction nécessite que les moments IIS jusqu'à un certain ordre  $2K$  soient calculés au préalable. Donc, il faut choisir le paramètre FIN, déterminant le nombre de moments à calculer, suffisamment grand pour permettre la convergence de la série dont la précision a été fixée à  $10^{-5}$ . La fonction HERMITE réalise le calcul suivant:

$$y = \frac{e^{-x^2}}{\sqrt{\pi}} \sum_{k=1}^N E_k M_{2k}$$

où

$$E_k = \frac{x^{2k}}{(2k)!} \left[ \left(1 - \frac{4k-5}{2x^2}\right) E_{k-1} - \frac{(k-2)}{(k-1)} E_{k-2} \right]$$

avec

$$E_1 = x^3 \quad \text{et} \quad E_2 = \frac{x^4}{24} (8x^3 - 12x)$$

L'argument  $x$  est donné par:

$$x = \frac{A p_o}{\sqrt{2} \sigma}$$

On calcule  $A$  à partir de SNR et  $\sigma^2$  est la puissance du bruit à l'entrée du dispositif de décision.  $P_o$  est la valeur de la réponse du canal à l'instant d'échantillonnage. Donc, en combinant les équations suivantes:

$$\text{SNR} = 10 \log_{10} \frac{P_m}{N_o/2T} \quad \text{où} \quad P_m = \frac{A^2}{T} \frac{((2N)^2 - 1)}{3}$$

et

$$\sigma^2 = \frac{N_o}{2} (BT)(kT)$$

on obtient:

$$x = P_o \left[ \frac{3 \times 10^{\text{SNR}/10}}{2((2N)^2 - 1)BT \cdot kT} \right]^{\frac{1}{2}}$$

$BT$  est la largeur de bande normalisée et  $kT$  est la bande de bruit du filtre de canal. Pour un filtre Butterworth, on a pour  $kT$ :

$$kT = \frac{\pi}{2n \sin(\pi/2n)}$$

si  $n = 5$ ,  $kT = 1.0166$ .

Notons en passant qu'il existe un  $BT$  optimal où  $P_e$  est minimum. Dans le cas du filtre Butterworth d'ordre 5 et d'une "pulse" rectangulaire, on trouve  $BT = 1.05$ . Cette valeur reviendra souvent par la suite dans nos résultats. Ajoutons également que cette valeur de  $BT$  n'est optimale que pour ce type de filtre et de "pulse". Par exemple, avec un filtre idéal, on obtient  $BT = 1.0$ . Il est possible aussi de changer la valeur de l'ordre du filtre qui est fixée à 5 par le paramètre  $z$ . Il faut s'assurer à chaque fois de ne pas oublier de modifier la valeur de  $kT$  en conséquence. Il faut s'assurer

également que la convergence des moments est atteinte à chaque fois. Les essais que nous avons faits nous ont permis de trouver qu'un filtre Butterworth d'ordre >50 était nécessaire pour équivaloir un filtre idéal en ce qui concerne l'IIS.

### III.1.3 Calcul des moments d'une interférence sinusoïdale

#### III.1.3.1 Méthode de calcul

Avec les programmes développés jusqu'ici, pour calculer la probabilité d'erreur en présence d'une interférence sinusoïdale, il nous suffit de connaître les moments de cette interférence.

Supposons que cette interférence à l'entrée du dispositif de décision soit de la forme:

$$I = B \cos \theta \quad \text{où} \quad \theta \text{ est également répartie.}$$

On peut calculer les moments d'ordre  $2k$  de  $I$  facilement par:

$$M_I^{2k} = E\{B^{2k} \cos^{2k} \theta\} = \frac{1}{2\pi} \int_{-\pi}^{\pi} B^{2k} \cos^{2k} \theta \, d\theta$$

$$M_I^{2k} = \frac{B^{2k} (2k)!}{2^{2k} (k!)^2} \quad \text{et} \quad M_I^{2k+2} = \frac{B^2}{2} \frac{(2k+1)}{(k+1)} M_I^{2k}$$

Ce calcul est réalisé dans la procédure MOMBS et le calcul de  $P_e$  en présence d'IIS et de cette interférence est réalisé dans le programme QAMBS.

#### III.1.3.2 Description de QAMBS

Le programme QAMBS, comme on peut le voir en examinant les listings en Annexe et l'organigramme (fig. 3.2), est essentiellement le programme QAM dans lequel on a ajouté la procédure MOMBS. Cette procédure calcule, comme on le sait, les moments de l'interférence sinusoïdale. Le calcul se poursuit ensuite par la combinaison des moments IIS et de moments sinusoïdaux par la procédure UNION. Après cela, le calcul continu comme dans QAM.

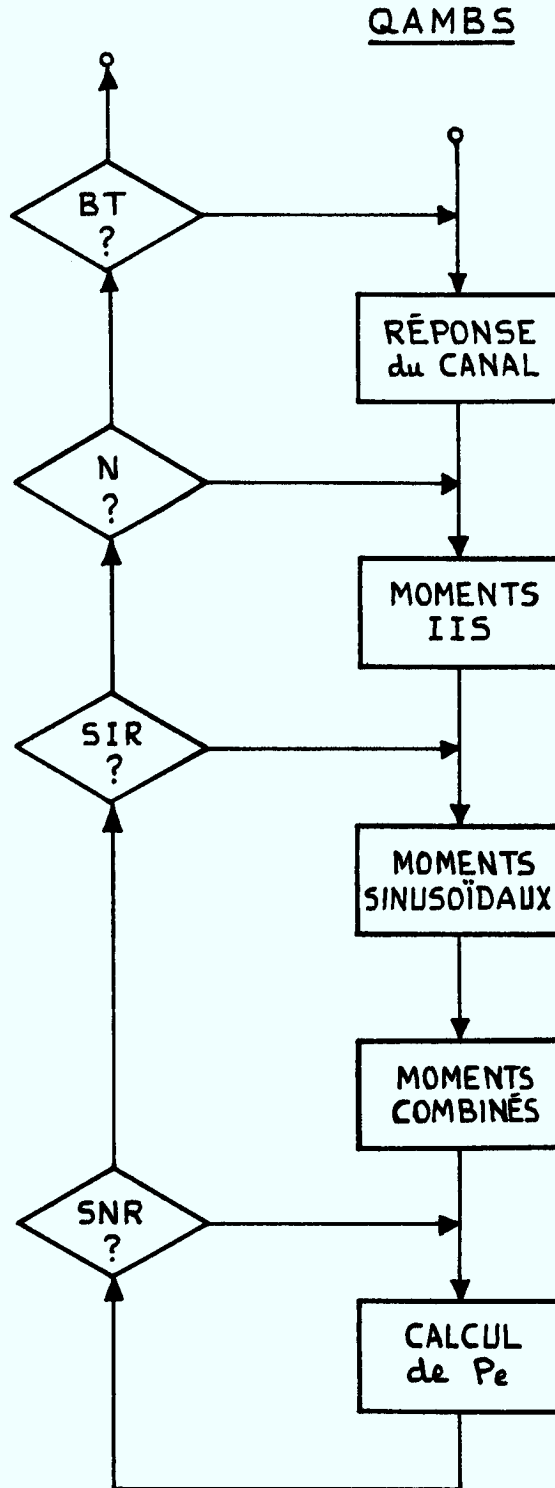


Fig. 3.2 - Organigramme de QAMBS

Dans la procédure MOMBS, le calcul des moments nécessite de connaître  $B^2$ . Celui-ci est déterminé à partir de SIR le rapport signal à interférence en dB.

$$SIR = 10 \log_{10} \frac{P_m}{B^2/2T} \quad \text{où} \quad P_m = \frac{A^2}{T} \frac{(2N)^2 - 1}{3}$$

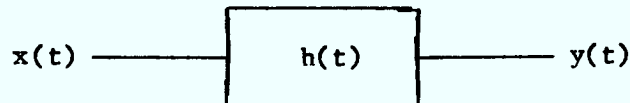
donc

$$B^2 = \frac{2((2N)^2 - 1) \cdot 10^{-SIR/10}}{3}$$

### III.2 Moments d'une interférence FM

#### III.2.1 Introduction

Avec comme outil les programmes développés jusqu'à présent, nous nous sommes attardés, comme il se devait, au problème du calcul des moments d'une interférence FM. Avant de décrire la première méthode qui a fait l'objet de nos recherches, nous voudrions souligner la difficulté que représente le calcul d'une manière exacte des moments FM. En fait, la difficulté provient du fait que pour calculer la réponse d'un système linéaire à un processus aléatoire non-gaussien, une connaissance complète des statistiques de tout ordre est en général nécessaire. Supposons le système linéaire suivant:



Si on calcule la statistique d'ordre  $n$  de la sortie  $y(t)$ , on obtient [4]:

$$E\{y(t_1)y(t_2)\dots y(t_n)\} = E\{x(t_1)x(t_2)\dots x(t_n)\} * h(t_1) \dots * h(t_n)$$

où l'opérateur  $*$  est l'opérateur de convolution. Cette expression représente une quantité considérable de calcul, rendant toute solution explicite hors de la portée de la plupart des ordinateurs. Quand  $x(t)$  est gaussien, la connaissance de  $E\{x(t_1)x(t_2)\}$  suffit pour le calcul des statistiques de tout ordre de

$y(t)$ . De plus, les propriétés d'une fonction de type gaussien permet de prédire le résultat du calcul sans faire aucun calcul. En effet, la convolution d'une fonction gaussienne avec une fonction quelconque donnera une autre fonction gaussienne dont les seuls paramètres à déterminer sont la moyenne et la variance. Il est certain que les propriétés d'un signal FM ne nous permettent pas d'arriver à une telle simplification même si en principe il est possible de calculer les moments de tout ordre d'un signal FM par une transformation non-linéaire.

Il nous apparaît donc nécessaire de faire appel à des hypothèses simplificatrices qui permettront d'obtenir des solutions asymptotiquement valables ou qui représentent une borne d'erreur quelconque.

La première hypothèse que nous avons étudiée est l'hypothèse de quasi-stationnarité. Cette hypothèse est valable asymptotiquement lorsque le signal modulant FM varie très lentement par rapport à la période d'échantillonnage du récepteur. Donc, vu du récepteur, l'interférence FM apparaît comme une interférence sinusoïdale dont la fréquence et l'amplitude sont constantes sur une ou plusieurs périodes d'échantillonnage mais variant lentement selon les statistiques du signal modulant.

La deuxième hypothèse sur laquelle nous avons travaillé est l'hypothèse gaussienne. Cette hypothèse représente le cas limite, ou comme nous allons le voir, la borne supérieure d'une somme très grande d'interférences quelconques indépendantes. En effet, si on découpe la densité spectrale de notre signal FM en un très grand nombre de bandes étroites, on aura une somme d'interférences sinusoïdales dont les amplitudes seront pondérées par la valeur de la densité spectrale à la fréquence de chaque petite bande. Maintenant, si la phase de chacune de ces bandes est indépendante des autres, on aboutit à la limite à une interférence gaussienne.

### III.2.2 Hypothèse quasi-stationnaire

#### III.2.2.1 Méthode de calcul

Cette hypothèse a été utilisée par Morinaga et Namekawa [5] pour le cas de multiples interférences FM dans un récepteur PSK. Toutefois, aucune discussion sur la validité d'une telle hypothèse ne fut présentée.



Donc, si on part avec l'hypothèse de quasi-stationnarité, on aura à l'entrée du dispositif de décision un signal de la forme:

$$s(kT) = KG(f_1)\cos\theta$$

où  $G(f)$  représente la réponse en fréquence du récepteur et  $\theta$  est répartie également. La variable aléatoire  $f_1$  représente la fréquence instantanée basse-fréquence du signal FM dont les statistiques dépendent du signal modulant. Nous avons choisi pour  $f_1$  une distribution gaussienne. Ce choix demeure un choix réaliste et permet de simplifier les calculs. De plus, on peut choisir  $G(f)$  pour simplifier les calculs davantage. Le cas le plus simple est le cas où  $G(f)$  est un filtre idéal. Dans ce cas, la variable aléatoire  $G(f_1)$  devient une variable binaire prenant les valeurs 1 ou 0 dépendant si  $f_1$  est à l'intérieur ou non de la bande passante du récepteur. La procédure qui suivra est alors très simple:

- 1) on calcule  $P_e$  sans interférence ( $P_1$ ),
- 2) on calcule  $P_e$  avec interférence sinusoïdale  $I = K\cos\theta:(P_2)$ ,
- 3) on fait la moyenne pondérée de ces deux valeurs.

Si  $P_k = P_r(|f_1| < B/2)$ , alors on aura:

$$P_e = p_k P_2 + (1-p_k)P_1 = P_1 + P_k(P_2 - P_1) \quad P_2 > P_1$$

On calcule  $P_k$  par:

$$P_k = \frac{1}{2} \left[ \operatorname{erfc}\left(\frac{\tilde{f}+B/2}{\sqrt{2} \Delta f}\right) - \operatorname{erfc}\left(\frac{\tilde{f}-B/2}{\sqrt{2} \Delta f}\right) \right]$$

où  $\tilde{f}$  : écart de fréquence entre les porteuses FM et QAM,

$\Delta f$  : déviation de fréquence RMS du signal FM.

Pour les fins de calculs,  $\tilde{f}$  et  $\Delta f$  sont normalisés à  $B/2$  et

$$Y = \frac{\Delta f}{B/2} \quad X = \frac{\tilde{f}}{B/2}$$

### III.2.2.2 Difficultés numériques

Comme on peut le voir, le calcul qui en résulte est très simple. Par contre, l'emploi d'un filtre idéal bien que facilitant le calcul de l'interférence FM complique le calcul de l'IIS. En effet, il faudra vérifier que la convergence des moments IIS est bien atteinte pour ce nouveau type de filtre. En fait, la décroissance des échantillons de la réponse du canal est très lente et la convergence n'est possible, en pratique, avec un nombre pas trop élevé d'échantillons, que pour  $BT = 1.0$ . De plus, pour ce type de filtre et une "pulse" rectangulaire, on obtient un niveau d'interférence IIS relativement élevé par rapport à une situation réelle (voir fig. 3.3). On a pu vérifier en calculant  $P_e$  pour différents ordres de filtre Butterworth que lorsque l'on fait tendre l'ordre du filtre vers l'infini, l'IIS croît d'une manière constante et atteint son maximum pour un filtre idéal (voir fig. 3.4).

Nos efforts subséquents ont tenté de réduire ce niveau d'IIS tout en couvrant notre filtre idéal. Nos essais ont porté surtout sur le type de "pulse" à la transmission. On s'attendait à priori que l'emploi d'une "pulse" du type cosinus relevé viendrait diminuer l'IIS par rapport à une "pulse" rectangulaire. En fait, les résultats ont démontré le contraire, l'IIS étant plus élevé pour le cas de la "pulse" cosinus relevé. On aurait pu prévoir le résultat en examinant l'allure du spectre de chacune de ces "pulses".

Dans les deux cas, on a un spectre de forme similaire (voir fig. 3.5). On s'attend à ce que l'IIS soit moindre si  $H(BT/2)$  est près de l'unité. Si  $H(\Omega)$  est constant dans la bande  $BT$ , l'IIS sera nul. On peut vérifier que:

$$H(BT/2) = 0.64$$

"pulse" rectangulaire

$$H(BT/2) = 0.50$$

"pulse" cosinus relevé avec recouvrement sur 2 intervalles.

Donc, l'IIS sera plus élevé pour une "pulse" cosinus relevé que pour une "pulse" rectangulaire. Ce résultat ne vaut évidemment que pour le filtrage idéal.

## QAM-16

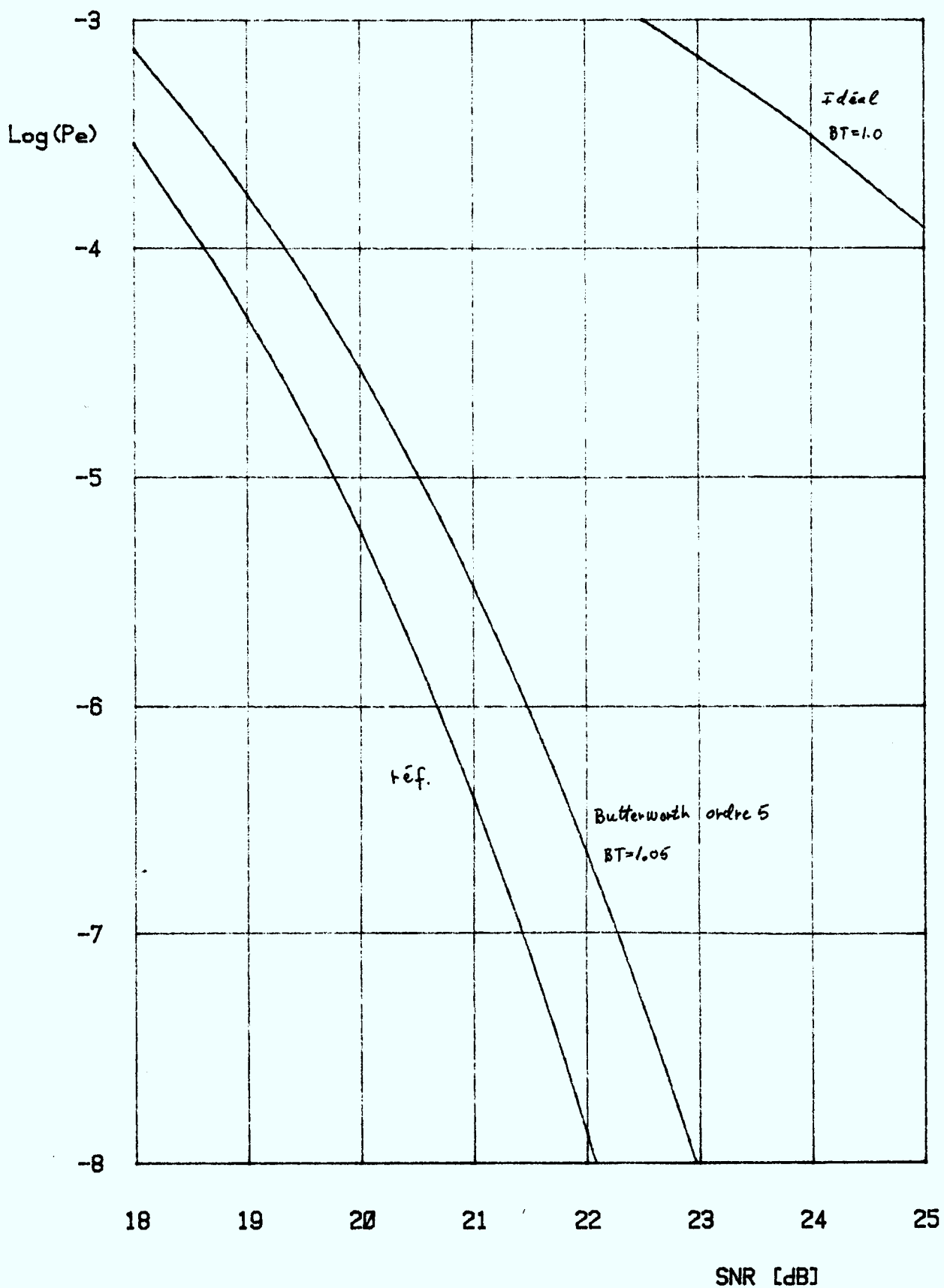


FIGURE 3.3

## QAM-16 FILTRE BUTTERWORTH ORDRE N BT= 1.05

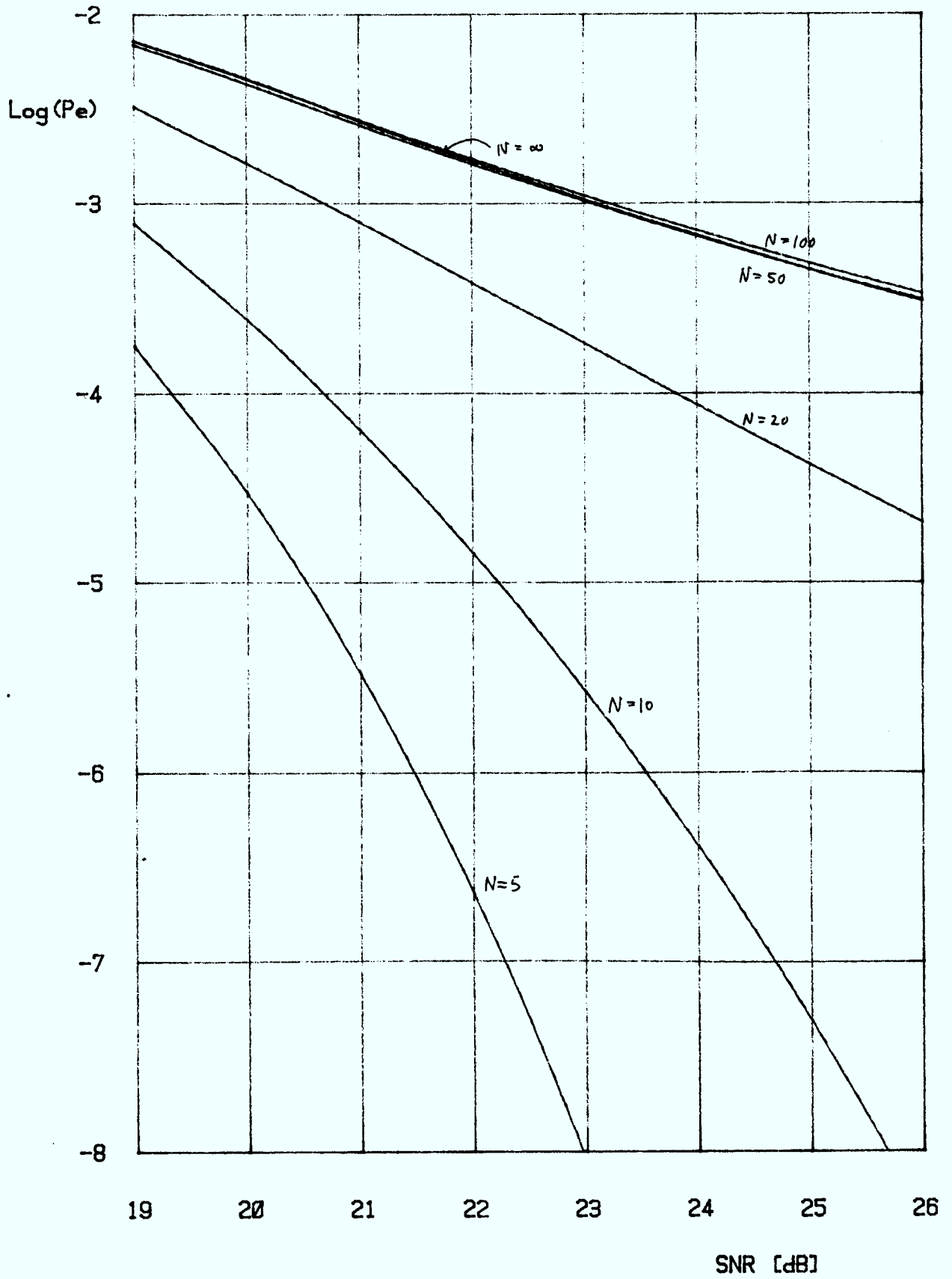


FIGURE 3.4

### III.2.2.3 Difficultés théoriques

L'emploi d'un filtre idéal rend l'hypothèse quasi-stationnaire encore plus invraisemblable, comme on le verra en étudiant la borne de Weiner [6].

Soit  $y(t)$  un signal FM à la sortie d'un filtre linéaire réel dont la réponse en fréquence est rationnelle.

$$y(t) = v(t) + v_c(t)$$

où  $v(t)$  est le terme quasi-stationnaire et  $v_c(t)$  un terme d'erreur que l'on désire le plus faible possible. Dans son article, Weiner donne la borne suivante:

$$|v_c(t)| < \Delta\omega |f'(\tau)|_{\max} \sum_{y=1}^n \frac{|K_y|}{(\alpha_y)^3} = \Delta\omega |f'(\tau)|_{\max} K(n)$$

comme  $H(p)$  est rationnel,  $H(p) = \sum_{y=1}^n \frac{K_y}{p-p_y}$   $p_y = \alpha_y + j\beta_y$

On peut calculer  $K(n)$  pour un filtre Butterworth. Le résultat est présenté au tableau 3.1. Comme on peut le constater,  $K(n)$  croît avec  $n$  et tend vers l'infini pour un filtre idéal. Il devient donc impossible de trouver des valeurs raisonnables de  $\Delta\omega |f'(\tau)|_{\max}$  qui puissent rendre  $|v_c(t)|$  aussi petit que l'on veut.

### III.2.2.4 Résultats

Pour atténuer les difficultés rencontrées, tant numériques que théoriques, nous avons préféré présenter des résultats avec un filtre Butterworth d'ordre 5. Avec ce type de filtre, le calcul des moments FM n'est plus aussi simple car il faut calculer les moments de  $G(f)$  par une transformation non-linéaire. Mais nous pensons qu'on peut éviter ces complications en considérant le problème autrement. Supposons la bande de notre filtre Butterworth divisée en trois zones disjointes (voir fig. 3.6). La zone 1 et la zone 3 représentent le cas précédent du filtrage idéal car la valeur de la réponse est 1 ou 0. Dans la zone de transition (ou zone 2), la réponse peut prendre

n	K(n)
1	1
2	4
3	10.24
4	20.91
5	37.40
10	311.20
15	2,324.32
20	26,397.98
25	385,365.80
30	6,143,691.96

Tableau 3.1

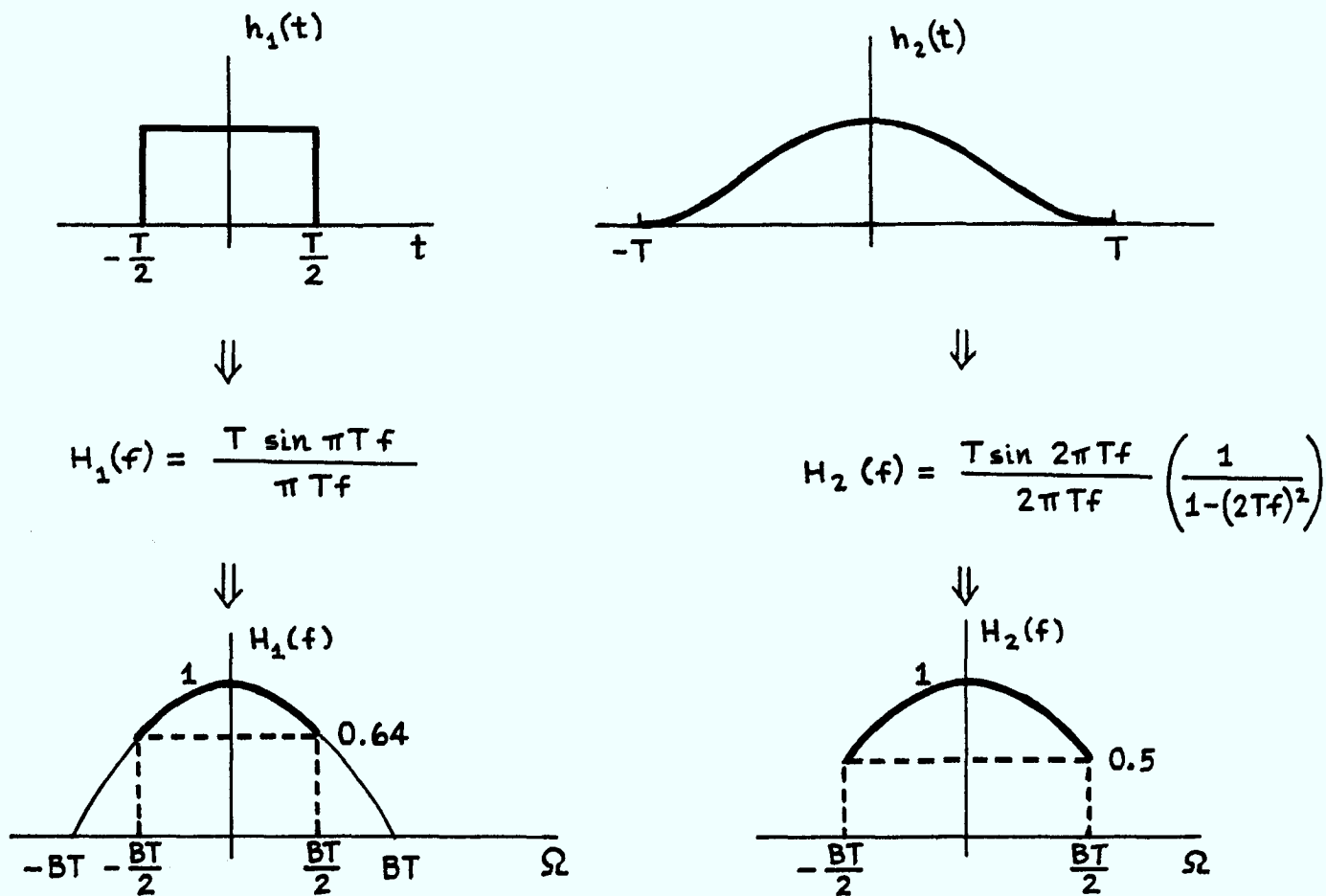


Fig. 3.5 - Comparaison de deux formes de "pulse" différentes

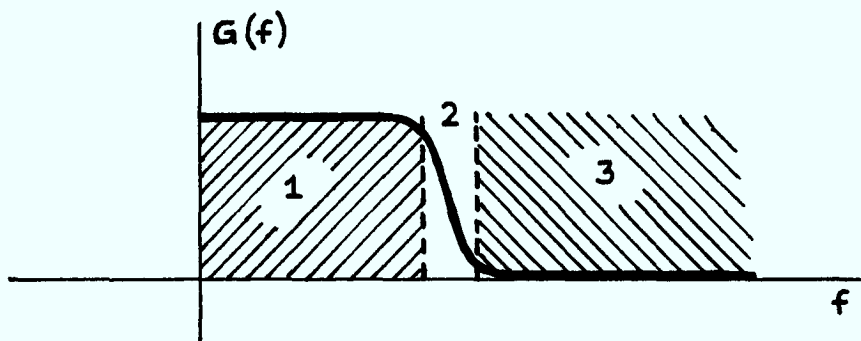


Fig. 3.6 - Modèle de filtrage pour les besoins du calcul de l'interférence FM

une valeur continue entre 0 et 1. On pourrait assigner à cette zone la valeur 1/2 et faire la moyenne sur les trois valeurs de  $P_e$  correspondantes. Toutefois, comme la probabilité que la fréquence instantanée soit dans cette zone est faible, puisque cette zone est généralement étroite, on peut tout simplement négliger cette zone et faire le calcul comme dans le cas idéal sans commettre d'erreurs importantes.

Donc, les résultats présentés en annexe A valent pour un filtre Butterworth ordre 5 avec  $BT = 1.05$  et pour le QAM-16. Sur ces courbes, le paramètre  $Y$  correspond à la déviation de fréquence RMS normalisée à  $B/2$  et la position FM correspond au paramètre  $X$  qui est l'écart entre les porteurs FM et QAM normalisés à  $B/2$ . Le paramètre SIR a déjà été défini précédemment.

Le premier type de courbes présente  $\text{Log}(P_e)$  en fonction de  $X$  pour différents SIR et  $Y$ . Le deuxième type de courbes présente le DSNR (accroissement de SNR pour garder un  $P_e$  constant) en fonction de SIR pour un  $P_e = 10^{-5}$  avec et sans IIS pour deux valeurs de  $Y$ . Ces courbes sont loin de former un ensemble complet mais elles permettent d'avoir une idée suffisante de l'allure des résultats.

Ces résultats ont été réalisés avec le programme QAMFM. Il est essentiellement semblable à QAMBS avec en plus le calcul de  $P_k$ . L'organigramme de QAMFM est présenté à la figure 3.7. Ce programme imprime, en plus de la valeur des différents paramètres, six valeurs différentes de probabilité d'erreur. Elles correspondent aux situations suivantes:

- $P_{E1}$  :  $P_e$  avec bruit gaussien seulement.
- $P_{E2}$  :  $P_e$  avec bruit gaussien et interférence sinusoïdale constante.
- $P_{E3}$  : comme  $P_{E2}$  mais avec en plus l'IIS.
- $P_{E4}$  : comme  $P_{E1}$  mais avec IIS.
- $P_{E5}$  :  $P_e$  avec interférence FM avec IIS.
- $P_{E6}$  :  $P_e$  avec interférence FM sans IIS.

Les valeurs tracées sur les courbes correspondent à  $P_{E5}$ .



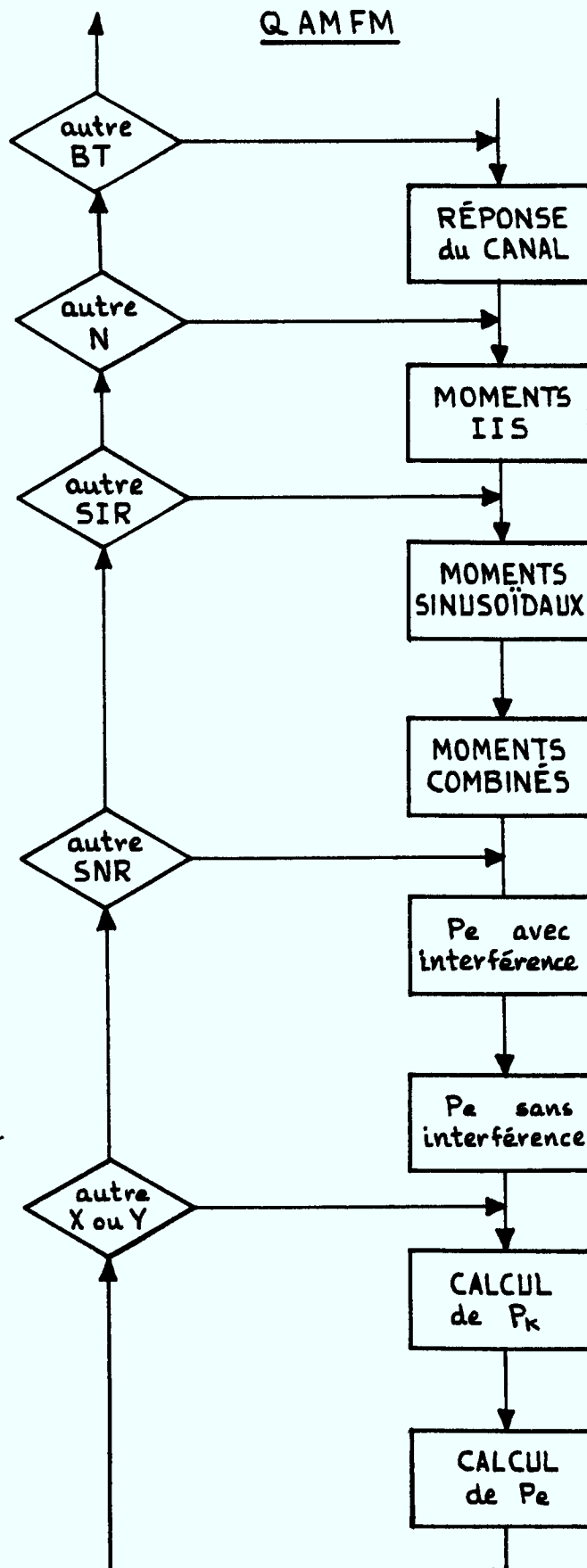


Fig. 3.7 - Organigramme de QAM FM

### III.2.3 Hypothèse gaussienne

#### III.2.3.1 Introduction

Soit  $G(f)$  la densité spectrale de notre interférence FM. Nous voulons découper la bande de cette densité spectrale en  $n$  bandes disjointes. À la limite, lorsque  $n$  est grand, chacune de ces petites bandes pourrait être vue comme une interférence sinusoïdale de la forme:

$$I_i = B_i \cos \theta_i$$

où l'indice  $i$  représente la bande  $i$  située à la fréquence  $f_i$ ,  $B_i = \sqrt{G(f_i)}$  et  $\theta_i$  est répartie également. Donc, notre interférence FM sera constituée par la somme de  $n$  interférences sinusoïdales qui, si on suppose les  $\theta_i$  indépendants, aura une distribution gaussienne lorsque  $n$  tendra vers l'infini. Donc, l'hypothèse gaussienne constitue le cas limite d'une somme infinie d'interférences quelconques indépendantes.

#### III.2.3.2 Méthode de calcul

On s'est d'abord intéressé au cas d'un nombre fini d'interférence sinusoïdale pour  $G(f)$  blanc et  $G(f)$  de forme gaussienne. Pour ce faire, la méthode des moments nous a été très utile. Toutefois, les temps de calculs deviennent très élevés lorsque le nombre de bandes augmente substantiellement. Ceci est dû au fait qu'il faut combiner les moments de chaque interférence ce qui demande passablement de temps de calcul. Cependant, ceci nous a permis de constater le comportement de  $P_e$  lorsque  $n$  augmente. En examinant la figure 3.8, on peut voir que  $P_e$  augmente de manière monotone avec  $n$ . Donc, l'hypothèse gaussienne qui est le cas limite lorsque  $n$  est infini représente une borne supérieure pour une somme d'interférences indépendantes. On observe le même comportement peu importe la forme de  $G(f)$ . Donc, pour calculer les moments de notre interférence gaussienne, il suffit de calculer la variance qui représente en fait la puissance de notre interférence dans la bande du récepteur. Ensuite, on peut procéder au calcul de  $P_e$  par la méthode des moments. En fait, le calcul par la méthode des moments n'est plus nécessaire puisqu'on peut assimiler notre interférence au bruit gaussien. Donc, finalement, le calcul se résume à quelques opérations simples:

## QAM-16 INTERFERENCES SINUS. MULTIPLES SANS IIS SIR= 20 dB

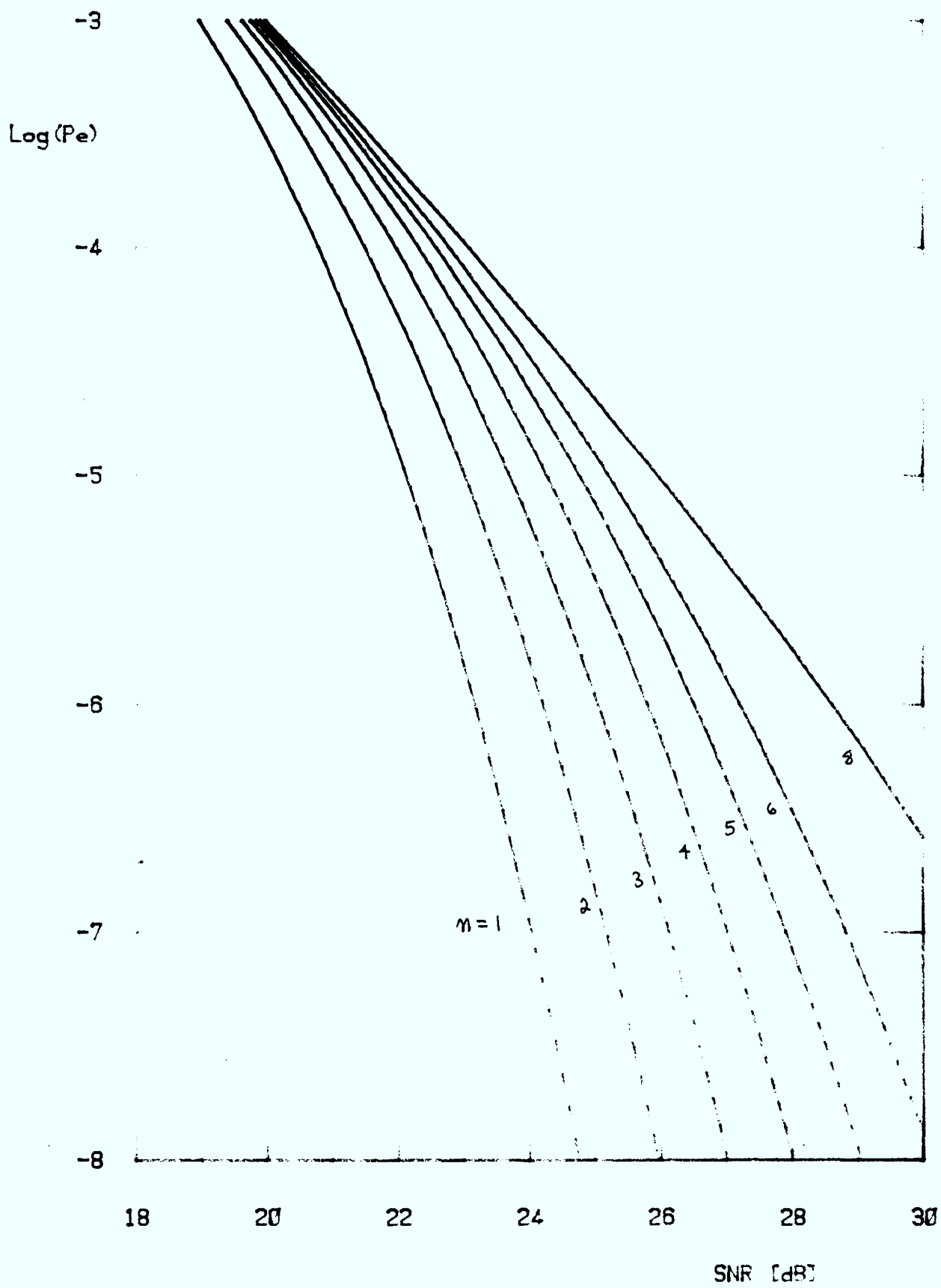


FIGURE 3.8

1) Calculer la puissance de l'interférence à l'entrée du dispositif de décision en intégrant la densité spectrale dans la bande du récepteur. Dans nos résultats, ceci a été réalisé avec une densité spectrale de forme gaussienne, ce qui simplifie passablement le calcul.

2) On recalcule un nouveau SIR appelé SIRC:

$$\text{SIR} = 10 \log_{10} \frac{P_m}{P_I}$$

où  $P_m$  = puissance moyenne du signal OAM,

$P_I$  = puissance moyenne de l'interférence à l'entrée du récepteur.

Si on a  $P = \int_{-\infty}^{\infty} G(f) |H(f)|^2 df$  % de la puissance de l'interférence qui entre dans le récepteur.

où  $H(f)$  est la réponse du récepteur ( $H(f)$  est idéal dans nos résultats) et  $G(f)$  est normalisé, on aura:

$$\text{SIRC} = 10 \log_{10} \frac{P_m}{P \cdot P_I} = \text{SIR} - 10 \log_{10} P$$

3) On recalcule un nouveau SNR appelé SNIR pour rapport signal à bruit + interférence:

$$\text{SNIR} = 10 \log_{10} \frac{S}{N+I} = 10 \log_{10} [10^{-\text{SNR}/10} + 10^{-\text{SIRC}/10}]^{-1}$$

4) On calcule  $P_e$  par:

$$P_e = \frac{1}{2} (2-1/N) \text{erfc}(S)$$

où

$$S = \left( \frac{3 \times 10^{\text{SNIR}/10}}{2((2N)^2 - 1)} \right)^{\frac{1}{2}}$$

Tout ce calcul peut être réalisé sur un petit calculateur. La seule difficulté numérique étant le calcul d'une intégrale numérique pour le calcul de  $\operatorname{erfc}(x)$  et de  $P$ . Ceci a été réalisé dans le programme OFMRG (voir fig. 3.9). Évidemment, tout ceci est très simple car on néglige l'IIS. Pour l'inclure, on aurait simplement qu'à revenir à la méthode des moments, ce qui ne devrait pas poser de problèmes.

### III.2.3.3 Description de QFMRG

Ce programme fournit, pour fin de comparaison, les deux valeurs de  $P_e$  correspondant à la situation avec ou sans interférences. Le programme permet d'utiliser un  $G(f)$  quelconque. Il suffit de modifier la fonction FT dans la fonction BANDE. Les deux paramètres relatifs à l'interférence FM sont DF et FC. Ces deux paramètres sont normalisés à  $B/2$  comme auparavant.

FC a la même signification que dans l'hypothèse quasi-stationnaire; c'est l'écart entre les porteuses FM et QAM normalisé à  $B/2$ . Par contre, DF a une signification différente. Ici, il représente l'écart type de  $G(f)$  normalisé à  $B/2$  alors qu'avant, le paramètre  $Y$  représentait la déviation de fréquence RMS du signal FM qui est en fait l'écart type du signal modulant normalisé à  $B/2$ .

Des résultats sont présentés en annexe B pour le OAM-4, le OAM-16 et le QAM-64. Pour chacun de ces cas, on fournit une série de courbes de  $P_e$  en fonction de SNR pour différentes valeurs de DF, FC et SIR. Une courbe supplémentaire est présentée pour le cas d'une interférence centrée à faible largeur de bande ( $FC = 0$  et  $DF = 0.1$ ) pour différentes valeurs de SIR. Tous ces résultats valent pour un filtre idéal et sans IIS.

## III.3 Discussion

### III.3.1 Présentation générale

Prenons d'abord les résultats présentés en annexe 2 concernant l'hypothèse quasi-stationnaire. On remarque d'abord que ceux-ci sont très partiels et ne valent que pour le QAM-16. Ceci contraste avec les résultats en annexe B concernant l'hypothèse gaussienne. Pour ces résultats, on fournit un ensemble de courbes assez complet pour le QAM-4, le OAM-16 et le QAM-64. D'abord,

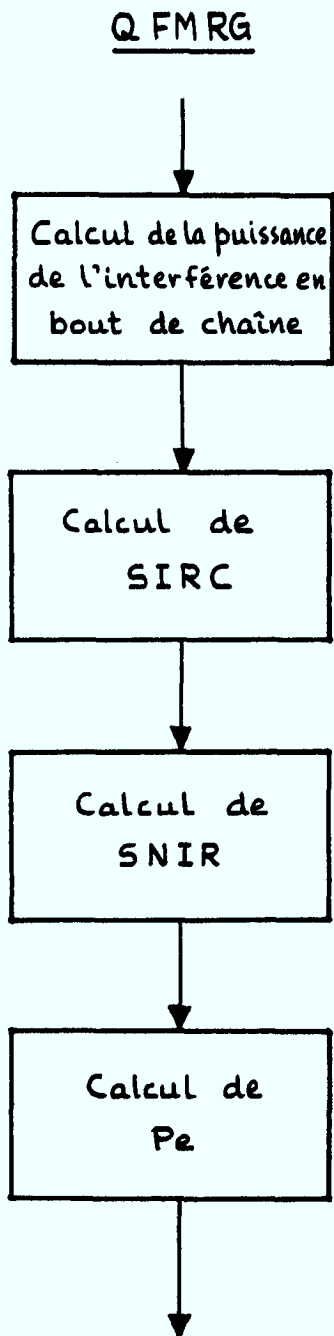


Fig. 3.9 - Organigramme de QFMRG

nous pensons que les résultats en annexe 3 sont plus réalistes et de plus, ils sont plus faciles à obtenir, les calculs étant réalisables sur un ordinateur de petite taille.

D'autres différences de présentations peuvent être notées comme par exemple l'échelle horizontale des courbes. Dans le premier cas, on présente  $\log(P_e)$  en fonction de la position FM (paramètre X) pour différentes valeurs de SNR. Dans l'autre cas, on présente  $\log(P_e)$  en fonction de SNR pour différentes valeurs de FC. Nous pensons que la première présentation est préférable à la seconde car elle permet, tout de suite, de mieux voir la variation de  $P_e$  en fonction d'un paramètre de l'interférence FM. Par contre, dans le deuxième cas, on a conservé le paramètre SNR sur l'échelle horizontale en prévision du calcul d'une borne supérieure. En fait, cette borne nous permet de déterminer dans quelle plage de SNR, l'hypothèse gaussienne serait une borne supérieure absolue.

Un autre point est à remarquer en annexe 2 en ce qui concerne les courbes; celles-ci sont présentées en tenant compte de l'IIS alors que celles en annexe 3 n'en tiennent pas compte. Il est certain que si on désire comparer les courbes entre elles, il faudra connaître à priori la valeur de  $P_e$  à soustraire due à l'IIS seulement. En examinant ces courbes, quelque soit l'hypothèse utilisée, on remarque un comportement semblable. En effet,  $P_e$  est inversement proportionnel à SNR et à SIR, ce qui n'est pas surprenant. On remarque aussi que  $P_e$  diminue d'une manière monotone à mesure que l'écart entre les porteuses QAM et FM augmente et cela pour une dispersion spectrale FM donnée. Ce résultat va de soi également. De plus, on remarque que pour un écart fixe entre les porteuses,  $P_e$  peut varier dans un sens ou dans l'autre en fonction de la dispersion du spectre FM (spectre large ou étroit). Si l'écart est faible, un spectre FM étroit causera plus de dégradation au QAM qu'un spectre large. Par contre, si l'écart est grand, on observe le phénomène inverse. Par exemple, prenons les courbes des figures A.2.1 et A.2.2 pour SNR = 30 dB. Pour X entre 0 et 1.5, la valeur de  $P_e$  obtenue pour Y = 1 est supérieure à celle obtenue pour Y = 2. Par contre, entre X = 1.5 et X = 5, c'est l'inverse. Ce comportement est général et se retrouve également dans les résultats de l'annexe 3. On peut comprendre cela en sachant que dans les

deux cas,  $P_e$  est fonction uniquement de la puissance totale de l'interférence entrant dans le récepteur QAM. Cela implique que pour une interférence centrée, où toute la puissance passe dans le récepteur,  $P_e$  est indépendant de la densité spectrale de l'interférence. Cette dernière observation nous laisse entrevoir une certaine imprécision des deux hypothèses utilisées. En effet, nous pensons qu'en réalité, une interférence à large bande cause plus de dégradation de  $P_e$  qu'une interférence à bande étroite pour la même puissance totale entrant dans le récepteur mais nos deux approches ne permettent pas de rendre compte de ce phénomène.

### III.3.2 Comparaisons

Pour pouvoir mieux comparer les résultats obtenus par les deux hypothèses, nous avons tracé à la figure 3.10,  $P_e$  pour le QAM-16 sans IIS avec SIR = 20 dB en fonction de SNR pour le cas où toute la puissance de l'interférence entre dans le récepteur. Si on s'y réfère, on y voit trois courbes numérotées 1, 2 et 3. La courbe #1 est tout simplement le  $P_e$  obtenu avec bruit de canal gaussien seulement. La courbe #2 représente le  $P_e$  obtenu avec une interférence sinusoïdale constante. Toutes les courbes obtenues avec l'hypothèse quasi-stationnaire pour différentes valeurs de X et Y, seront situées quelque part entre les courbes 1 et 2. La courbe #3 présente le  $P_e$  obtenu par l'hypothèse gaussienne et toutes les courbes obtenues sous cette hypothèse pour différentes valeurs de FC et DF seront situées entre les courbes 1 et 3.

On voit donc très nettement l'écart considérable qui existe entre les courbes 2 et 3 donc entre les 2 hypothèses, l'hypothèse quasi-stationnaire étant nettement plus conservatrice. C'est d'ailleurs pour cette raison, qu'après avoir obtenu comme premier résultat, les résultats de l'hypothèse quasi-stationnaire, nous avons cherché une autre méthode donnant des résultats plus réalistes. Sous l'hypothèse gaussienne, nous pensons être dans un cas intermédiaire entre le pire cas et l'hypothèse quasi-stationnaire. En effet, l'hypothèse gaussienne présuppose indépendance des phases entre les différentes bandes spectrales. Cette condition n'est certes pas le pire cas, ni le meilleur. Le pire cas serait que toutes les différentes composantes de



l'interférence seraient toujours en phase, ce qui n'est pas très réaliste. Donc, nous pensons que l'hypothèse gaussienne pourrait fournir des résultats valables si on les compare aux résultats de l'hypothèse quasi-stationnaire qui sont nettement trop conservateurs et le pire cas qui ne serait pas réaliste du tout.

Un autre point est à observer concernant la figure 3.10. On remarque que la courbe #2 semble toujours chevaucher la courbe #1 quelque soit SNR tandis que la courbe #3 semble tendre vers une valeur limite de  $P_e$  quand SNR tend vers l'infini. Ce dernier comportement s'explique facilement car quand le SNR est faible c'est le bruit de canal qui prédomine tandis que lorsque SNR est grand c'est l'interférence. À la limite, pour un SIR = 20 dB, quand SNR tend vers l'infini,  $P_e$  devrait tendre vers la valeur qu'on obtiendrait sur la courbe #1 avec SNR = 20 dB. Pour ce qui est de la courbe #2, on n'observe pas du tout le même comportement, probablement parce que l'équivalence en terme de  $P_e$ , entre une interférence sinusoïdale et du bruit gaussien, se fait à un niveau de SNR très élevé ou à un  $P_e$  très faible pour un SIR = 20 dB.

### III.3.3 Borne supérieure

Nous avons remarqué précédemment que l'hypothèse gaussienne était plus réaliste que l'hypothèse quasi-stationnaire sans être en mesure de dire jusqu'à quel point on est près de la réalité. Pour combler cette lacune, nous avons pensé faire le calcul d'une borne supérieure pour  $P_e$  qui nous permettrait de voir si l'hypothèse gaussienne dans une certaine plage de SNR pouvait être considérée comme une borne supérieure absolue pour le cas d'interférence non-gaussienne quelconque. Plusieurs méthodes existent dans la littérature et ce calcul ne devrait pas, en principe, poser de problèmes majeurs. Toutefois, les contraintes de temps ne nous ont pas permis de le réaliser. Nous avons donc remis ce travail dans le cadre de travaux futurs.

QAM-16 SANS IIS SIR= 20 dB

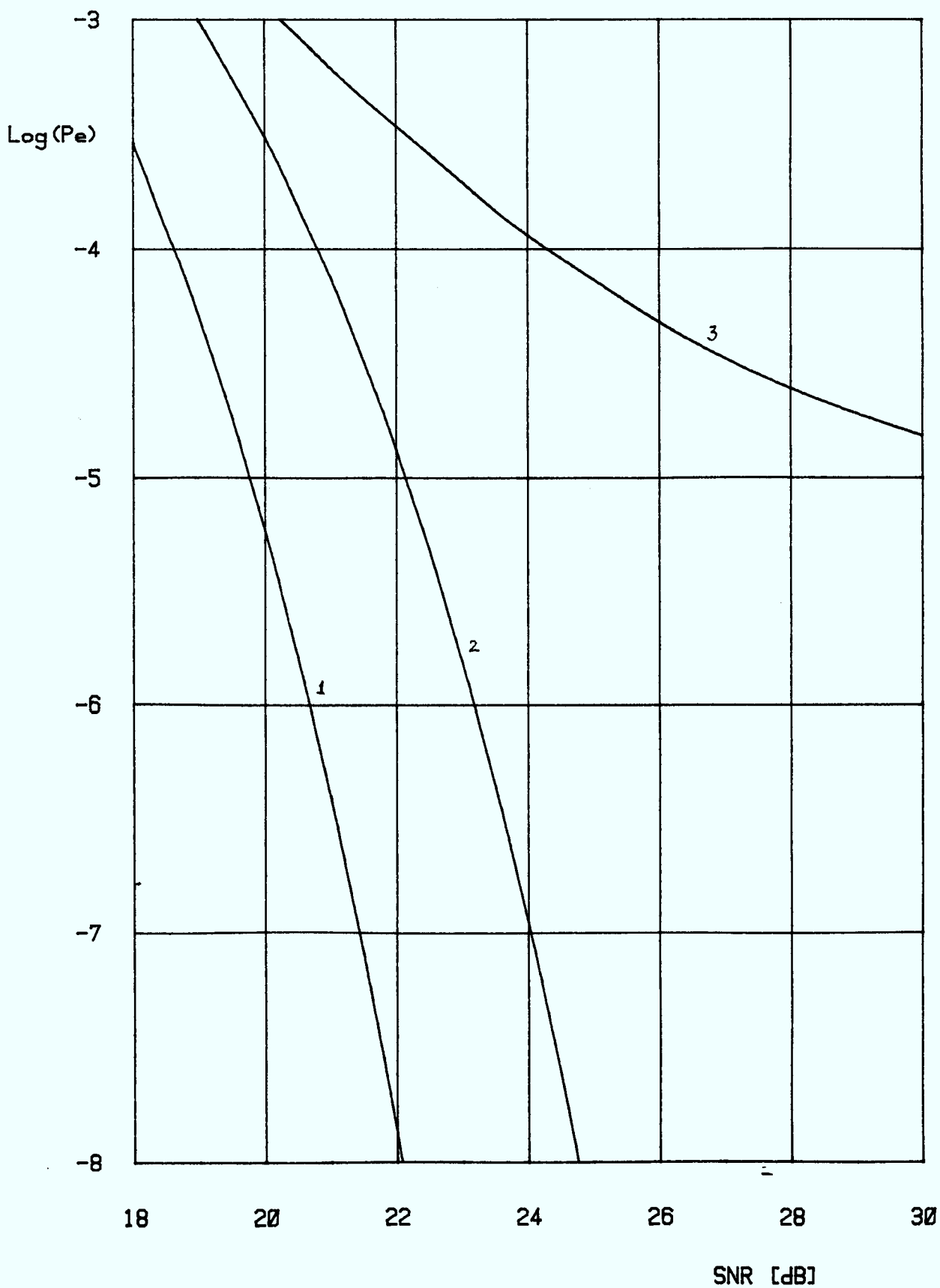


FIGURE 3.10

## CHAPITRE IV

### CONCLUSION

Nous présentons dans ce travail une méthodologie flexible pour étudier la performance des récepteurs QAM face aux interférences de toute nature dont les signaux FM des canaux voisins.

Cette méthodologie est basée sur une idée simple proposée par Ho et Yeh. Il s'agit tout simplement d'exprimer la probabilité d'erreur en fonction des moments de la variable représentant la somme de toutes les interférences présentes à l'entrée du récepteur. Comme ces interférences sont indépendantes, il suffit de calculer les moments de chacune d'elles séparément, et de les combiner par la suite suivant les règles précises.

La composante d'interférence, qui nous intéresse le plus, est un signal FM à très grande largeur de bande. S'appuyant sur l'hypothèse de "quasi-stationnarité", son comportement sur des intervalles de temps faible est équivalent à un signal sinusoïdal dont la fréquence correspond à la fréquence instantanée du signal FM. Cette hypothèse simplificatrice permet de traiter, de manière simple, l'interférence due à un signal FM.

Nous avons également proposé une autre hypothèse basée sur la notion "Equivalence de puissance". Cette hypothèse se justifie physiquement par la contrainte imposée sur la puissance totale dans la bande passante QAM. Toutefois, on s'attendait à ce que cette hypothèse aboutisse à des résultats plus pessimistes que ceux obtenus par l'hypothèse "quasi-stationnarité".

Dû à notre choix de formulation mathématique, un filtre de Butterworth a été choisi comme modèle du canal de transmission à la place d'un canal de

Nyquist. Ce choix introduit automatiquement de l'interférence intersymbole à la sortie du récepteur. Par ailleurs, ce facteur a été minimisé par un choix judicieux des paramètres en jeu tels que: l'instant d'échantillonnage, la largeur de bande et l'ordre du filtre dont la phase a été linéairement égalisée.

Les résultats obtenus sont finalement présentés sous forme de famille de courbes normalisées. Ils sont donc utilisables pour toutes situations quelconques. Il est intéressant de noter que ces résultats apparaissent à nos yeux comme non complets. En effet, on a obtenu des résultats pour l'interférence que provoque un signal FM. Cependant, pour les obtenir numériquement, nous avons dû utiliser les deux hypothèses: l'une très optimiste, l'autre très pessimiste. Il reste à savoir si ces résultats se trouvent à l'intérieur des bornes pessimistes et optimistes générales. Le calcul de ces bornes sera effectué dans le prochain contrat, dans lequel on propose d'analyser l'interférence FM à bande étroite.

Un dernier point, non moins important à souligner, est la complexité de la méthode utilisée. D'une part, elle consomme beaucoup de temps de calcul; ce phénomène ne représente plus un vrai désavantage, avec l'avènement des mini et micro-ordinateurs. D'autre part, cette complexité a nécessité un effort très sérieux (une année-ingénieur) pour réussir sa mise en oeuvre. Le programme, écrit en PASCAL, est modulaire et flexible, permettant aux usagers de varier tous les paramètres qu'ils désirent, tout en assurant un fonctionnement relativement raisonnable. Ce coût du développement semble à prime abord assez élevé. Toutefois, il est maintenant disponible de manière quasi-publique. Il ne faut pas oublier qu'avant l'octroi du contrat donnant naissance à ce rapport, les programmes de cette nature étaient des propriétés privées jalousement gardées par les compagnies telles que BNR, AT & T, ERICSON, etc.. C'est donc un grand pas de franchi; il ne nous reste qu'à souhaiter une collaboration aussi fructueuse entre les chercheurs universitaire et les organismes publiques.

## Bibliographie

- [1] Ho et Yeh, "Error probability of a multilevel digital system with intersymbol interference and gaussian noise", Bell System Technical Journal, U.S.A., March 1973, 50, n° 3, pp. 1017-1023.
- [2] H.T. Huynh, P. Fortier, "Étude des défauts systématiques et naturels dans un réseau à micro-onde, Phase I: Synthèse bibliographique", Université Laval, Québec.
- [3] P. Fortier, "Analyse des performances des modulations d'amplitude en quadrature à haute capacité", thèse de maîtrise, Université Laval, avril 1984.
- [4] A. Papoulis, "Probability, random variables and stochastic process", McGraw-Hill, 2<sup>e</sup> édition, 1984.
- [5] N. Morinaga, T. Namekawa, "Intersystem interference between analog and digital systems", IEEE International Conference on Communication, June 1982, Philadelphia, U.S.A.
- [6] D.D. Weiner, B.J. Leon, "The Quasi-stationary response of linear system to modulated waveform", Proc. IEEE, Vol. 53, N° 6, June 1965.
- [7] S. Kabasawa et al., "M-ary CPSK Detection with noisy reference and interferences", IEEE Trans. on AFS, Vol. AES-16, N° 5, September 1980.
- [8] M Abramowitz et I.A. Stegun, "Handbook of mathematical functions", National Bureau of Standards, December 1965.
- [9] P. Dupuis et al., "16-QAM Modulation for high capacity digital radio system", IEEE Trans. Com., Vol. COM-27, December 1979.
- [10] J.G. Proakis, "Digital Communications", McGraw-Hill 1983.

ANNEXE 1

EXPRESSION DE LA PROBABILITÉ D'ERREUR

Considérons la figure A.1 représentant la constellation QAM à 16 états.

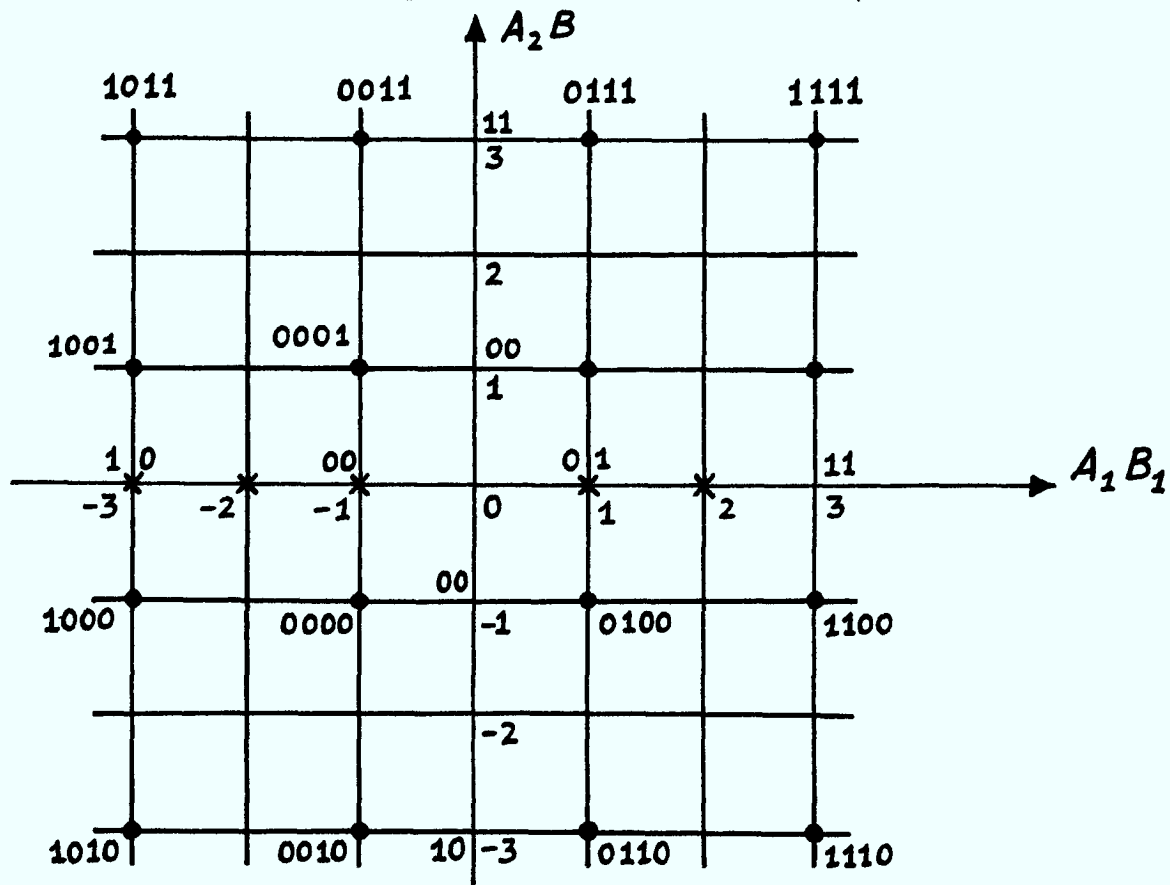


Figure A.1

Nous pouvons déduire de cette figure les conditions d'appartenance aux régions de décision associées à  $A_1$  et  $B_1$ . Le signal reçu étant:

$$x(\tau) = a_0 + jb_0 - (b_0 - ja_0)Q(\tau) + (X + jY) + (U + jV)$$

Alors:

Pour  $A_1 = 0$  on a:  $|R_e(x)| < 2$ ;      pour  $A_1 = 1$  on a  $|R_e(x)| > 2$

pour  $B_1 = 0$  on a:  $R_e(x) < 0$  ;      pour  $B_1 = 1$  on a  $R_e(x) > 0$

pour  $A_2 = 0$  on a:  $|I_m(x)| < 2$ ;      pour  $A_2 = 1$  on a  $|I_m(x)| > 2$

pour  $B_1 = 0$  on a:  $I_m(x) < 0$  ;      pour  $B_1 = 1$  on a  $I_m(x) > 0$

Étant donné que  $X$  et  $Y$ ,  $R_e(x)$  et  $I_m(x)$  sont des variables aléatoires gaussiennes de variance  $\sigma^2$  et de moyennes  $\mu_x = a_o - b_o Q_o + X$  et  $\mu_y = b_o + a_o Q_o + Y$ . Pour chaque couple  $A_i B_i$  ( $i = 1, 2$ ), on doit évaluer la probabilité qu'il se situe hors de la zone de décision, ce qui revient à calculer des intégrales du type:

$$\frac{1}{\sigma\sqrt{2\pi}} \int_a^b \exp\left(-\frac{(x-\mu)^2}{2\sigma^2}\right) dx = \frac{1}{2} \left[ \operatorname{erf}\left(\frac{b-\mu}{\sigma\sqrt{2}}\right) - \operatorname{erf}\left(\frac{a-\mu}{\sigma\sqrt{2}}\right) \right]$$

où

$$\operatorname{erf}(x) = \frac{2}{\sqrt{\pi}} \int_0^x \exp(-u^2) du$$

et

$$\operatorname{erfc}(x) = 1 - \operatorname{erf}(x) = \frac{2}{\sqrt{\pi}} \int_x^\infty \exp(-u^2) du$$

Effectuons maintenant les calculs pour  $A_1 B_1$ :

**1° cas:**  $A_1 = B_1$  (soit  $a_o = 3$ )

$$\begin{aligned} \Pr[A_1 \text{ faux}] &= \frac{1}{2} \left[ \operatorname{erf}\left(\frac{2+\mu_x}{\sigma\sqrt{2}}\right) - \operatorname{erf}\left(\frac{-2+\mu_x}{\sigma\sqrt{2}}\right) \right] \\ &= \frac{1}{2} \left[ \operatorname{erf}\left(\frac{5-b_o Q_o + X}{\sigma\sqrt{2}}\right) - \operatorname{erf}\left(\frac{1-b_o Q_o + X}{\sigma\sqrt{2}}\right) \right] \end{aligned}$$

$$\Pr[B_1 \text{ faux}] = \frac{1}{2} \left[ 1 - \operatorname{erf}\left(\frac{\mu_x}{\sigma\sqrt{2}}\right) \right] = \frac{1}{2} \left[ 1 - \operatorname{erf}\left(\frac{3-b_0 Q_0 + X}{\sigma\sqrt{2}}\right) \right]$$

2° cas:  $A_1 = 0, B_1 = 1$  (soit  $a_0 = 1$ )

$$\begin{aligned} \Pr[A_1 \text{ faux}] &= 1 - \frac{1}{2} \left[ \operatorname{erf}\left(\frac{2+\mu_x}{\sigma\sqrt{2}}\right) - \operatorname{erf}\left(\frac{-2+\mu_x}{\sigma\sqrt{2}}\right) \right] \\ &= 1 - \frac{1}{2} \left[ \operatorname{erf}\left(\frac{3-b_0 Q_0 + X}{\sigma\sqrt{2}}\right) - \operatorname{erf}\left(\frac{-1-b_0 Q_0 + X}{\sigma\sqrt{2}}\right) \right] \end{aligned}$$

$$\Pr[B_1 \text{ faux}] = \frac{1}{2} \left[ 1 - \operatorname{erf}\left(\frac{\mu_x}{\sigma\sqrt{2}}\right) \right] = \frac{1}{2} \left[ 1 - \operatorname{erf}\left(\frac{1-b_0 Q_0 + X}{\sigma\sqrt{2}}\right) \right]$$

3° cas:  $A_1 = 0, B_1 = 0$  (soit  $a_0 = -1$ )

$$\begin{aligned} \Pr[A_1 \text{ faux}] &= 1 - \frac{1}{2} \left[ \operatorname{erf}\left(\frac{2+\mu_x}{\sigma\sqrt{2}}\right) - \operatorname{erf}\left(\frac{-2+\mu_x}{\sigma\sqrt{2}}\right) \right] \\ &= 1 - \frac{1}{2} \left[ \operatorname{erf}\left(\frac{1-b_0 Q_0 + X}{\sigma\sqrt{2}}\right) - \operatorname{erf}\left(\frac{-3-b_0 Q_0 + X}{\sigma\sqrt{2}}\right) \right] \end{aligned}$$

4° cas:  $A_1 = 1, B_1 = 0$  (soit  $a_0 = -3$ )

$$\begin{aligned} \Pr[A_1 \text{ faux}] &= \frac{1}{2} \left[ \operatorname{erf}\left(\frac{2+\mu_x}{\sigma\sqrt{2}}\right) - \operatorname{erf}\left(\frac{-2+\mu_x}{\sigma\sqrt{2}}\right) \right] \\ &= \frac{1}{2} \left[ \operatorname{erf}\left(\frac{-1-b_0 Q_0 + X}{\sigma\sqrt{2}}\right) - \operatorname{erf}\left(\frac{-5-b_0 Q_0 + X}{\sigma\sqrt{2}}\right) \right] \end{aligned}$$

$$\Pr[B_1 \text{ faux}] = \frac{1}{2} \left[ 1 + \operatorname{erf}\left(\frac{\mu_x}{\sigma\sqrt{2}}\right) \right] = \frac{1}{2} \left[ 1 + \operatorname{erf}\left(\frac{-3-b_0 Q_0 + X}{\sigma\sqrt{2}}\right) \right]$$

Avec  $\alpha = -b_0 Q_0 + X$  et en utilisant la fonction  $\operatorname{erfc}(x)$ , les probabilités conditionnelles de  $A_1$  et  $B_1$  par rapport à  $X$  et  $b_0$  sont alors:



$$\Pr\{A_1 \text{ faux} | X_1, b_0\} = \frac{1}{4} \left\{ \operatorname{erfc}\left(\frac{1+\alpha}{\sigma\sqrt{2}}\right) + \operatorname{erfc}\left(\frac{1-\alpha}{\sigma\sqrt{x}}\right) + \frac{1}{2} \operatorname{erfc}\left(\frac{3+\alpha}{\sigma\sqrt{2}}\right) \right. \\ \left. - \frac{1}{2} \left[ \operatorname{erfc}\left(\frac{3-\alpha}{\sigma\sqrt{2}}\right) + \operatorname{erfc}\left(\frac{5+\alpha}{\sigma\sqrt{2}}\right) + \operatorname{erfc}\left(\frac{5-\alpha}{\sigma\sqrt{2}}\right) \right] \right\}$$

$$\Pr\{B_1 \text{ faux} | X_1, b_0\} = \frac{1}{8} \left[ \operatorname{erfc}\left(\frac{1+\alpha}{\sigma\sqrt{2}}\right) + \operatorname{erfc}\left(\frac{1-\alpha}{\sigma\sqrt{x}}\right) + \operatorname{erfc}\left(\frac{3+\alpha}{\sigma\sqrt{2}}\right) + \operatorname{erfc}\left(\frac{3-\alpha}{\sigma\sqrt{2}}\right) \right]$$

Pour obtenir  $P_e^{A_1} = P[A_1 \text{ Faux}]$  et  $P_e^{B_1} = P[B_1 \text{ faux}]$ , il suffit de calculer les expressions:

$$P_e^{A_1} = \frac{1}{4} \int_{b_0}^{\infty} \int_{-\infty}^{\infty} P_r(A_1 \text{ faux} | X_1, b_0) dF(x)$$

$$P_e^{B_1} = \frac{1}{4} \int_{b_0}^{\infty} \int_{-\infty}^{\infty} P_r(B_1 \text{ faux} | X_1, b_0) dF(x)$$

Les calculs pour  $P_e^{A_2}$  et  $P_e^{B_2}$  se réalisent de la même manière en remplaçant  $X$  par  $Y$ ,  $a_0$  par  $b_0$  et  $b_0 Q_0$  par  $a_0 Q_0$ . Quand le rapport signal à bruit est élevé, typiquement de 20 dB (soit  $A/\sigma\sqrt{2} \sim 3$ ) et que nous sommes dans le pire des cas pour l'interférence intersymbole (soit  $\alpha = -1$ ), il vient:

$$\operatorname{erfc}\left(\frac{5+\alpha}{\sigma\sqrt{2}}\right) \sim 1.35 \times 10^{-64} \quad \text{et} \quad \operatorname{erfc}\left(\frac{3+\alpha}{\sigma\sqrt{2}}\right) \sim 2.15 \times 10^{-17}$$

Ces termes sont négligeables devant  $\operatorname{erfc}\left(\frac{1+\alpha}{\sigma\sqrt{2}}\right) \sim 0.5$ . L'équation (1) devient:

$$P_e^{A_1} = \frac{1}{4} \int_{b_0}^{\infty} \frac{1}{2} \int_{-\infty}^{\infty} \operatorname{erfc}\left(\frac{1+\alpha}{\sigma\sqrt{2}}\right) dF(x)$$

$$P_e^{B_1} = \frac{1}{4} \int_{b_0}^{\infty} \frac{1}{4} \int_{-\infty}^{\infty} \operatorname{erfc}\left(\frac{1+\alpha}{\sigma\sqrt{2}}\right) dF(x)$$

d'où

$$P_e^{A_1} = 2 P_e^{B_1}.$$

## ANNEXE 2

### RÉSULTATS NUMÉRIQUES (hypothèse quasi-stationnaire)

Définition des paramètres:

SIR : rapport signal à interférence en dB (ou SJR)

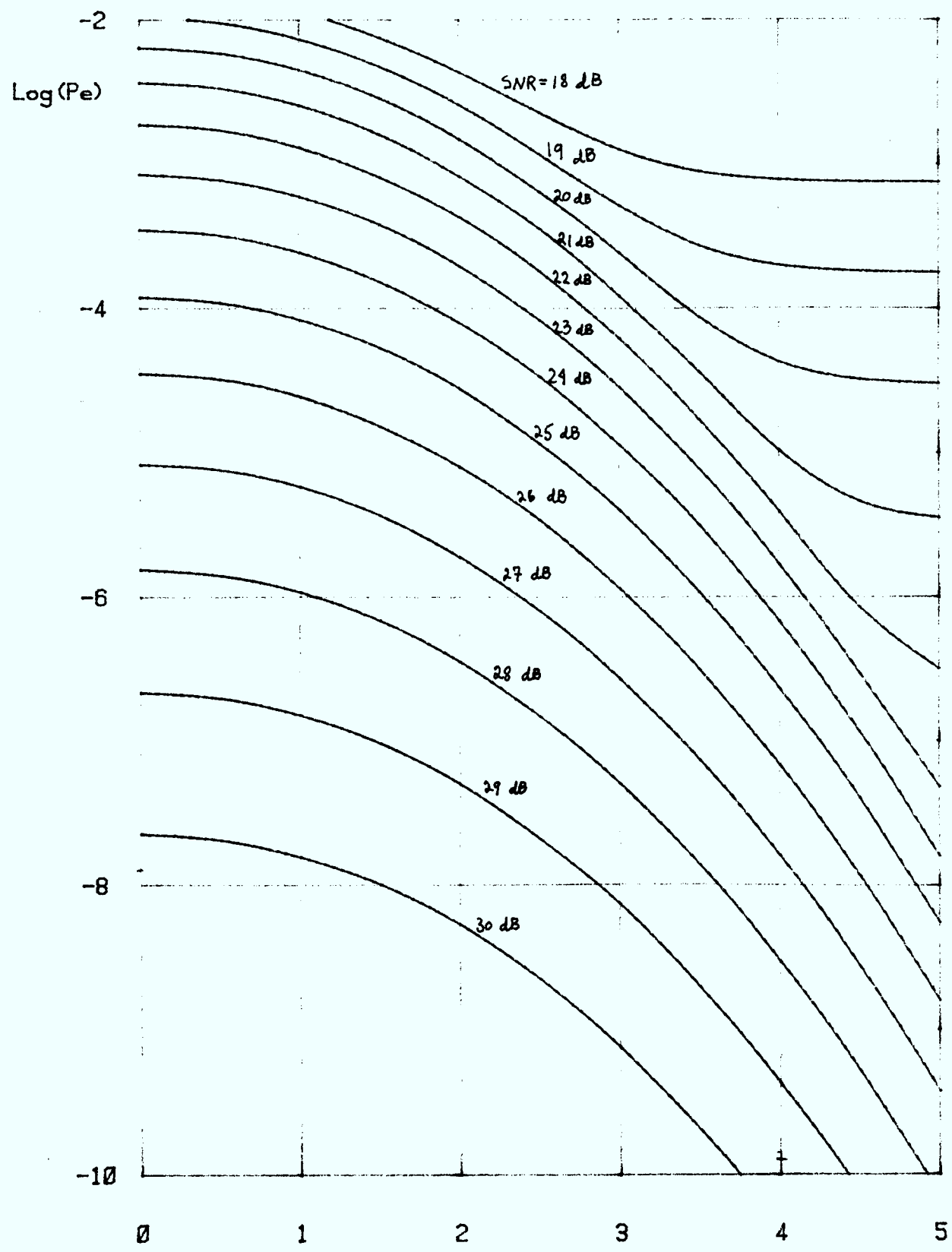
SNR : rapport signal à bruit

Y : déviation de fréquence RMS normalisée à  $B/2$

X (position FM): écart de fréquence entre les porteuses FM et QAM  
normalisé à  $B/2$

DSNR : augmentation du SNR nécessaire pour conserver une valeur  
constante de  $P_e$ .

QAM-16 FILTRE ORDRE 5 BT= 1.05 SIR= 15 dB Y= 1



POSITION FM

FIGURE A.2.1

QAM-16 FILTRE ORDRE 5 BT= 1.05 SIR= 15 dB Y= 2

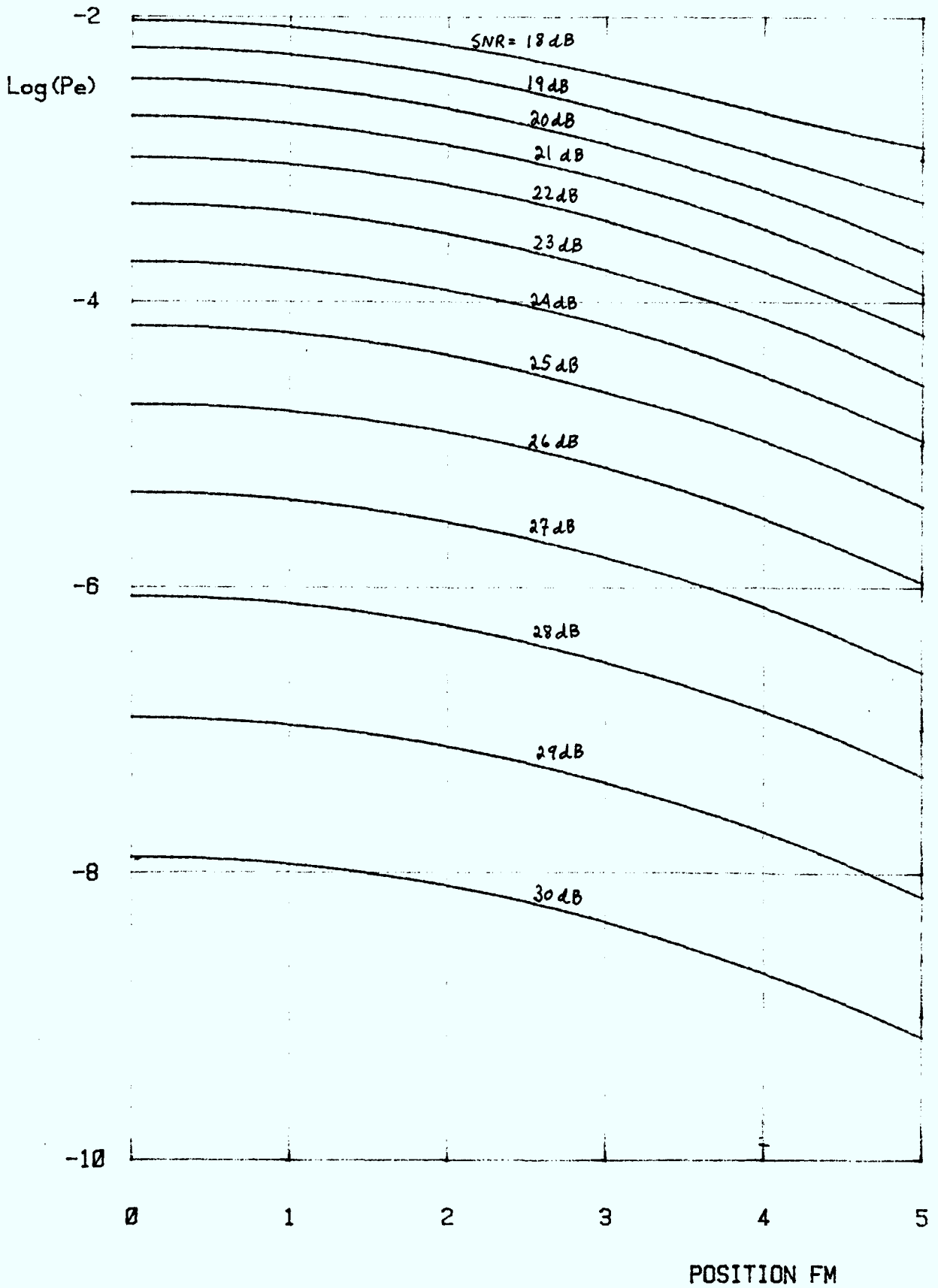


FIGURE A.2.2

QAM-16 FILTRE ORDRE 5 BT= 1.05 SIR=15 dB  $\gamma= 3$

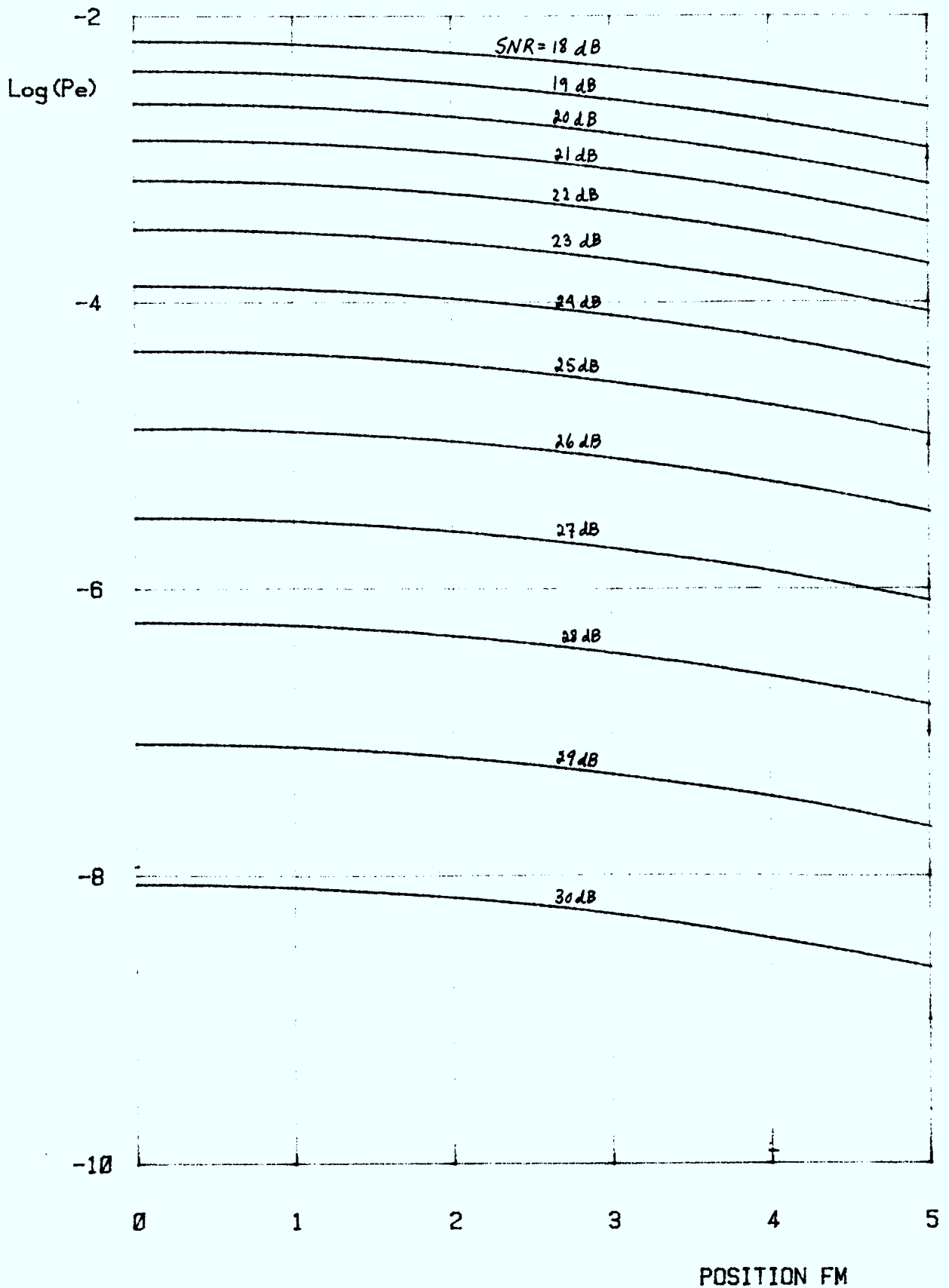


FIGURE A.2.3

QAM-16 FILTRE ORDRE 5 BT= 1.05 SIR= 15 dB Y= 4

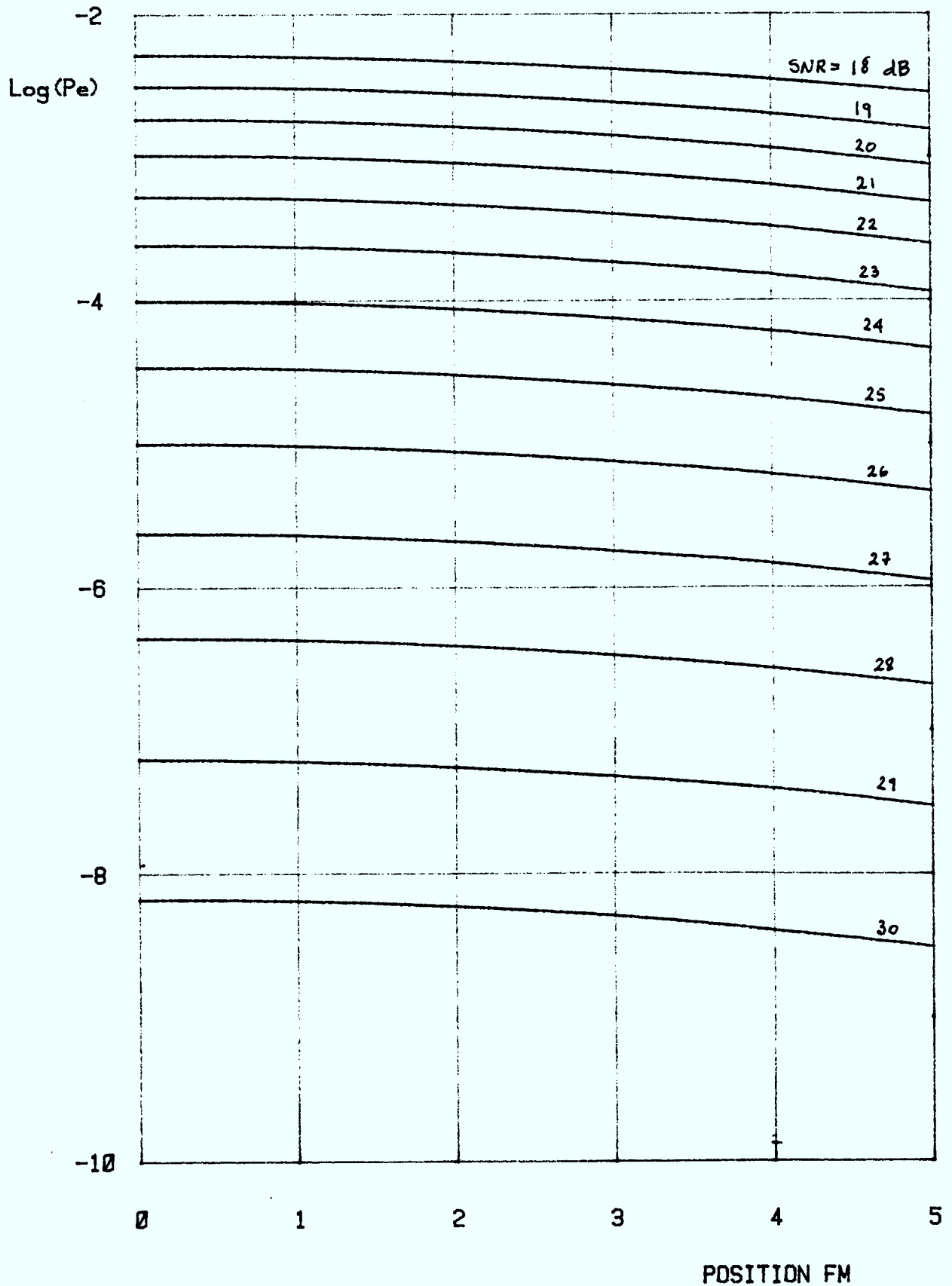


FIGURE A.2.4

QAM-16 FILTRE ORDRE 5 BT= 1.05 SIR= 15 dB Y= 5

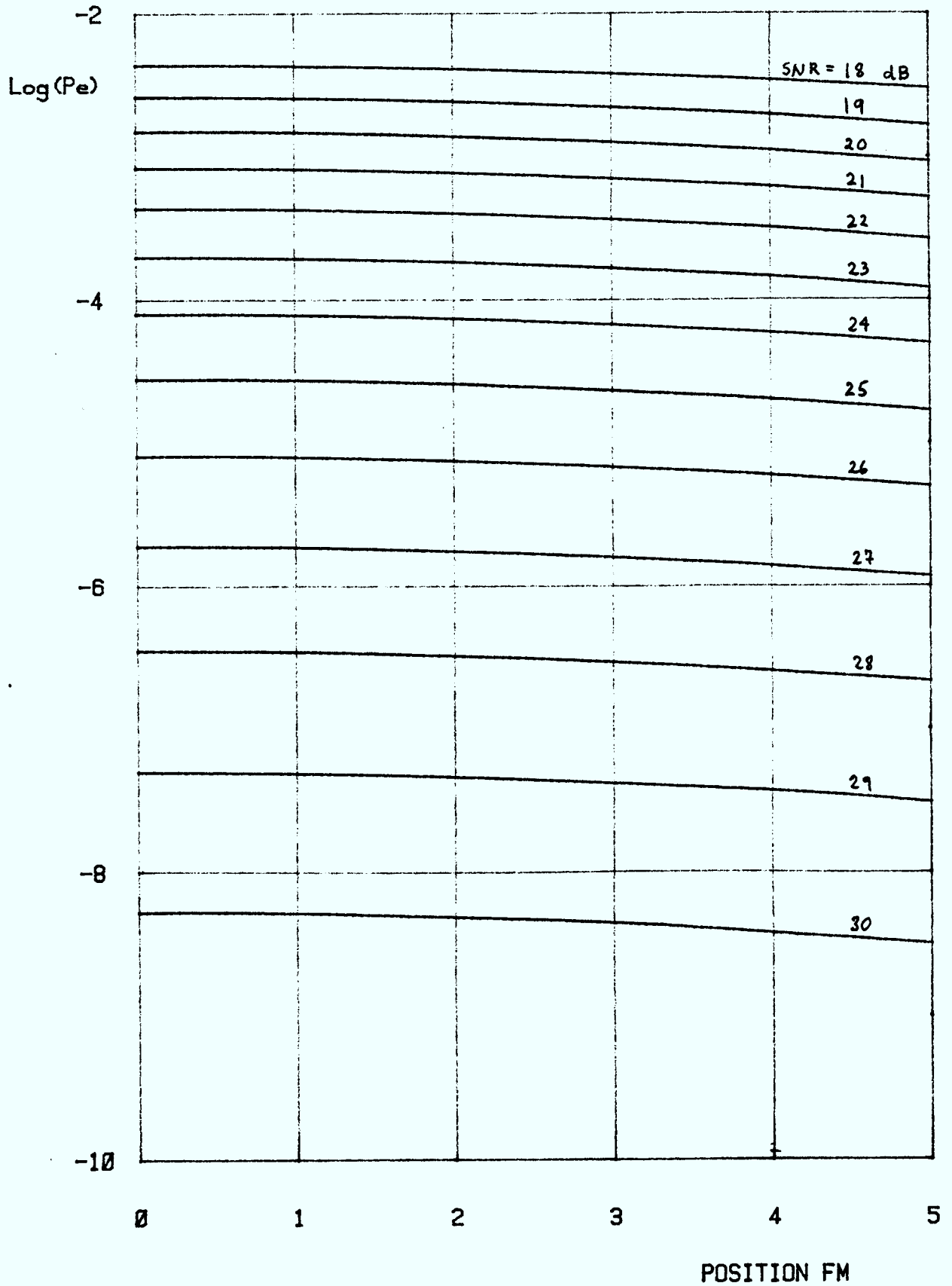


FIGURE A.2.5

QAM-16 FILTRE ORDRE 5 BT= 1.05 SIR= 20 dB Y= 1

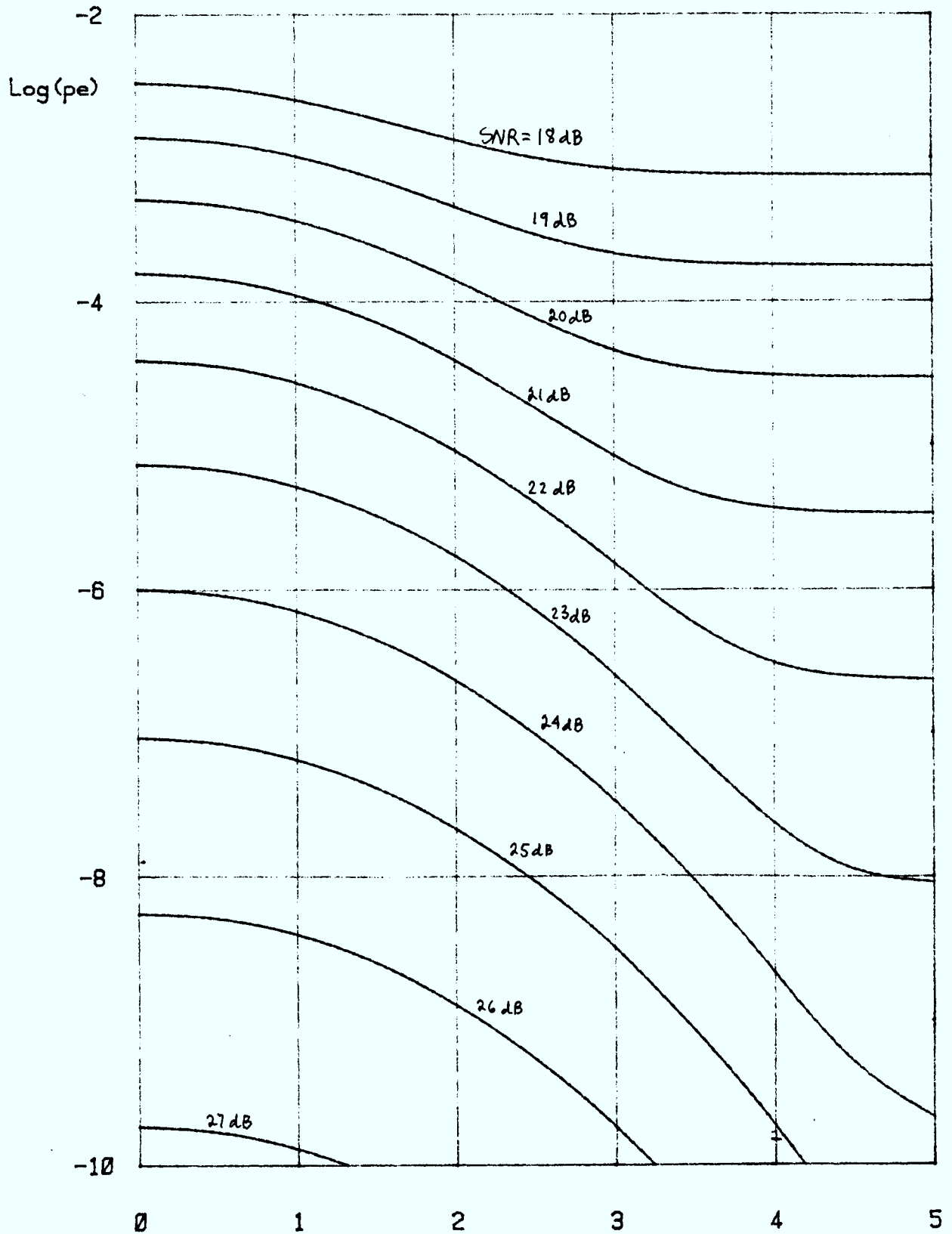


FIGURE A.2.6

POSITION FM



QAM-16 FILTRE ORDRE 5 BT= 1.05 SIR= 25 dB Y= 1

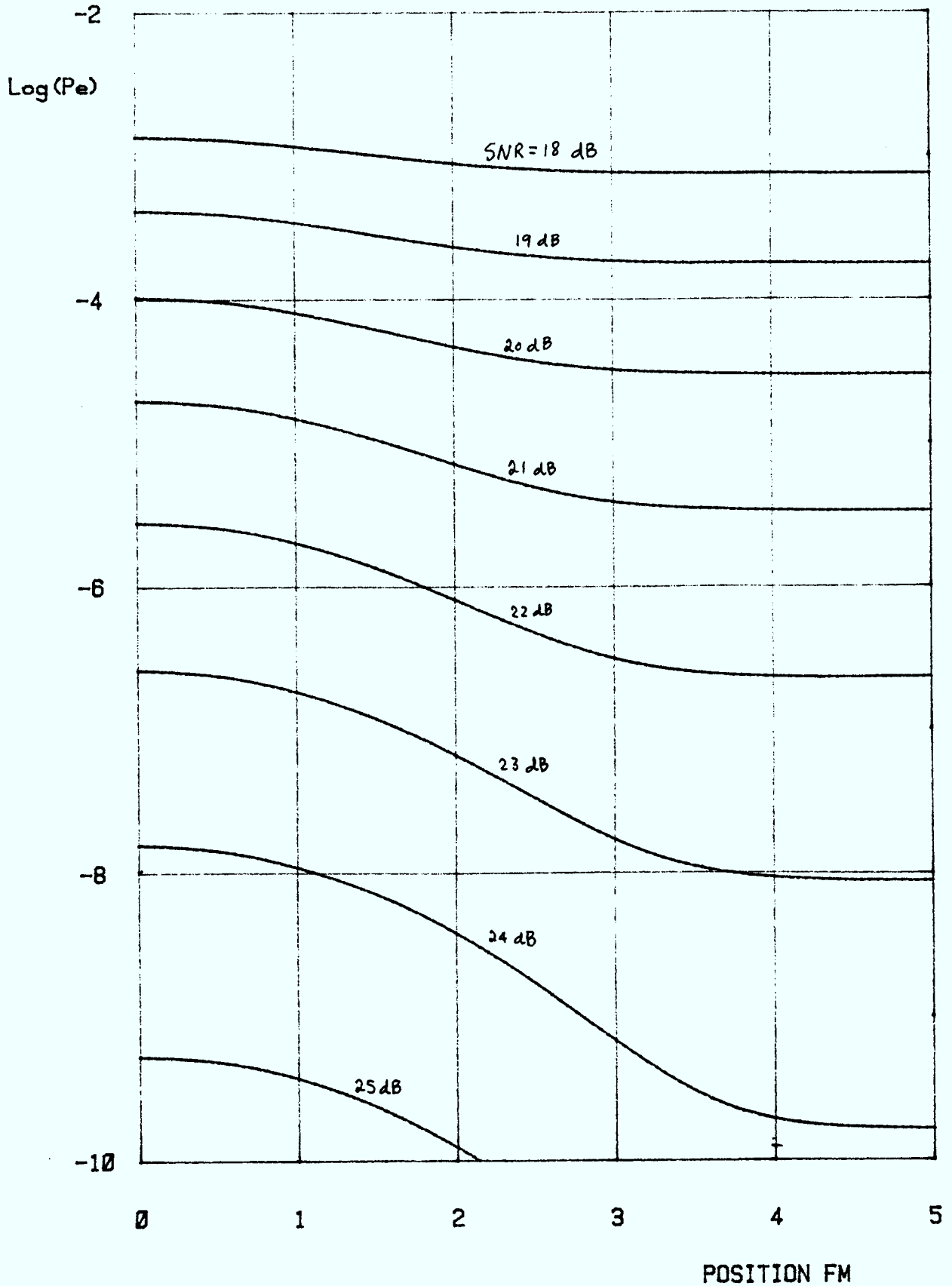


FIGURE A. 2. 7

QAM-16 FILTRE ORDRE 5 BT= 1.05 SIR= 30 dB Y= 1

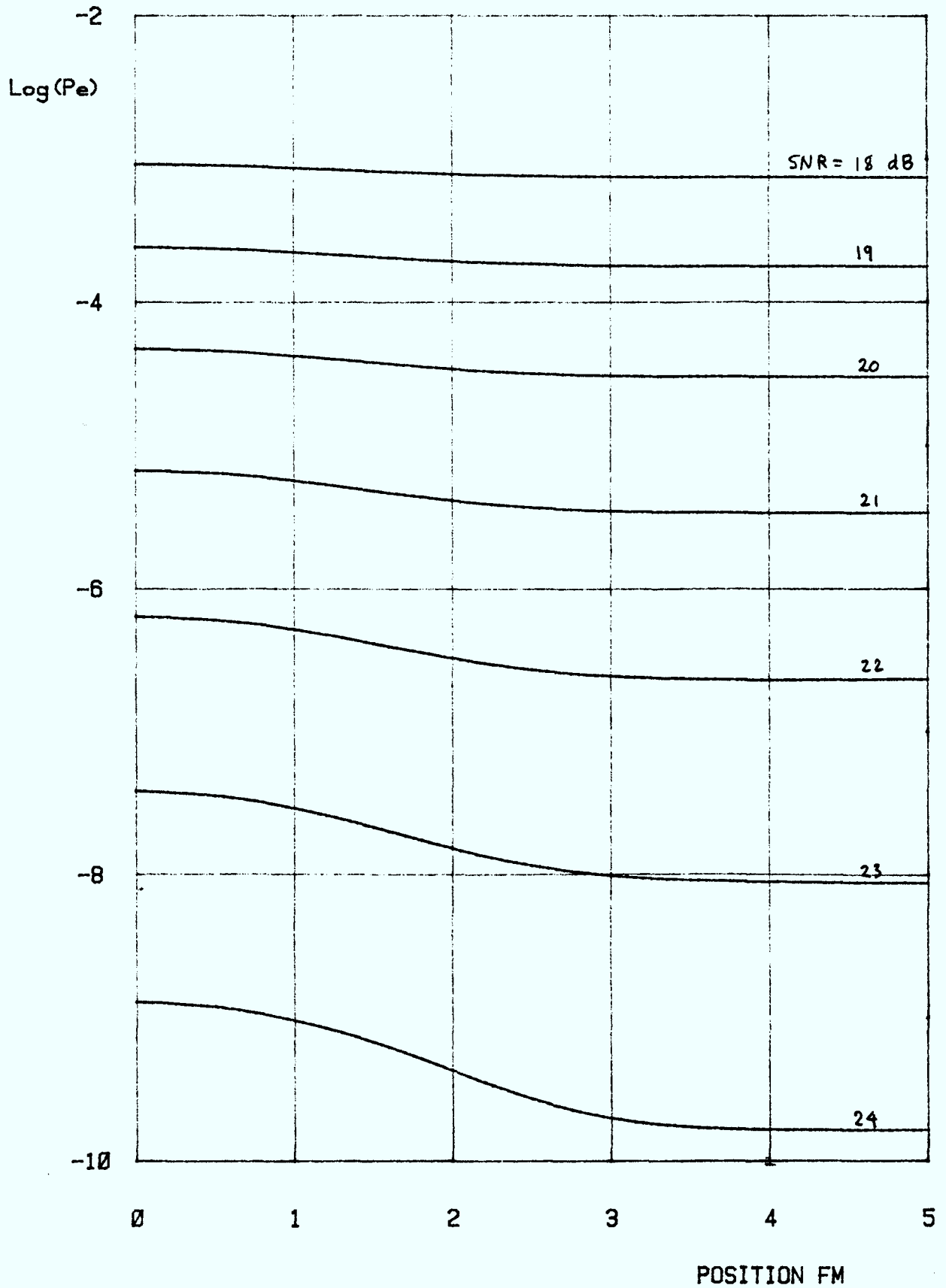


FIGURE A.2.8

GAM-16 SANS IIS PE= 1.0E-5 Y= 1

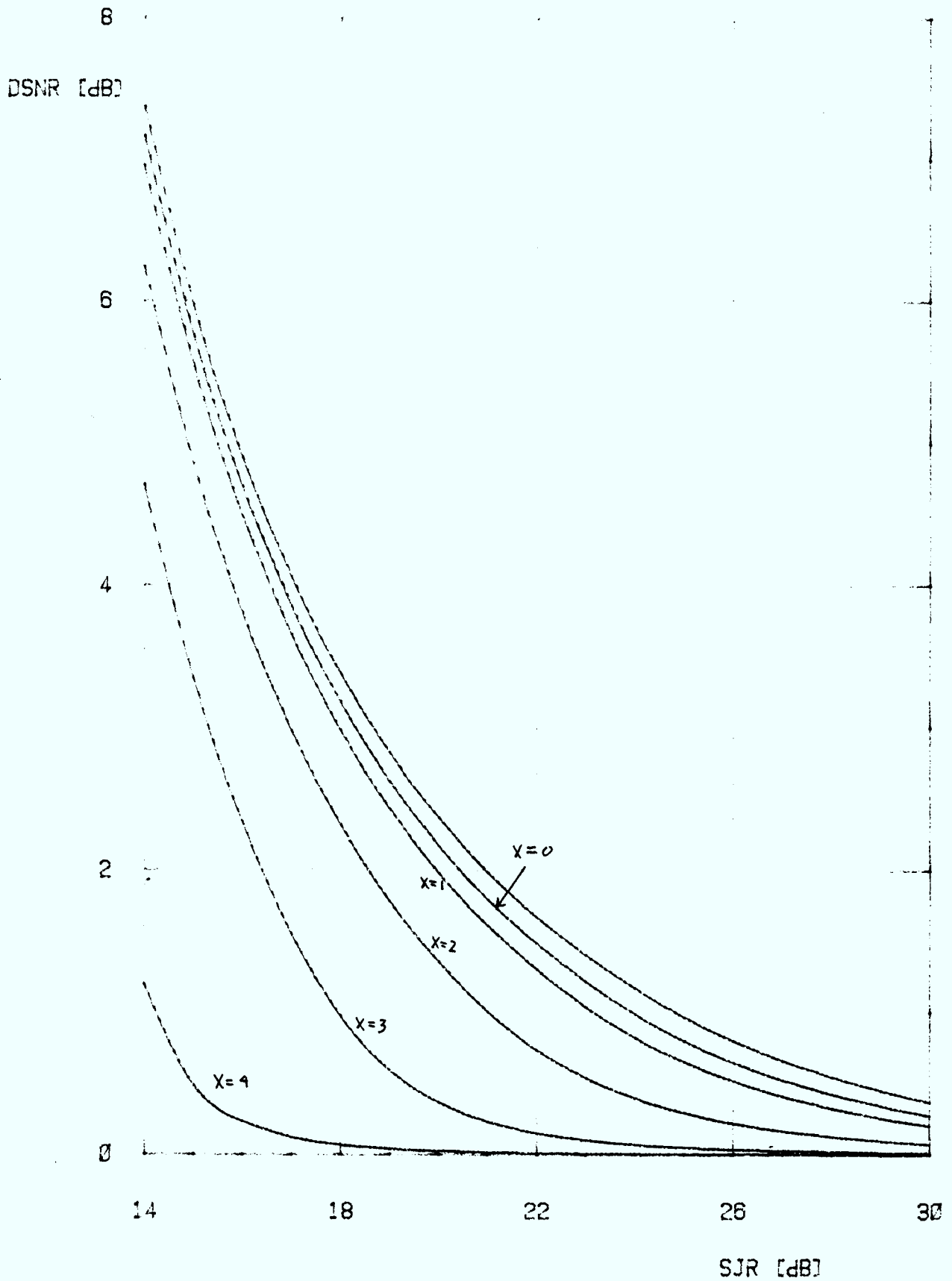


FIGURE A.2.9

QAM-16 SANS IIS PE= 1.0E-5 Y= 0

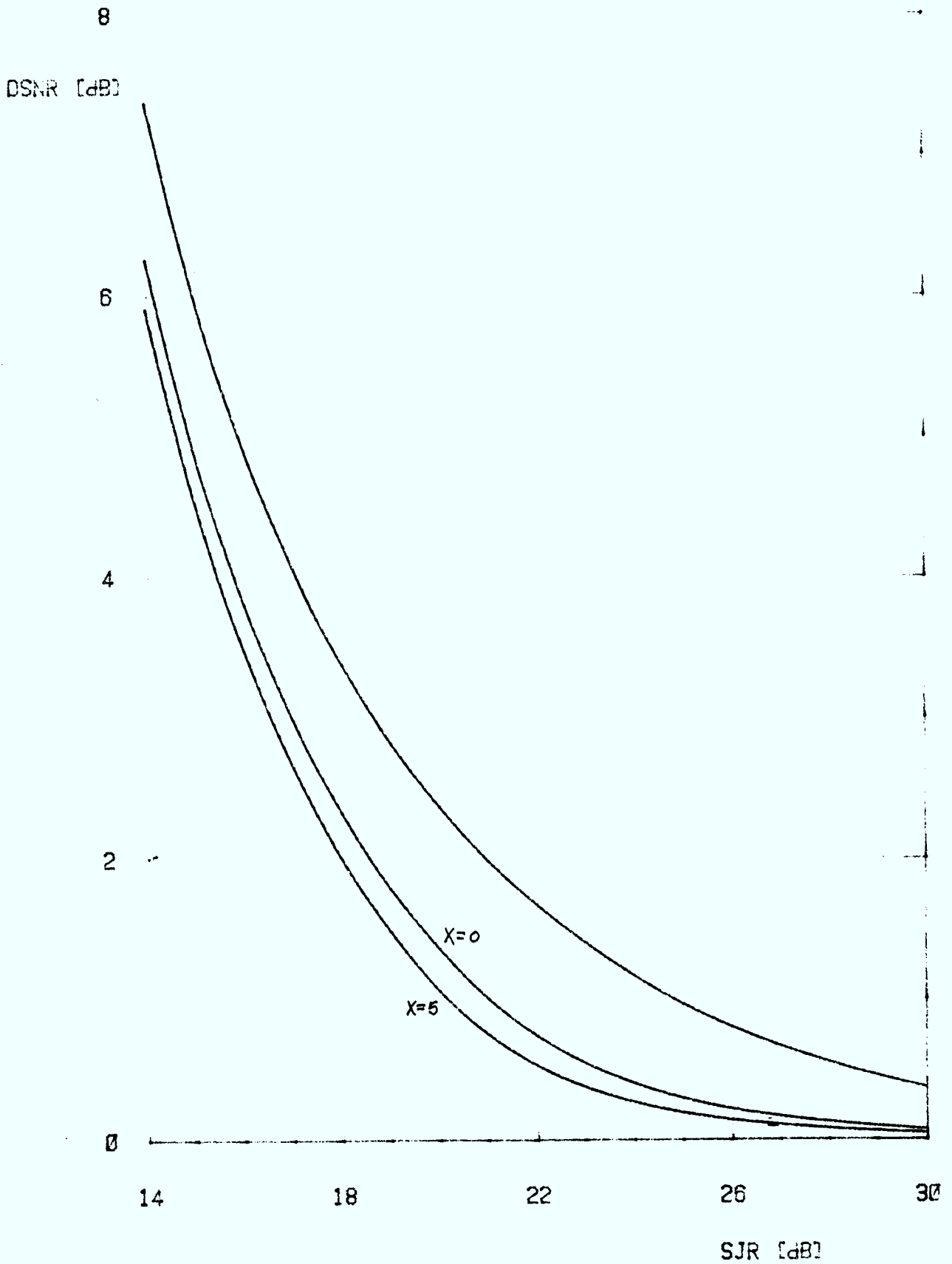


FIGURE A. 2. 10

QAM-16 AVEC IIS BT= 1.05 PE= 1.0E-5 Y= 1

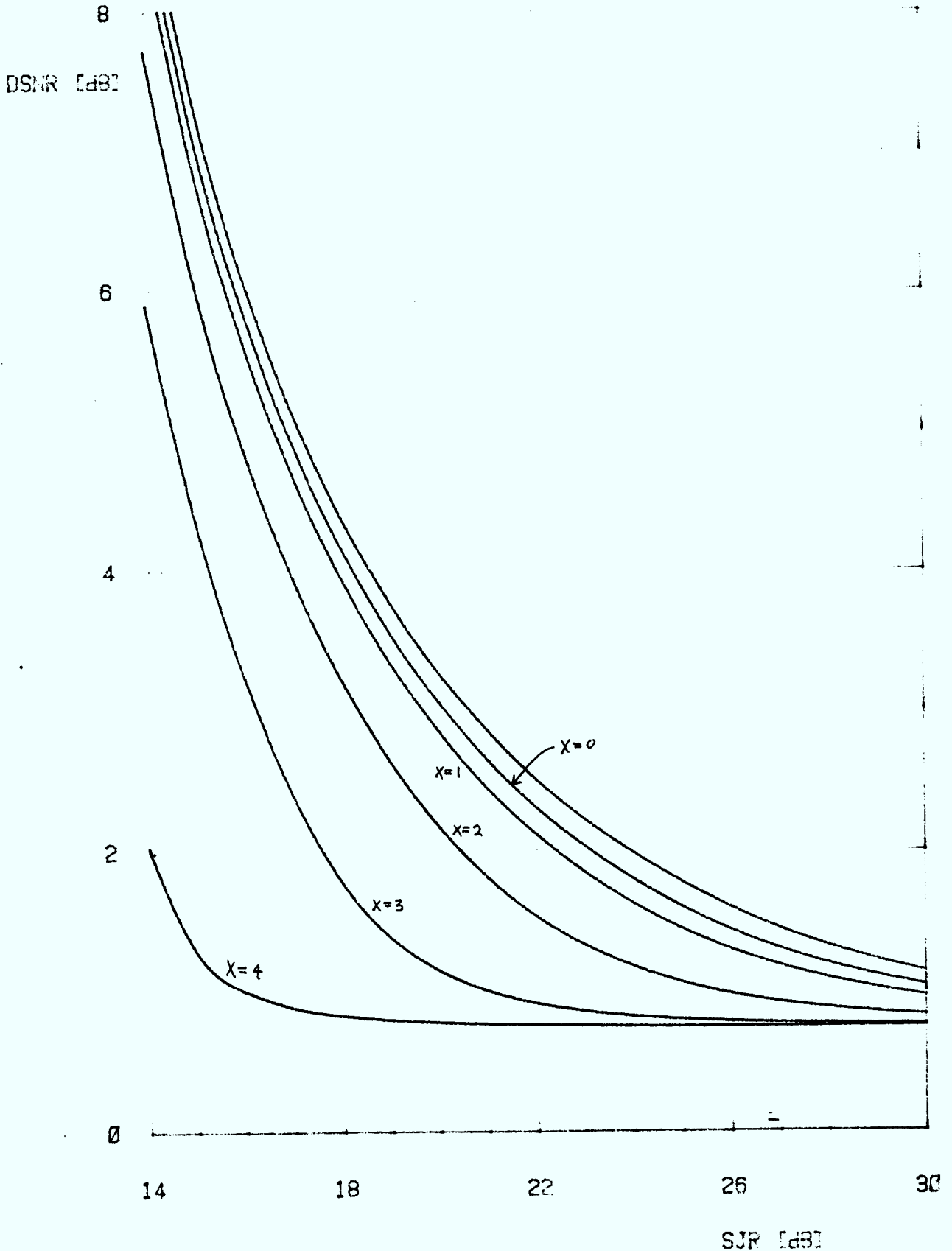


FIGURE A.2.11

QAM-16 AVEC IIS BT= 1.05 PE= 1.0E-5 V= 5

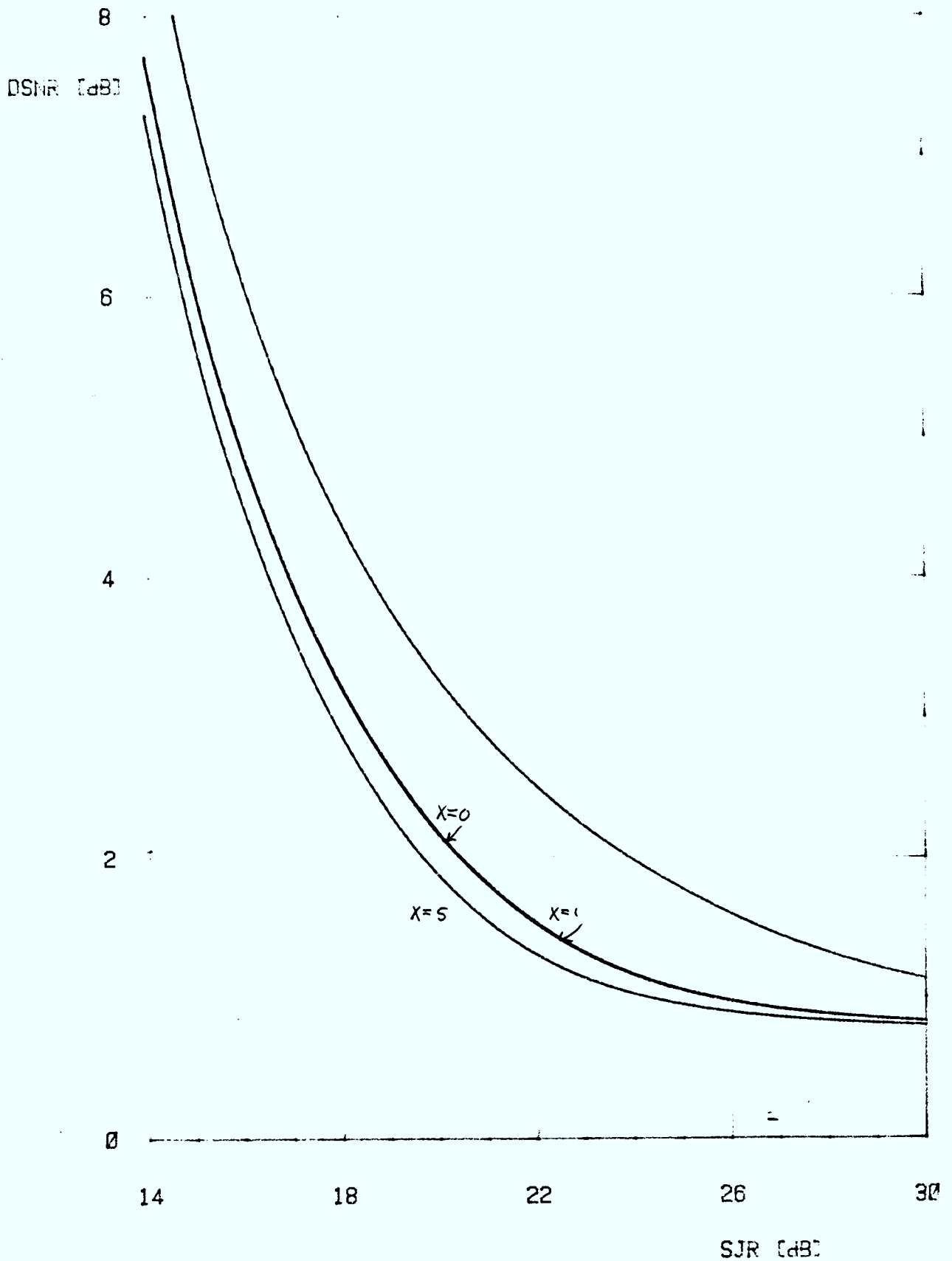


FIGURE A.2.12

## ANNEXE 3

### RÉSULTATS NUMÉRIQUES (hypothèse gaussienne)

#### Définition des paramètres:

SNR : rapport signal à bruit en dB

SIR : rapport signal à interférence en dB

DF : écart-type de la densité spectrale FM normalisé à  $B/2$

FC : écart de fréquence entre les porteuses FM et OAM normalisé à  $B/2$

QAM-4 SANS IIS FC= 0 DF= 0.1

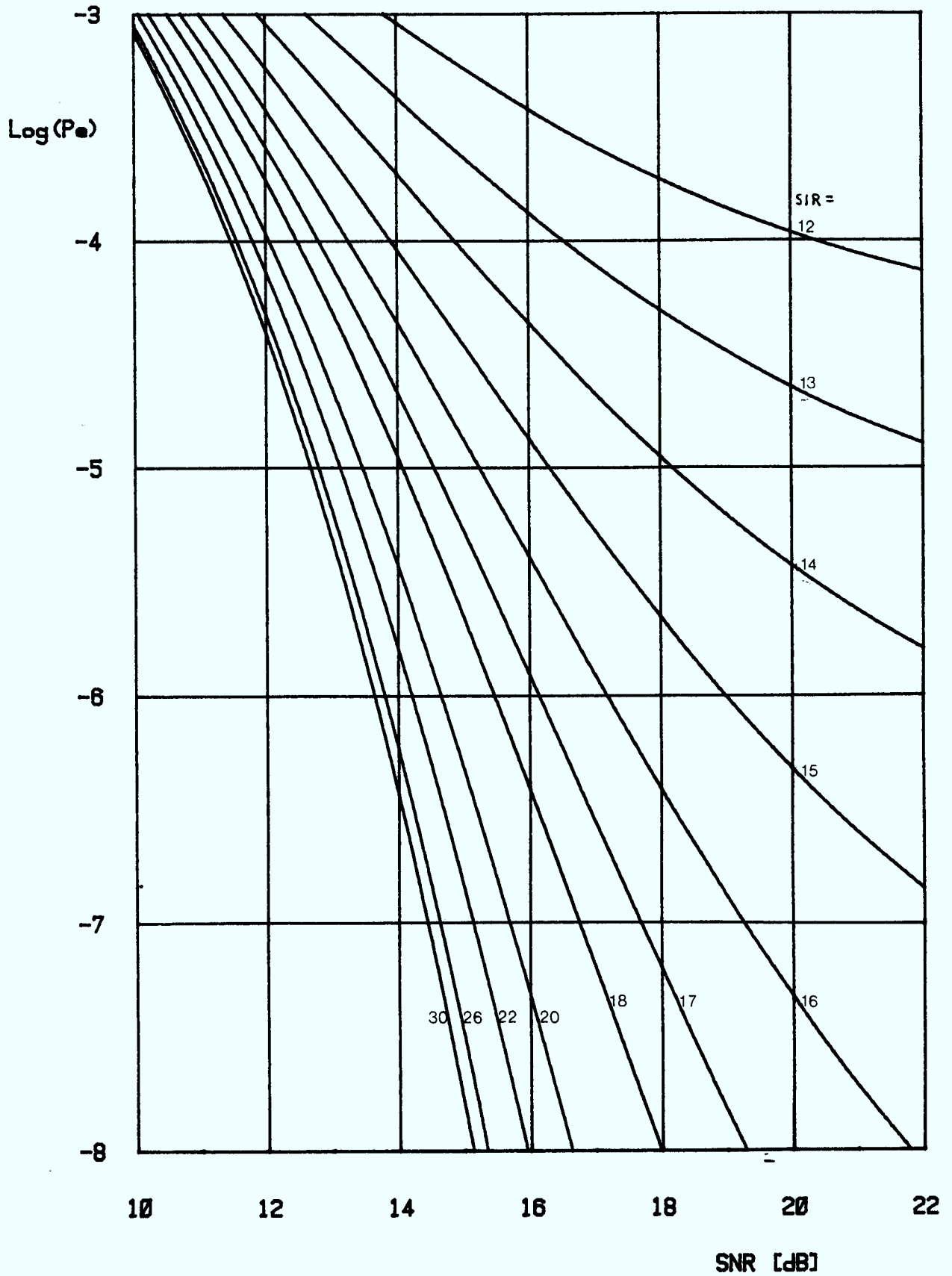


FIGURE A.3.1



QAM-4 SANS IIS SIR= 18 dB DF= 0.1

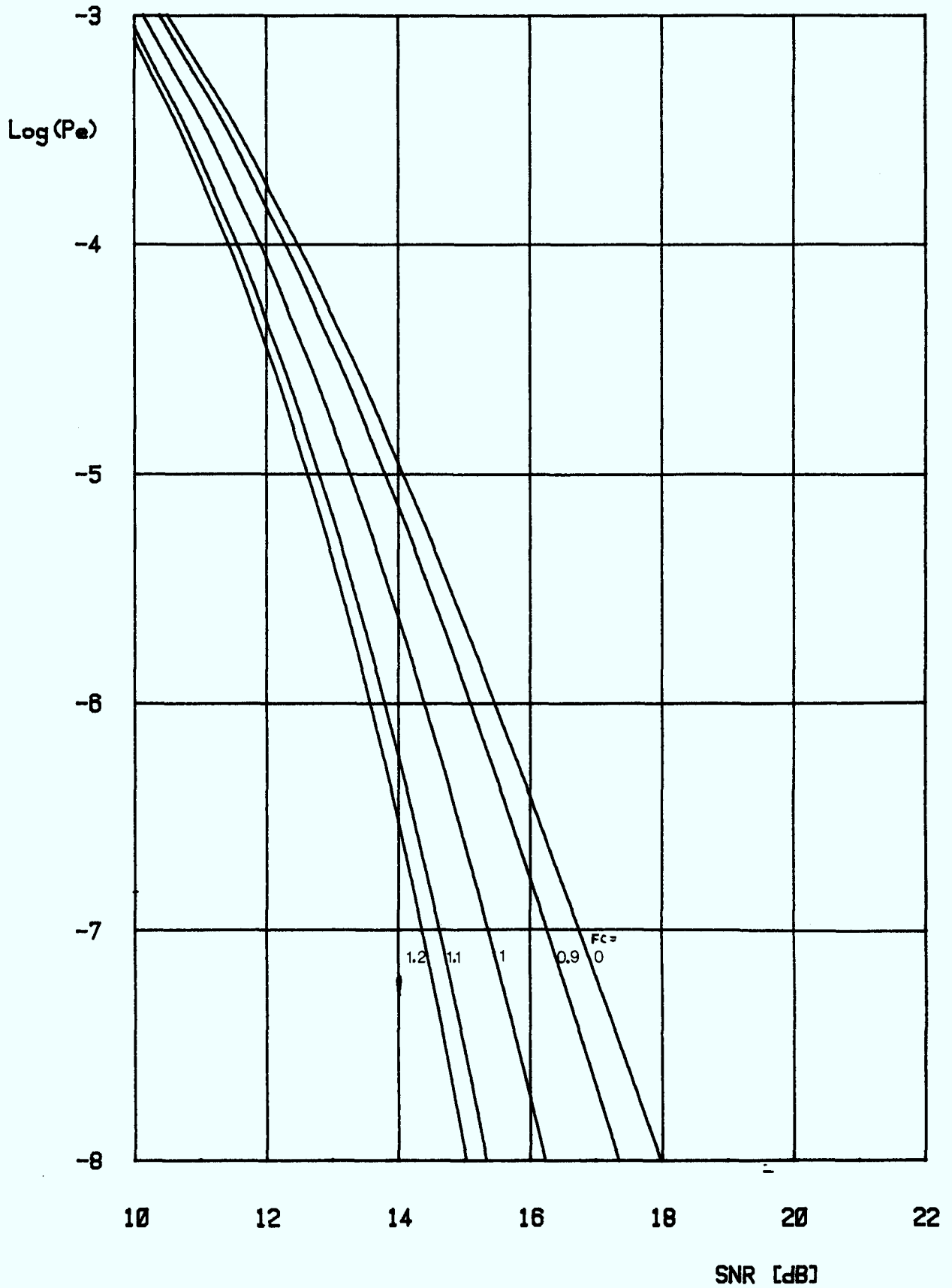


FIGURE A.3.2

QAM-4 SANS IIS SIR= 18 dB DF= 0.5

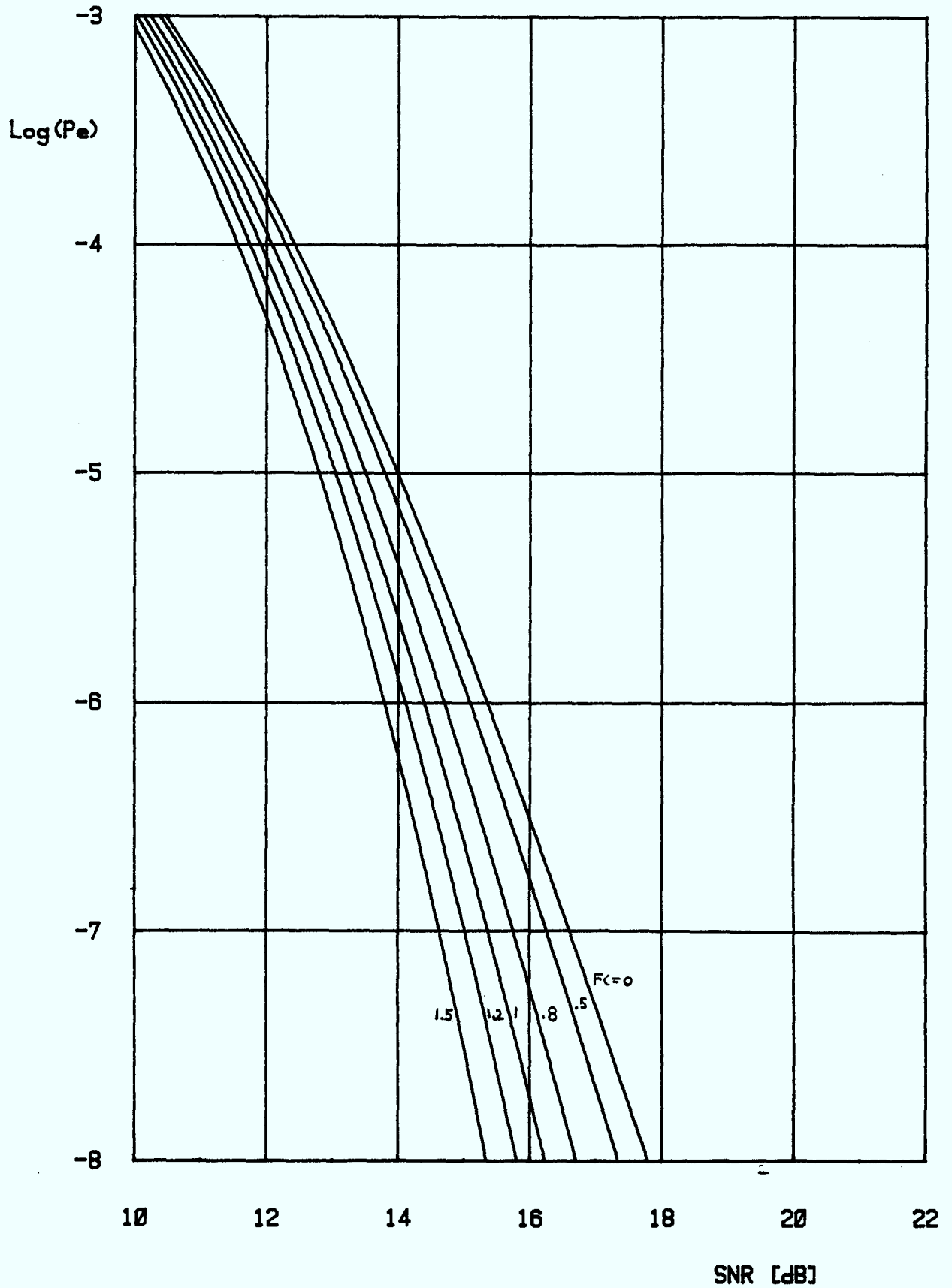


FIGURE A. 3. 3

QAM-4 SANS IIS SIR= 18 dB DF= 1

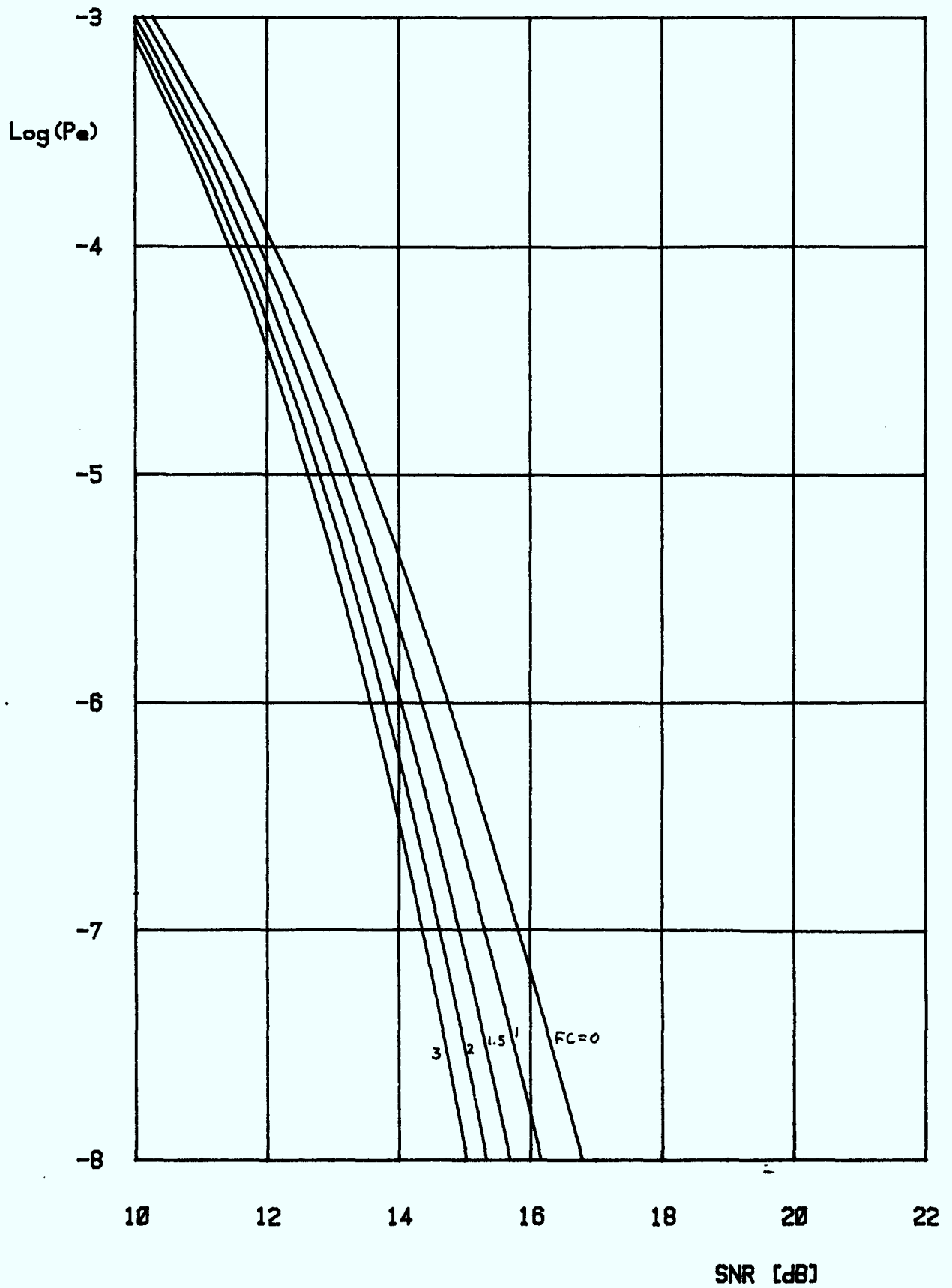


FIGURE A. 3. 4

QAM-4 SANS IIS SIR= 14 dB DF= 0.5

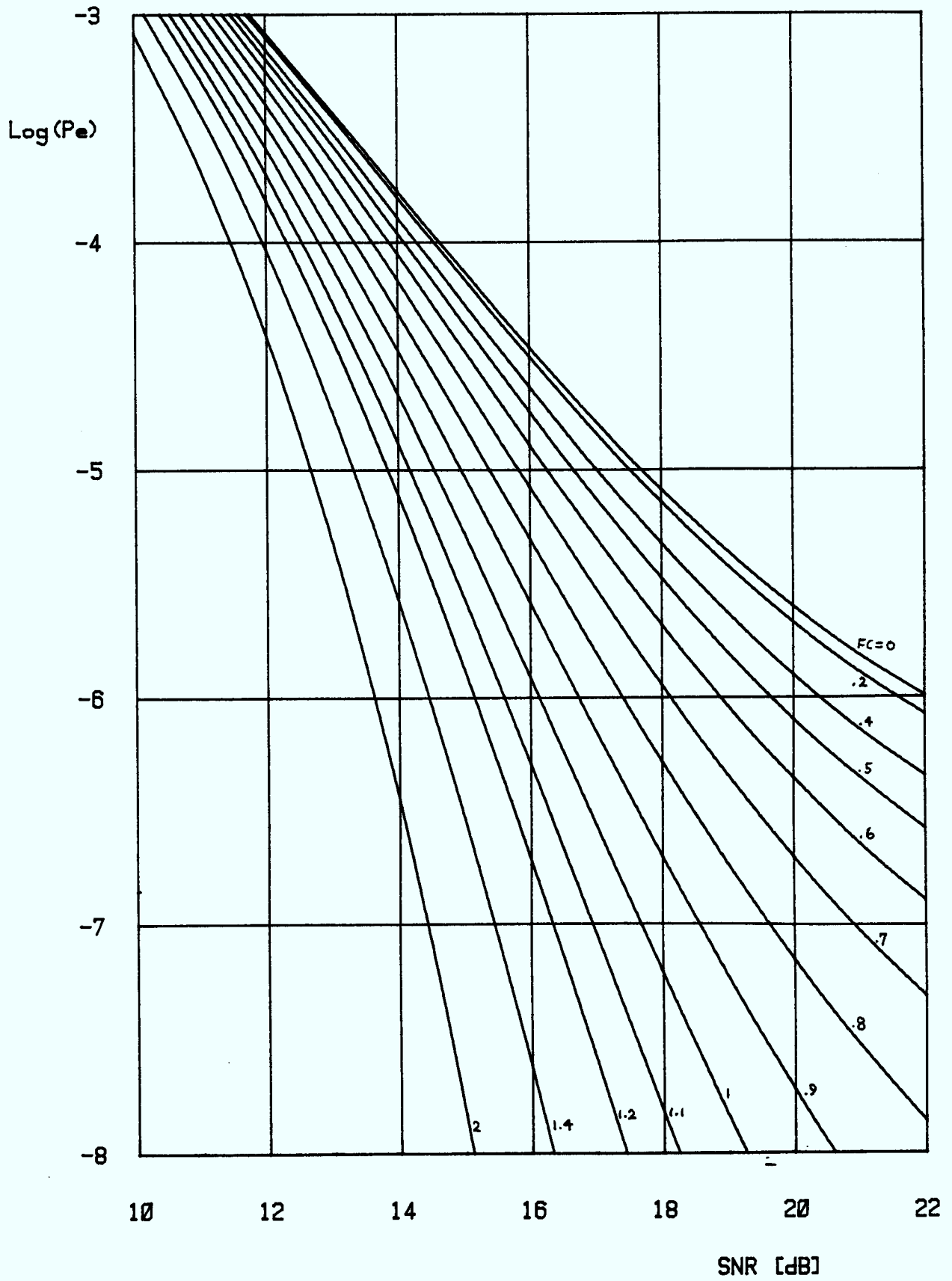


FIGURE A. 3. 5

QAM-4 SANS IIS SIR= 14 dB DF= 1

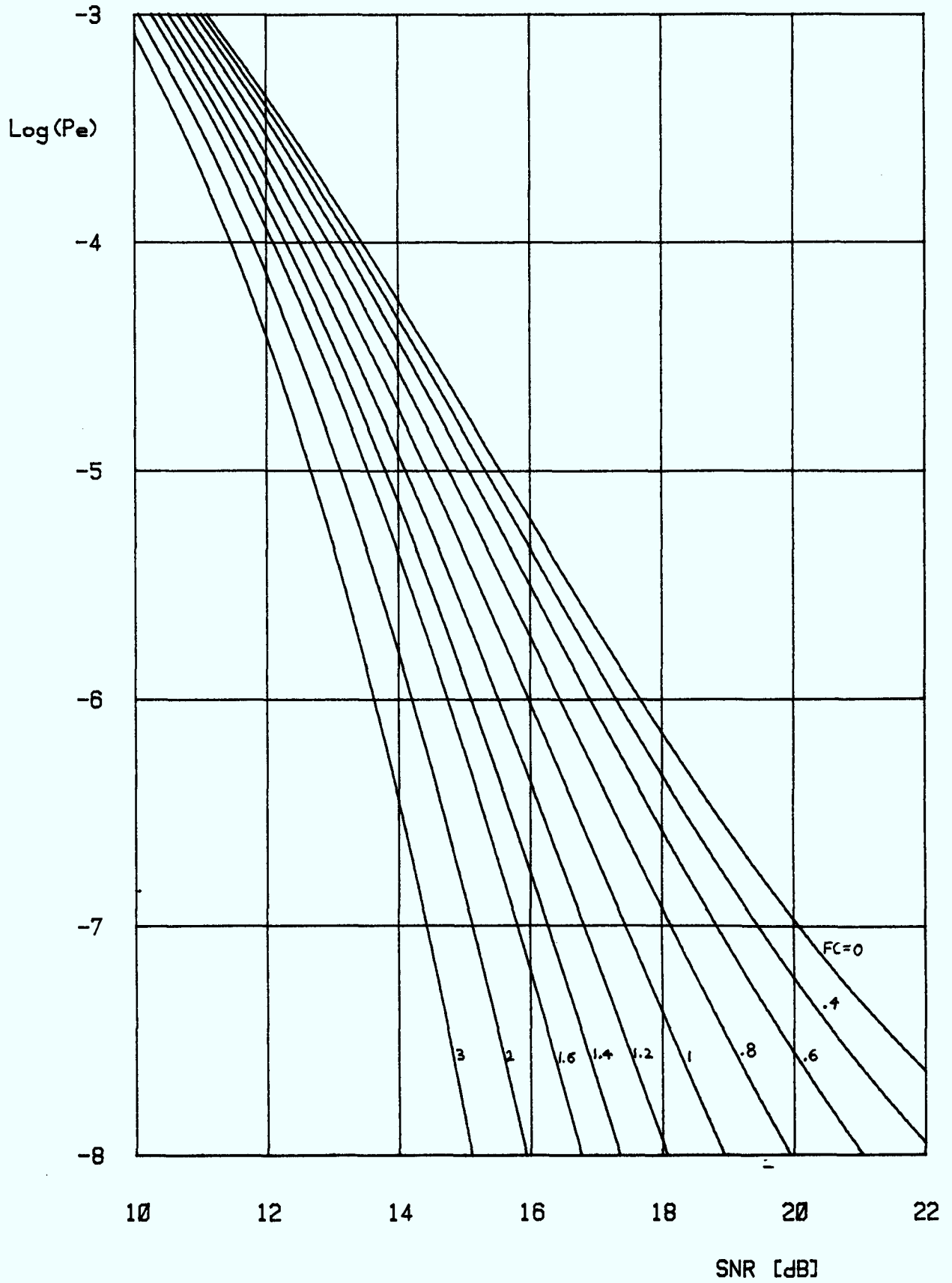


FIGURE A.3.6

QAM-4 SANS IIS SIR= 14 dB DF= 1.5

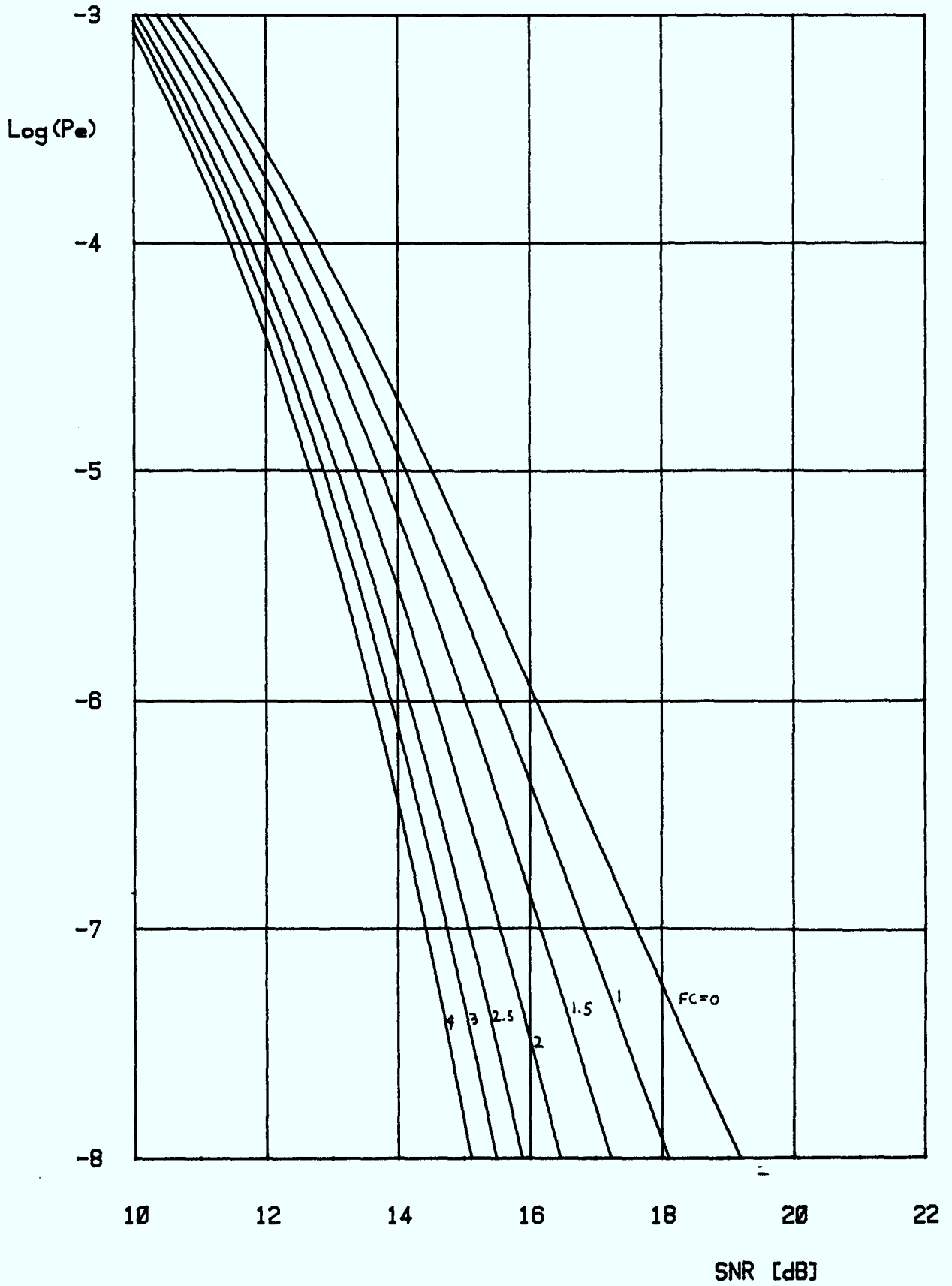


FIGURE A.3.7

QAM-4 SANS IIS SIR= 14 dB DF= 2

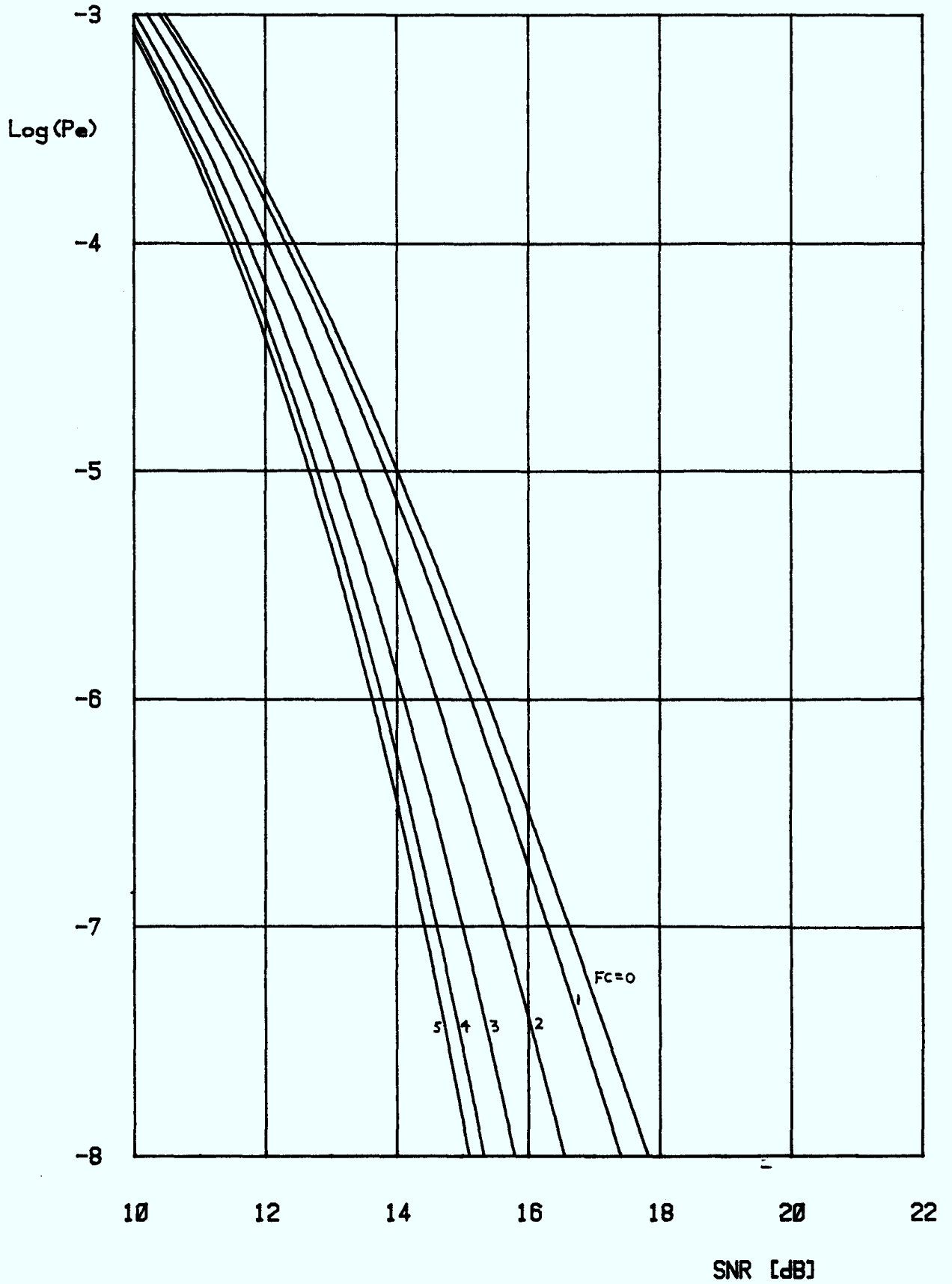


FIGURE A. 3. 8

QAM-4 SANS IIS SIR= 14 dB DF= 3

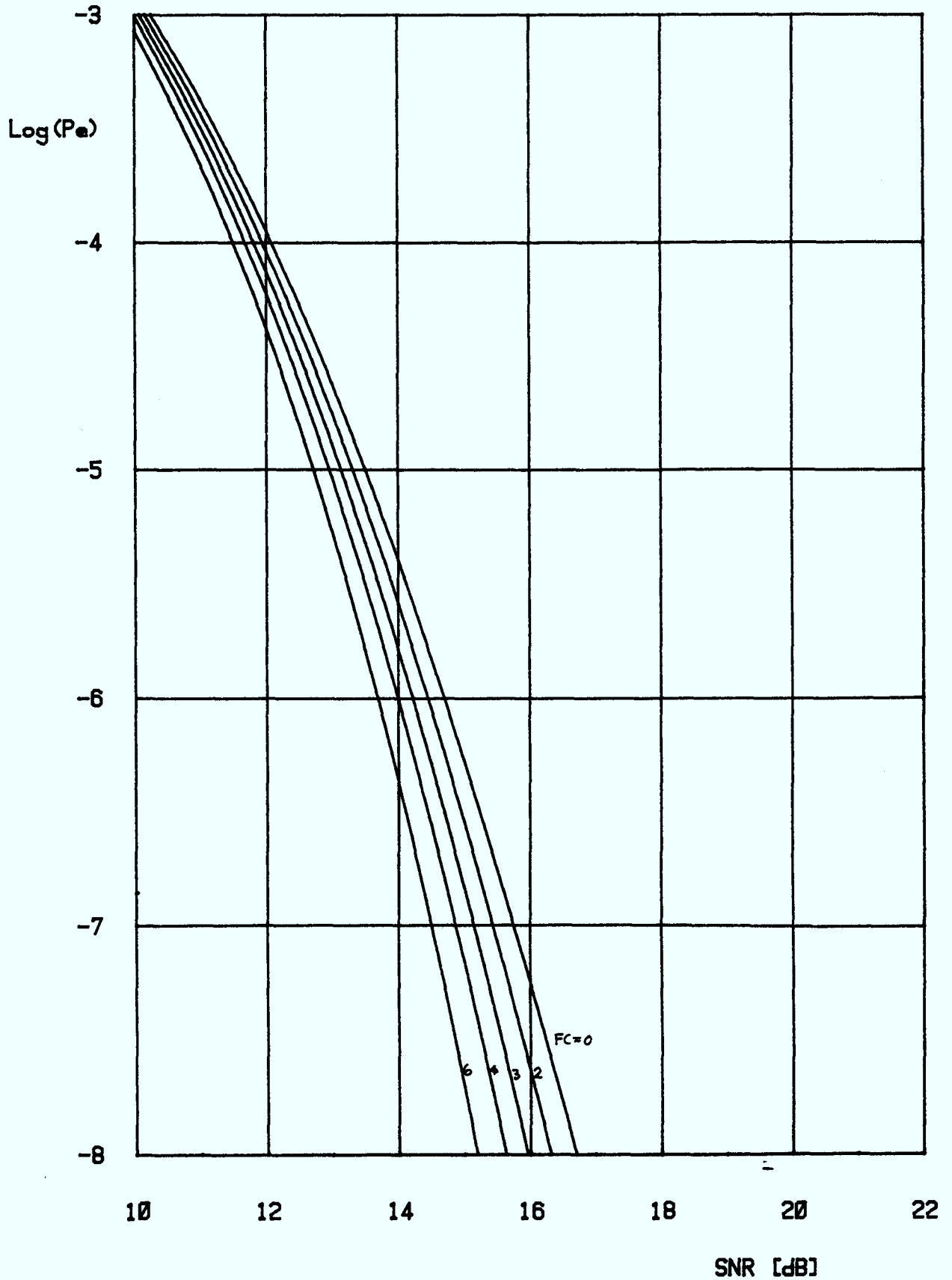


FIGURE A. 3. 9



QAM-4 SANS IIS SIR= 10 dB DF= 1

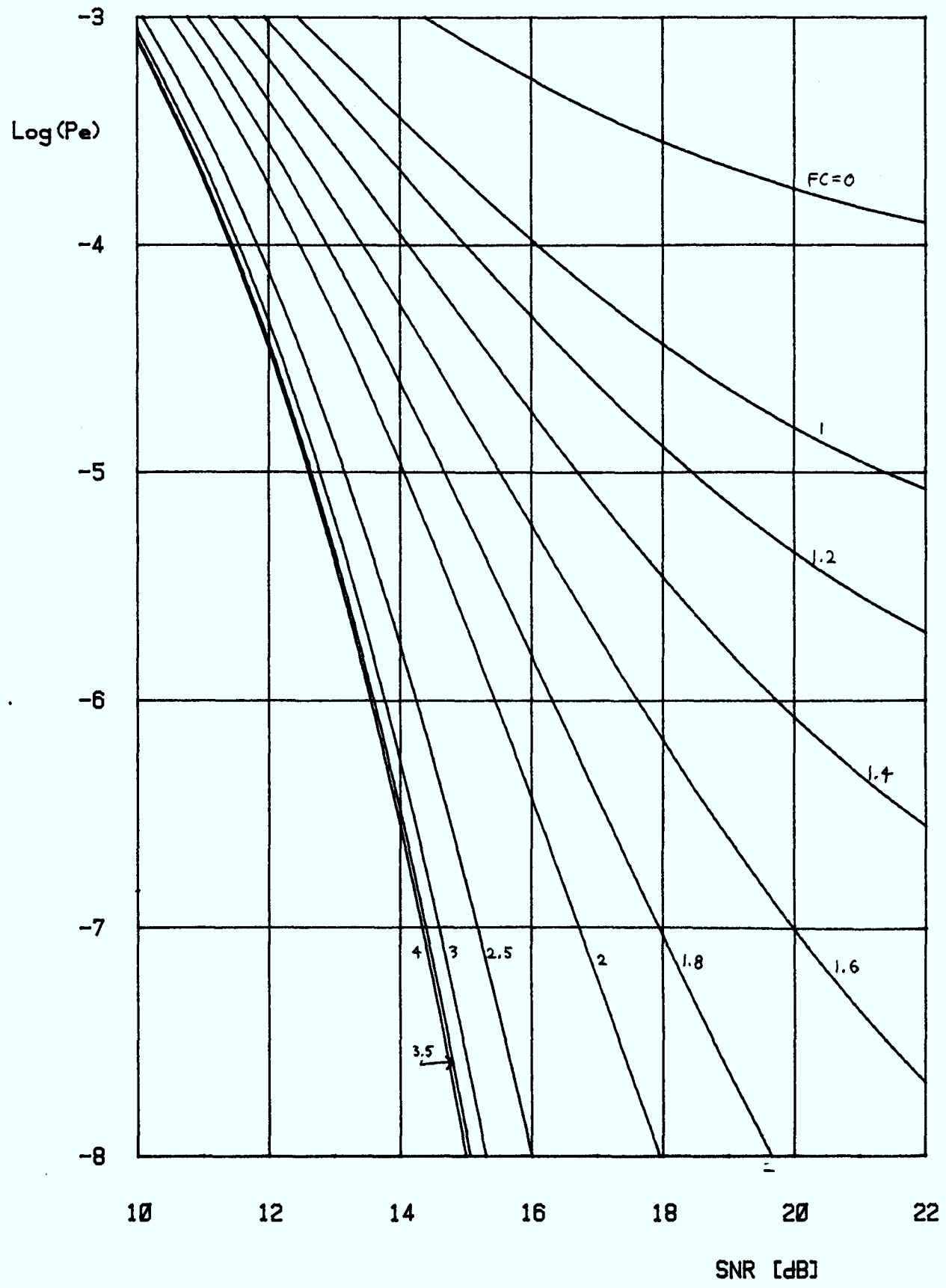


FIGURE A.3.10

QAM-4 SANS IIS SIR= 10 dB DF= 2

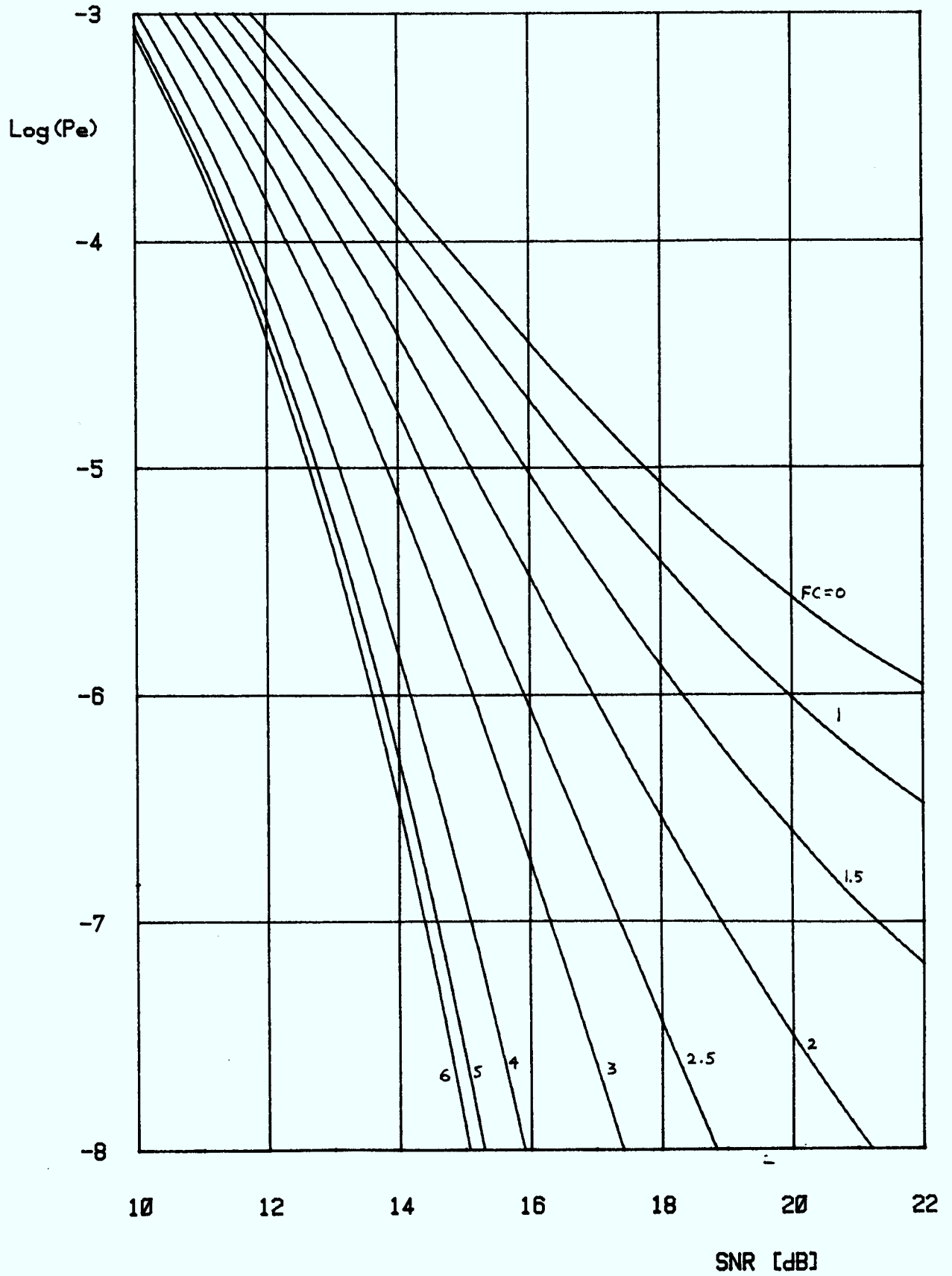


FIGURE A.3.11

QAM-4 SANS IIS SIR= 10 dB DF= 3

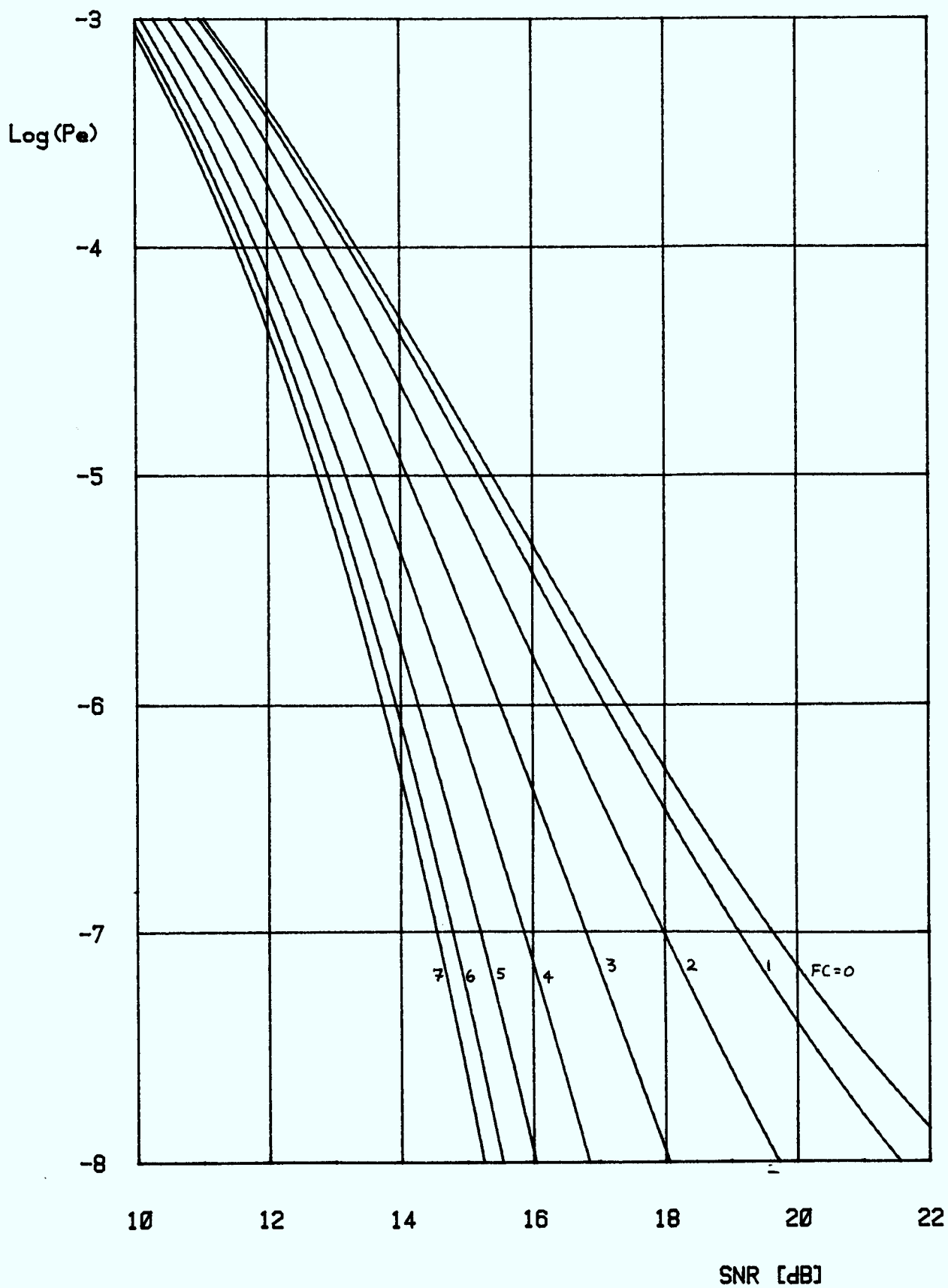


FIGURE A. 3. 12

QAM-4 SANS IIS SIR= 10 dB DF= 4

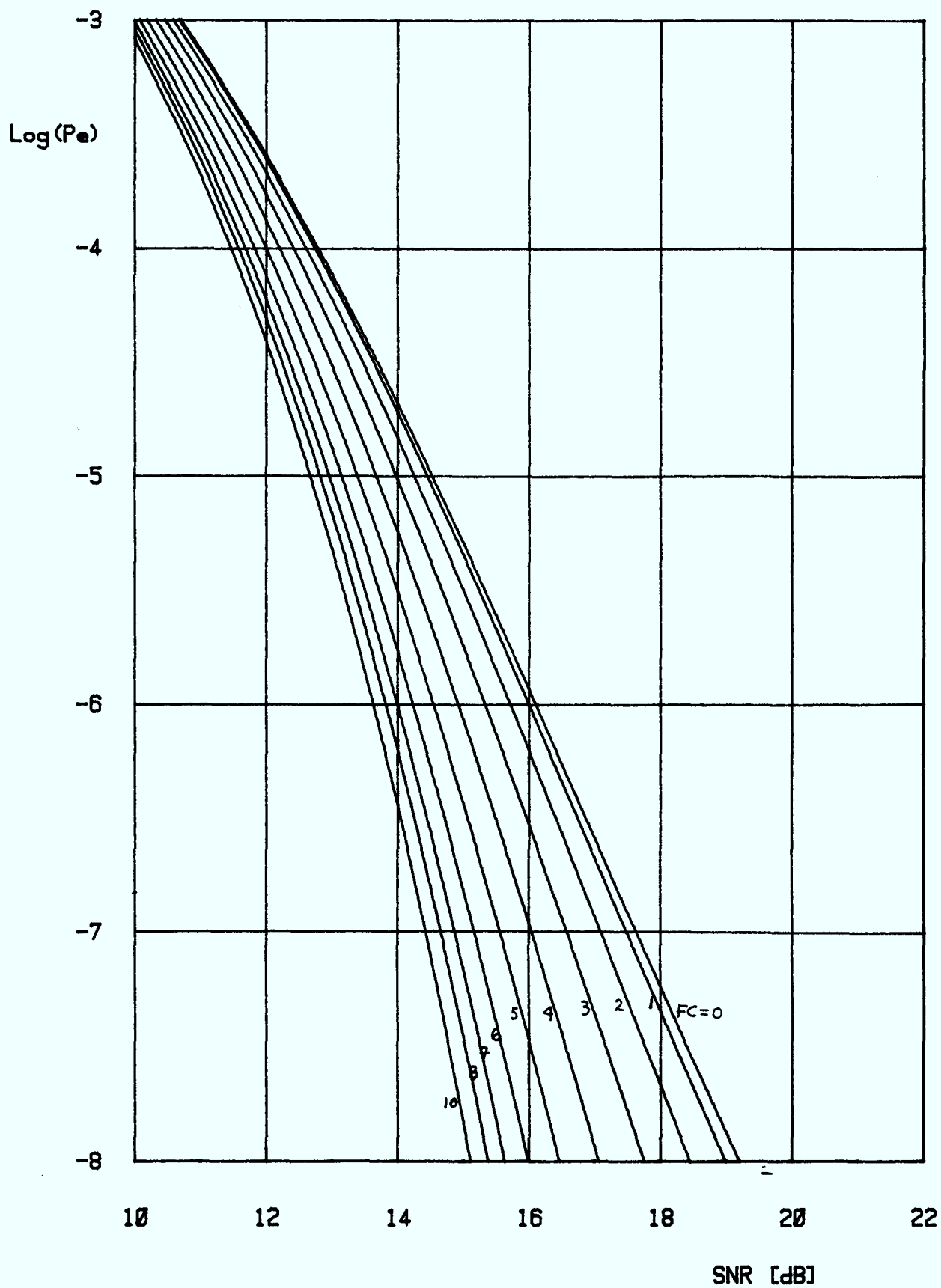


FIGURE A. 3. 13

QAM-4 SANS IIS SIR= 10 dB DF= 5

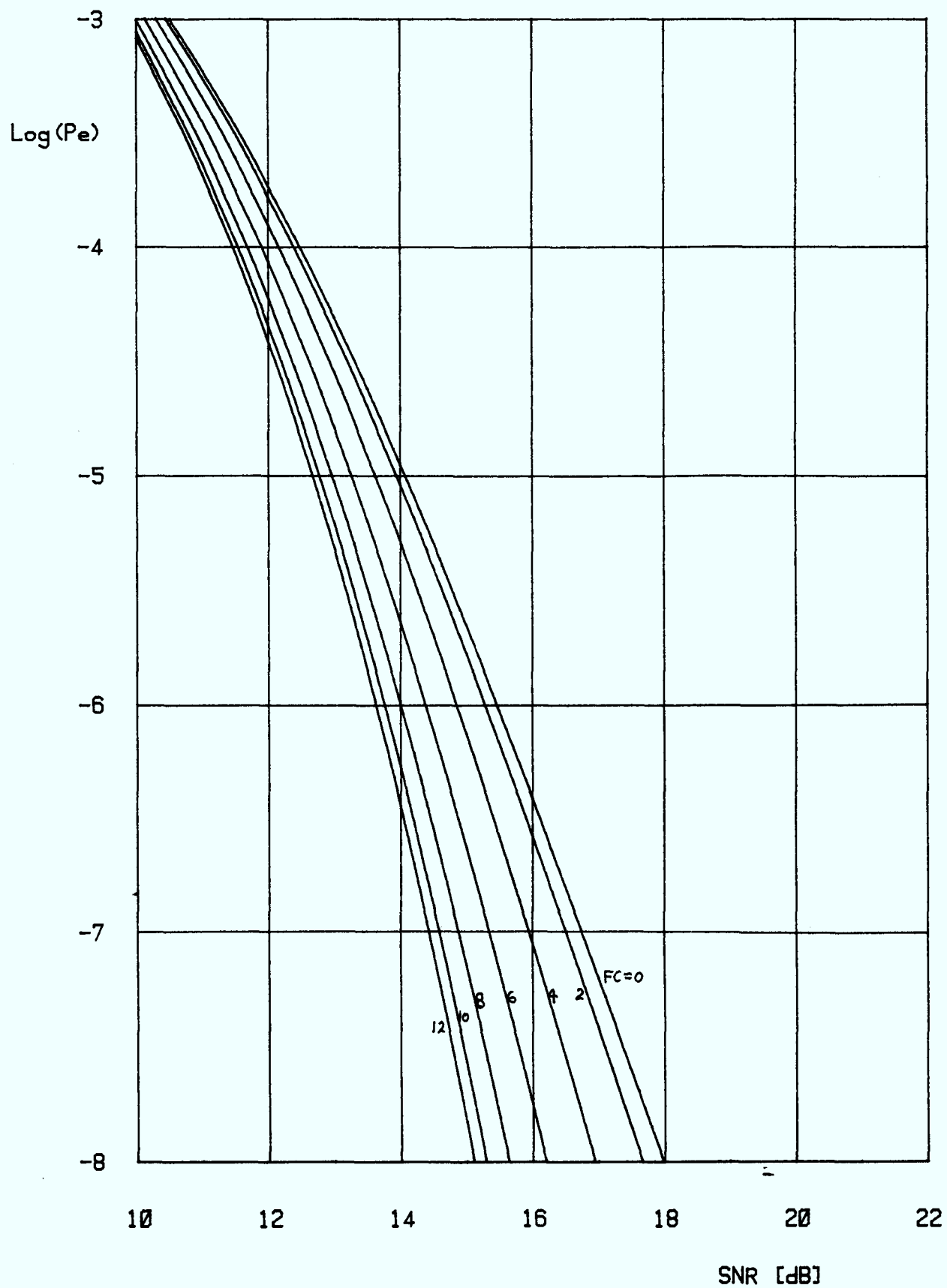


FIGURE A.3.14

QAM-16 SANS IIS FC= 0 DF= 0.1

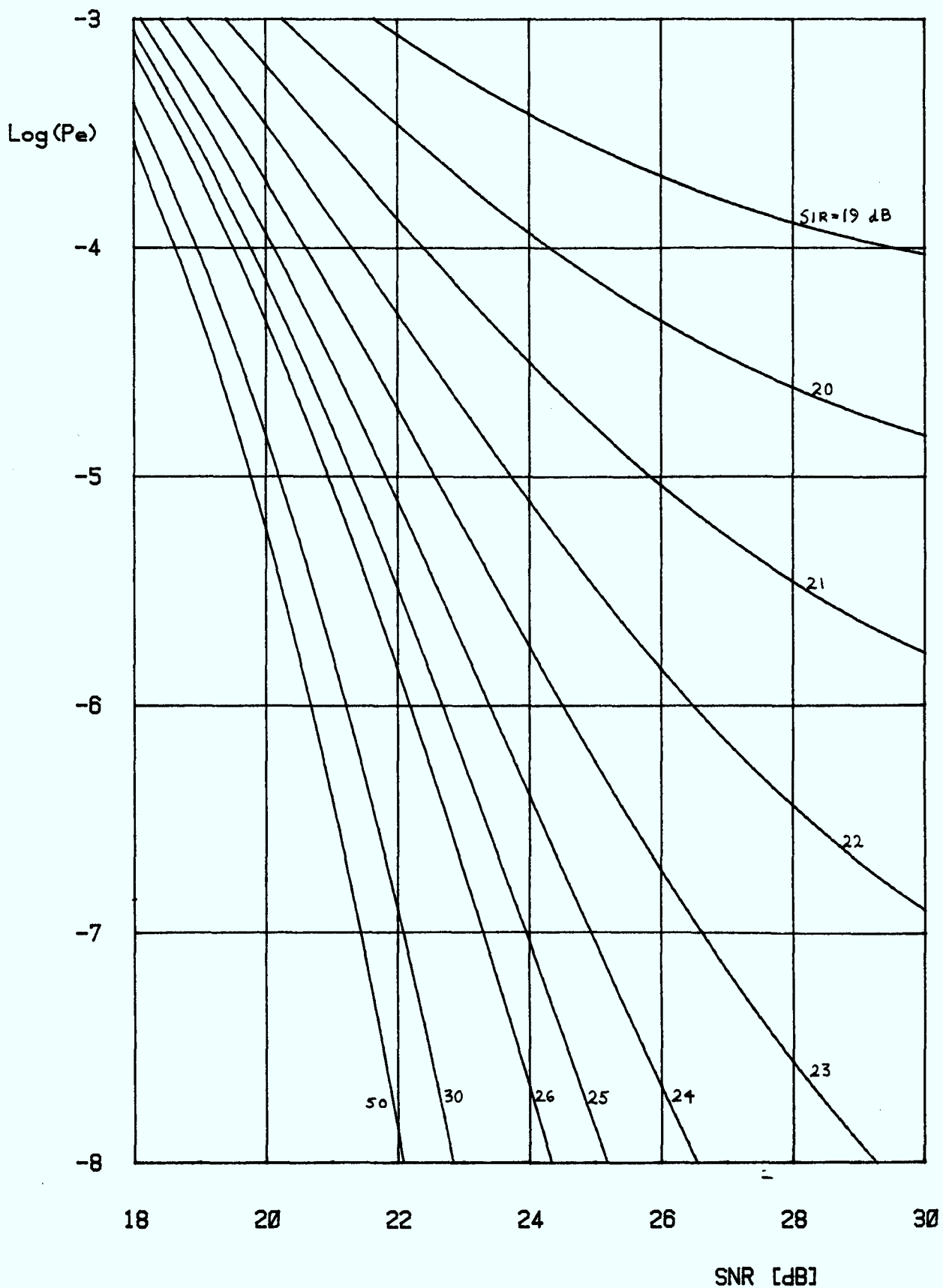


FIGURE A.3.15

QAM-16 SANS IIS SIR= 15 dB DF= 1

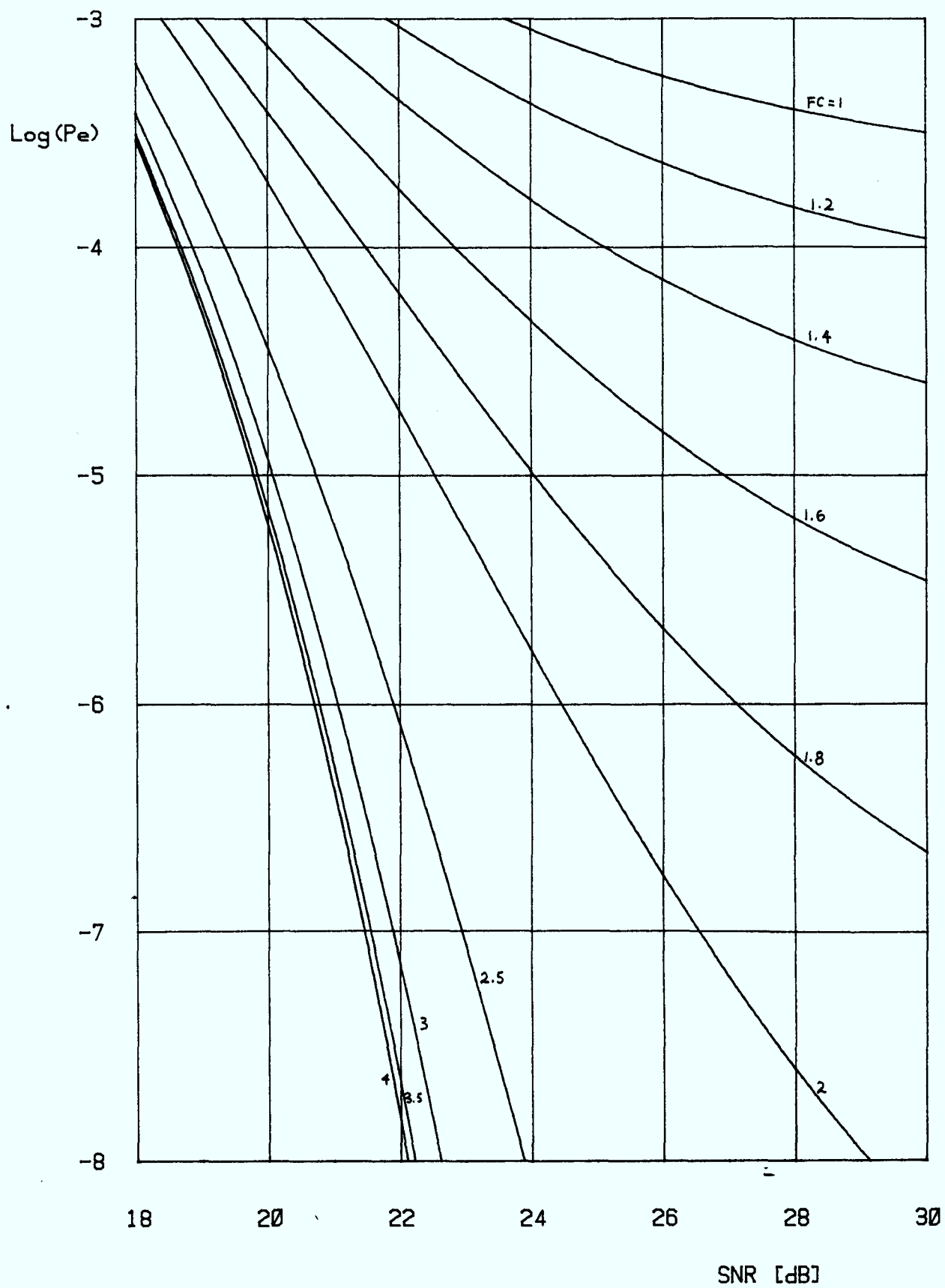


FIGURE A.3.16

QAM-16 SANS IIS SIR= 15 dB DF= 2

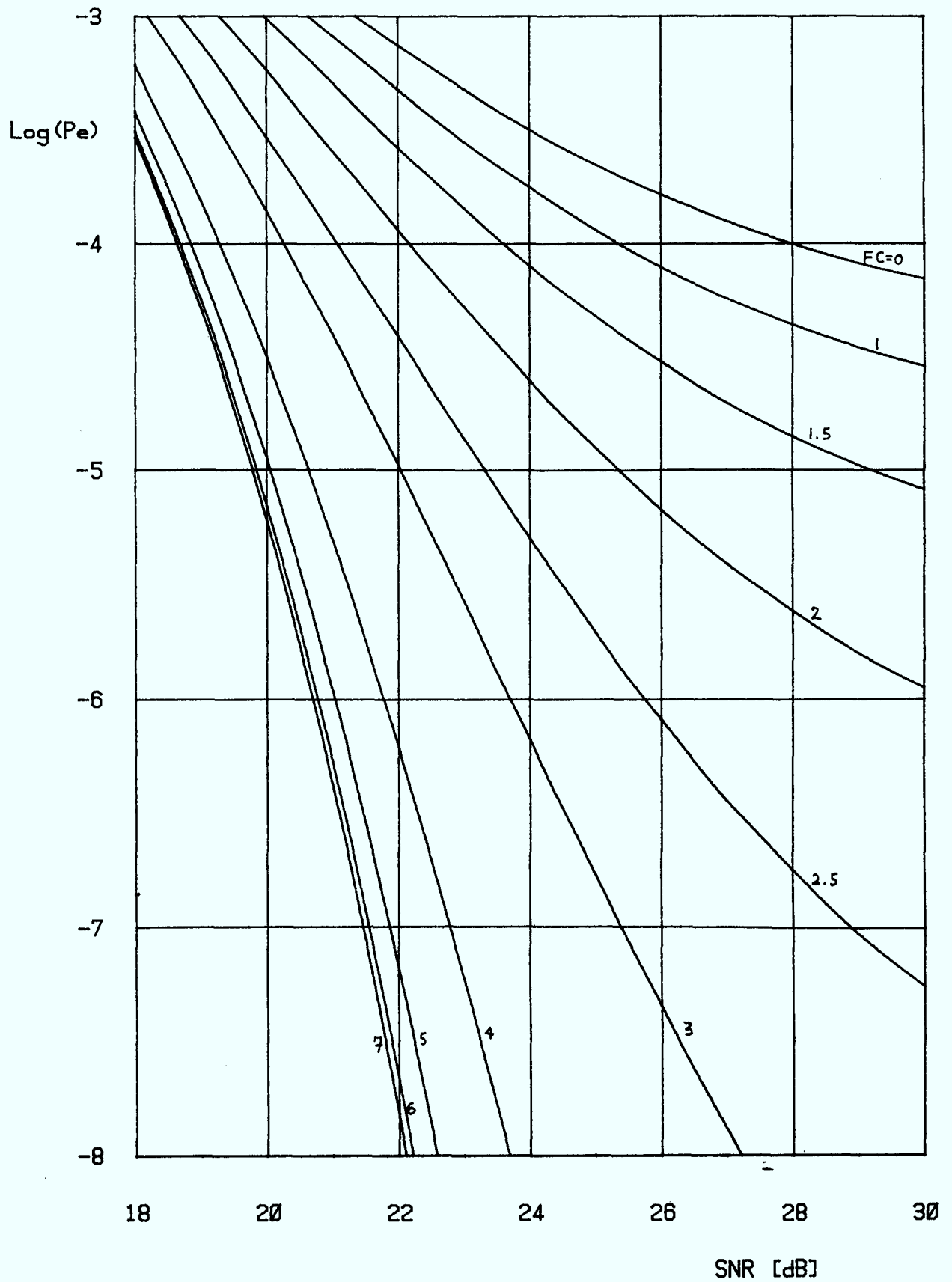


FIGURE A. 3. 17



QAM-16 SANS IIS SIR= 15 dB DF= 3

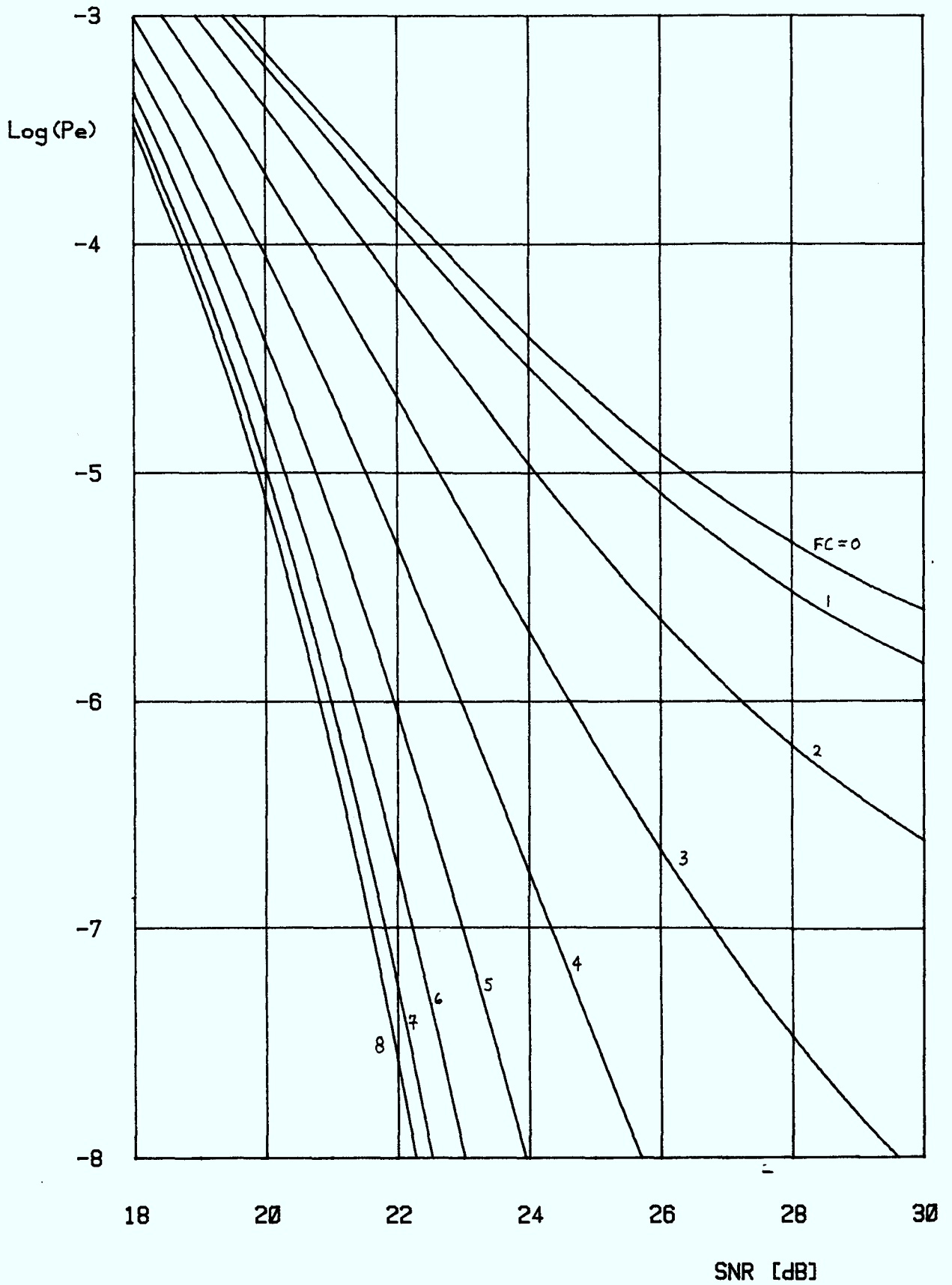


FIGURE A. 3. 18

QAM-16 SANS IIS SIR= 15 dB DF= 4

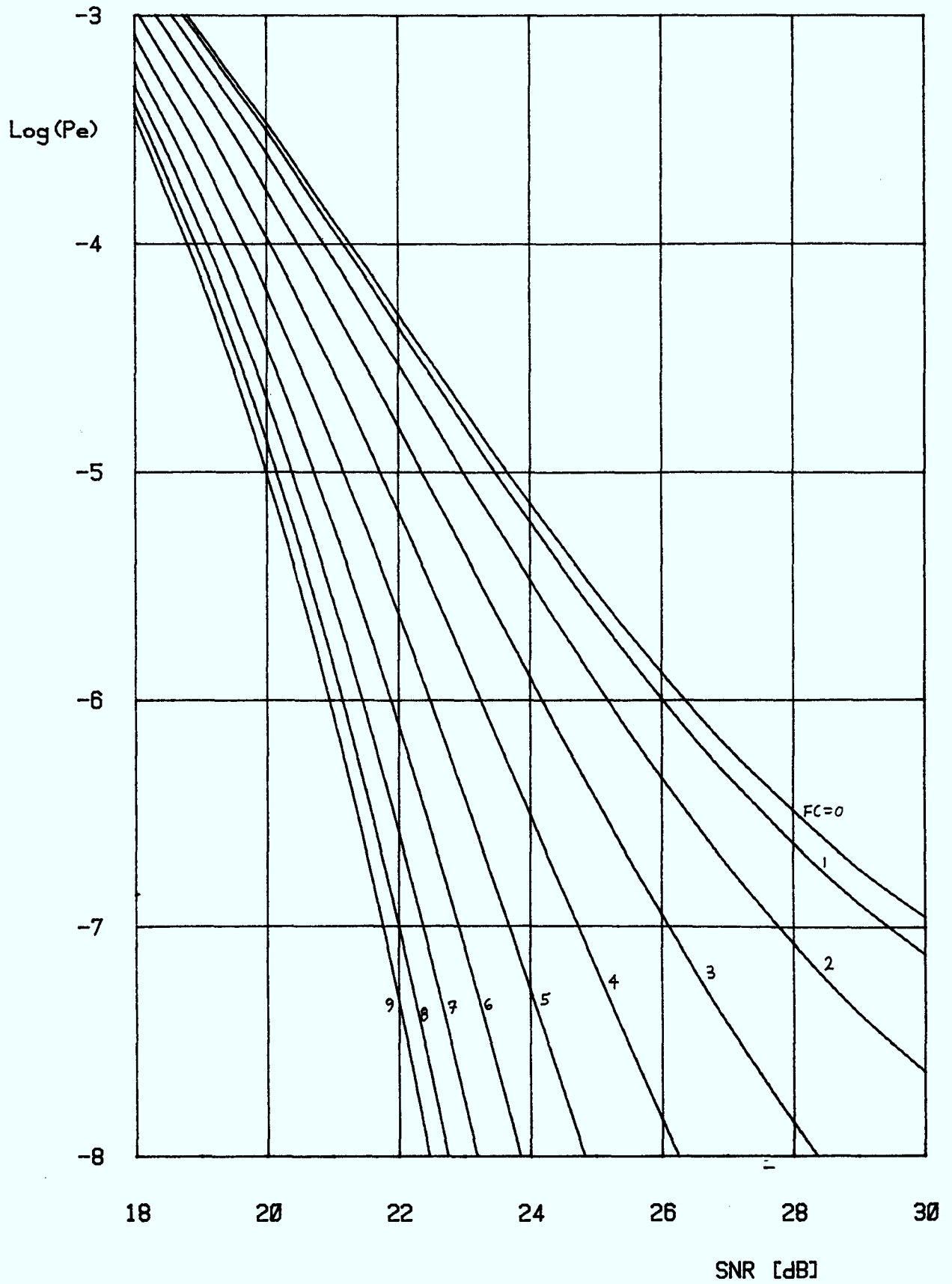


FIGURE A. 3. 19

QAM-16 SANS IIS SIR= 15 dB DF= 5

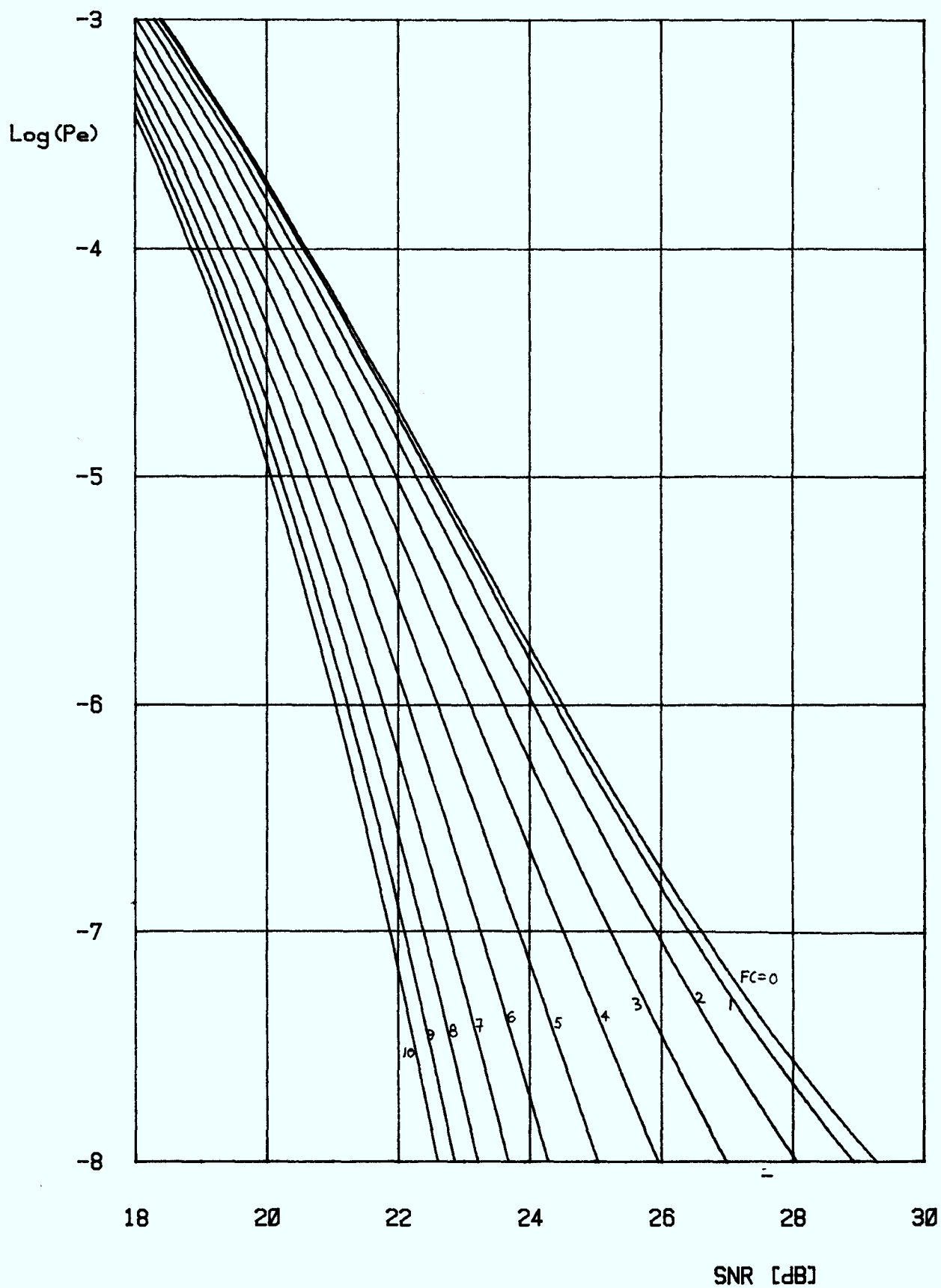


FIGURE A. 3. 20

QAM-16 SANS IIS SIR= 20 dB DF= 0.5

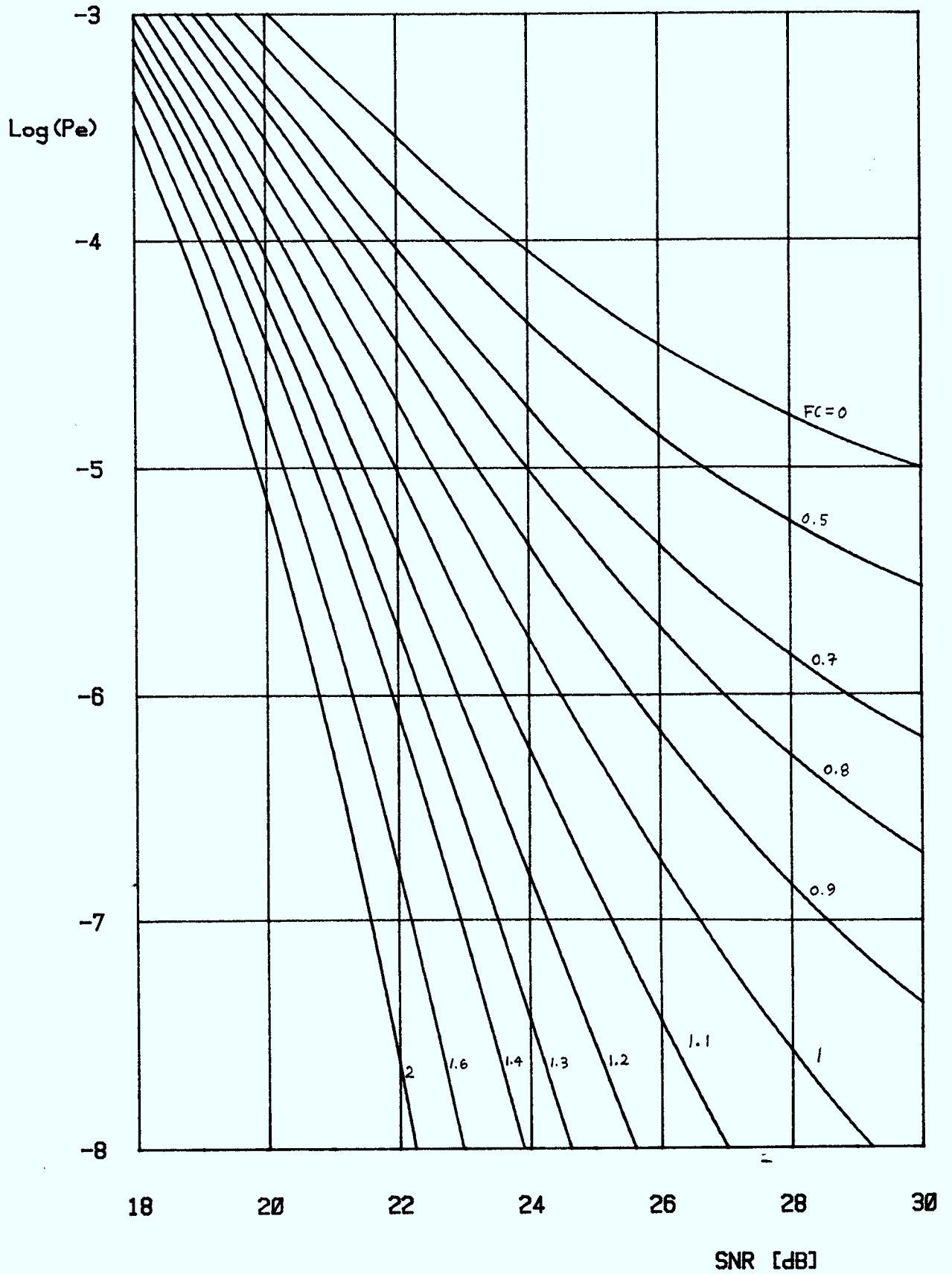


FIGURE A. 3. 21

QAM-16 SANS IIS SIR= 20 dB DF= 1

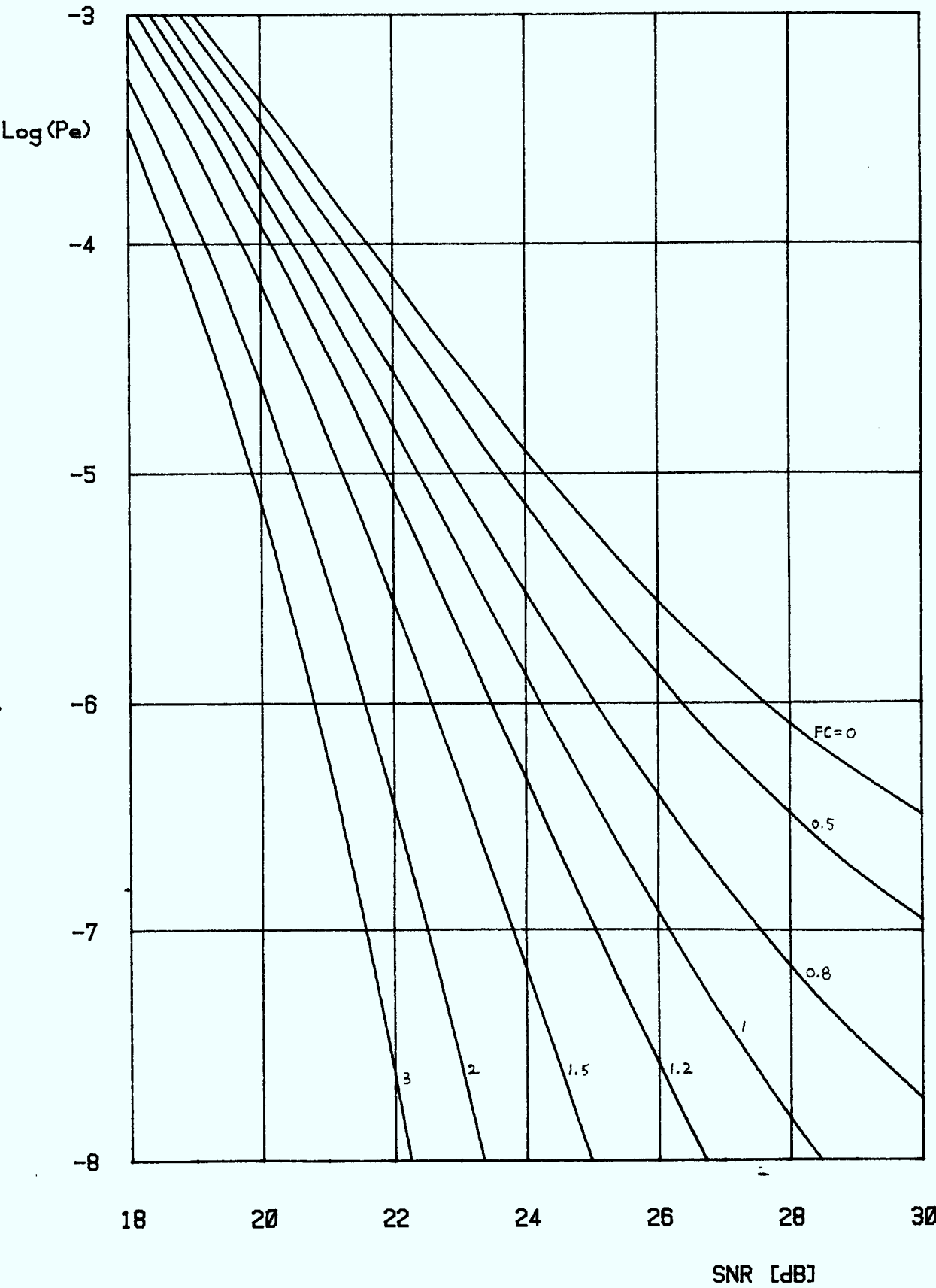


FIGURE A. 3. 22

QAM-16 SANS IIS SIR= 20 dB DF= 1.5

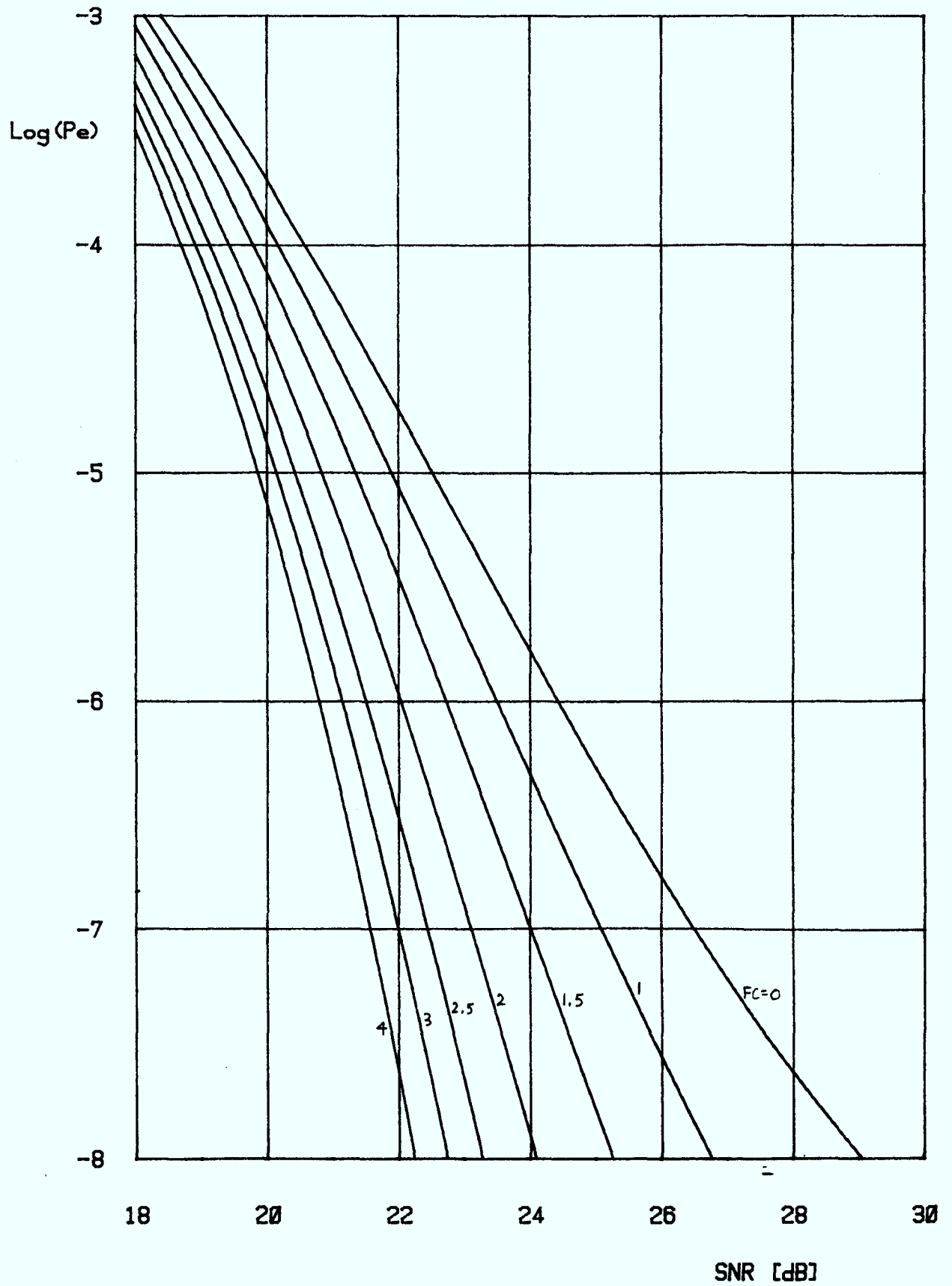


FIGURE A. 3. 23

QAM-16 SANS IIS SIR= 20 dB DF= 2

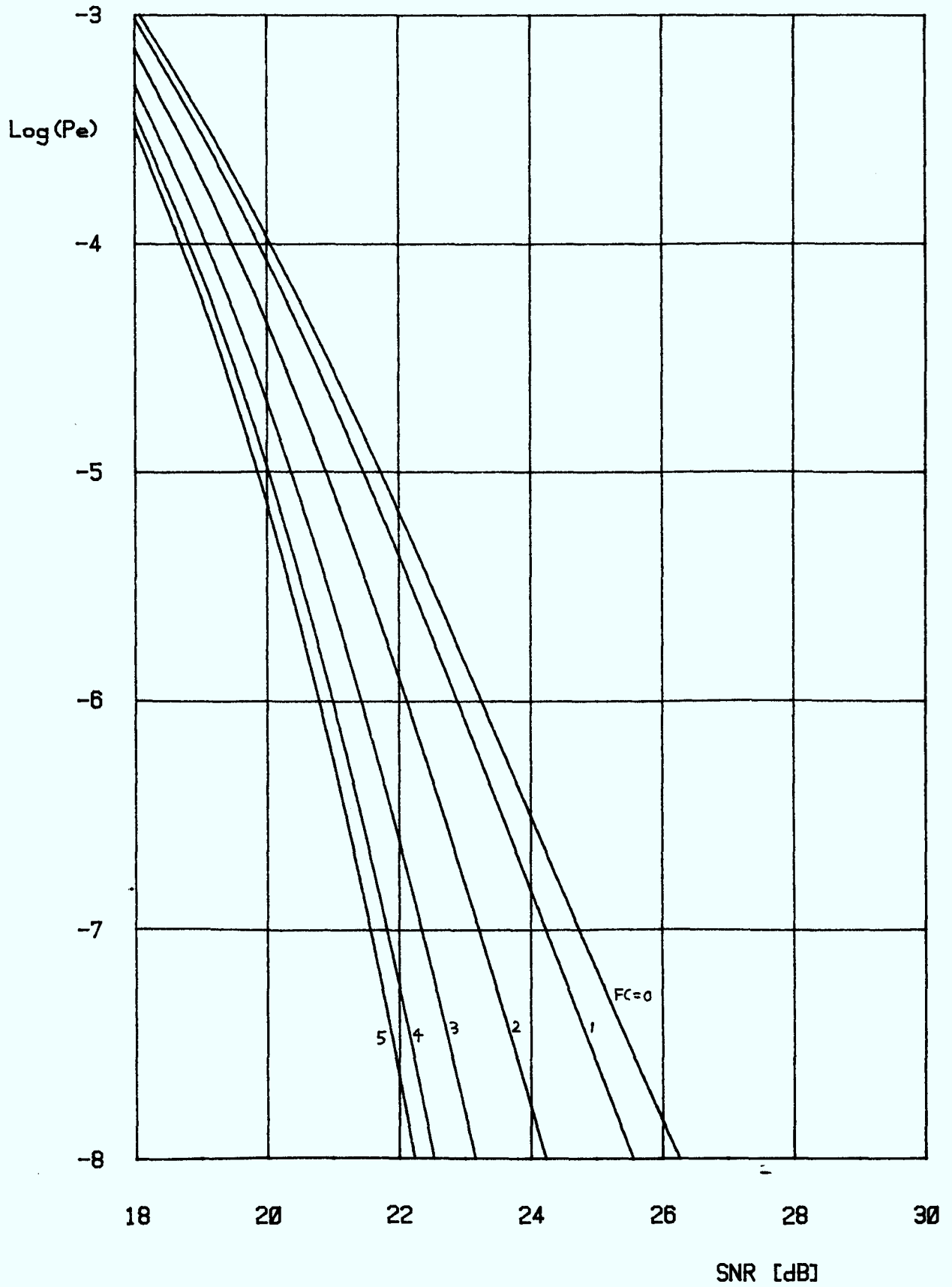


FIGURE A. 3. 24

QAM-16 SANS IIS SIR= 20 dB DF= 3

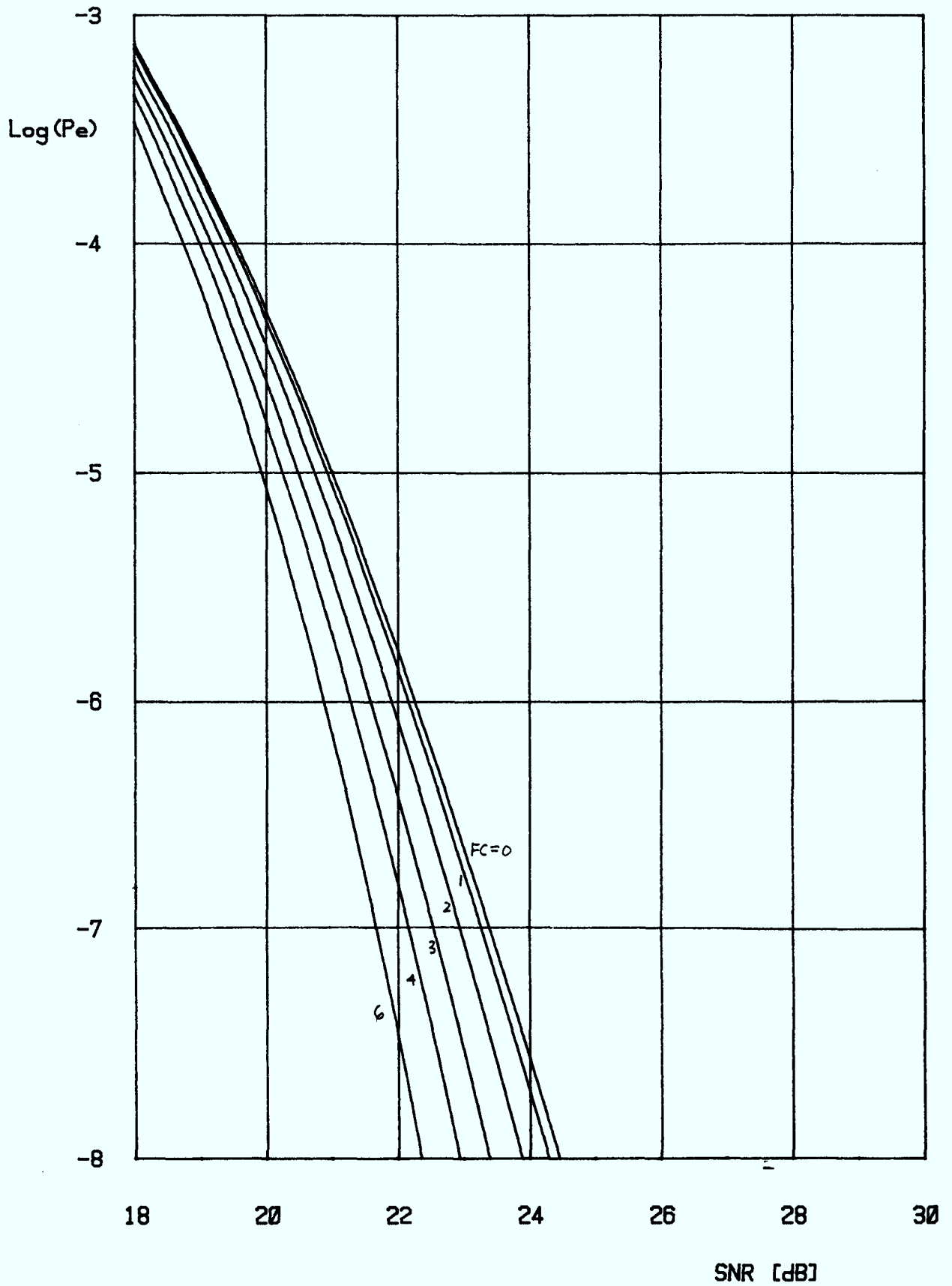


FIGURE A. 3. 25



QAM-16 SANS IIS SIR= 25 dB DF= 0.1

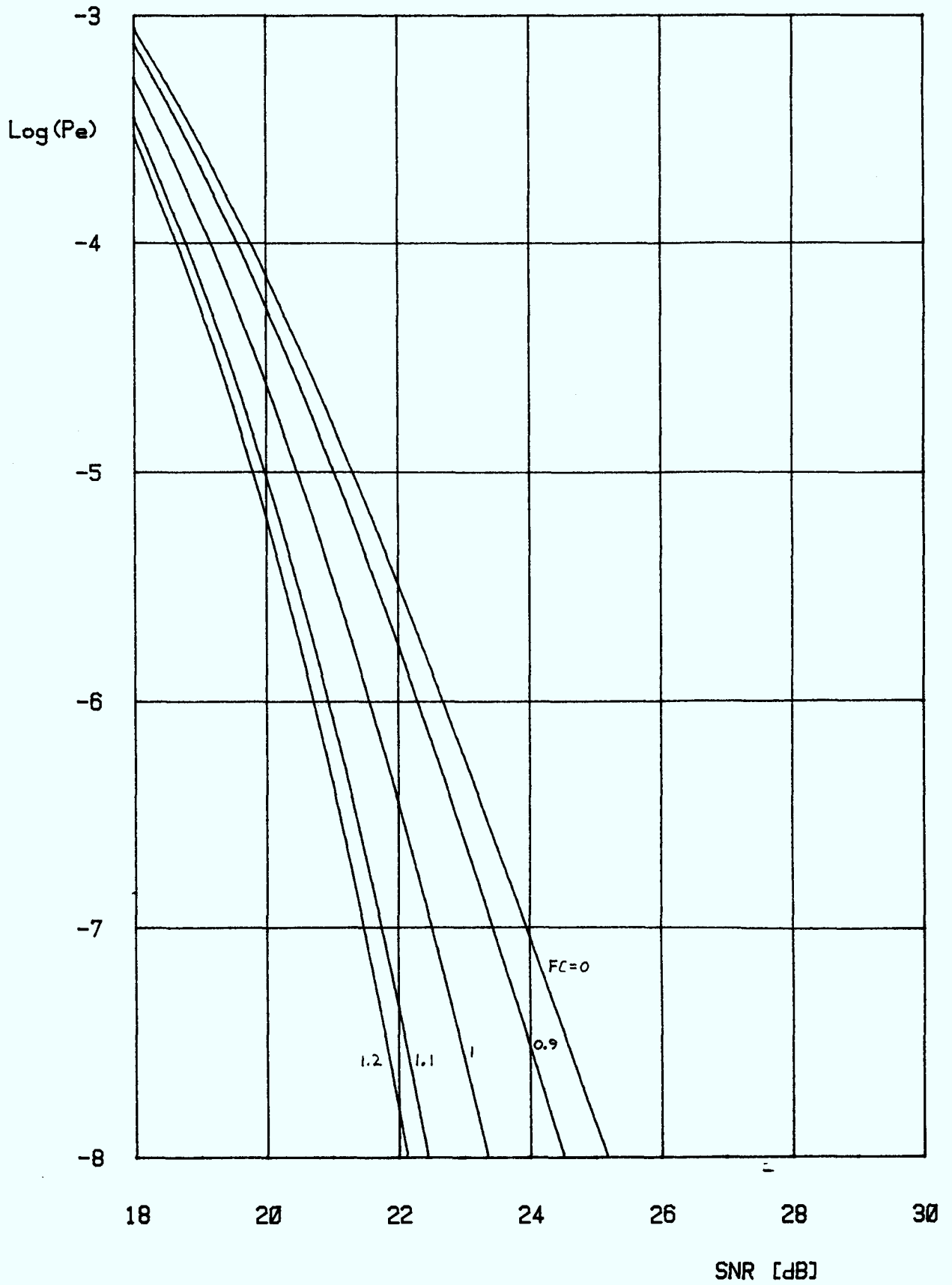


FIGURE A. 3. 26

QAM-16 SANS IIS SIR= 25 dB DF= 0.5

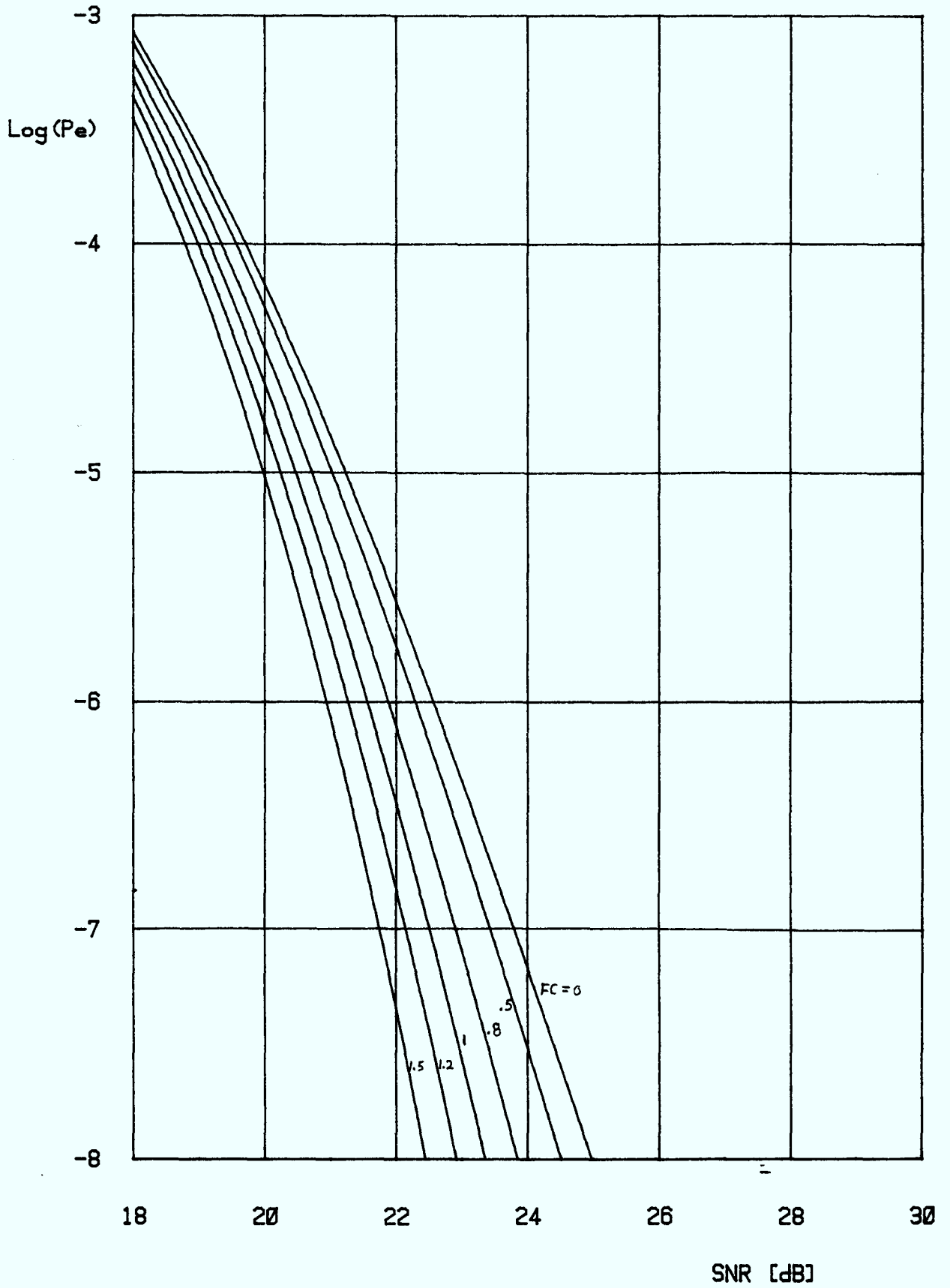


FIGURE A. 3. 27

QAM-16 SANS IIS SIR= 25 dB DF= 1

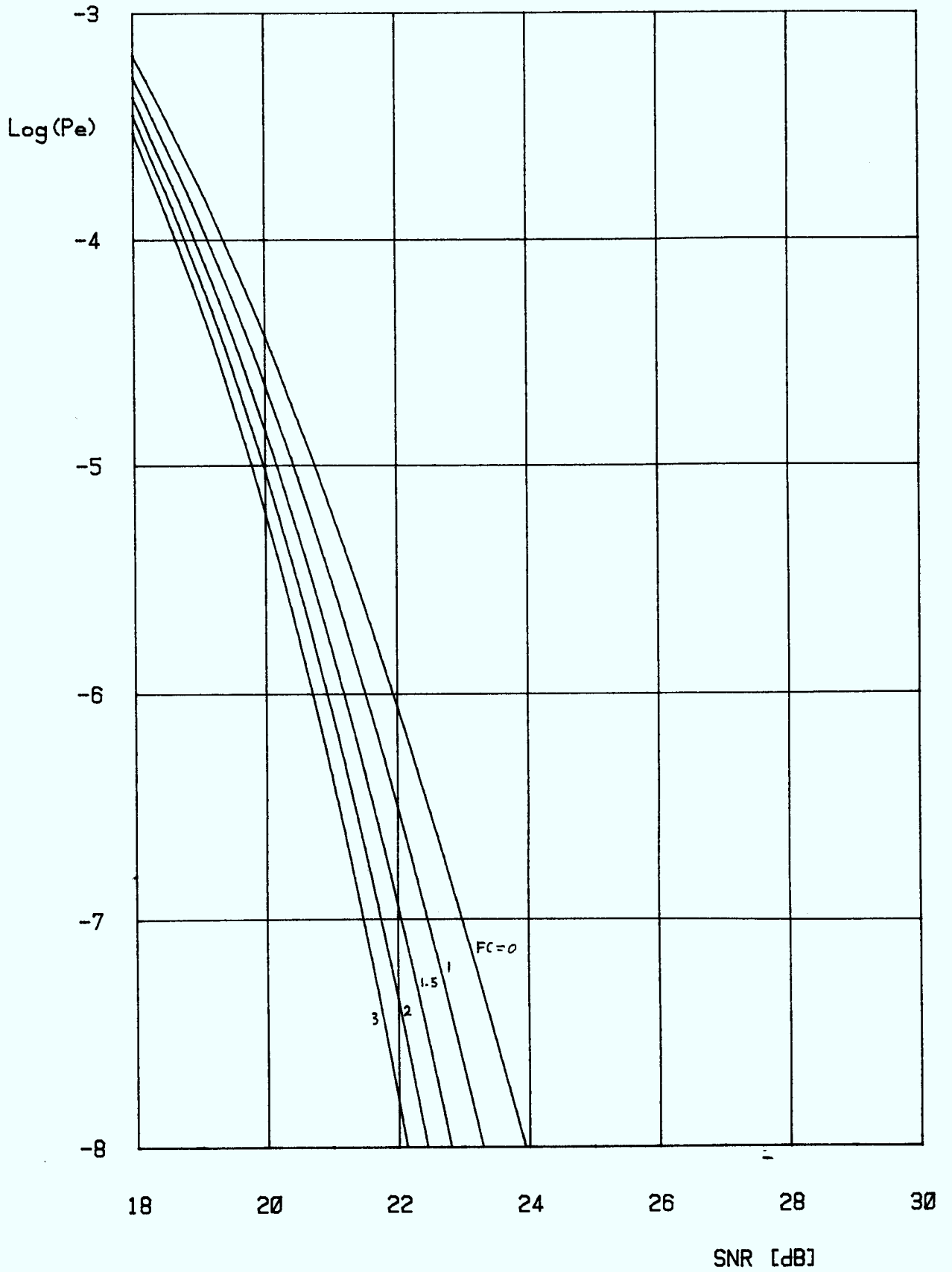


FIGURE A. 3. 28

QAM-64 SANS IIS FC= 0 DF= 0.1

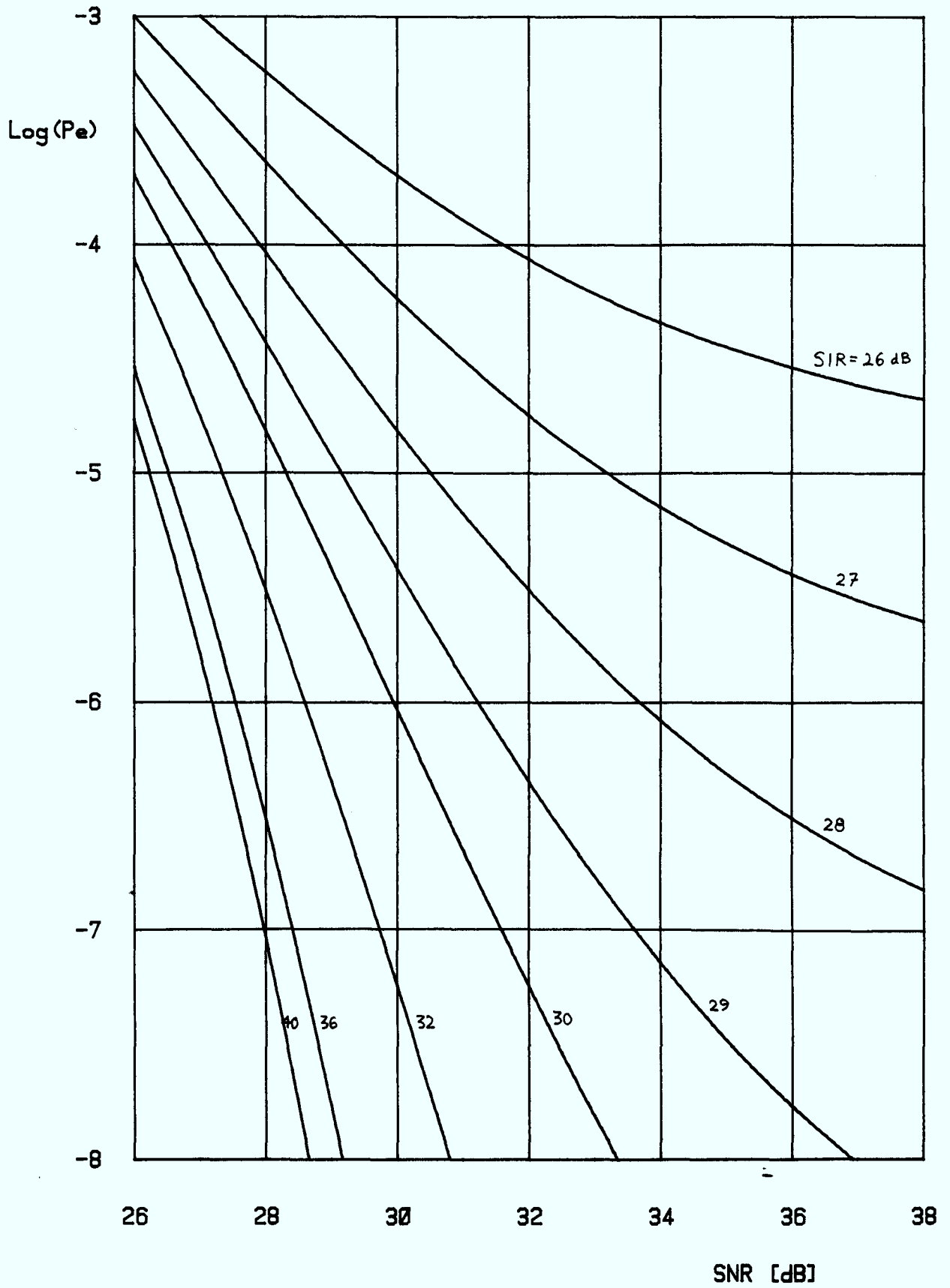


FIGURE A.3.29

QAM-64 SANS IIS SIR= 22 dB DF= 1

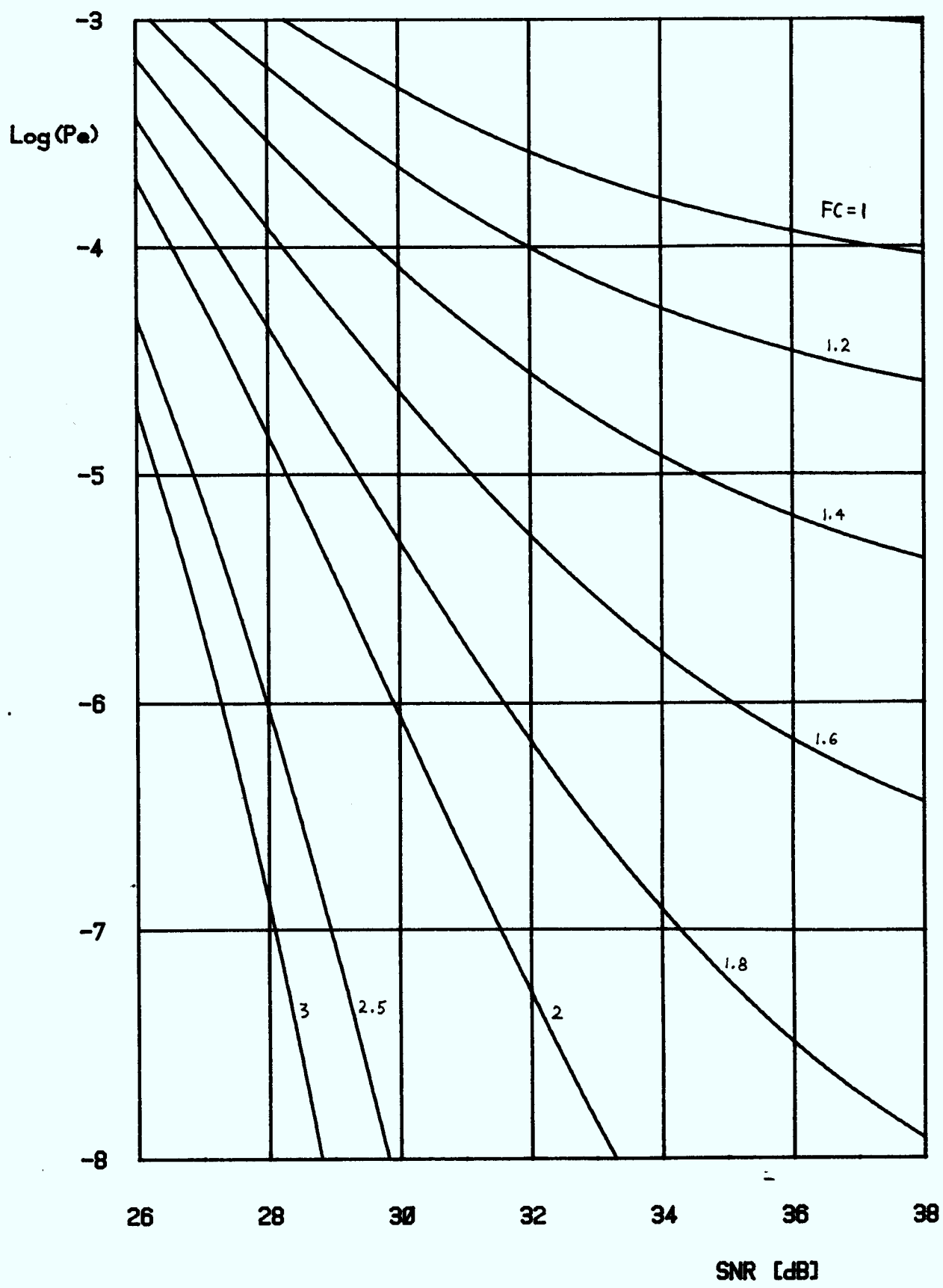


FIGURE A. 3. 30

QAM-64 SANS IIS SIR= 22 dB DF= 2

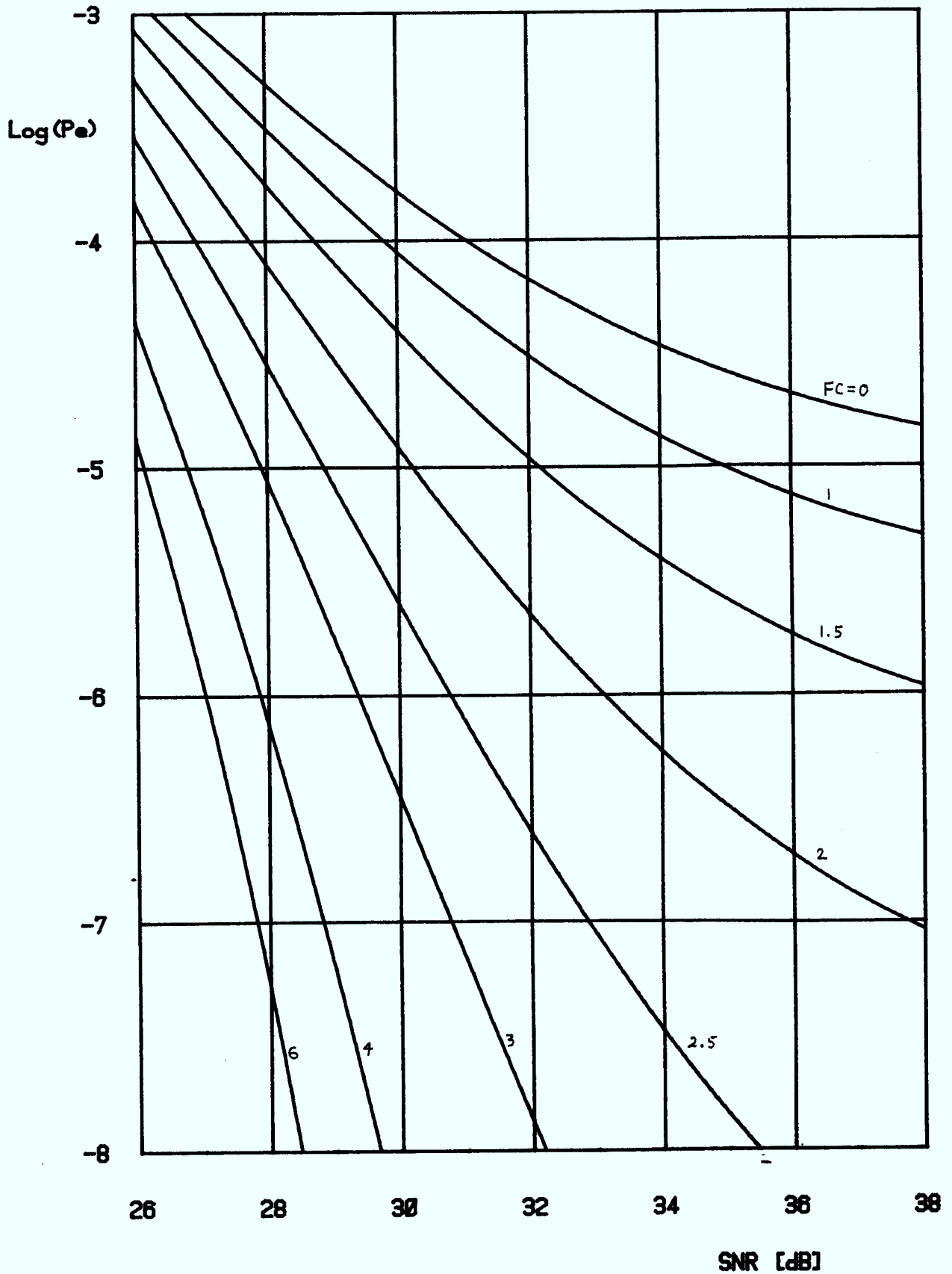


FIGURE A. 3. 31

QAM-64 SANS IIS SIR= 22 dB DF= 3

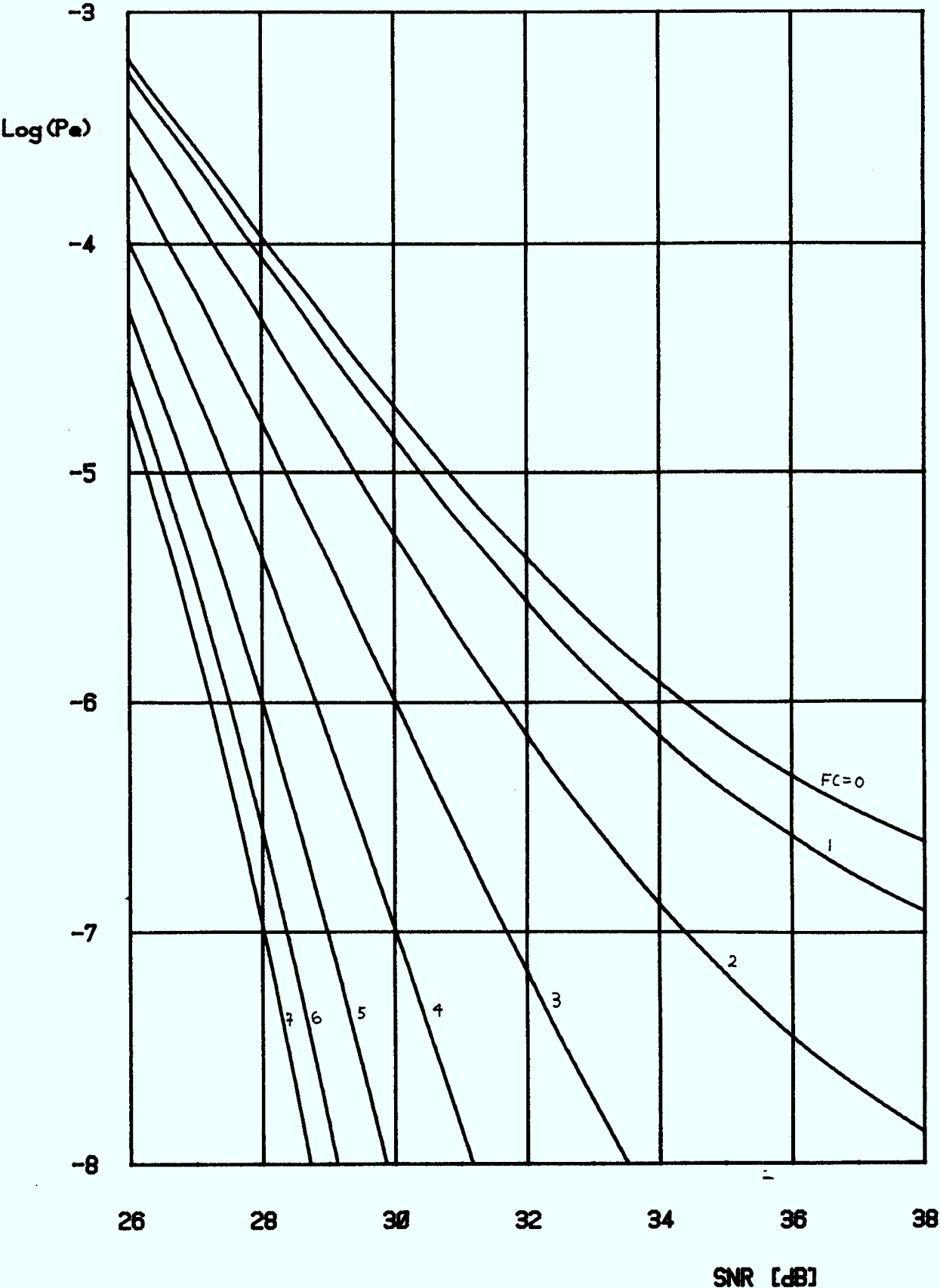


FIGURE A. 3. 32

QAM-64 SANS IIS SIR= 22 dB DF= 4

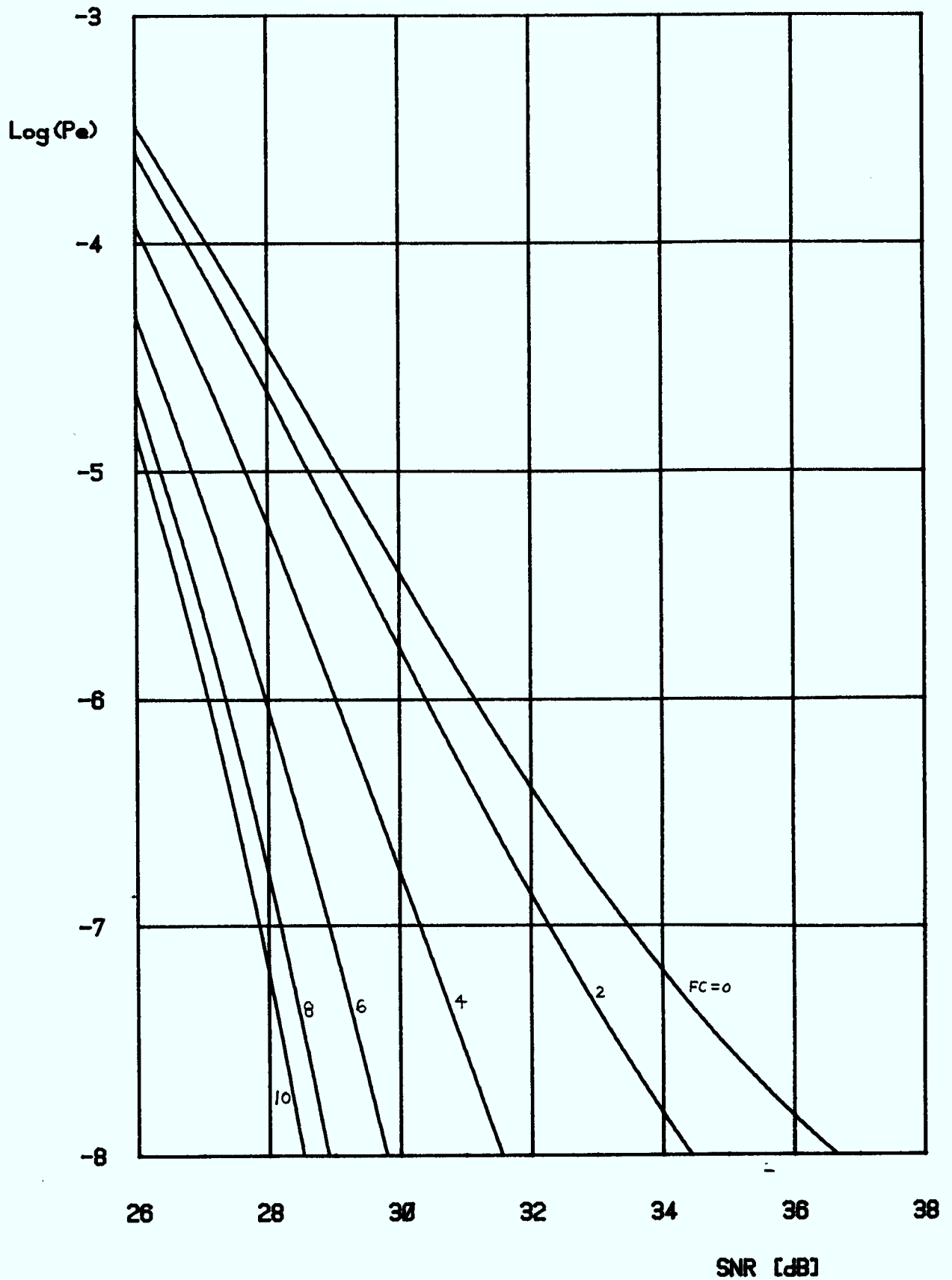


FIGURE A. 3. 33



QAM-64 SANS IIS SIR= 22 dB DF= 5

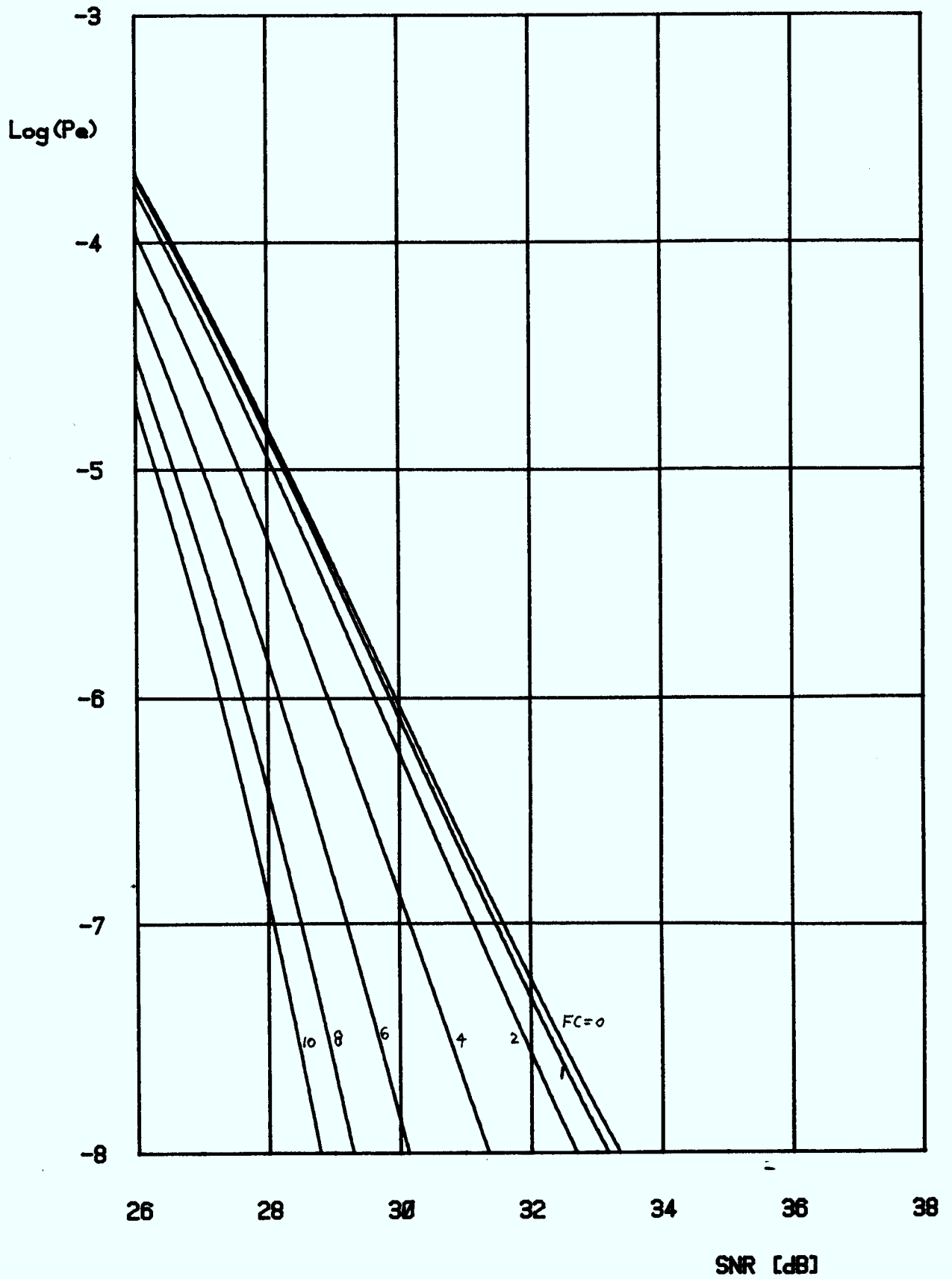


FIGURE A. 3. 34

QAM-64 SANS IIS SIR= 26 dB DF= 0.5

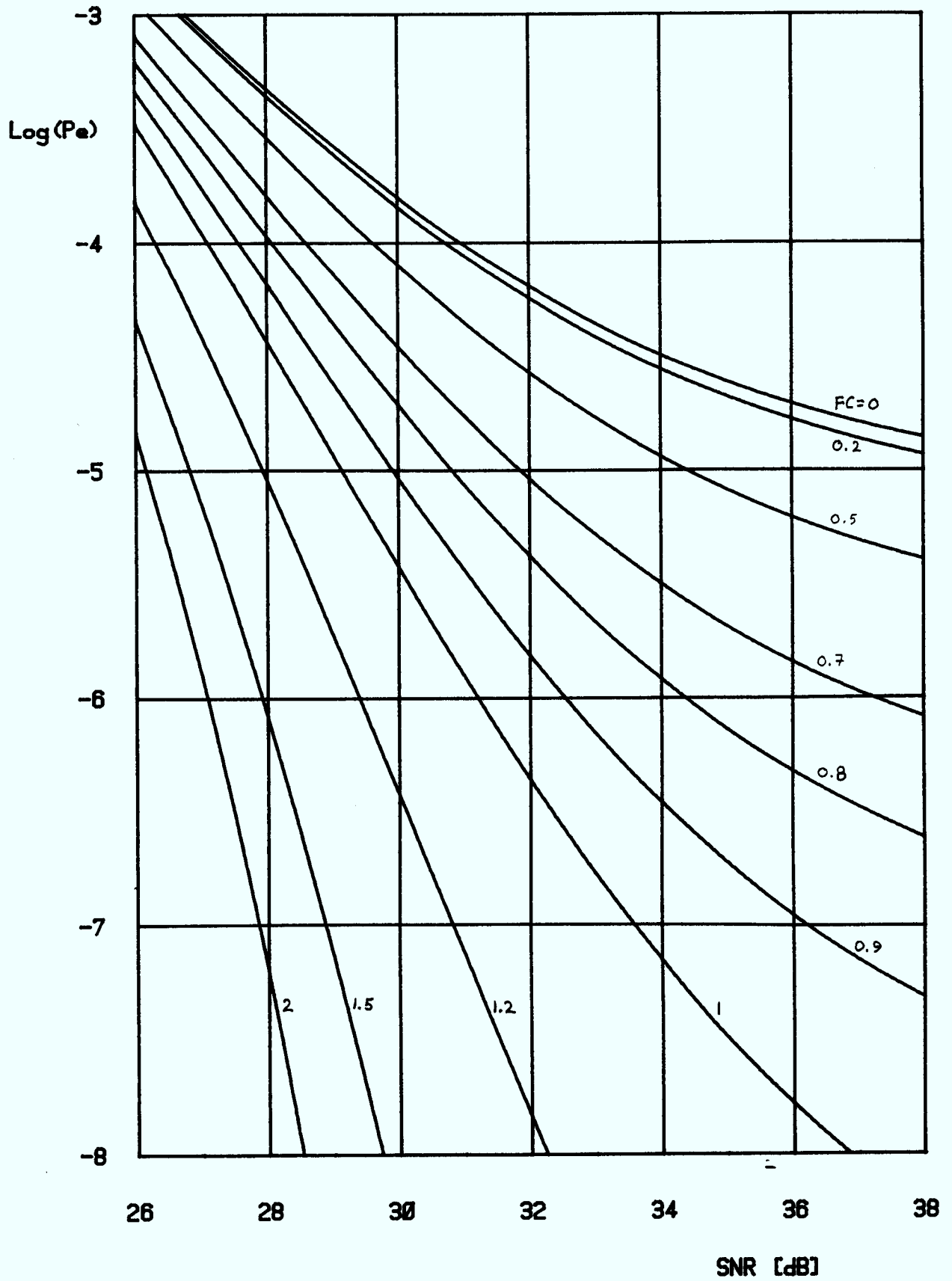


FIGURE A. 3. 35

QAM-64 SANS IIS SIR= 26 dB DF= 1

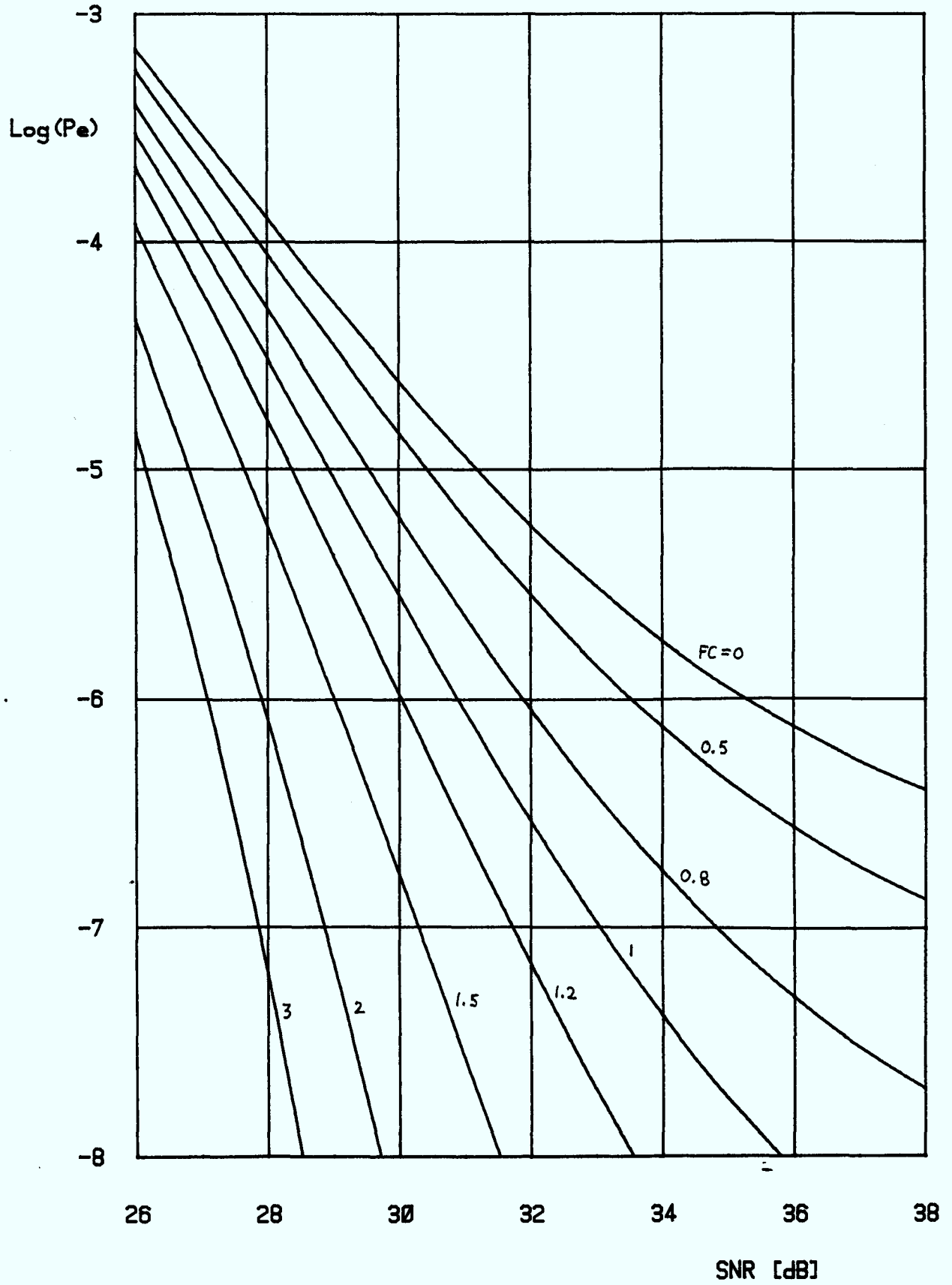


FIGURE A. 3. 36

QAM-64 SANS IIS SIR= 26 dB DF= 1.5

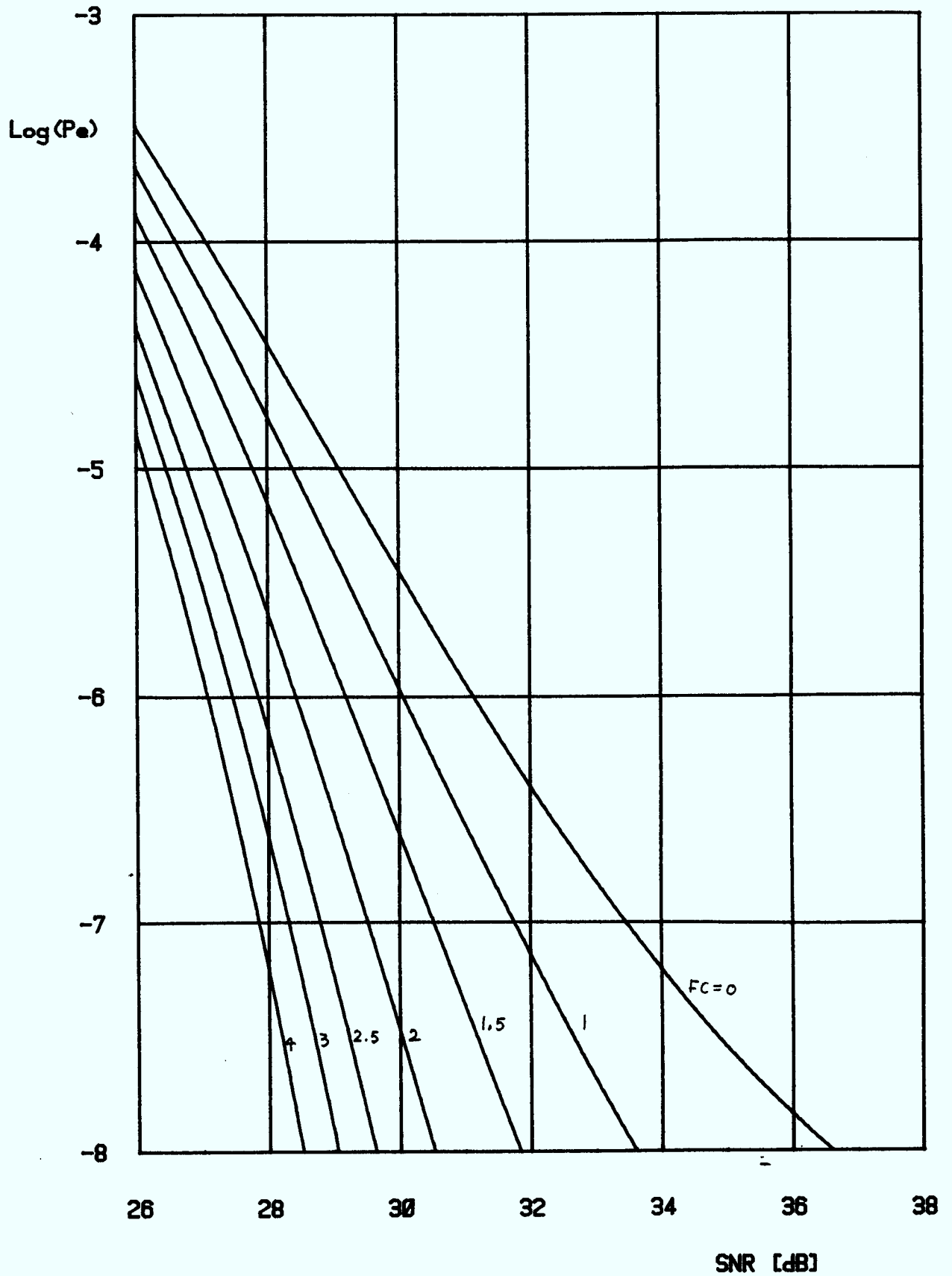


FIGURE A. 3. 37

QAM-64 SANS IIS SIR= 26 dB DF= 2

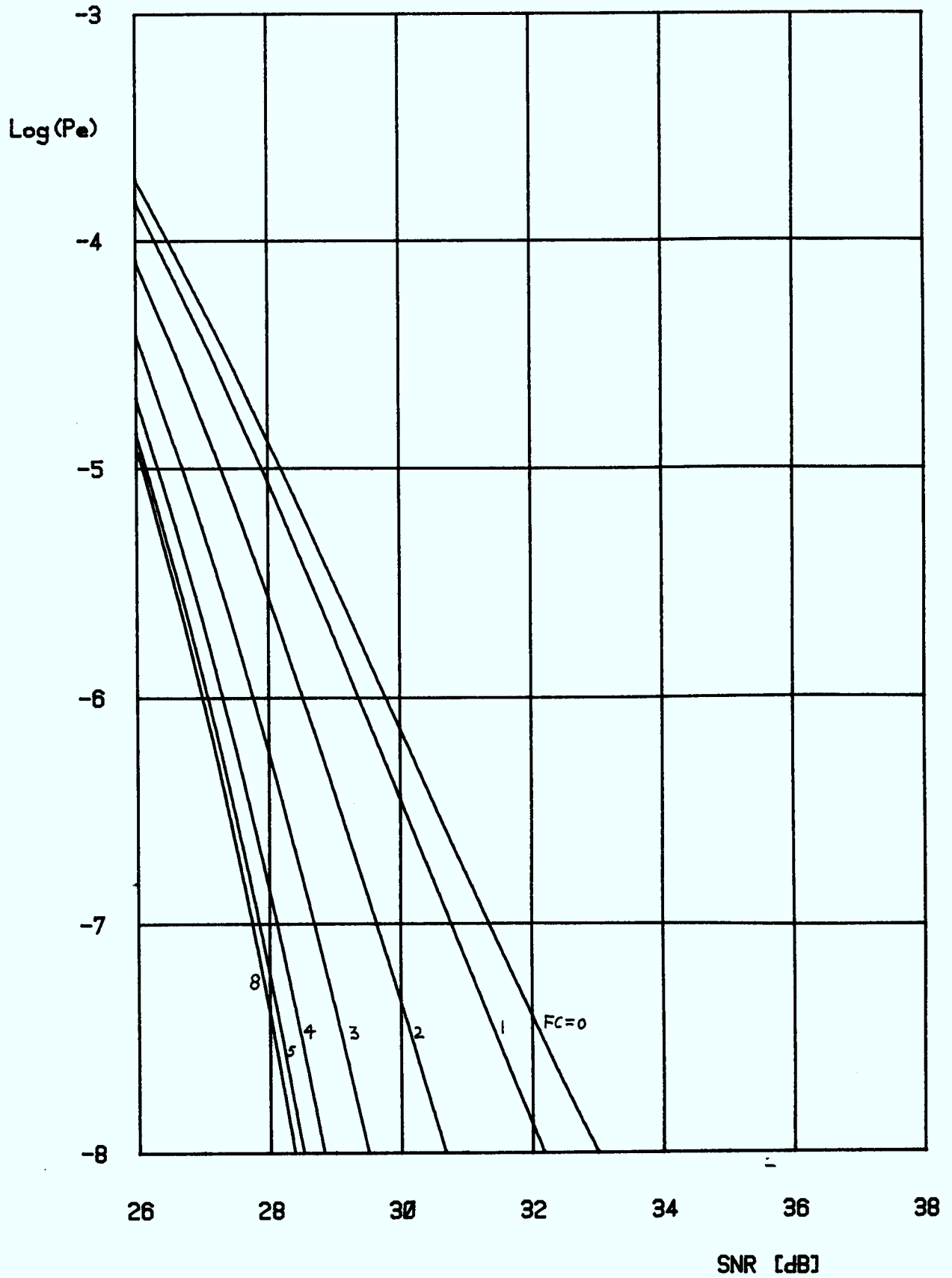


FIGURE A.3.38

QAM-64 SANS IIS SIR= 26 dB DF= 3

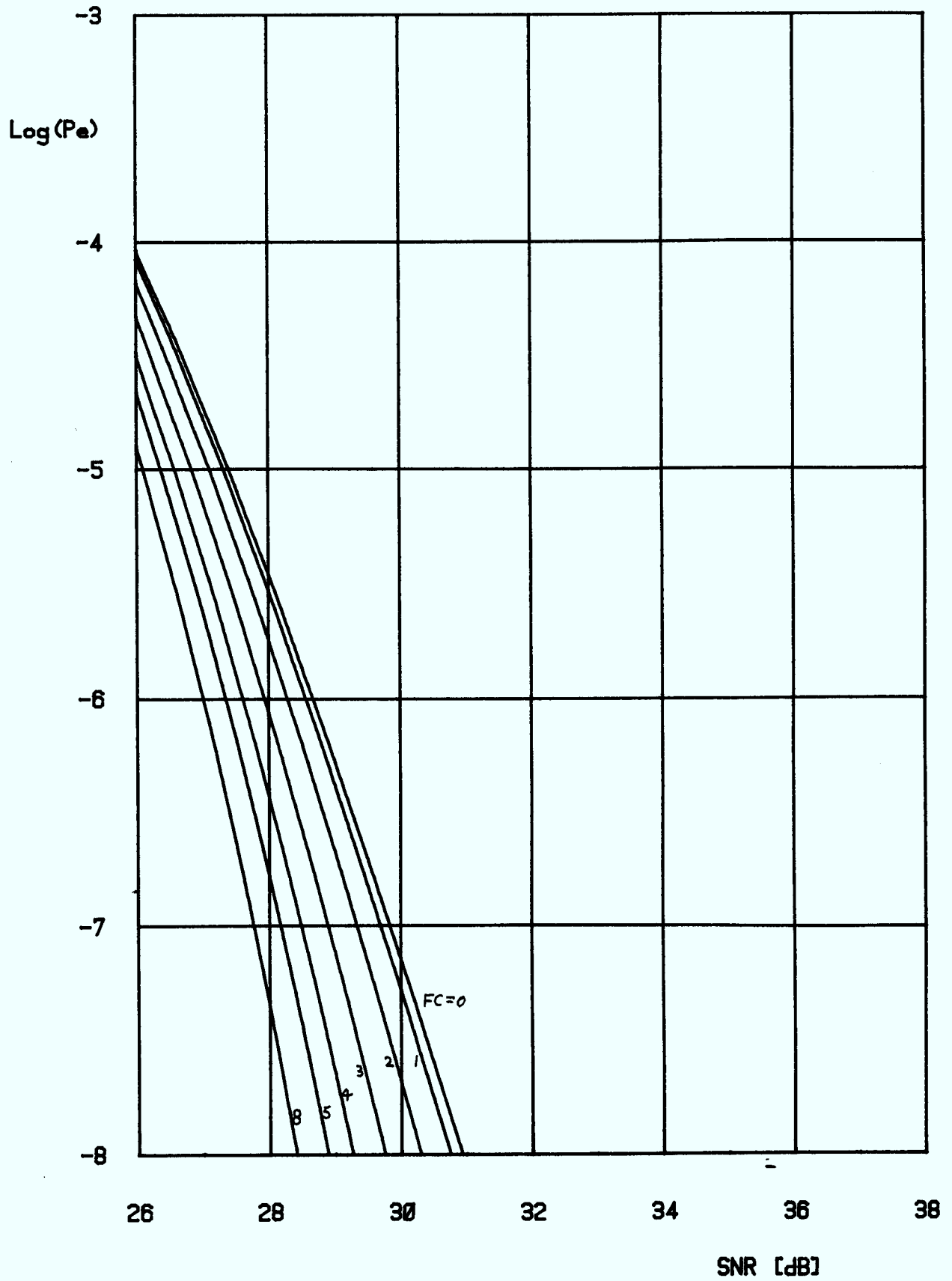


FIGURE A. 3. 39

QAM-64 SANS IIS SIR= 30 dB DF= 0.1

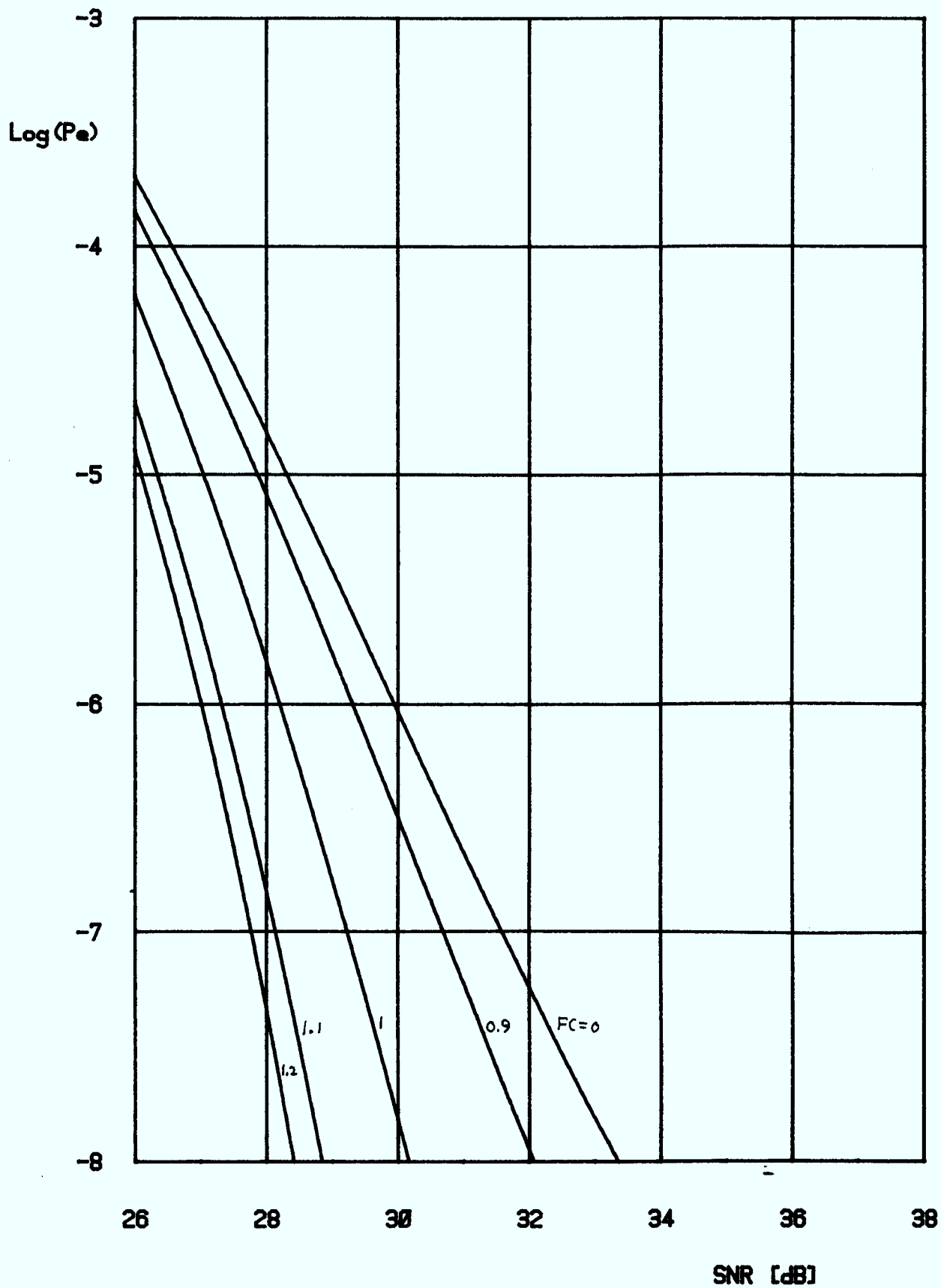


FIGURE A. 3. 40

QAM-64 SANS IIS SIR= 30 dB DF= 0.5

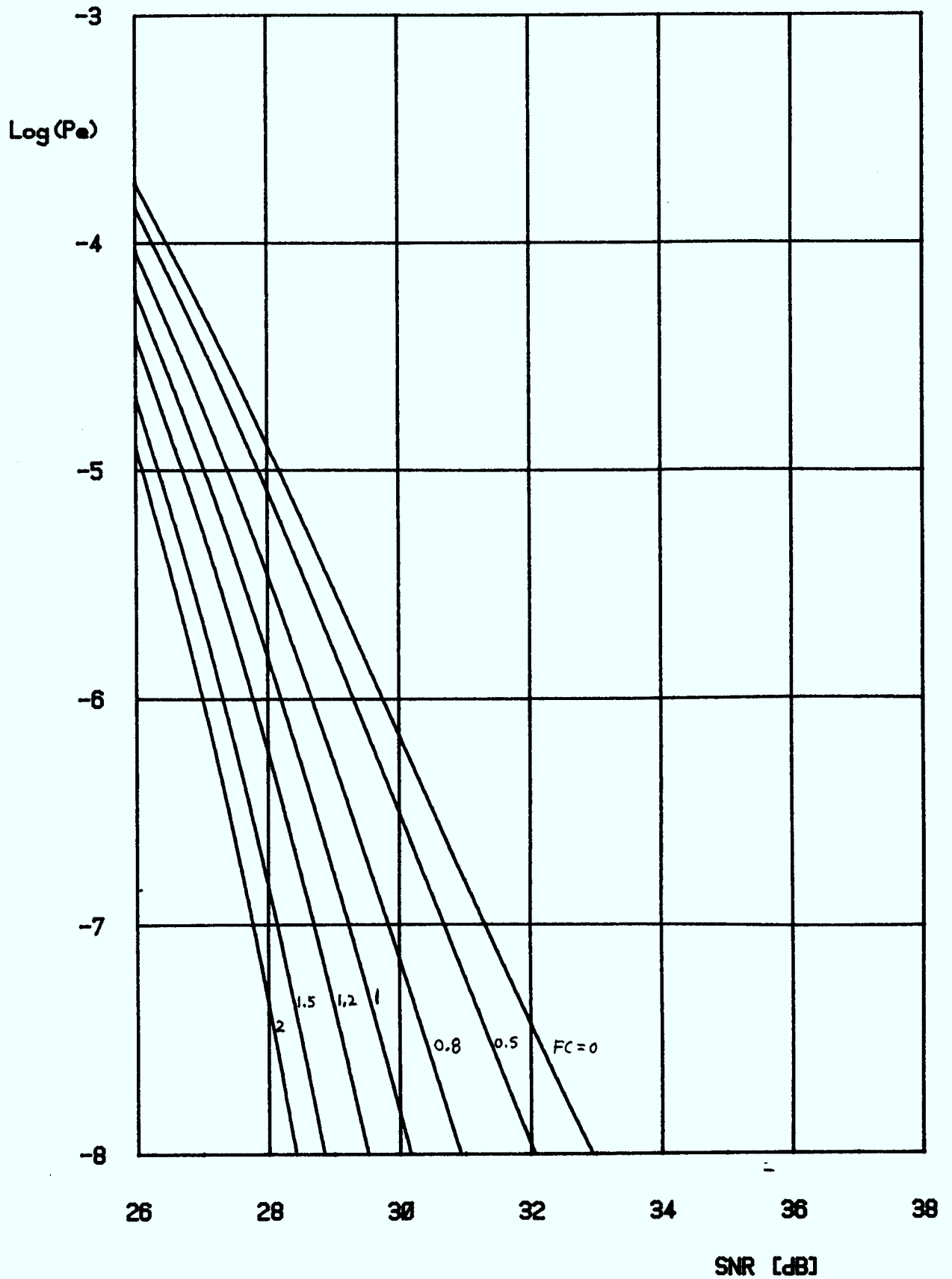


FIGURE A. 3. 41



QAM-64 SANS IIS SIR= 30 dB DF= 1

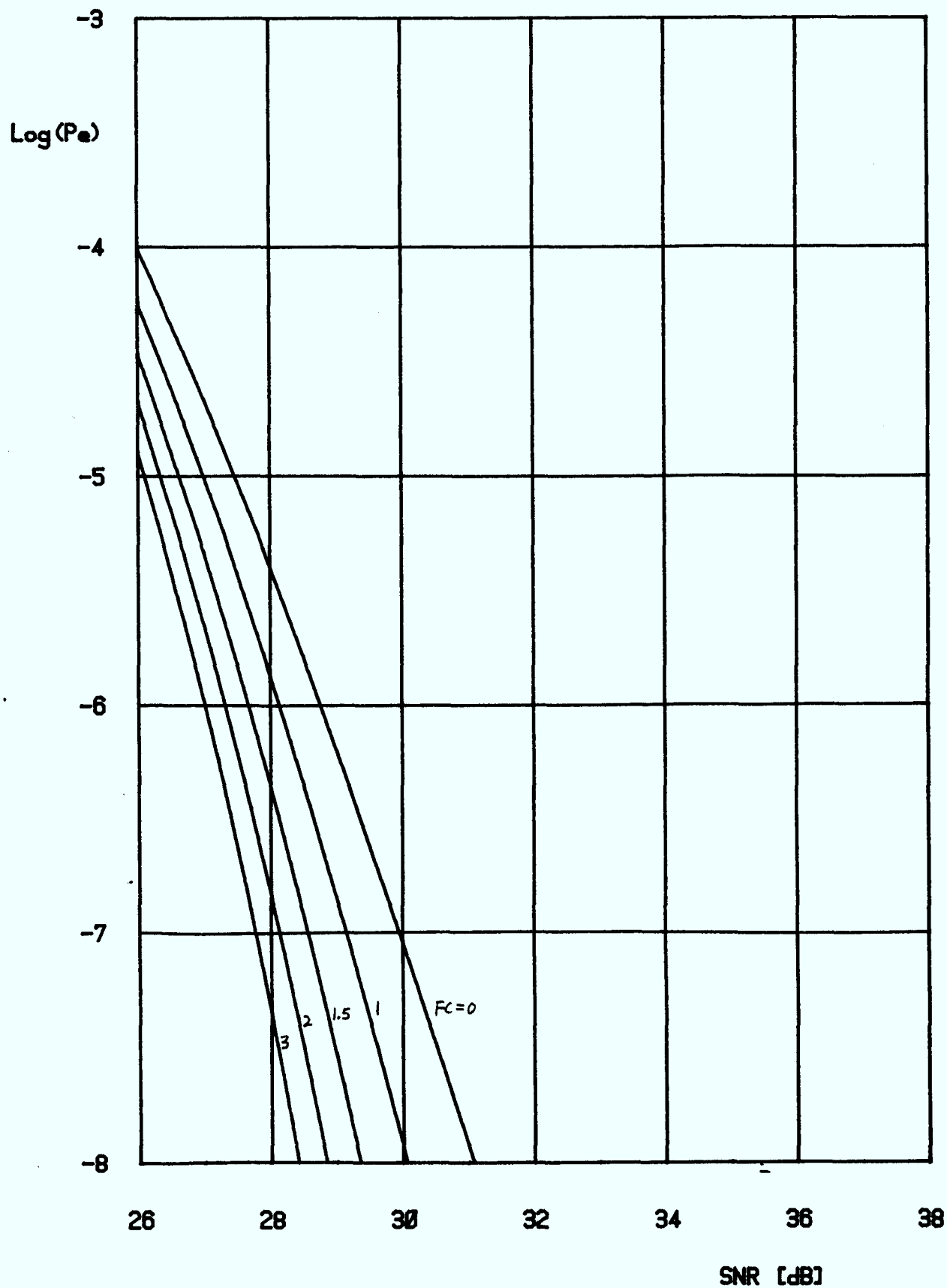


FIGURE A. 3. 42

**ANNEXE 4**

**LISTING DES PROGRAMMES DÉVELOPPÉS**

## PROGRAMME QAM

Calcule la probabilité d'erreur moyenne à la sortie d'un récepteur QAM avec ou sans interférences inter-symboles, par la méthode des moments. La réponse du canal est du type Butterworth d'ordre 5 à phase nulle avec une "pulse" de transmission de forme rectangulaire. Le calcul des moments IIS est réalisé par la méthode directe modifiée.

### Lignes

1-18 Initialisation des constantes et paramètres et déclarations des variables.

Z : détermine l'ordre du filtre Butterworth modélisant la réponse du canal. La convergence des moments IIS est assurée pour  $Z = 5$ .

FIN : détermine la longueur du vecteur des moments à être utilisés par la fonction HERMITE.

KT : constante de pondération pour le calcul de la puissance du bruit à la sortie du filtre Butterworth. La valeur indiquée est pour  $Z = 5$ .

PI2 et LN10: constantes  $2\pi$  et  $\ln 10$ .

22-34 FREQ: calcul de la fonction à intégrer pour le calcul des échantillons de la réponse du canal. Cette fonction constitue la fonction de transfert globale du système.

- 38-67 ROM: routine d'intégration numérique par l'algorithme de Romberg. Cette fonction calcule l'intégrale de la fonction FREQ entre les bornes BS et BI pour une précision de  $10^{-12}$  ou 15 itérations.
- 71-79 REP: calcule la valeur de la réponse du canal à l'instant K. La variable d'intégration est normalisée à  $1/T$  et on intègre de 0 à l'infini en 12 intervalles successifs.
- 84-104 HERMITE: calcule le résultat de la série de  $P_e$  jusqu'à une précision de  $10^{-5}$ . Cette fonction a comme argument la variable X et le vecteur Z contenant les moments d'ordre 2 jusqu'à 2K (FIN = K).
- 108-140 MOM16: calcul des moments IIS d'ordre 2 jusqu'à 2K pour un récepteur OAM-16 à partir de 4 échantillons du canal.
- 144-176 MOM36: calcule les moments IIS d'ordre 2 jusqu'à 2K pour un récepteur OAM-36 à partir de 4 échantillons du canal.
- 180-204 MOM64: calcule les moments IIS d'ordre 2 jusqu'à 2K pour un récepteur QAM-64 à partir de 2 échantillons du canal.
- 208-254 MOM-4: calcule les moments IIS d'ordre 2 jusqu'à 2K pour un récepteur QAM-4 à partir de 4 échantillons du canal.
- 258-268 COMB: calcule les combinaisons K parmi N.
- 272-293 UNION: permet de combiner les moments d'ordre 2 jusqu'à 2K de 2 variables aléatoires indépendantes.
- 297-342 ERFC: calcule de la fonction d'erreur complémentaire pour  $|x|$  entre 0 et 12 par la méthode de Gauss d'ordre 20. Cette formule permet une précision d'environ 6 décimales.

345-408 Programme principal:

CNOB: variable permettant d'initialiser la valeur de base de SNR.

BT: valeur de la largeur de bande du canal normalisée à  $1/T$ .

X1: valeur de la réponse du canal à l'instant  $t_0$  de décision.

N: détermine le type de QAM désiré.  $M = (2N)^2$

RESI: contient le vecteur final des moments IIS d'ordre  $2K$  pour 16 échantillons du canal.

CNO: valeur du rapport signal sur bruit.

SIGMA: valeur du rapport porteuse à bruit pour le cas où on tient compte de l'IIS (argument de HERMITE).

SIGMA2: valeur du rapport porteuse à bruit sans IIS.

PE1: probabilité d'erreur due au bruit gaussien seulement.

PE2: probabilité d'erreur due au bruit gaussien et à l'IIS.

360-392 Ici, on calcule pour chacun des récepteurs étudié (QAM-4-16-36 ou 64) la valeur des moments d'ordre  $2k$  de l'IIS pour 16 échantillons du canal par différentes combinaisons successives avec la fonction UNION. Notons que les échantillons du canal sont normalisés à X1. Le résultat final est dans RESI et sert pour le calcul de  $P_e$  dans HERMITE.

```

1 0680 -- (*SL+*)
2 0680 -- PROGRAM QAM(OUTPUT);
3 0694 -- LABEL 5;
4 0694 -- CONST
5 0694 --     Z=5;
6 0694 --     FIN=200;
7 0694 --     PI2=6.2831853071795862;
8 0694 --     KT=1.016640738;
9 0694 --     LN10=2.3025850929940456;
10 0694 -- TYPE
11 0694 -- VECT=ARRAY(.1..8.) OF REAL;
12 0694 -- VECTEUR=ARRAY(.1..FIN.) OF REAL;
13 0694 -- SPEC=ARRAY(.1..2;1..15.) OF REAL;
14 0694 -- VAR
15 0694 -- VARIAB:VECT;
16 06D8 -- VECT1,VECT2,RES1,RES2,RES3,RES4:VECTEUR;
17 2C58 -- I,J,L,N,K,M,POSI,PAS,P,Q,R,V,S:INTEGER;
18 2C8C -- CNOB,CNO,SIGMA,SIGMA2,BT,X1,PE1,PE2:REAL;
19 2CDD --
20 2CDD -- (*-----*)
21 2CDD --
22 2CDD -- A FUNCTION FREQ(X,BT:REAL;K:INTEGER):REAL;
23 005C -- (*CALCUL DE LA FONCTION A INTEGRER*)
24 005C -- VAR Y,S:REAL;
25 0000 0 A BEGIN
26 0018 --     IF X=0 THEN FREQ:=2
27 003E 1 --     ELSE BEGIN Y:=2*(COS(PI2*X*K))*SIN(PI2*X/2)/(PI2*X/2);
28 0108 --         S:=2*Z*LN(2*X/BT);
29 0166 --         IF ABS(S)>70 THEN
30 0190 --             IF X<(BT/2) THEN FREQ:=Y
31 01C8 --                 ELSE FREQ:=0
32 01DE --             ELSE FREQ:=Y/SQRT(1+(2*X/BT)**(2*Z));
33 0276 --         END;
34 0276 10 A END;
35 029C --
36 029C -- (*-----*)
37 029C --
38 029C -- A FUNCTION ROM(BT,BS,BI:REAL;K:INTEGER):REAL;
39 0064 -- (*CALCUL DE LA REPONSE DU CANAL*)
40 0064 -- LABEL 5;
41 0064 -- VAR
42 0064 -- H,L:REAL;
43 0078 -- I,J,P:INTEGER;
44 0084 -- R:SPEC;
45 0000 0 A BEGIN
46 0018 --     H:=BS-BI;
47 003A --     R(.1,1,.) := H*(FREQ(BI,BT,K)+FREQ(BS,BT,K))/2;
48 00E6 --     I:=1;
49 00EE 1 --     REPEAT
50 00EE --     I:=I+1;
51 0100 --         L:=0;
52 0116 --         FOR PI:=1 TO 2**((I-2) DO
53 0154 2 --             BEGIN
54 0154 --             L:=L+FREQ(BI+((2*P-1)*H/2),BT,K);
55 01F0 --             END;
56 0212 --         R(.2,1,.) := (R(.1,1,.)+H*L)/2;
57 025A --         FOR J:=2 TO I DO
58 0286 2 --             BEGIN

```

```

59 0286 -- R(,2,J):=R(,2,J-1)*(4**(J-1))-R(,1,J-1);
60 030E -- R(,2,J):=R(,2,J)/(4**(J-1)-1);
61 0370 --2 END;
62 0392 -- H:=H/2;
63 03BA -- FOR J:=1 TO I DO R(,1,J):=R(,2,J);
64 043E -- IF R(,2,I.)=0 THEN GOTO 5;
65 047A --1 UNTIL (ABS((R(,2,I.)-R(,2,I-1.))/R(,2,I.))<1E-12) OR (I=15);
66 0518 -- S:ROM:=R(,2,I.);
67 053C --0 A END;
68 056C --
69 056C -- (*-----*)
70 056C --
71 056C -- A FUNCTION REP(BT:REAL;K:INTEGER):REAL;
72 0054 -- VAR
73 0054 -- I:INTEGER;
74 0058 -- S:REAL;
75 0000 0 -- A BEGIN
76 0018 -- S:=0;
77 002E -- FOR I:=0 TO 12 DO S:=S+ROM(BT,I+1,I,K);
78 00E2 -- REPI:=S;
79 00F4 --0 A END;
80 0114 --
81 0114 --
82 0114 -- (*-----*)
83 0114 --
84 0114 -- A FUNCTION HERMITE(X:REAL;Z:VECTEUR):REAL;
85 0690 -- VAR
86 0690 -- J:INTEGER;
87 0694 -- ARG,TRANS,A,B:REAL;
88 0688 -- V:VECTEUR;
89 0000 0 -- A BEGIN
90 0018 -- ARG:=(1/SQRT(PI2/2))*EXP(-X*X);
91 0082 -- V(,1.):=X**3;
92 00A2 -- V(,2.):=(X**4)*(8*(X**3)-12*X)/24;
93 0132 -- J:=2;
94 013A -- TRANS:=V(,1.)*Z(,1.)+V(,2.)*Z(,2.);
95 017C 1 -- REPEAT
96 017C -- J:=J+1;
97 018E -- A:=(1-((4*J-5)/(2*X*X)))*V(,J-1.);
98 0232 -- B:=V(,J-2.)*(J-2)/(J-1);
99 02A0 -- V(,J.):=(2*(X**4)/(J*(2*J-1)))*(A-B);
100 0344 -- TRANS:=TRANS+V(,J.)*Z(,J.);
101 039A --1 UNTIL (ABS(V(,J.)*Z(,J.)/TRANS)<1E-5) OR (J=FIN);
102 041C -- HERMITE:=TRANS*ARG;
103 043E -- WRITE(' ',J);
104 046E --0 A END;
105 04B4 --
106 04B4 -- (*-----*)
107 04B4 --
108 04B4 -- A PROCEDURE MOM16(VAR V:VECTEUR;X:VECT);
109 0088 -- (*POUR CALCULER LES MOMENTS A PARTIR DE 4 ECHANTILLONS,*)
110 0088 -- VAR
111 0088 -- Z:ARRAY(,0.,.255.) OF REAL;
112 0888 -- I,J,K,L:INTEGER;
113 0000 0 -- A BEGIN
114 0012 -- FOR I:=0 TO 3 DO
115 002E 1 -- BEGIN
116 002E -- FOR J:=0 TO 3 DO

```

```

117 004A 2- BEGIN
118 004A 2- FOR K:=0 TO 3 DO
119 0066 3- BEGIN
120 0066 1- FOR L:=0 TO 3 DO
121 0082 4- BEGIN
122 0082 1- Z(,I*64+J*16+K*4+L,):=SQR(((2*I-3)*X(,1,)+(2*J-3)*X(,2,))
123 00FC 1- +(2*K-3)*X(,3,)+(2*L-3)*X(,4,)))
124 0188 1-4 END;
125 01AA 2-3 END;
126 01CC 1-2 END;
127 01EE 1-1 END;
128 0210 1-1 V(,1,):=0;
129 022A 1-1 FOR I:=0 TO 255 DO V(,1,):=V(,1,)+Z(,I,);
130 02A4 1-1 FOR J:=2 TO FIN DO
131 02C2 1-1 BEGIN
132 02C2 1-1 V(,J,):=0;
133 02F2 1-1 FOR I:=0 TO 255 DO
134 030E 2-1 BEGIN
135 030E 1-1 IF (LN(Z(,I,))/LN10)*J > -70 THEN
136 036A 1-1 V(,J,):=V(,J,)+Z(,I,)**J;
137 03E0 1-1 END;
138 0402 1-1 END;
139 0424 1-1 FOR I:=1 TO FIN DO V(,I,):=V(,I,)/256;
140 04C0 1-0 A END;
141 04F4 1-1
142 04F4 1-1 (*-----*)
143 04F4 1-1
144 04F4 1-1 A PROCEDURE MOM36(VAR V:VECTEUR;X:VECT);
145 0088 1-1 (*POUR CALCULER LES MOMENTS A PARTIR DE 4 ECHANTILLONS,*)
146 0088 1-1 VAR
147 0088 1-1 Z:ARRAY(,0,,1295,) OF REAL;
148 2908 1-1 I,J,K,L:INTEGER;
149 0000 0-1 A BEGIN
150 0012 1-1 FOR I:=0 TO 5 DO
151 003A 1-1 BEGIN
152 003A 1-1 FOR J:=0 TO 5 DO
153 0062 2-1 BEGIN
154 0062 1-1 FOR K:=0 TO 5 DO
155 008A 3-1 BEGIN
156 008A 1-1 FOR L:=0 TO 5 DO
157 0082 4-1 BEGIN
158 0082 1-1 Z(,I*216+J*36+K*6+L,):=SQR(((2*I-5)*X(,1,)+(2*J-5)*X(,2,))
159 0150 1-1 +(2*K-5)*X(,3,)+(2*L-5)*X(,4,)))
160 01E8 1-1 END;
161 021C 1-3 END;
162 0250 1-2 END;
163 0284 1-1 END;
164 02B8 1-1 V(,1,):=0;
165 02D2 1-1 FOR I:=0 TO 1295 DO V(,1,):=V(,1,)+Z(,I,);
166 0370 1-1 FOR J:=2 TO FIN DO
167 039A 1-1 BEGIN
168 039A 1-1 V(,J,):=0;
169 03D0 1-1 FOR I:=0 TO 1295 DO
170 03F8 2-1 BEGIN
171 03F8 1-1 IF (LN(Z(,I,))/LN10)*J > -70 THEN
172 0460 1-1 V(,J,):=V(,J,)+Z(,I,)**J;
173 04EE 1-2 END;
174 0522 1-1 END;

```



```

175 0556 -- FOR I:=1 TO FIN DO V(,I,):=V(,I,)/1296;
176 061C =0 A END;
177 0658 --
178 0658 -- (*-----*)
179 0658 --
180 0658 -- A PROCEDURE MOM64(VAR V:VECTEUR;X1,X2:REAL);
181 0058 -- (*POUR CALCULER LES MOMENTS NORMALISES A PARTIR
182 0058 -- DE DEUX ECHANTILLONS. *)
183 0058 -- VAR
184 0058 -- I,J:INTEGER;
185 0060 -- Z:ARRAY(,0,,63.) OF REAL;
186 0000 0- A BEGIN
187 0012 -- FOR I:=0 TO 7 DO
188 002E 1- BEGIN
189 002E -- FOR J:=0 TO 7 DO
190 004A 2- BEGIN
191 004A -- Z(,8*I+J,):=SQR(((2*I-7)*X1+(2*J-7)*X2));
192 0000 =2 ENDS;
193 00F2 =1 ENDS;
194 0114 -- FOR J:=1 TO FIN DO
195 0132 1- BEGIN
196 0132 -- V(,J,):=0;
197 0162 -- FOR I:=0 TO 63 DO
198 017E 2- BEGIN
199 017E -- IF (LN(Z(,I,))/LN10)*J > =70 THEN
200 01DA -- V(,J,):=V(,J,)+Z(,I,)**J;
201 0250 =2 ENDS;
202 0272 -- V(,J,):=V(,J,)/64;
203 02CE =1 ENDS;
204 02F0 =0 A END;
205 0318 --
206 0318 -- (*-----*)
207 0318 --
208 0318 -- A PROCEDURE MOM4(VAR V:VECTEUR;X:VECT);
209 0088 -- (*POUR CALCULER LES MOMENTS A PARTIR DE 4 ECHANTILLONS. *)
210 0088 -- VAR
211 0088 -- Z:ARRAY(,0,,255.) OF REAL;
212 0888 -- I,J,K,L,M,N,P,Q:INTEGER;
213 0000 0- A BEGIN
214 0012 -- FOR I:=0 TO 1 DO
215 002E 1- BEGIN
216 002E -- FOR J:=0 TO 1 DO
217 004A 2- BEGIN
218 004A -- FOR K:=0 TO 1 DO
219 0066 3- BEGIN
220 0066 -- FOR L:=0 TO 1 DO
221 0082 4- BEGIN
222 0082 -- FOR M:=0 TO 1 DO
223 009E 5- BEGIN
224 009E -- FOR N:=0 TO 1 DO
225 00BA 6- BEGIN
226 00BA -- FOR P:=0 TO 1 DO
227 00D6 7- BEGIN
228 00D6 -- FOR Q:=0 TO 1 DO
229 00F2 8- BEGIN
230 00F2 -- Z(,I*128+J*64+K*32+L*16+M*8+N*4+P*2+Q,):=
231 016A -- SQR(((2*I-1)*X(,1,)+(2*J-1)*X(,2,)+
232 01A4 -- +(2*K-1)*X(,3,)+(2*L-1)*X(,4,)+(2*M-1)*X(,5,))

```

```

233 023A -- +(2*N-1)*X(.6.)+(2*P-1)*X(.7.)+(2*Q-1)*X(.8.))};
234 02FB -- END;
235 031A --7 END;
236 033C --6 END;
237 035E --5 END;
238 0380 --4 END;
239 03A2 --3 END;
240 03CA --2 END;
241 03E6 --1 END;
242 0408 -- V(.1.):=0;
243 0422 -- FOR I:=0 TO 255 DO V(.1.):=V(.1.)+Z(.I.);
244 049C -- FOR J:=2 TO FIN DO
245 04BA 1-- BEGIN
246 04BA -- V(.J.):=0;
247 04EA -- FOR I:=0 TO 255 DO
248 0506 2-- BEGIN
249 0506 -- IF (LN(Z(.I.))/LN10)*J > -70 THEN
250 0562 -- V(.J.):=V(.J.)+Z(.I.)*J;
251 05D8 --2 END;
252 05FA --1 END;
253 061C -- FOR I:=1 TO FIN DO V(.I.):=V(.I.)/256;
254 06B8 --0 A END;
255 06F8 --
256 06F8 -- (*-----*)
257 06F8 --
258 06F8 -- A FUNCTION COMB(X:REAL;K,N:INTEGER):REAL;
259 0058 -- (*POUR CALCULER LES COMBINAISONS "K PARMIS N" *)
260 0058 -- VAR
261 0058 -- I:INTEGER;
262 0000 0-- A BEGIN
263 0018 -- FOR I:=N DOWNTO K+1 DO
264 004C 1-- BEGIN
265 004C -- X:=X*I/(I-K);
266 0096 --1 END;
267 00B8 -- COMB:=X;
268 00CA --0 A END;
269 00E8 --
270 00E8 -- (*-----*)
271 00E8 --
272 00E8 -- A PROCEDURE UNION(VAR X,Y,Z:VECTEUR);
273 004C -- (*POUR COMBINER DEUX MOMENTS,*)
274 004C -- VAR
275 004C -- I,J:INTEGER;
276 0054 -- B,C:REAL;
277 0000 0-- A BEGIN
278 0012 -- FOR I:=1 TO FIN DO Z(.I.):=X(.I.)+Y(.I.);
279 00C2 -- FOR I:=2 TO FIN DO
280 00E0 1-- BEGIN
281 00E0 -- J:=1;
282 00E8 2-- REPEAT
283 00E8 -- IF (X(.J.)<>0) AND (Y(.I=J.)<>0) THEN
284 0188 3-- BEGIN
285 0188 -- B:=LN(Y(.I=J.));
286 01C8 -- C:=LN(COMB(X(.J.),2*J,2*I));
287 0230 -- IF (B+C)/LN10>-70 THEN
288 026C -- Z(.I.):=Z(.I.)+EXP(B+C);
289 02DC --3 END;
290 02DC -- J:=J+1

```

```

291 02E6 -2          UNTIL J=I;
292 0300 -1          END;
293 0322 -0 A      END;
294 034C -.-
295 034C -.-      (*-----*)
296 034C -.-
297 034C -.- A      FUNCTION ERFC(VAR X:REAL):REAL;
298 004C -.-      (*CALCUL DE LA FONCTION D'ERREUR COMPLEMENTAIRE PAR LA METHODE
299 004C -.-      DE GAUSS D'ORDRE 20*)
300 004C -.-
301 004C -.-      TYPE
302 004C -.-      GAUSS=ARRAY(.1..10.) OF REAL;
303 004C -.-      VAR
304 004C -.-          T,W:GAUSS;
305 00F0 -.-          A,B,R,C:REAL;
306 0110 -.-          I:INTEGER;
307 0114 -.-
308 0114 -.- B      FUNCTION F(VAR X:REAL):REAL;
309 004C -.-      CONST PI=3,14159265358979;
310 0000 00 B      BEGIN
311 0018 -.-          F:=(2/SQRT(PI))*EXP(-X*X);
312 0072 -.- B      END;
313 0094 -.-
314 0000 00 A      BEGIN
315 0018 -.-          T(.1.):=0,076526521133497;W(.1.):=0,152753387130725;
316 0028 -.-          T(.2.):=0,227785851141645;W(.2.):=0,149172986472603;
317 0038 -.-          T(.3.):=0,373706088715419;W(.3.):=0,142096109318382;
318 0048 -.-          T(.4.):=0,510867001950827;W(.4.):=0,131688638449176;
319 0058 -.-          T(.5.):=0,636053680726515;W(.5.):=0,118194531961518;
320 0068 -.-          T(.6.):=0,746331906460150;W(.6.):=0,101930119817240;
321 0078 -.-          T(.7.):=0,839116971822218;W(.7.):=0,083276741576704;
322 0088 -.-          T(.8.):=0,912234428251325;W(.8.):=0,062672048334109;
323 0098 -.-          T(.9.):=0,963971927277913;W(.9.):=0,040601429800386;
324 00A8 -.-          T(.10.):=0,993128599185094;W(.10.):=0,017614007139152;
325 00B8 -.-          IF ABS(X)>12 THEN R:=0 ELSE
326 0100 1-              BEGIN
327 0100 -.-                  A:=(13-ABS(X))/2;
328 0144 -.-                  B:=(13+ABS(X))/2;
329 0188 -.-                  R:=0;
330 019E -.-                  FOR I:=1 TO 10 DO
331 01BC 2-                      BEGIN
332 01BC -.-                          C:=B+A*T(.I.);
333 0200 -.-                          R:=R+W(.I.)*F(C);
334 0252 -.-                      END;
335 0274 -.-                  FOR I:=1 TO 10 DO
336 0292 2-                      BEGIN
337 0292 -.-                          C:=B-A*T(.I.);
338 02D6 -.-                          R:=R+W(.I.)*F(C);
339 0328 -.-                      END;
340 034A -.-                  END;
341 034A -.-          IF X<0 THEN ERFC:=2-A*R ELSE ERFC:=A*R;
342 03D2 -0 A      END;
343 0494 -.-
344 0494 -.-
345 0000 0-      BEGIN
346 003A -.-          CNOB:=18;
347 0058 -.-          WRITELN('
348 0076 -.-          WRITELN('

```

FILTRE BUTTERWORTH ORDRE 5) )

```

349 0082 -- WRITELN;WRITELN;
350 009A -- FOR QI=0 TO 0 DO
351 00C2 1-- BEGIN
352 00C2 1-- BT:=1.05+0.03*QI
353 00EE 1-- WRITE(' BT=',BT;5;2);
354 012C 1-- X1:=ABS(REP(BT,0));
355 015E 1-- FOR NI=2 TO 2 DO
356 0188 2-- BEGIN
357 0188 1-- WRITELN(' MODULATION QAM=',SQR(2*N);3);
358 01D0 1-- WRITELN;WRITELN;
359 01E8 3-- CASE N OF
360 01F6 4-- 1) BEGIN
361 01F6 1-- FOR I:=1 TO 8 DO VARIAB(,I.):=REP(BT,I)/X1;
362 02B4 1-- MOM4(VECT1,VARIAB);
363 02C8 1-- UNION(VECT1,VECT1,RES1);
364 02EA 1-- END;
365 02EE 4-- 2) BEGIN
366 02EE 1-- FOR I:=1 TO 4 DO VARIAB(,I.):=REP(BT,2*I)/X1;
367 03B4 1-- MOM16(RES1,VARIAB);
368 03C8 1-- FOR I:=1 TO 4 DO VARIAB(,I.):=REP(BT,2*I-1)/X1;
369 0492 1-- MOM16(RES2,VARIAB);
370 04A6 1-- UNION(RES1,RES2,VECT1);
371 04C8 1-- UNION(VECT1,VECT1,RES1);
372 04EA 1-- END;
373 04EE 4-- 3) BEGIN
374 04EE 1-- FOR I:=1 TO 4 DO VARIAB(,I.):=REP(BT,2*I)/X1;
375 05B4 1-- MOM36(RES1,VARIAB);
376 05C8 1-- FOR I:=1 TO 4 DO VARIAB(,I.):=REP(BT,2*I-1)/X1;
377 0692 1-- MOM36(RES2,VARIAB);
378 06A6 1-- UNION(RES1,RES2,VECT1);
379 06C8 1-- UNION(VECT1,VECT1,RES1);
380 06EA 1-- END;
381 06EE 4-- 4) BEGIN
382 06EE 1-- FOR I:=1 TO 8 DO VARIAB(,I.):=REP(BT,I)/X1;
383 07AC 1-- MOM64(RES1,VARIAB(,1.),VARIAB(,8.));
384 07DE 1-- MOM64(RES2,VARIAB(,2.),VARIAB(,7.));
385 0810 1-- UNION(RES1,RES2,VECT1);
386 0832 1-- MOM64(RES1,VARIAB(,3.),VARIAB(,6.));
387 0864 1-- MOM64(RES2,VARIAB(,4.),VARIAB(,5.));
388 0896 1-- UNION(RES1,RES2,VECT2);
389 08B8 1-- UNION(VECT1,VECT2,RES3);
390 08D8 1-- UNION(RES3,RES3,RES1);
391 08F6 1-- END
392 08F6 1-- END;
393 0922 1-- FOR JI=0 TO 12 DO
394 094A 3-- BEGIN
395 094A 1-- CNO:=J+CNO;
396 0984 1-- WRITE(' SNR=',CNO;5;1, DB);
397 09D4 1-- SIGMA:=X1*SQR(3*(10**((CNO/10)))/(2*(SQR(2*N)-1)*BT*KT));
398 0AB6 1-- SIGMA2:=(SIGMA/X1)*SQR(BT*KT);
399 0B0E 1-- PE1:=(2-1/N)*0.5*ERFC(SIGMA2);
400 0B88 1-- WRITE(' PE1=',PE1;9);
401 0BC4 1-- PE2:=(2-1/N)*(0.5*ERFC(SIGMA)+HERMITE(SIGMA,RES1));
402 0C86 1-- WRITELN(' TERMES PE2=',PE2;9);
403 0CC8 1-- END;
404 0CFC 1-- WRITELN;
405 0D08 1-- END;
406 0D3C 1-- WRITELN;

```

A4.12

407 0048 =1    END;  
408 007C =0    5: END.

## PROGRAMME QAMBS

En présence d'une interférence sinusoïdale d'amplitude constante et de phase également répartie, calcule la probabilité d'erreur moyenne à la sortie d'un récepteur QAM avec ou sans IIS par la méthode des moments. La réponse du canal est du type Butterworth d'ordre 5 et à phase nulle, avec une "pulse" à la transmission de forme rectangulaire. Le calcul des moments IIS est réalisé par la méthode directe modifiée.

### Lignes

- 1-346 Voir QAM
- 348-446 Programme principal
- SIR: rapport signal à interférence.
- PE1: probabilité d'erreur due au bruit gaussien seulement.
- PE2: probabilité d'erreur due au bruit gaussien avec IIS.
- PE3: probabilité d'erreur due au bruit gaussien avec IIS et interférence sinusoïdale.
- 421-426 On calcule les moments de l'interférence sinusoïdale. Le résultat dans RES2 est combiné avec les moments IIS dans RES1 par la procédure UNION. Le résultat final est dans VECT1.

```

1 0680 -- (*SL+*)
2 0680 -- PROGRAM QAMBS(OUTPUT);
3 0694 -- LABEL 5;
4 0694 -- CONST
5 0694 -- Z=5;
6 0694 -- FIN=200;
7 0694 -- PI2=5.2831853071795862;
8 0694 -- KT=1.016640738;
9 0694 -- LN10=2.3025850929940456;
10 0694 -- TYPE
11 0694 -- VECT=ARRAY(.1.,8.) OF REAL;
12 0694 -- VECTEUR=ARRAY(.1.,FIN.) OF REAL;
13 0694 -- SPEC=ARRAY(.1.,2;1.,15.) OF REAL;
14 0694 -- VAR
15 0694 -- VARIABIVECT;
16 06D8 -- VECT1,VECT2,RES1,RES2,RES3,RES4;VECTEUR;
17 2C58 -- I,J,L,N,K,M,POSI,PAS,P,Q,R,V,S;INTEGER;
18 2C8C -- CNOB,CNO,SIGMA,SIGMA2,BT,X1,SIR;REAL;
19 2CC8 -- PE1,PE2,PE3;REAL;
20 2CE0 --
21 2CE0 -- (*-----*)
22 2CE0 --
23 2CE0 -- A FUNCTION FREQ(X,BT;REAL;K;INTEGER);REAL;
24 005C -- (*CALCUL DE LA FONCTION A INTEGRER*)
25 005C -- VAR Y,S;REAL;
26 0000 0 -- A BEGIN
27 0018 -- IF X#0 THEN FREQ:=2
28 003E 1 -- ELSE BEGIN Y:=2*(COS(PI2*X*K))*SIN(PI2*X/2)/(PI2*X/2);
29 0108 -- S:=2*Z*LN(2*X/BT);
30 0166 -- IF ABS(S)>70 THEN
31 0190 -- IF X<(BT/2) THEN FREQ:=Y
32 01C8 -- ELSE FREQ:=0
33 01DE -- ELSE FREQ:=Y/SQRT(1+(2*X/BT)**(2*Z));
34 0276 --1 -- END;
35 0276 --0 -- A END;
36 029C --
37 029C -- (*-----*)
38 029C --
39 029C -- A FUNCTION ROM(BT,BS,BI;REAL;K;INTEGER);REAL;
40 0064 -- (*CALCUL DE LA REPONSE DU CANAL*)
41 0064 -- LABEL 5;
42 0064 -- VAR
43 0064 -- H,L;REAL;
44 0078 -- I,J,P;INTEGER;
45 0084 -- R;SPEC;
46 0000 0 -- A BEGIN
47 0018 -- H:=BS-BI;
48 003A -- R(.1,1.):=H*(FREQ(BI,BT,K)+FREQ(BS,BT,K))/2;
49 00E6 -- I:=1;
50 00EE 1 -- REPEAT
51 00EE -- I:=I+1;
52 0100 -- L:=0;
53 0116 -- FOR P=1 TO 2*(I-2) DO
54 0154 2 -- BEGIN
55 0154 -- L:=L+FREQ(BI+((2*P-1)*H/2),BT,K);
56 01F0 --2 -- END;
57 0212 -- R(.2,1.):=R(.1,1.)+H*L/2;
58 025A -- FOR J=2 TO I DO

```

```

59 0286 2- BEGIN
60 0286 -- R(,2,J):=R(,2,J-1.)*(4**J)-R(,1,J-1.))
61 030E -- R(,2,J):=R(,2,J.)/(4**J-1.))
62 0370 --2 END;
63 0392 -- HIGH/2;
64 038A -- FOR J:=1 TO I DO R(,1,J):=R(,2,J.))
65 043E -- IF R(,2,1.)#0 THEN GOTO 5;
66 047A --1 UNTIL (ABS((R(,2,I.)-R(,2,I-1.))/R(,2,I.))<1E-12) OR (I=15);
67 0518 --5:ROM:=R(,2,1.))
68 053C --0 A END;
69 056C --
70 056C -- (*-----*)
71 056C --
72 056C -- A FUNCTION REP(BT:REAL;K:INTEGER):REAL;
73 0054 -- VAR
74 0054 -- I:INTEGER;
75 0058 -- S:REAL;
76 0000 --0 A BEGIN
77 0018 -- S:=0;
78 002E -- FOR I:=0 TO 12 DO S:=S+ROM(BT,I+1,I,K);
79 00E2 -- REP:=S;
80 00F4 --0 A END;
81 0114 --
82 0114 --
83 0114 -- (*-----*)
84 0114 --
85 0114 --
86 0114 -- A FUNCTION HERMITE(X:REAL;Z:VECTEUR):REAL;
87 0690 -- VAR
88 0690 -- J:INTEGER;
89 069A -- ARG,TRANS,A,B:REAL;
90 0688 -- V:VECTEUR;
91 0000 --0 A BEGIN
92 0018 -- ARG:=(1/SQRT(PI/2))*EXP(-X*X);
93 0082 -- V(,1.):=X**3;
94 00A2 -- V(,2.):=(X**4)*(8*(X**3)-12*X)/24;
95 0132 -- J:=2;
96 013A -- TRANS:=V(,1.)*Z(,1.)+V(,2.)*Z(,2.);
97 017C --1 REPEAT
98 017C -- J:=J+1;
99 018E -- A:=(1-((4*J-5)/(2*X*X)))*V(,J-1.);
100 0232 -- B:=V(,J-2.)*(J-2)/(J-1);
101 02A0 -- V(,J.):=(2*(X**4)/(J*(2*J-1)))*(A-B);
102 0344 -- TRANS:=TRANS+V(,J.)*Z(,J.);
103 039A --1 UNTIL (ABS(V(,J.)*Z(,J.)/TRANS)<1E-5) OR (J=FIN);
104 041C -- HERMITE:=TRANS*ARG;
105 043E -- WRITE(' ',J);
106 046E --0 A END;
107 0484 --
108 0484 -- (*-----*)
109 0484 --
110 0484 -- A PROCEDURE MOM16(VAR V:VECTEUR;X:VECT);
111 0088 -- (*POUR CALCULER LES MOMENTS A PARTIR DE 4 ECHANTILLONS,*)
112 0088 -- VAR
113 0088 -- Z:ARRAY(,0.,255.) OF REAL;
114 0888 -- I,J,K,L:INTEGER;
115 0000 --0 A BEGIN
116 0012 -- FOR I:=0 TO 3 DO

```



```

117 002E 1: BEGIN
118 002E 1: FOR J:=0 TO 3 DO
119 004A 2: BEGIN
120 004A 1: FOR K:=0 TO 3 DO
121 0066 3: BEGIN
122 0066 1: FOR L:=0 TO 3 DO
123 0082 4: BEGIN
124 0082 1: Z(,I*64+J*16+K*4+L,):=SQR(((2*I-3)*X(,1,)+(2*J-3)*X(,2,)+
125 00FC 1: +(2*K-3)*X(,3,)+(2*L-3)*X(,4,)))
126 0188 1: ENDI
127 01AA 1: ENDI
128 01CC 2: ENDI
129 01EE 1: ENDI
130 0210 1: V(,1,):=0;
131 022A 1: FOR I:=0 TO 255 DO V(,1,):=V(,1,)+Z(,I,);
132 02A4 1: FOR J:=2 TO FIN DO
133 02C2 1: BEGIN
134 02C2 1: V(,J,):=0;
135 02F2 1: FOR I:=0 TO 255 DO
136 030E 2: BEGIN
137 030E 1: IF (LN(Z(,I,))/LN10)*J > =70 THEN
138 036A 1: V(,J,):=V(,J,)+Z(,I,)**J;
139 03E0 2: ENDI
140 0402 1: ENDI
141 0424 1: FOR I:=1 TO FIN DO V(,I,):=V(,I,)/256;
142 04C0 1: A ENDI
143 04F4 1: (*-----*)
144 04F4 1:
145 04F4 1:
146 04F4 1: A PROCEDURE MOM36(VAR V:VECTEUR;X:VECT);
147 0088 1: (*POUR CALCULER LES MOMENTS A PARTIR DE 4 ECHANTILLONS,*)
148 0088 1: VAR
149 0088 1: Z:ARRAY(,0,,1295,) OF REAL;
150 2908 1: I,J,K,L:INTEGER;
151 0000 0: A BEGIN
152 0012 1: FOR I:=0 TO 5 DO
153 003A 1: BEGIN
154 003A 1: FOR J:=0 TO 5 DO
155 0062 2: BEGIN
156 0062 1: FOR K:=0 TO 5 DO
157 008A 3: BEGIN
158 008A 1: FOR L:=0 TO 5 DO
159 00B2 4: BEGIN
160 00B2 1: Z(,I*216+J*36+K*6+L,):=SQR(((2*I-5)*X(,1,)+(2*J-5)*X(,2,)+
161 0150 1: +(2*K-5)*X(,3,)+(2*L-5)*X(,4,)))
162 01E8 1: ENDI
163 021C 1: ENDI
164 0250 2: ENDI
165 0284 1: ENDI
166 0288 1: V(,1,):=0;
167 02D2 1: FOR I:=0 TO 1295 DO V(,1,):=V(,1,)+Z(,I,);
168 0370 1: FOR J:=2 TO FIN DO
169 039A 1: BEGIN
170 039A 1: V(,J,):=0;
171 03D0 1: FOR I:=0 TO 1295 DO
172 03F8 2: BEGIN
173 03F8 1: IF (LN(Z(,I,))/LN10)*J > =70 THEN
174 0460 1: V(,J,):=V(,J,)+Z(,I,)**J;

```

```

175 04EE 12          END;
176 0522 11          END;
177 0536 11          FOR I:=1 TO FIN DO V(,I,):=V(,I,)/1296;
178 061C 10 A      END;
179 0658 11          (*-----*)
180 0658 11          (*-----*)
181 0658 11          (*-----*)
182 0658 11 A      PROCEDURE MOM64(VAR V:VECTEUR;X1,X2:REAL);
183 0058 11          (*POUR CALCULER LES MOMENTS NORMALISES A PARTIR
184 0058 11          DE DEUX ECHANTILLONS, *)
185 0058 11          VAR
186 0058 11              I,J:INTEGER;
187 0060 11              Z:ARRAY(,0,,63,) OF REAL;
188 0000 01 A      BEGIN
189 0012 11          FOR I:=0 TO 7 DO
190 002E 11              BEGIN
191 002E 11                  FOR J:=0 TO 7 DO
192 004A 21                      BEGIN
193 004A 11                          Z(,8*I+J,):=SQR(((2*I-7)*X1+(2*J-7)*X2));
194 0000 11                          END;
195 00F2 11                      END;
196 0114 11                  FOR J:=1 TO FIN DO
197 0132 11                      BEGIN
198 0132 11                          V(,J,):=0;
199 0162 11                          FOR I:=0 TO 63 DO
200 017E 21                              BEGIN
201 017E 11                                  IF (LN(Z(,I,))/LN10)*J > =70 THEN
202 01DA 11                                      V(,J,):=V(,J,)+Z(,I,)**J;
203 0250 11                                  END;
204 0272 11                                      V(,J,):=V(,J,)/64;
205 02CE 01                              END;
206 02F0 10 A      END;
207 0318 11          (*-----*)
208 0318 11          (*-----*)
209 0318 11          (*-----*)
210 0318 11 A      PROCEDURE MOM4(VAR V:VECTEUR;X:VECT);
211 0088 11          (*POUR CALCULER LES MOMENTS A PARTIR DE 4 ECHANTILLONS.*)
212 0088 11          VAR
213 0088 11              Z:ARRAY(,0,,255,) OF REAL;
214 0888 11              I,J,K,L,M,N,P,Q:INTEGER;
215 0000 01 A      BEGIN
216 0012 11          FOR I:=0 TO 1 DO
217 002E 11              BEGIN
218 002E 11                  FOR J:=0 TO 1 DO
219 004A 21                      BEGIN
220 004A 11                          FOR K:=0 TO 1 DO
221 0066 31                              BEGIN
222 0066 11                                  FOR L:=0 TO 1 DO
223 0082 41                                      BEGIN
224 0082 11                                          FOR M:=0 TO 1 DO
225 009E 51                                              BEGIN
226 009E 11                                                  FOR N:=0 TO 1 DO
227 00BA 61                                                      BEGIN
228 00BA 11                                                          FOR P:=0 TO 1 DO
229 00D6 71                                                              BEGIN
230 00D6 11                                                                  FOR Q:=0 TO 1 DO
231 00F2 81                                                                      BEGIN
232 00F2 11                                                                          Z(,I*128+J*64+K*32+L*16+M*8+N*4+P*2+Q,):=

```



```

291 02DC 23      ENDI
292 02DC 22      JI=J+1
293 02E6 22      UNTIL J>=11
294 0300 21      ENDI
295 0322 20 A    ENDI
296 034C 22
297 034C 22      (*-----*)
298 034C 22
299 034C 22 A    FUNCTION ERFC(VAR X:REAL):REAL
300 004C 22      (*CALCUL DE LA FONCTION D'ERREUR COMPLEMENTAIRE PAR LA METHODE
301 004C 22      DE GAUSS D'ORDRE 20*)
302 004C 22
303 004C 22      TYPE
304 004C 22      GAUSS=ARRAY(.1.,.10.) OF REAL
305 004C 22      VAR
306 004C 22      T,W:GAUSS
307 00F0 22      A,B,R,C:REAL
308 0110 22      I:INTEGER
309 0114 22
310 0114 22 B    FUNCTION F(VAR X:REAL):REAL
311 004C 22      CONST PI=3.141592653589791
312 0000 02 B    BEGIN
313 0018 22      F:=(2/SQRT(PI))*EXP(-X*X)
314 0072 20 B    ENDI
315 0094 22
316 0000 02 A    BEGIN
317 0018 22      T(.1.):=0.0765265211334971W(.1.):=0.1527533871307251
318 0028 22      T(.2.):=0.2277858511416451W(.2.):=0.1491729864726031
319 0038 22      T(.3.):=0.3737060887154191W(.3.):=0.1420961093183821
320 0048 22      T(.4.):=0.5108670019508271W(.4.):=0.1316886384491761
321 0058 22      T(.5.):=0.6360536807265151W(.5.):=0.1181945319615181
322 0068 22      T(.6.):=0.7463319064601501W(.6.):=0.1019301198172401
323 0078 22      T(.7.):=0.8391169718222181W(.7.):=0.0832767415767041
324 0088 22      T(.8.):=0.9122344282513251W(.8.):=0.0626720483341091
325 0098 22      T(.9.):=0.9639719272779131W(.9.):=0.0406014298003861
326 00A8 22      T(.10.):=0.9931285991850941W(.10.):=0.0176140071391521
327 00B8 22      IF ABS(X)>12 THEN R:=0 ELSE
328 0100 12      BEGIN
329 0100 22      A:=(13-ABS(X))/21
330 0144 22      B:=(13+ABS(X))/21
331 0188 22      R:=0
332 019E 22      FOR I:=1 TO 10 DO
333 01BC 22      BEGIN
334 01BC 22      C:=B+A*T(.I.)
335 0200 22      R:=R+W(.I.)*P(C)
336 0252 22      ENDI
337 0274 22      FOR I:=1 TO 10 DO
338 0292 22      BEGIN
339 0292 22      C:=B-A*T(.I.)
340 02D6 22      R:=R+W(.I.)*F(C)
341 0328 22      ENDI
342 034A 22      ENDI
343 034A 22      IF X<0 THEN ERFC:=2-A*R ELSE ERFC:=A*R
344 03D2 20 A    ENDI
345 0494 22
346 0494 22      (*-----*)
347 0494 22
348 0494 22 A    PROCEDURE MOMBS(VAR V:VECTEURS:REAL)

```

```

349 0050 11 (*POUR CALCULER LES MOMENTS NORMALISES D'UN
350 0050 11 BROUILLEUR SINUSOIDAL. *)
351 0050 11 VAR
352 0050 11 I:INTEGER;
353 0054 11 ARG,SIREAL;
354 0000 11 A BEGIN
355 0012 11 ARG:=10**(-SIR/10);
356 0064 11 ARG:=ARG*2*(SQR(2*N)-1)/3;
357 00D6 11 V(.1.):=0.5*ARG;
358 00F0 11 FOR I:=2 TO FIN DO
359 010E 11 BEGIN
360 010E 11 IF V(.I-1.)<>0 THEN
361 0152 21 BEGIN
362 0152 11 S:=LN(V(.I-1.))+LN(ARG*(2*I-1)/(2*I));
363 01E4 11 IF S/LN10>=70 THEN V(.I.):=EXP(S);
364 0244 11 END;
365 0244 11 END;
366 0266 11 A END;
367 0298 11
368 0298 11 (*-----*)
369 0298 11
370 0000 01 BEGIN
371 003A 11 CNOB:=18;
372 0058 11 WRITELN(' FILTRE BUTTERWORTH ORDRE 5);
373 0076 11 WRITELN('
374 0082 11 WRITELN(' BROUILLEUR SINUSOIDAL);
375 00A0 11 WRITELN;WRITELN;
376 0088 11 FOR Q:=0 TO 0 DO
377 00E0 11 BEGIN
378 00E0 11 BT:=1.05+0.03*Q;
379 010C 11 WRITELN(' BT:',BT;5I2);
380 0150 11 WRITELN;WRITELN;
381 0168 11 X1:=ABS(REP(BT,0));
382 019A 11 FOR N:=2 TO 2 DO
383 01C4 21 BEGIN
384 01C4 11 WRITELN(' MODULATION GAM=1,SQR(2*N);3);
385 020C 11 WRITELN;WRITELN;
386 0224 31 CASE N OF
387 0232 41 1: BEGIN
388 0232 11 FOR I:=1 TO 8 DO VARIAB(.I.):=REP(BT,I)/X1;
389 02F0 11 MOM4(VECT1,VARIAB);
390 0304 11 UNION(VECT1,VECT1,RES1);
391 0326 11 END;
392 032A 41 2: BEGIN
393 032A 11 FOR I:=1 TO 4 DO VARIAB(.I.):=REP(BT,2*I)/X1;
394 03F0 11 MOM16(RES1,VARIAB);
395 0404 11 FOR I:=1 TO 4 DO VARIAB(.I.):=REP(BT,2*I-1)/X1;
396 04CE 11 MOM16(RES2,VARIAB);
397 04E2 11 UNION(RES1,RES2,VECT1);
398 0504 11 UNION(VECT1,VECT1,RES1);
399 0526 11 END;
400 052A 41 3: BEGIN
401 052A 11 FOR I:=1 TO 4 DO VARIAB(.I.):=REP(BT,2*I)/X1;
402 05F0 11 MOM36(RES1,VARIAB);
403 0604 11 FOR I:=1 TO 4 DO VARIAB(.I.):=REP(BT,2*I-1)/X1;
404 06CE 11 MOM36(RES2,VARIAB);
405 06E2 11 UNION(RES1,RES2,VECT1);
406 0704 11 UNION(VECT1,VECT1,RES1);

```

```

407 0726 --4      END;
408 072A --4      4: BEGIN
409 072A --      FOR I:=1 TO 8 DO VARIAB(,I,):=REP(BT,1)/X1;
410 07E8 --      MOM64(RES1,VARIAB(,1,),VARIAB(,8,));
411 081A --      MOM64(RES2,VARIAB(,2,),VARIAB(,7,));
412 084C --      UNION(RES1,RES2,VECT1);
413 086E --      MOM64(RES1,VARIAB(,3,),VARIAB(,6,));
414 08A0 --      MOM64(RES2,VARIAB(,4,),VARIAB(,5,));
415 08D2 --      UNION(RES1,RES2,VECT2);
416 08F4 --      UNION(VECT1,VECT2,RES3);
417 0914 --      UNION(RES3,RES3,RES1);
418 0932 --4      END
419 0932 --3      END;
420 095E --      FOR L:=0 TO 0 DO
421 0986 --3      BEGIN
422 0986 --      SIR:=20-2*L;
423 0988 --      WRITELN('      SIR=1,SIR(5:1,1 DB)');
424 0A0E --      WRITELN;
425 0A1A --      MOMBS(RES2,SIR);
426 0A40 --      UNION(RES1,RES2,VECT1);
427 0A62 --      FOR J:=0 TO 12 DO
428 0A8A --4      BEGIN
429 0A8A --      CNO:=J+CNOB;
430 0AC4 --      WRITE('      SNR=1,CNO(5:1,1 DB)');
431 0B14 --      SIGMA:=X1*SQR(3*(10**((CNO/10)))/(2*(SQR(2*N)-1)*BT*KT));
432 0BF6 --      SIGMA2:=(SIGMA/X1)*SQR(BT*KT);
433 0C4E --      PE1:=(2-1/N)*0,5*ERFC(SIGMA2);
434 0CC8 --      WRITE('      PE1=1,PE1(9)');
435 0D04 --      PE2:=(2-1/N)*(0,5*ERFC(SIGMA)+HERMITE(SIGMA,RES1));
436 0DC6 --      WRITE('      TERMES      PE2=1,PE2(9)');
437 0E02 --      PE3:=(2-1/N)*(0,5*ERFC(SIGMA)+HERMITE(SIGMA,VECT1));
438 0EC4 --      WRITELN('      TERMES      PE3=1,PE3(9)');
439 0F06 --4      END;
440 0F3A --      WRITELN;
441 0F46 --3      END;
442 0F7A --      WRITELN;
443 0F86 --2      END;
444 0FBA --      WRITELN;
445 0FC6 --1      END;
446 0FFA --0      5: END,

```

## PROGRAMME QAMFM

Calcule la probabilité d'erreur moyenne à la sortie d'un récepteur QAM avec ou sans IIS en présence d'une interférence FM. L'interférence FM considérée ici s'appuie sur l'hypothèse de quasi-stationnarité qui implique que le signal de modulation FM et à très basse fréquence (modulation à largeur de bande étroite). Le canal est modélisé pour les besoins du calcul de l'IIS par un filtre Butterworth d'ordre 5 et d'une "pulse" de transmission rectangulaire. Pour le calcul de l'interférence FM, on considère toutefois que le filtre de réception est idéal pour les raisons mentionnées dans le rapport. Le calcul des moments IIS est réalisé comme précédemment par une méthode directe modifiée.

### Lignes

1-367	Voir QAMBS	
371-418	comme précédemment, on calcule les échantillons du canal et les moments IIS d'ordre 2 à 2K (K = FIN). Les moments IIS sont dans RES1.	
423	on calcule les moments de l'interférence FM considérée constante par l'hypothèse de quasi-stationnarité. Le résultat est dans RES2.	
424	on combine les moments IIS avec les moments FM. Le résultat est dans VECT1.	
431	on calcule $P_e$ sans IIS et sans interférence	PE1
433	on calcule $P_e$ sans IIS avec interférence sinusoïdale constante	PE2
435	on calcule $P_e$ avec IIS et interférence	PE3
437	on calcule $P_e$ avec IIS mais sans interférence	PE4

449 on calcule  $P_k$ , la probabilité que la fréquence instantanée de la porteuse FM soit à l'intérieur de la bande du récepteur.

X : écart de fréquence entre les porteuses QAM et FM normalisé à  $B/2$  la fréquence de coupure du filtre de réception.

Y : déviation de fréquence RMS normalisée à  $B/2$  (écart type du signal de modulation FM de type gaussien)

451 on calcule  $P_e$  avec IIS pondéré avec  $P_k$  PE5

452 on calcule  $P_e$  sans IIS pondéré par  $P_k$  PE6



```

1 0680 -- (*L+*)
2 0680 -- PROGRAM GAMFM(OUTPUT);
3 0694 -- LABEL 5;
4 0694 -- CONST
5 0694 --     Z=5;
6 0694 --     FIN=200;
7 0694 --     PI2=6.2831853071795862;
8 0694 --     KT=1.016640738;
9 0694 --     LN10=2.3025850929940456;
10 0694 -- TYPE
11 0694 -- VECT=ARRAY(.1..8.) OF REAL;
12 0694 -- VECTEUR=ARRAY(.1..FIN.) OF REAL;
13 0694 -- SPEC=ARRAY(.1..2;1..15.) OF REAL;
14 0694 -- VAR
15 0694 -- VARIAB:VECT;
16 06D8 -- VECT1,VECT2,RES1,RES2,RES3,RES4:VECTEUR;
17 2C58 -- I,J,L,N,K,M,POSI,PAS,P,Q,R,V,S:INTEGER;
18 2C8C -- CNOB,CNO,SIGMA,SIGMA2,BT,X1,SIR:REAL;
19 2CC8 -- A,B,X,PE1,Y,PK,PE2,PE3,PE4,PE5,PE6:REAL;
20 2D20 --
21 2D20 -- (*-----*)
22 2D20 --
23 2D20 -- A FUNCTION FREQ(X,BT:REAL;K:INTEGER):REAL;
24 005C -- (*CALCUL DE LA FONCTION A INTEGRER*)
25 005C -- VAR Y,S:REAL;
26 0000 0 -- A BEGIN
27 0018 --     IF X#0 THEN FREQ:=2
28 003E 1 --         ELSE BEGIN Y:=2*(COS(PI2*X*K))*SIN(PI2*X/2)/(PI2*X/2);
29 0108 --             S:=2*Z*LN(2*X/RT);
30 0166 --             IF ABS(S)>70 THEN
31 0190 --                 IF X<(BT/2) THEN FREQ:=Y
32 01C8 --                     ELSE FREQ:=0
33 01DE --                 ELSE FREQ:=Y/SQRT(1+(2*X/BT)**(2*Z));
34 0276 --             END;
35 0276 --=0 A END;
36 029C --
37 029C -- (*-----*)
38 029C --
39 029C -- A FUNCTION ROM(BT,BS,BI:REAL;K:INTEGER):REAL;
40 0064 -- (*CALCUL DE LA REPONSE DU CANAL*)
41 0064 -- LABEL 5;
42 0064 -- VAR
43 0064 --     H,L:REAL;
44 0078 --     I,J,P:INTEGER;
45 0084 --     R:SPEC;
46 0000 0 -- A BEGIN
47 0018 --     H:=BS-BI;
48 003A --     R(.1,1.):=H*(FREQ(BI,BT,K)+FREQ(BS,BT,K))/2;
49 00E6 --     I:=1;
50 00EE 1 --     REPEAT
51 00EE --     I:=I+1;
52 0100 --         L:=0;
53 0116 --         FOR P:=1 TO 2*(I-2) DO
54 0154 2 --             BEGIN
55 0154 --                 L:=L+FREQ(BI+((2*P-1)*H/2),BT,K);
56 01F0 --             END;
57 0212 --         R(.2,1.):=R(.1,1.)+H*L/2;
58 025A --         FOR J:=2 TO I DO

```

```

59 0286 2- BEGIN
60 0286 --- R(.2,J.):=R(.2,J-1.)*(4**(J-1))-R(.1,J-1.)
61 030E --- R(.2,J.):=R(.2,J.)/(4**(J-1))
62 0370 -2 END
63 0392 --- H:=H/2
64 038A --- FOR J:=1 TO I DO R(.1,J.):=R(.2,J.)
65 043E --- IF R(.2,I.)#0 THEN GOTO 5
66 047A -1 UNTIL (ABS((R(.2,I.)-R(.2,I-1.))/R(.2,I.))<1E-12) OR (I=15)
67 0518 --- S:ROM:=R(.2,I.)
68 053C -0 A END
69 056C ---
70 056C --- (*-----*)
71 056C ---
72 056C -0 A FUNCTION REP(BT:REAL;K:INTEGER):REAL
73 0054 --- VAR
74 0054 --- I:INTEGER
75 0058 --- S:REAL
76 0000 0- A BEGIN
77 0018 --- S:=0
78 002E --- FOR I:=0 TO 12 DO S:=S+ROM(BT,I+1,I,K)
79 00E2 --- REP:=S
80 00F4 -0 A END
81 0114 ---
82 0114 --- (*-----*)
83 0114 ---
84 0114 ---
85 0114 ---
86 0114 -0 A FUNCTION HERMITE(X:REAL;Z:VECTEUR):REAL
87 0690 --- VAR
88 0690 --- J:INTEGER
89 0694 --- ARG,TRANS,A,B:REAL
90 06B8 --- V:VECTEUR
91 0000 0- A BEGIN
92 0018 --- ARG:=(1/SQRT(P12/2))*EXP(-X*X)
93 0082 --- V(.1,):=X**3
94 00A2 --- V(.2,):=(X**4)*(8*(X**3)-12*X)/24
95 0132 --- J:=2
96 013A --- TRANS:=V(.1.)*Z(.1.)+V(.2.)*Z(.2.)
97 017C 1- REPEAT
98 017C --- J:=J+1
99 018E --- A:=(1-((4*J-5)/(2*X*X)))*V(.J-1.)
100 0232 --- B:=V(.J-2.)*(J-2)/(J-1)
101 02A0 --- V(.J,):=(2*(X**4)/(J*(2*J-1)))*(A-B)
102 0344 --- TRANS:=TRANS+V(.J.)*Z(.J.)
103 039A -1 UNTIL (ABS(V(.J.)*Z(.J.)/TRANS)<1E-5) OR (J=FIN)
104 041C --- HERMITE:=TRANS*ARG
105 043E --- WRITE(' ',J)
106 046E -0 A END
107 04B4 ---
108 04B4 --- (*-----*)
109 04B4 ---
110 04B4 ---
111 04B4 -0 A PROCEDURE MOM16(VAR V:VECTEUR;X:VECT)
112 0088 --- (*POUR CALCULER LES MOMENTS A PARTIR DE 4 ECHANTILLONS,*)
113 0088 --- VAR
114 0088 --- Z:ARRAY(.0..255.) OF REAL
115 0888 --- I,J,K,L:INTEGER
116 0000 0- A BEGIN

```

```

117 0012 -- FOR I:=0 TO 3 DO
118 002E 1- BEGIN
119 002E -- FOR J:=0 TO 3 DO
120 004A 2- BEGIN
121 004A -- FOR K:=0 TO 3 DO
122 0066 3- BEGIN
123 0066 -- FOR L:=0 TO 3 DO
124 0082 4- BEGIN
125 0082 -- Z(.I*64+J*16+K*4+L.):=SQR(((2*I-3)*X(.1.)+(2*J-3)*X(.2.)
126 00FC -- +(2*K-3)*X(.3.)+(2*L-3)*X(.4.)))
127 0188 --4 END;
128 01AA --3 END;
129 01CC --2 END;
130 01EE --1 END;
131 0210 -- V(.1.):=0;
132 022A -- FOR I:=0 TO 255 DO V(.1.):=V(.1.)+Z(.I.);
133 02A4 -- FOR J:=2 TO FIN DO
134 02C2 1- BEGIN
135 02C2 -- V(.J.):=0;
136 02F2 -- FOR I:=0 TO 255 DO
137 030E 2- BEGIN
138 030E -- IF (LN(Z(.I.))/LN10)*J > -70 THEN
139 036A -- V(.J.):=V(.J.)+Z(.I.)*J;
140 03E0 --2 END;
141 0402 --1 END;
142 0424 -- FOR I:=1 TO FIN DO V(.I.):=V(.I.)/256;
143 04C0 --0 A END;
144 04F4 --
145 04F4 -- (*-----*)
146 04F4 --
147 04F4 -- A PROCEDURE MOM36(VAR V:VECTEUR;X:VECT);
148 0088 -- (*POUR CALCULER LES MOMENTS A PARTIR DE 4 ECHANTILLONS.*)
149 0088 -- VAR
150 0088 -- Z:ARRAY(.0.,1295.) OF REAL;
151 2908 -- I,J,K,L:INTEGER;
152 0000 0- A BEGIN
153 0012 -- FOR I:=0 TO 5 DO
154 003A 1- BEGIN
155 003A -- FOR J:=0 TO 5 DO
156 0062 2- BEGIN
157 0062 -- FOR K:=0 TO 5 DO
158 008A 3- BEGIN
159 008A -- FOR L:=0 TO 5 DO
160 00B2 4- BEGIN
161 00B2 -- Z(.I*216+J*36+K*6+L.):=SQR(((2*I-5)*X(.1.)+(2*J-5)*X(.2.)
162 0150 -- +(2*K-5)*X(.3.)+(2*L-5)*X(.4.)))
163 01E8 --4 END;
164 021C --3 END;
165 0250 --2 END;
166 0284 --1 END;
167 0288 -- V(.1.):=0;
168 02D2 -- FOR I:=0 TO 1295 DO V(.1.):=V(.1.)+Z(.I.);
169 0370 -- FOR J:=2 TO FIN DO
170 039A 1- BEGIN
171 039A -- V(.J.):=0;
172 03D0 -- FOR I:=0 TO 1295 DO
173 03FB 2- BEGIN
174 03FB -- IF (LN(Z(.I.))/LN10)*J > -70 THEN

```

```

175 0460 -- V(.J.):=V(.J.)+Z(.I.)*J;
176 04EE -2 END;
177 0522 -1 END;
178 0556 -- FOR I:=1 TO FIN DO V(.I.):=V(.I.)/1296;
179 061C -0 A END;
180 0658 --
181 0658 -- (*-----*)
182 0658 --
183 0658 -- A PROCEDURE MOM64(VAR V:VECTEUR;X1,X2:REAL);
184 0058 -- (*POUR CALCULER LES MOMENTS NORMALISES A PARTIR
185 0058 -- DE DEUX ECHANTILLONS, *)
186 0058 -- VAR
187 0058 -- I,J:INTEGER;
188 0060 -- Z:ARRAY(.0.,.63.) OF REAL;
189 0000 0- A BEGIN
190 0012 -- FOR I:=0 TO 7 DO
191 002E 1- BEGIN
192 002E -- FOR J:=0 TO 7 DO
193 004A 2- BEGIN
194 004A -- Z(.8*I+J.):=SQR(((2*I-7)*X1+(2*J-7)*X2));
195 00D0 -2 END;
196 00F2 -1 END;
197 0114 -- FOR J:=1 TO FIN DO
198 0132 1- BEGIN
199 0132 -- V(.J.):=0;
200 0162 -- FOR I:=0 TO 63 DO
201 017E 2- BEGIN
202 017E -- IF (LN(Z(.I.))/LN10)*J > -70 THEN
203 01DA -- V(.J.):=V(.J.)+Z(.I.)*J;
204 0250 -2 END;
205 0272 -- V(.J.):=V(.J.)/64;
206 02CE -1 END;
207 02F0 -0 A END;
208 0318 --
209 0318 -- (*-----*)
210 0318 --
211 0318 -- A PROCEDURE MOM4(VAR V:VECTEUR;X:VECT);
212 0088 -- (*POUR CALCULER LES MOMENTS A PARTIR DE 4 ECHANTILLONS,*)
213 0088 -- VAR
214 0088 -- Z:ARRAY(.0.,.255.) OF REAL;
215 0888 -- I,J,K,L,M,N,P,Q:INTEGER;
216 0000 0- A BEGIN
217 0012 -- FOR I:=0 TO 1 DO
218 002E 1- BEGIN
219 002E -- FOR J:=0 TO 1 DO
220 004A 2- BEGIN
221 004A -- FOR K:=0 TO 1 DO
222 0066 3- BEGIN
223 0066 -- FOR L:=0 TO 1 DO
224 0082 4- BEGIN
225 0082 -- FOR M:=0 TO 1 DO
226 009E 5- BEGIN
227 009E -- FOR N:=0 TO 1 DO
228 00BA 6- BEGIN
229 00BA -- FOR P:=0 TO 1 DO
230 00D6 7- BEGIN
231 00D6 -- FOR Q:=0 TO 1 DO
232 00F2 8- BEGIN

```

```

233 00F2 -- Z(.I*128+J*64+K*32+L*16+M*8+N*4+P*2+Q,):=
234 0164 -- SQRT(((2*I-1)*X(.1,)+(2*J-1)*X(.2,
235 01A4 -- +(2*K-1)*X(.3,)+(2*L-1)*X(.4,)+(2*M-1)*X(.5,
236 023A -- +(2*N-1)*X(.6,)+(2*P-1)*X(.7,)+(2*Q-1)*X(.8,)))
237 02F8 --8 END;
238 031A --7 END;
239 033C --6 END;
240 035E --5 END;
241 0380 --4 END;
242 03A2 --3 END;
243 03C4 --2 END;
244 03E6 --1 END;
245 0408 -- V(.1,):=0;
246 0422 -- FOR I:=0 TO 255 DO V(.1,):=V(.1,)+Z(.I,);
247 049C -- FOR J:=2 TO FIN DO
248 04BA 1-- BEGIN
249 04BA -- V(.J,):=0;
250 04EA -- FOR I:=0 TO 255 DO
251 0506 2-- BEGIN
252 0506 -- IF (LN(Z(.I,))/LN10)*J > =70 THEN
253 0562 -- V(.J,):=V(.J,)+Z(.I,)*J;
254 05D8 --2 END;
255 05FA --1 END;
256 061C -- FOR I:=1 TO FIN DO V(.I,):=V(.I,)/256;
257 06B8 --0 A END;
258 06F8 -- (*-----*)
259 06F8 --
260 06F8 --
261 06F8 -- A FUNCTION COMB(X:REAL;K,N:INTEGER):REAL;
262 0058 -- (*POUR CALCULER LES COMBINAISONS "K PARMIS N",*)
263 0058 -- VAR
264 0058 -- I:INTEGER;
265 0000 0-- A BEGIN
266 0018 -- FOR I:=N DOWNTO K+1 DO
267 004C 1-- BEGIN
268 004C -- X:=X*I/(I-K);
269 0096 --1 END;
270 0088 -- COMB:=X;
271 00CA --0 A END;
272 00E8 --
273 00E8 -- (*-----*)
274 00E8 --
275 00E8 -- A PROCEDURE UNION(VAR X,Y,Z:VECTEUR);
276 004C -- (*POUR COMBINER DEUX MOMENTS,*)
277 004C -- VAR
278 004C -- I,J:INTEGER;
279 0054 -- B,C:REAL;
280 0000 0-- A BEGIN
281 0012 -- FOR I:=1 TO FIN DO Z(.I,):=X(.I,)+Y(.I,);
282 00C2 -- FOR I:=2 TO FIN DO
283 00E0 1-- BEGIN
284 00E0 -- J:=1;
285 00E8 2-- REPEAT
286 00E8 -- IF (X(.J,)<>0) AND (Y(.I-J,)<>0) THEN
287 0188 3-- BEGIN
288 0188 -- B:=LN(Y(.I-J,));
289 01C8 -- C:=LN(COMB(X(.J,);2*J,2*I));
290 0230 -- IF (B+C)/LN10 > =70 THEN

```

```

291      Z(.I.):=Z(.J.)+EXP(B+C);
292      END;
293      J:=J+1
294      UNTIL J>=I;
295      END;
296      A  END;
297      034C ---
298      034C --- (*-----*)
299      034C ---
300      034C --- A  FUNCTION ERFC(VAR X:REAL):REAL;
301      004C --- (*CALCUL DE LA FONCTION D'ERREUR COMPLEMENTAIRE PAR LA METHODE
302      004C --- DE GAUSS D'ORDRE 20*)
303      004C ---
304      004C --- TYPE
305      004C ---   GAUSS=ARRAY(.1.,.10.) OF REAL;
306      004C --- VAR
307      004C ---   T,W:GAUSS;
308      00F0 ---   A,B,R,C:REAL;
309      0110 ---   I:INTEGER;
310      0114 ---
311      0114 --- B  FUNCTION F(VAR X:REAL):REAL;
312      004C --- CONST PI=3.14159265358979;
313      0000 0 --- B  BEGIN
314      0018 ---   F:=(2/SQRT(PI))*EXP(-X*X);
315      0072 --- B  END;
316      0094 ---
317      0000 0 --- A  BEGIN
318      0018 ---   T(.1.):=0.076526521133497;W(.1.):=0.152753387130725;
319      0028 ---   T(.2.):=0.227785851141645;W(.2.):=0.149172986472603;
320      0038 ---   T(.3.):=0.373706088715419;W(.3.):=0.142096109318382;
321      0048 ---   T(.4.):=0.510867001950827;W(.4.):=0.131688638449176;
322      0058 ---   T(.5.):=0.636053680726515;W(.5.):=0.118194531961518;
323      0068 ---   T(.6.):=0.746331906460150;W(.6.):=0.101930119817240;
324      0078 ---   T(.7.):=0.839116971822218;W(.7.):=0.083276741576704;
325      0088 ---   T(.8.):=0.912234428251325;W(.8.):=0.062672048334109;
326      0098 ---   T(.9.):=0.963971927277913;W(.9.):=0.040601429800386;
327      00A8 ---   T(.10.):=0.993128599185094;W(.10.):=0.017614007139152;
328      00B8 ---   IF ABS(X)>12 THEN R:=0 ELSE
329      0100 1 ---     BEGIN
330      0100 ---     A:=(13-ABS(X))/2;
331      0144 ---     B:=(13+ABS(X))/2;
332      0188 ---     R:=0;
333      019E ---     FOR I:=1 TO 10 DO
334      01BC 2 ---       BEGIN
335      01BC ---       C:=B+A*T(.I.);
336      0200 ---       R:=R+W(.I.)*F(C);
337      0252 ---     END;
338      0274 ---     FOR I:=1 TO 10 DO
339      0292 2 ---       BEGIN
340      0292 ---       C:=B-A*T(.I.);
341      02D6 ---       R:=R+W(.I.)*F(C);
342      0328 ---     END;
343      034A ---     END;
344      034A ---     IF X<0 THEN ERFC:=2-A*R ELSE ERFC:=A*R;
345      03D2 --- A  END;
346      0494 ---
347      0494 --- (*-----*)
348      0494 ---

```

```

349 0494 -- A PROCEDURE MOMBS(VAR V:VECTEUR;SIR:REAL);
350 0050 -- (*POUR CALCULER LES MOMENTS NORMALISES D'UN
351 0050 -- BROUILLEUR SINUSOIDAL. *)
352 0050 -- VAR
353 0050 -- I:INTEGER;
354 0054 -- ARG,S:REAL;
355 0000 0- A BEGIN
356 0012 -- ARG:=10**(-SIR/10);
357 0064 -- ARG:=ARG*2*(SQR(2*N)-1)/3;
358 00D6 -- V(.1.):=0.5*ARG;
359 00F0 -- FOR I:=2 TO FIN DO
360 010E 1- BEGIN
361 010E -- IF V(.I-1.)<>0 THEN
362 0152 2- BEGIN
363 0152 -- S:=LN(V(.I-1.))+LN(ARG*(2*I-1)/(2*I));
364 01E4 -- IF S/LN10>=70 THEN V(.I.):=EXP(S);
365 0244 -2 END;
366 0244 -1 END;
367 0266 =0 A END;
368 0298 --
369 0298 -- (*-----*)
370 0298 --
371 0000 0- BEGIN
372 003A -- CNDU:=18;
373 0058 -- WRITELN(' FILTRE BUTTERWORTH ORDRE 5');
374 0076 -- WRITELN('
375 0082 -- WRITELN(' BROUILLEUR FM');
376 00A0 -- WRITELN;WRITELN;
377 00B8 -- FOR Q:=0 TO 0 DO
378 00E0 1- BEGIN
379 00E0 -- BT:=1.05+0.03*Q;
380 010C -- WRITE(' BT=',BT;5:2);
381 014A -- X1:=ABS(REP(BT,0));
382 017C -- FOR N:=2 TO 2 DO
383 01A6 2- BEGIN
384 01A6 -- WRITELN(' MODULATION QAM=',SQR(2*N);3);
385 01EE 3- CASE N OF
386 01FC 4- 1: BEGIN
387 01FC -- FOR I:=1 TO 8 DO VARIAB(.I.):=REP(BT,I)/X1;
388 02BA -- MOM4(VECT1,VARIAB);
389 02CE -- UNION(VECT1,VECT1,RES1);
390 02F0 -4 END;
391 02F4 4- 2: BEGIN
392 02F4 -- FOR I:=1 TO 4 DO VARIAB(.I.):=REP(BT,2*I)/X1;
393 03BA -- MOM16(RES1,VARIAB);
394 03CE -- FOR I:=1 TO 4 DO VARIAB(.I.):=REP(BT,2*I-1)/X1;
395 0498 -- MOM16(RES2,VARIAB);
396 04AC -- UNION(RES1,RES2,VECT1);
397 04CE -- UNION(VECT1,VECT1,RES1);
398 04F0 -4 END;
399 04F4 4- 3: BEGIN
400 04F4 -- FOR I:=1 TO 4 DO VARIAB(.I.):=REP(BT,2*I)/X1;
401 05BA -- MOM36(RES1,VARIAB);
402 05CE -- FOR I:=1 TO 4 DO VARIAB(.I.):=REP(BT,2*I-1)/X1;
403 0698 -- MOM36(RES2,VARIAB);
404 06AC -- UNION(RES1,RES2,VECT1);
405 06CE -- UNION(VECT1,VECT1,RES1);
406 06F0 -4 END;

```

```

407 06F4 4-      4: BEGIN
408 06F4 --      FOR I:=1 TO H DO VARIAB(.I.):=REP(BT,I)/X1;
409 07B2 --      MOM64(RES1,VARIAB(.1.),VARIAB(.8.));
410 07E4 --      MOM64(RES2,VARIAB(.2.),VARIAB(.7.));
411 0816 --      UNION(RES1,RES2,VECT1);
412 0838 --      MOM64(RES1,VARIAB(.3.),VARIAB(.6.));
413 086A --      MOM64(RES2,VARIAB(.4.),VARIAB(.5.));
414 089C --      UNION(RES1,RES2,VECT2);
415 08BE --      UNION(VECT1,VECT2,RES3);
416 08DF --      UNION(RES3,RES3,RES1);
417 08FC --      END
418 08FC =3      END;
419 0928 --      FOR LI=0 TO 0 DO
420 0950 3-      BEGIN
421 0950 --      SIR:=20-2*LI;
422 0982 --      WRITE('      SIR=1,SIR:5:1,' DR');
423 09D2 --      MOMB5(RES2,SIR);
424 09F8 --      UNION(RES1,RES2,VECT1);
425 0A1A --      FOR J:=0 TO 12 DO
426 0A42 4-      BEGIN
427 0A42 --      CNO1:=J+CNOB;
428 0A7C --      WRITELN('      SNR=1,CNO:5:1,' DB');
429 0AD2 --      SIGMA1:=X1*SQRT(3*(10**((CNO/10)))/(2*(SQR(2*N)-1)*BT*KT));
430 0BB4 --      SIGMA2:=(SIGMA/X1)*SQRT(BT*KT);
431 0C0C --      PE1:=(2-1/N)*0.5*ERFC(SIGMA2);
432 0C86 --      WRITELN('      PE1=1,PE1:9);
433 0CC8 --      PE2:=(2-1/N)*(0.5*ERFC(SIGMA2)+HERMITE(SIGMA2,RES2));
434 0DBA --      WRITELN('      TERMES      PE2=1,PE2:9);
435 0DCC --      PE3:=(2-1/N)*(0.5*ERFC(SIGMA)+HERMITE(SIGMA,VECT1));
436 0E8E --      WRITELN('      TERMES      PE3=1,PE3:9);
437 0ED0 --      PE4:=(2-1/N)*(0.5*ERFC(SIGMA)+HERMITE(SIGMA,RES1));
438 0F92 --      WRITELN('      TERMES      PE4=1,PE4:9);
439 0FD4 --      FOR K:=1 TO 5 DO
440 0FFE 5-      BEGIN
441 0FFE --      Y:=K;
442 1022 --      WRITELN('      DISPERSION FM',Y:9:2);
443 1066 --      FOR I:=0 TO 10 DO
444 108E 6-      BEGIN
445 108E --      XI:=I*0.5;
446 10B6 --      WRITE('      POSITION FM',X:7:2);
447 10F4 --      A:=(X-1)/(Y*SQRT(2));
448 115E --      B:=(X+1)/(Y*SQRT(2));
449 11C8 --      PK:=0.5*(ERFC(A)-ERFC(B));
450 1210 --      WRITE('      PK=1,PK:9);
451 124C --      PE5:=PE4+PK*(PE3-PE4);
452 12AC --      PE6:=PE1+PK*(PE2-PE1);
453 130C --      WRITE('      PE5=1,PE5:9);
454 1348 --      WRITELN('      PE6=1,PE6:9);
455 138A =6      END;
456 13BE --      WRITELN;
457 13CA =5      END;
458 13FE --      WRITELN(11);
459 143C =4      END;
460 1470 --      WRITELN;
461 147C =3      END;
462 14B0 --      WRITELN;
463 14BC =2      END;
464 14F0 --      WRITELN;

```



A4.32

465 14FC -1 END3  
466 1530 -0 51 END.

## PROGRAMME QAMBSN

Permet le calcul de  $P_e$  dans un récepteur QAM en absence d'IIS mais en présence de plusieurs interférences sinusoïdales constantes, de même amplitude dont les phases sont également réparties et indépendantes. La puissance totale des interférences est constante quand on varie leur nombre par le paramètre I.

### Lignes

174-184	on calcule les moments de chacune des I interférences puis on les combine. Le résultat est dans RES3.	
190	on calcule $P_e$ sans interférence	PE1
192	on calcule $P_e$ en présence des I interférences	PE2

```

1 0680 -- (*$L+*)
2 0680 -- PROGRAM GAMBSN(OUTPUT);
3 0694 -- (*MULTI-INTERFERENCES SINUSOIDALES SANS IIS*)
4 0694 -- LABEL 5;
5 0694 -- CONST
6 0694 -- I=5;
7 0694 -- FIN=200;
8 0694 -- PI2=6.2831853071795862;
9 0694 -- LN10=2.3025850929940456;
10 0694 -- TYPE
11 0694 -- VECTEUR=ARRAY(.1.,.FIN.) OF REAL;
12 0694 -- VAR
13 0694 -- RES1,RES2,RES3:VECTEUR;
14 1958 -- J,L,N,K,Q:INTEGER;
15 196C -- CNOB,CNO,SIGMA,SIR:REAL;
16 1990 -- PE1,PE2:REAL;
17 19A0 --
18 19A0 --
19 19A0 --
20 19A0 -- (*-----*)
21 19A0 -- A FUNCTION HERMITE(X:REAL;Z:VECTEUR):REAL;
22 19A0 -- A
23 0690 -- VAR
24 0690 -- J:INTEGER;
25 0694 -- ARG,TRANS,A,B:REAL;
26 0688 -- V:VECTEUR;
27 0000 0 -- A BEGIN
28 0018 -- ARG:=(1/SQRT(PI2/2))*EXP(-X*X);
29 0082 -- V(.1.):=X**3;
30 00A2 -- V(.2.):=(X**4)*(8*(X**3)-12*X)/24;
31 0132 -- J:=2;
32 013A -- TRANS:=V(.1.)*Z(.1.)+V(.2.)*Z(.2.);
33 017C 1 -- REPEAT
34 017C -- J:=J+1;
35 018E -- A:=((1-((4*J-5)/(2*X*X)))*V(.J-1.));
36 0232 -- B:=V(.J-2.)*(J-2)/(J-1);
37 02A0 -- V(.J.):=(2*(X**4)/(J*(2*J-1)))*(A+B);
38 0344 -- TRANS:=TRANS+V(.J.)*Z(.J.);
39 039A -- UNTIL (ABS(V(.J.)*Z(.J.)/TRANS)<=1E-5) OR (J=FIN);
40 041C -- HERMITE:=TRANS*ARG;
41 043E -- WRITE(' ',J,3);
42 046E -- 0 A END;
43 0484 --
44 0484 --
45 0484 -- (*-----*)
46 0484 -- A FUNCTION COMB(X:REAL;K,N:INTEGER):REAL;
47 0484 -- A
48 0058 -- (*POUR CALCULER LES COMBINAISONS "K PARMI N",*)
49 0058 -- VAR
50 0058 -- I:INTEGER;
51 0000 0 -- A BEGIN
52 0018 -- FOR I:=N DOWNTO K+1 DO
53 004C 1 -- BEGIN
54 004C -- X:=X*I/(I-K);
55 0096 -- 1 -- END;
56 0088 -- COMB:=X;
57 00CA -- 0 A END;
58 00E8 --

```

```

59 00F8 --- (*-----*)
60 00E8 ---
61 00E8 --- A PROCEDURE UNION(VAR X,Y,Z:VECTEUR);
62 004C --- (*POUR COMBINER DEUX MOMENTS.*)
63 004C --- VAR
64 004C --- I,J:INTEGER;
65 0054 --- R,C:REAL;
66 0000 0 A BEGIN
67 0012 --- FOR I:=1 TO FIN DO Z(.I.):=X(.I.)+Y(.I.);
68 00C2 --- FOR I:=2 TO FIN DO
69 00E0 1 --- BEGIN
70 00E0 --- J:=1;
71 00E8 2 --- REPEAT
72 00E8 --- IF (X(.J.)<=0) AND (Y(.I-J.)<=0) THEN
73 0188 3 --- BEGIN
74 0188 --- B:=LN(Y(.I-J.));
75 01C8 --- C:=LN(COMB(X(.J.),2*J,2*I));
76 0230 --- IF (B+C)/LN10<=70 THEN
77 026C --- Z(.I.):=Z(.I.)+EXP(B+C);
78 02DC 3 --- END;
79 02DC 1 --- J:=J+1;
80 02E6 2 --- UNTIL J:=I;
81 0300 1 --- END;
82 0322 0 A END;
83 034C ---
84 034C --- (*-----*)
85 034C ---
86 034C --- A FUNCTION ERFC(VAR X:REAL):REAL;
87 004C --- (*CALCUL DE LA FONCTION D'ERREUR COMPLEMENTAIRE PAR LA METHODE
88 004C --- DE GAUSS D'ORDRE 20*)
89 004C ---
90 004C --- TYPE
91 004C --- GAUSS=ARRAY(.1.,.10.) OF REAL;
92 004C --- VAR
93 004C --- T,W:GAUSS;
94 00F0 --- A,B,R,C:REAL;
95 0110 --- I:INTEGER;
96 0114 ---
97 0114 --- B FUNCTION F(VAR X:REAL):REAL;
98 004C --- CONST PI=3.14159265358979;
99 0000 0 B BEGIN
100 0018 --- F:=(2/SQRT(PI))*EXP(-X*X);
101 0072 0 B END;
102 0094 ---
103 0000 0 A BEGIN
104 0018 --- T(.1.):=0.076526521133497;W(.1.):=0.152753387130725;
105 0028 --- T(.2.):=0.227785851141645;W(.2.):=0.149172986472603;
106 0038 --- T(.3.):=0.373706088715419;W(.3.):=0.142096109318382;
107 0048 --- T(.4.):=0.510867001950827;W(.4.):=0.131688638449176;
108 0058 --- T(.5.):=0.636053680726515;W(.5.):=0.118194531961518;
109 0068 --- T(.6.):=0.746331906460150;W(.6.):=0.101930119817240;
110 0078 --- T(.7.):=0.839116971822218;W(.7.):=0.083276741576704;
111 0088 --- T(.8.):=0.912234428251325;W(.8.):=0.062672048334109;
112 0098 --- T(.9.):=0.963971927277913;W(.9.):=0.040601429800386;
113 00A8 --- T(.10.):=0.993128599185094;W(.10.):=0.017614007139152;
114 00B8 --- IF ABS(X)>12 THEN R:=0 ELSE
115 0100 1 --- BEGIN
116 0100 --- A:=(13-ABS(X))/2;

```

```

117 0144 -- B:=(13+ABS(X))/2;
118 0188 -- R:=0;
119 019E -- FOR I:=1 TO 10 DO
120 01BC 2- BEGIN
121 018C -- C:=B+A*T(.I.);
122 0200 -- R:=R+W(.I.)*F(C);
123 0252 1-2 END;
124 0274 1-1 FOR I:=1 TO 10 DO
125 0292 2- BEGIN
126 0292 -- C:=B-A*T(.I.);
127 02D6 -- R:=R+W(.I.)*F(C);
128 0328 4-2 END;
129 034A 1-1 END;
130 034A -- IF X<0 THEN ERFC:=2-A*R ELSE ERFC:=A*R;
131 03D2 0-0 A END;
132 0494 --
133 0494 -- (*-----*)
134 0494 --
135 0494 -- A PROCEDURE MOMBS(VAR V:VECTEUR;SIR:REAL;D:INTEGER);
136 0054 -- (*POUR CALCULER LES MOMENTS NORMALISES D'UN
137 0054 -- BROUILLEUR SINUSOIDAL. *)
138 0054 -- VAR
139 0054 -- I:INTEGER;
140 0058 -- ARG,S:REAL;
141 0000 0-0 A BEGIN
142 0012 -- ARG:=10*(-SIR/10);
143 0064 -- ARG:=ARG*2*(SQR(2*N)-1)/(3*D);
144 00E6 -- V(.I.):=0.5*ARG;
145 0100 -- FOR I:=2 TO FIN DO
146 011E 1- BEGIN
147 011E -- IF V(.I-1.)#0 THEN
148 0162 2- BEGIN
149 0162 -- S:=LN(V(.I-1.))+LN(ARG*(2*I-1)/(2*I));
150 01F4 -- IF S/LN10#70 THEN V(.I.):=EXP(S)
151 0248 -- ELSE V(.I.):=0;
152 0288 2- END ELSE V(.I.):=0;
153 02BC 1- END;
154 02DE -- FOR I:=1 TO FIN DO WRITE(V(.I.):12);
155 035C -- WRITELN;WRITELN;
156 0374 0-0 A END;
157 03AC --
158 03AC -- (*-----*)
159 03AC --
160 0000 0-0 BEGIN
161 003A -- CNOB:=18;
162 0058 -- WRITELN(' ',I:5,' INTERFERENCES SINUS SANS IIS');
163 009A -- WRITELN;
164 00A6 -- WRITELN;WRITELN;
165 00BE -- FOR N:=2 TO 2 DO
166 00E8 1- BEGIN
167 00E8 -- WRITELN(' MODULATION GAM=1,SQR(2*N)13);
168 0130 -- WRITELN;WRITELN;
169 0148 -- FOR L:=0 TO 0 DO
170 0170 2- BEGIN
171 0170 -- SIR:=20-2*L;
172 01A2 -- WRITELN(' SIR=1,SIR:5:1,' DB');
173 01F8 -- WRITELN;
174 0204 -- MOMBS(RES2,SIR,I);

```

```

175 0230 -- FOR Q:=1 TO FIN DO RES3(,Q.):=RES2(,Q.);
176 02D0 3- IF I>1 THEN BEGIN
177 02DC -- FOR K:=1 TO I-1 DO
178 031E 4- BEGIN
179 031E 1- UNION(RES3,RES2,RES1);
180 033C -- FOR Q:=1 TO FIN DO RES3(,Q.):=RES1(,Q.);
181 03E2 -- FOR Q:=1 TO FIN DO WRITE(RES3(,Q.):12);
182 047C -- WRITELN|WRITELN;
183 0494 14 END;
184 04CE 13 END;
185 04CE -- S:FOR J:=0 TO 12 DO
186 04F6 3- BEGIN
187 04F6 -- CNO:=J+CNOB;
188 0530 -- WRITE(1 SNR=1,CNO:5:1,1 DB);
189 0580 -- SIGMA:=SQRT(3*(10**(CNO/10))/(2*(SQRT(2*N)-1)));
190 062E -- PE1:=(2-1/N)*0.5*ERFC(SIGMA);
191 06A8 -- WRITE(1 PE1=1,PE1:9);
192 06E4 -- PE2:=(2-1/N)*(0.5*ERFC(SIGMA)+HERMITE(SIGMA,RES3));
193 07A4 -- WRITELN(1 TERMES PE2=1,PE2:9);
194 07E6 13 END;
195 081A 12 END;
196 084E -- WRITELN;
197 085A 11 END;
198 088E 10 END.

```

## PROGRAMME QFMRG

Calcule la probabilité d'erreur moyenne due à la sortie d'un récepteur QAM en l'absence d'IIS mais en présence d'une interférence dont la densité spectrale de forme gaussienne est découpée en une infinité de bandes disjointes et indépendantes. On a déjà fait remarquer que cette approche conduit à une interférence de distribution gaussienne.

### Lignes

- 166 calcul de la fraction de la puissance de l'interférence qui entre dans le récepteur.
- 167 on calcule ici une valeur de SIR après le filtre de réception.
- 173 on calcule  $P_e$  sans interférence.
- 175 on calcule le rapport signal sur bruit en assimilant l'interférence au bruit gaussien.
- 178 on calcule  $P_e$  en présence de l'interférence de distribution gaussienne.

FC : écart de fréquence entre les porteuses FM et QAM normalisée à  $B/2$ .

DF : écart-type de la densité spectrale FM normalisée à  $B/2$ .

```

1 0680 -- (*SL+*)
2 0680 -- PROGRAM OFMRG(OUTPUT);
3 0694 -- (*INTERFERENCE FM DE DENSITE SPECTRALE ET DISTRIBUTION GAUSIENNE*)
4 0694 -- (*FILTRE IDEAL, SANS IIS ET ROUTINE FLOTTANTE*)
5 0694 -- CONST
6 0694 -- PI2=6,2831853071795862;
7 0694 -- LN10=2,3025850929940456;
8 0694 -- VAR
9 0694 -- R:REAL;
10 06A0 -- J,L,N,K,Q:INTEGER;
11 06B4 -- CNOB,CNO,SIGMA,SIR,SIRC,DF,FC:REAL;
12 06F0 -- PE1,PE2:REAL;
13 0700 --
14 0700 --
15 0700 -- (*-----*)
16 0700 --
17 0700 -- A FUNCTION BANDE(VAR DF,FC:REAL):REAL;
18 0050 -- (*CALCUL LA PUISSANCE DANS LA BANDE DU FILTRE*)
19 0050 -- VAR
20 0050 -- A,B,C,D,R:REAL;
21 0078 -- I:INTEGER;
22 007C --
23 007C -- B FUNCTION INT(VAR X,Y:REAL):REAL;
24 0050 -- (*CALCUL DE L'INTEGRALE D'UNE DENSITE GAUSIENNE ENTRE LES VALEURS X ET Y*)
25 0050 --
26 0050 -- TYPE
27 0050 -- GAUSS=ARRAY(.1.,.10.) OF REAL;
28 0050 -- VAR
29 0050 -- T,W:GAUSS;
30 00F0 -- A,B,R,C:REAL;
31 0110 -- I:INTEGER;
32 0114 --
33 0114 -- C FUNCTION FT(VAR X:REAL):REAL;
34 004C -- CONST PI=3,14159265358979;
35 0000 0: C BEGIN
36 0018 -- FT:=(1/SQRT(PI))*EXP(-X*X);
37 0072 0: C END;
38 0094 --
39 0094 --
40 0000 0: B BEGIN
41 0018 -- T(.1.):=0,0765265211334971W(.1.)+0,152753387130725;
42 0028 -- T(.2.):=0,2277858511416451W(.2.)+0,149172986472603;
43 0038 -- T(.3.):=0,3737060887154191W(.3.)+0,142096109318382;
44 0048 -- T(.4.):=0,5108670019508271W(.4.)+0,131688638449176;
45 0058 -- T(.5.):=0,6360536807265151W(.5.)+0,118194831961518;
46 0068 -- T(.6.):=0,7463319064601501W(.6.)+0,101930119817240;
47 0078 -- T(.7.):=0,8391169718222181W(.7.)+0,083278741576704;
48 0088 -- T(.8.):=0,9122344282513251W(.8.)+0,062672048334109;
49 0098 -- T(.9.):=0,9639719272779131W(.9.)+0,040601429800386;
50 00A8 -- T(.10.):=0,9931285991850941W(.10.)+0,017614007139152;
51 00B8 -- IF (ABS(X)>12) OR (ABS(Y)>12) THEN R:=0 ELSE
52 0142 1: BEGIN
53 0142 -- A:=(Y-X)/2;
54 0182 -- B:=(Y+X)/2;R:=0;
55 01D8 -- FOR I:=1 TO 10 DO
56 01F6 2: BEGIN
57 01F6 -- C:=B+A*T(.I.);
58 023A -- R:=R+W(.I.)*FT(C);

```



```

59 028C --2          END;
60 02AE --2          FOR I:=1 TO 10 DO
61 02CC --2          BEGIN
62 02CC --2              C:=B-A*T(.I.);
63 0310 --2              R:=R+W(.I.)*FT(C);
64 0362 --2          END;
65 0384 --1          END;
66 0384 --1          INT:=A*R;
67 03A6 --0 B      END;
68 046C --2
69 0000 00 A      BEGIN
70 0018 --2          R:=0;
71 002E --2          FOR I:=0 TO 9 DO
72 004A --2              BEGIN
73 004A --2                  A:=1+(2*I)/10;
74 0096 --2                  B:=1+(2*(I+1))/10;
75 00E8 --2                  C:=(A-FC)/(DF*SQRT(2));
76 0142 --2                  D:=(B-FC)/(DF*SQRT(2));
77 019C --2                  R:=R+INT(C,D);
78 01CE --1          END;
79 01F0 --2          WRITELN('          ',R;12);
80 022C --2          BANDE:=R;
81 023E --2          WRITELN;WRITELN;
82 0256 --0 A      END;
83 0288 --2
84 0288 --2          (*-----*)
85 0288 --2
86 0288 --2
87 0288 --2
88 0288 --2 A      FUNCTION ERFC(VAR X:REAL):REAL;
89 004C --2          (*CALCUL DE LA FONCTION D'ERREUR COMPLEMENTAIRE PAR LA METHODE
90 004C --2          DE GAUSS D'ORDRE 20*)
91 004C --2
92 004C --2          TYPE
93 004C --2          GAUSS=ARRAY(.1.,.10.) OF REAL;
94 004C --2          VAR
95 004C --2          T,W:GAUSS;
96 00F0 --2          A,B,R,C:REAL;
97 0110 --2          I:INTEGER;
98 0114 --2
99 0114 --2 B      FUNCTION F(VAR X:REAL):REAL;
100 004C --2          CONST PI=3.141592653589791;
101 0000 00 B      BEGIN
102 0018 --2          F:=(2/SQRT(PI))*EXP(-X*X);
103 0072 --0 B      END;
104 0094 --2
105 0000 00 A      BEGIN
106 0018 --2          T(.1.):=0.076526521133497;W(.1.):=0.152753387130725;
107 0028 --2          T(.2.):=0.227785851141645;W(.2.):=0.149172986472603;
108 0038 --2          T(.3.):=0.373706088715419;W(.3.):=0.142096109318382;
109 0048 --2          T(.4.):=0.510867001950827;W(.4.):=0.131688638449176;
110 0058 --2          T(.5.):=0.636053680726515;W(.5.):=0.118194531961518;
111 0068 --2          T(.6.):=0.746331906460150;W(.6.):=0.101930119817240;
112 0078 --2          T(.7.):=0.839116971822218;W(.7.):=0.083276741576704;
113 0088 --2          T(.8.):=0.912234428251325;W(.8.):=0.062672048334109;
114 0098 --2          T(.9.):=0.963971927277913;W(.9.):=0.040601429800386;
115 00A8 --2          T(.10.):=0.993128599185094;W(.10.):=0.017614007139152;
116 00B8 --2          IF ABS(X)>12 THEN R:=0 ELSE

```

A.4.41

```

117 0100 1- BEGIN
118 0100 1- A:=(13-ABS(X))/2;
119 0144 1- B:=(13+ABS(X))/2;
120 0188 1- R:=0;
121 019E 1- FOR I:=1 TO 10 DO
122 01BC 2- BEGIN
123 01BC 1- C:=B+A*T(.I.);
124 0200 1- R:=R+W(.I.)*F(C);
125 0252 1- END;
126 0274 1- FOR I:=1 TO 10 DO
127 0292 2- BEGIN
128 0292 1- C:=B+A*T(.I.);
129 02D6 1- R:=R+W(.I.)*F(C);
130 0328 1- END;
131 034A 1- END;
132 034A 1- IF X<0 THEN ERFC:=2-A*R ELSE ERFC:=A*R;
133 03D2 1- A END;
134 0494 1-
135 0494 1- (*-----*)
136 0494 1-
137 0494 1-
138 0000 0- BEGIN
139 003A 1- CNO:=18;
140 0052 1- WRITELN(' INTERFERENCE FM DE DISTRIBUTION GAUSSIENNE');
141 0070 1- WRITELN(' FILTRAGE IDEAL SANS IIS ');
142 007C 1- WRITELN(' DENSITE SPECTRALE GAUSSIENNE');
143 009A 1- WRITELN('
144 00A6 1- WRITELN('
145 00C4 1- WRITELN('
146 00D0 1- WRITELN;WRITELN;
147 00E8 1- FOR N:=2 TO 2 DO
148 0106 1- BEGIN
149 0106 1- WRITELN(' MODULATION GAM=1,SQR(2*N);3);
150 0148 1- WRITELN;WRITELN;
151 0160 1- FOR L:=0 TO 0 DO
152 017C 2- BEGIN
153 017C 1- SIR:=20-2*L;
154 01A2 1- WRITELN(' SIR=1,SIR;5;1; DB);
155 01F2 1- WRITELN;
156 01FE 1- FOR K:=1 TO 5 DO
157 021C 1- BEGIN
158 021C 1- DF:=K;
159 0234 1- WRITELN(' DF=1,DF;5;1);
160 0272 1- WRITELN;
161 027E 1- FOR Q:=0 TO 10 DO
162 029A 1- BEGIN
163 029A 1- FC:=Q;
164 02B2 1- WRITELN(' FC=1,FC;5;1);
165 02F0 1- WRITELN;
166 02FC 1- R:=BANDE(DF,FC);
167 0318 1- SIR:=SIR-(10*LN(R)/LN10);
168 035E 1- FOR J:=0 TO 12 DO
169 037A 1- BEGIN
170 037A 1- CNO:=J+CNO;
171 03A2 1- WRITE(' SNR=1,CNO;5;1; DB);
172 03EC 1- SIGMA:=SQRT(3*(10**((CNO/10)))/(2*(SQR(2*N)-1)));
173 0488 1- PE:=((2-1/N)*0.5*ERFC(SIGMA));
174 04EB 1- WRITE(' PE=1,PE;9);

```

```

175 051E -- CNO:=10*LN(1/((10**(-CNO/10))+(10**(-SIRC/10))))/LN10;
176 05FA -- WRITE(' SNIR=',CNO:5:1,' DB!');
177 0644 -- SIGMA:=SQRT(3*(10**(CNO/10))/(2*(SQR(2*N)-1)));
178 06E0 -- PE2:=(2-1/N)*0.5*ERFC(SIGMA);
179 0740 -- WRITELN(' PE2=',PE2:9);
180 077C --5 END;
181 079E -- WRITELN;WRITELN;
182 07B6 --4 END;
183 07D8 --3 WRITELN;WRITELN;
184 07F0 --3 END;
185 0812 -- WRITELN;WRITELN;
186 082A --2 END;
187 084C -- WRITELN;WRITELN;
188 0864 --1 END;
189 0886 --0 END.

```



